

ESCUELA SUPERIOR



Politécnica del Litoral

DEPARTAMENTO DE INGENIERIA DE GEOLOGIA, MINAS Y PETROLEO

"Parametros que se pueden determinar utilizando pruebas de restauración de presión corridas en pozos con levantamiento artificial por gas"

TESIS DE GRADO

PREVIA A LA OBTENCION DEL TITULO DE:

INGENIERO DE PETROLEO

PRESENTADA POR:

Susana Aizaga Hinostroza

GUAYAQUIL - ECUADOR

1.981



CIB



D-107838

AGRADECIMIENTO

A la Escuela Superior Politécnica del Litoral

Al Departamento de Ingeniería de Geología, Minas
y Petróleo.

Al Director de tesis, Ing. Kléber Malavé T.

A mis profesores y compañeros de estudio.

A Texaco Petroleum Company.

A la División de Yacimiento de CEPE

A City Ecuatoriana de Producción Company.

A Sudamericana de Perforaciones SUPERSER.

A los Ingenieros y Técnicos que trabajan en el
Oriente Ecuatoriano, que colaboraron en la elaboración
de esta tesis.

DEDICATORIA

A mis padres:

SR. CESAR AIZAGA QUINTANA

SRA. CARLOTA HINOSTROZA FIRMAT

A mis abuelos:

SR. OSWALDO HINOSTROZA BERBERAN

SRA. MARIA DOLORES FIRMAT VARGAS

A mis hermanos:

TERESA DE LOURDES

CESAR MANUEL

CESAR EDUARDO

CESAR OCTAVIO

CESAR VINICIO

ING. KLEBER G. MALAVE

Director de Petit

DECLARACION EXPRESA

DECLARO QUE: Hechas, ideas y doctrinas expresadas en esta tesis son de mi exclusiva responsabilidad y que el patrimonio intelectual de la misma corresponde a LA ESCUELA SUPERIOR DE POLITÉCNICA DEL ECUADOR.

(Reglamento de Exámenes y Prácticas Profesionales de la ESPOL.)


SUSANA ATZAGA HENOCUROZA



INDICE

	Pág.
RESUMEN	8
INTRODUCCION	9
CAPITULO I	10
REVISION DE LITERATURA	
CAPITULO II	12
CONSIDERACIONES TEORICAS	
2.1. Comportamiento de Presión	
Vs. Tiempo	12
2.2. Modelo matemático	13
2.3. Principio de superposición	22
2.4. Métodos de interpretación	26
1. Método de Horner	28
2. Método de Miller-Dyes-Hutchinson	38
3. Método de Muskat	41
4. Método de Ramey	45
CAPITULO III	52
PROCEDIMIENTO PARA EFECTUAR PRUEBAS DE	
RESTAURACION EN EL CAMPO	
3.1. Programa para el operador	52
3.2. Descripción del equipo	53
3.3. Corrida de la bomba	57
3.4. Prueba de flujo estabilizada del pozo	59
3.5. Cierre del pozo para empezar restauración de presión.	60
3.6. Obtención de presión estática	60

	Pág.
3.7. Carta de restauración; interpretación	61
3.8. Análisis de valores obtenidos	63
CAPITULO IV APLICACIONES	64
4.1. Análisis operacional	65
4.2. Determinación del factor de daño y permeabilidad del yacimiento por el método de Horner y Miller-Dyes-Hut- chinson.	68
4.3. Comprobación de los valores del fac- tor de daño y permeabilidad del ya- cimiento por el método de Ramey.	125
4.4. Determinación de la presión del ya- cimiento por el Método de Muskat.	154
4.5. Cálculo del Indice de productividad y eficiencia de flujo.	169
4.6. Construcción de curvas IPR	184
4.7. Problemas encontrados durante las corridas de la bomba en los pozos.	241
CAPITULO V	
ANALISIS Y DISCUSION DE LOS RESULTADOS	242
CAPITULO VI	
CONCLUSIONES Y RECOMENDACIONES	246
APENDICES	
I. FIGURAS	249
II. TABLAS	263
NOMENCLATURA	274
REFERENCIAS	278



RESUMEN

El presente trabajo se ha realizado con el objeto de determinar parámetros del yacimiento tales como: permeabilidad de la formación, el factor de daño, productividad del pozo y presión promedio del yacimiento en pozos de petróleo que producen con levantamiento artificial por gas, a partir de pruebas de restauración de presión, las mismas que son realizadas en el campo mediante la corriente en el pozo de una bomba amerada.

Para el efecto, se han analizado diferentes métodos de restauración de presión tales como los de Horner, Miller-Dyes-Hutchinson y Ramey. También se presenta la construcción de las curvas de IPR con el fin de conocer el potencial absoluto del pozo. La aplicación de los métodos mencionados, en cada pozo muestran que los resultados obtenidos por cada uno de ellos son muy similares y por lo tanto merecen confiabilidad.



INTRODUCCION

Uno de los aspectos más importantes de la evaluación de formaciones es el diseño, implementación e interpretación de una prueba de restauración de presión.

Básicamente estas pruebas requieren que un pozo productor sea cerrado y que el cambio asociado a la presión de fondo sea medido en función del tiempo de cierre.

Al representar gráficamente estos datos de presión contra el tiempo de cierre el Ingeniero de Yacimientos puede interpretar los distintos períodos de la prueba para obtener parámetros como permeabilidad de la formación, índice de productividad, presión del yacimiento y el factor de daño.

Los diferentes métodos de restauración de presión con sus respectivos procedimientos de cálculo fueron aplicados en pozos de petróleo con levantamiento artificial - por gas de un campo del Oriente Ecuatoriano, obteniendo se resultados satisfactorios.



CAPITULO I REVISION DE LITERATURA

El objetivo del presente trabajo consiste en analizar las pruebas de restauración de presión de un campo del Oriente Ecuatoriano y a partir de ellos determinar las características del yacimiento.

Hay muchos métodos de análisis de pruebas de presión disponibles para evaluar las formaciones y las condiciones del pozo, aunque la mayoría de ellos se basan en condiciones ideales del pozo.

Muskat [5] en 1937, discutió sobre la restauración de presión en pozos de petróleo y propuso la determinación de la presión estática por medio de un gráfico semilogarítmico de ensayo y error que es aplicable a una variedad de casos de restauración de presión.

Miller, Dyes y Hutchinson [6], presentaron un método de análisis de yacimientos finitos considerando presión constante o yacimiento cerrado en el límite exterior.

Horner [3] en 1951, presentó un método para yacimientos

infinitos con el objeto de estimar la permeabilidad de la formación y la presión estática del yacimiento haciendo uso de un gráfico semi logarítmico.

Ramey [14], determinó el tiempo de duración del efecto de almacenaje, luego basado en un trabajo de Agarwal y Asociados [1] que presentó estudios analíticos del almacenaje del fluido en el pozo, fundamentado en gráficos de presión y tiempo adimensional, aplicó dicho trabajo a la determinación de la presencia del efecto de almacenaje a fin de obtener datos característicos del yacimiento de la primera parte de la curva antes de que se obtenga la línea recta en una representación de restauración de presión por métodos convencionales.

Vogel [15], presentó un estudio de la relación del comportamiento de influjo (IPR), para pozos que producen por empuje de gas en solución usada en los cálculos de productividad de los pozos.



CAPITULO II CONSIDERACIONES TEÓRICAS

2.1. COMPORTAMIENTO DE PRESIÓN VERSUS TIEMPO

Entre todas las pruebas de pozo, las pruebas de restauración de presión son las más sencillas de ejecutarse, ya que lo único necesario es registrar la presión con continuidad en el tiempo.

En la Figura 1 se muestra el comportamiento típico - de la presión de fondo después del cierre del pozo, P_{ws} , en función del tiempo t , contado a partir del cierre mismo.

Podemos distinguir tres períodos:

a. Período Inicial

Es el período durante el cual los efectos de daño y de almacenamiento del pozo son preponderantes.

b. Período Transiente

Es el período durante el cual el pozo actúa como si el yacimiento fuera infinito. Los diagramas de Horner y MDH, usan los datos de este período para establecer una relación lineal entre presión y -

tiempo en el papel semilogarítmico, que permite determinar los parámetros K_h y S .

c. Período estabilizado

Es el período durante el cual se nota una desviación del comportamiento semilogarítmico ya que los efectos de los límites del yacimiento son preponderantes.

Si el tiempo de cierre es suficientemente largo, se puede determinar la presión estática promedio del yacimiento \bar{P}_R .

2.2. MODELO MATEMATICO

La interpretación básica de las curvas de restauración de presión provienen de ciertas suposiciones - simplificadas para el flujo de fluidos en medios porosos.

La descripción matemática del movimiento puede ser obtenido desde los siguientes principios básicos [7].

- A. Ley de conservación de Masa
- B. Ley de Darcy
- C. Ecuación de Estado del fluido

A. Ley de conservación de masa

La ley de conservación de masa es también conocida como ecuación de continuidad y es muy útil en el estudio de cualquier tipo de flujo. Este principio significa que una cantidad física (mas) es conservada, es decir ni se crea ni se de_{struye}.

En el caso de flujo de fluidos en medios porosos la cantidad considerada es la masa y la conservación se escribe para un volumen dado, de la siguiente manera:

$$\begin{array}{ccc} \text{masa de fluido} & \text{masa de fluido} & \text{Variación de} \\ \text{de entrada} & - & \text{de salida} = \text{masa dentro del} \\ & & \text{medio} \end{array}$$

En coordenadas cilíndricas

$$\frac{1}{r} \frac{\partial (m V_r)}{\partial r} + \frac{1}{r} \frac{\partial (\rho V_\theta)}{\partial \theta} + \frac{\partial (\rho V_z)}{\partial z} = - \frac{\partial (\rho)}{\partial t} \quad (1)$$

La ecuación (1) es conocida como la "Ecuación de continuidad" en coordenadas cilíndricas.

B. Ley de Darcy

La ley de Darcy [4] dice que la tasa volumétrica de flujo por unidad de superficie en cualquier

punto de un sistema poroso uniforme es proporcional al gradiente de potencial en la dirección del flujo en ese punto.

$$\vec{V} = - \frac{K}{\mu} \rho \quad \text{grad } \phi \quad (2)$$

donde

$$\phi = \int_{P_0}^P \frac{dP}{\rho} + gZ \quad (3)$$

En coordenadas cilíndricas:

$$V_r = - \frac{K_r}{\mu} \frac{\partial P}{\partial r} \quad (4)$$

$$V_\theta = - \frac{K_\theta}{\mu} \frac{\partial P}{\partial \theta} \quad (5)$$

$$V_z = - \frac{K_z}{\mu} \frac{\partial P}{\partial z} \quad (6)$$

C. Ecuación de estado

La ecuación de estado es aquella que relaciona la variación de densidad de un fluido con presión y temperatura.

$$C = \left(\frac{1}{\rho} \frac{\partial \rho}{\partial P} \right)_T \quad (7)$$

1. Flujo isotérmico de compresibilidad pequeña y constante

$$\rho = \rho_0 e^{C(P - P_0)} \quad (8)$$

2. Gas real

$$\rho = \frac{M}{RT} \left(\frac{P}{Z} \right) \quad (9)$$

De la combinación de la ecuación de continuidad, la ley de Darcy y la Ecuación de Estado, se derivan una familia de ecuaciones diferenciales que describen el flujo en sus múltiples situaciones.

De interés práctico es el caso de flujo radial, tomando en cuenta las siguientes consideraciones:

- Flujo de una sola fase e isotérmica
- Efectos gravitacionales despreciables
- Compresibilidad pequeña y constante
- Permeabilidad y porosidad constante

Para este caso la ecuación diferencial que describe este tipo de flujo es:

$$\frac{\partial^2 P}{\partial r^2} + \frac{1}{r} \frac{\partial P}{\partial r} = \frac{\phi \mu c}{K} \frac{\partial P}{\partial t} \quad (10)$$

La ecuación (10) es conocida como la "Ecuación de Difusividad".

Esta ecuación representa el flujo de fluidos de una fase simple de compresibilidad pequeña y constante.

tante en un medio poroso.

La ecuación de difusividad es el resultado directo de una combinación de la ecuación de continuidad, Ley de Darcy y ecuación de Estado con las asunciones mencionadas anteriormente.

La constante $\frac{K}{\phi \mu c}$ es llamada coeficiente de Difusividad.

SOLUCIONES DE LA ECUACION DE DIFUSIVIDAD

Las soluciones de la ecuación de difusividad son necesarias para el desarrollo de los métodos de restauración de presión. Trabajaremos con la ecuación № 10 para flujo radial en la cual podemos distinguir 3 casos de tipo de yacimiento:

1. Yacimiento infinito
2. Yacimiento finito cerrado (sin flujo al límite exterior)
3. Yacimiento finito cerrado con presión constante al límite exterior.

Analizaremos cada tipo de flujo

1. Yacimiento Infinito [9]

Las condiciones iniciales y de contorno son

las siguientes:

- a. Tasa de producción o inyección constante.
- b. $P = P_i$ a $t = 0$ para todo r
- c. $\lim_{r \rightarrow 0} \left(r \frac{\partial P}{\partial r} \right) = \frac{q_\mu}{2 \pi K h}$ para $t > 0$
- d. $P \rightarrow P_i$ como $r \rightarrow \infty$ para todo t

Solución:

$$P(r, t) = P_i - \frac{q_\mu}{4 \pi K h} \int_y^\infty \frac{e^{-y}}{y} dy \quad (11)$$

o

$$P(r, t) = P_i - \frac{q_\mu}{2 \pi K h} \left[-\frac{1}{2} Ei \left(\frac{-\phi_\mu c_t r^2}{4 K t} \right) \right] \quad (12)$$

donde:

$$Y = \frac{-\phi_\mu c_t r^2}{4 K t} \quad (13)$$

$$\text{Para } \frac{-\phi_\mu c_t r^2}{4 K t} < 0.01$$

$$-Ei \left(\frac{-\phi_\mu c_t r^2}{4 K t} \right) = \ln \left(\frac{4 K t}{\phi_\mu c_t r^2} \right) - 0.5772 \quad (14)$$

$$\text{Para } \frac{4 K t}{\phi_\mu c_t r^2} > 100$$

$$P(r, t) = P_i - \frac{q_\mu}{4 \pi K h} \left[\ln \frac{K t}{\phi_\mu c_t r^2} + 0.80907 \right] \quad (15)$$

Para la presión en la boca del pozo

$$r = r_w$$

$$P(r, t) = P_{wf}$$

$$P_{wf} = P_i - \frac{q \mu}{4 \pi K h} \left[\ln \frac{Kt}{\phi \mu c_t r_w^2} + 0.80907 \right] \quad (16)$$

Las ecuaciones (12), (15) y (16) están en unidades de darcy,

En unidades de campo.

$$P_{wf} = P_i - 162.6 \frac{q \mu B}{Kh} \left[\log \frac{0.000264 Kt}{\phi \mu c_t r_w^2} + 0.351 \right] \quad (17)$$

La ecuación (17) es conocida como la solución de Kelvin de la ecuación de difusividad.

2. Yacimiento finito cerrado [14]

(sin flujo al límite exterior)

Las condiciones iniciales y de contorno son las siguientes:

a. Tasa de producción o inyección es constante

$$q = \text{cte}$$

b. El pozo está localizado en el centro del yacimiento.

c. $P = P_i$, a $t = 0$, para todo r

d. $(r \frac{\partial P}{\partial r})_{rw} = \frac{q\mu}{2\pi Kh}$ para $t > 0$

e. $\frac{\partial P}{\partial r} \Big|_{re} = 0$ para todo t

Solución

$$\begin{aligned}
 P(r,t) = P_i - \frac{q\mu}{2\pi Kh} \left[\frac{2}{r_{eD}^2 - 1} \left(\frac{r_D^2}{4} + t_D \right) - \frac{r_{eD}^2 \ln r_D}{r_{eD}^2 - 1} \right. \\
 \left. - \frac{(3r_{eD}^4 - 4r_{eD}^4 \ln r_{eD} - 2r_{eD}^2 - 1)}{4(r_{eD}^2 - 1)^2} \right. \\
 \left. + \pi \sum_{n=1}^{\infty} e^{-\alpha_n^2 t_D} \frac{(J_1(\alpha_n r_{eD}) [J_1(\alpha_n) Y_0(\alpha_n r_D) - J_0(\alpha_n r_D) Y_1(\alpha_n)]}{\alpha_n [J_1^2(\alpha_n r_{eD}) - J_1^2(\alpha_n)]} \right] \quad (18)
 \end{aligned}$$

donde:

$$r_D = \frac{r}{r_w}$$

$$r_{eD} = \frac{r_e}{r_w} \quad t_D = \frac{Kt}{\phi \mu c_t r_w^2}$$

α_n son las raíces de:

$$J_1(\alpha_n r_{eD}) Y_1(\alpha_n) - J_1(\alpha_n) Y_1(\alpha_n r_{eD}) = 0$$

Para presión en la boca del pozo, en yacimientos donde $r_e \gg r_w$, la ecuación puede ser escrita como:

$$\begin{aligned}
 P_{wf} = P_i - \frac{q\mu}{2\pi Kh} \left[\frac{2t_D}{r_{eD}} \ln r_{eD} - \frac{3}{4} \right. \\
 \left. + 2 \sum_{n=1}^{\infty} \frac{e^{-\alpha_n^2 t_D} J_1^2(\alpha_n r_{eD})}{\alpha_n^2 [J_1^2(\alpha_n r_{eD}) - J_1^2(\alpha_n)]} \right] \quad (19)
 \end{aligned}$$

Para valores de t_D grandes, la ecuación (19) puede ser escrita como:

$$P_w = P_i - \frac{qu}{2\pi Kh} \left[\frac{2t_D}{r_e^2} + \ln r_e D - \frac{3}{4} \right] \quad (20)$$

3. Yacimientos Finito cerrado con presión constante en el límite exterior [14].

Condiciones iniciales y de contorno

a. Tasa de producción o inyección constante,

$$q = \text{cte}$$

b. El pozo está localizado centralmente en el yacimiento

c. $P = P_i = P_e$ a $t = 0$ para todo r

$$d. (r \frac{\partial P}{\partial r})_{rw} = \frac{qu}{2\pi Kh} \quad t > 0$$

$$e. P|_{r_e} = P_i \quad \text{para todo } t$$

Solución:

Para la presión en la boca del pozo:

$$P_{wf} = P_i - \frac{qu}{2\pi Kh} \left[\ln r_e D - 2 \sum_{n=1}^{\infty} \frac{e^{-\beta n} t_D * J_0^2(\beta n r_e D)}{\beta n^2 [J_1^2(\beta n) - J_0^2(\beta n r_e D)]} \right] \quad (21)$$

donde

βn son las raíces de:

$$J_1(\beta n) Y_0(\beta n r_e D) - Y_1(\beta n) J_0(\beta n r_e D) = 0$$

2.3. PRINCIPIO DE SUPERPOSICION

Las técnicas de análisis de presiones de fondo, generalmente requieren del uso de este principio debido a que, envuelven el uso de datos de presión obtenidos a más de una tasa de producción.

En la sección anterior se indicaron las soluciones más comunes para sistemas radiales donde la tasa de producción o la presión en el límite exterior permanecen constante con el tiempo. Sin embargo, esto es muy raras ocasiones ocurre en la práctica, pues es bien conocido que tanto q como p ($\Delta P = P_i - P$) cambian a medida que la tasa de producción de un yacimiento avanza.

Con el fin de aplicar las ecuaciones a estas situaciones se ha hecho uso del principio matemático denominado "Principio de Superposición".

Matemáticamente el principio de superposición establece que la combinación lineal de soluciones particulares de una ecuación diferencial homogénea y lineal es también una solución de la ecuación diferencial.

La solución general es la suma de las soluciones particulares obtenidas tratando una de las condiciones de límite a determinado tiempo. Las matemáticas básicas para este principio fueron explicadas por Van Everdingen y Hurst [14], Carslaw y Jaeger [2] y otros [16].

El principio de superposición es aplicable a problemas relacionados con pruebas de pozo, ya que con él se generan soluciones para diferentes tasas de producción a partir de soluciones para presión constante,

Primero consideraremos el caso más simple de un pozo que fluye a dos tasas como se muestra en la figura 2.1.

Para el intervalo $0 \leq t \leq t_1$

$$\Delta P(t) = P_i - P_{wf} = \frac{\mu q_1}{2 \pi K h} \Delta P_D(t) \quad (22)$$

Para el intervalo $t \geq t_1$

$$\Delta P(t) = \frac{\mu q_1}{2 \pi K h} \Delta P_D(t) + \frac{\mu (q_2 - q_1)}{2 \pi K h} \Delta P_D(t - t_1) \quad (23)$$

En la ecuación (23), el primer término es la caída de presión de flujo a la primera tasa q_1 . El segun-

do término es la caída de presión incremental causada por aumentar la tasa de producción: $(q_2 - q_1)$.

Para conseguir una ecuación de trabajo consideramos ΔP_D definida como:

$$\Delta P_D = \frac{P_i - P_{wf}}{\frac{q\mu}{2\pi} \frac{Kh}{Ct}} = - \frac{1}{2} E_i \left(-\frac{\phi \mu C_t r_w^2}{4 Kt} \right) \quad (24)$$

en este caso $\Delta P(t)$ de ecuación (23) para $t_1 \leq t \leq t_2$ está dada por:

$$\Delta P(t) = \frac{-\mu q_1}{4 \pi Kh} E_i \left(-\frac{\phi \mu C_t r_w^2}{4 Kt} \right) - \frac{\mu (q_2 - q_1)}{4 \pi Kh} E_i \left[-\frac{\phi \mu C_t r_w^2}{4 K(t-t_1)} \right] \quad (25)$$

El principio de superposición también puede ser aplicado a pozos que producen con tasa variable como se muestra en la Fig. 2.2.

La historia de presión para una historia de tasas variable es la suma de las presiones para los incrementos de tasa de producción y cada uno de estos aumentos se hace operativo cuando comienza una tasa.

Para este caso la caída de presión durante el período inicial $0 \leq t \leq t_1$ está dada por la ecuación (22). Para el segundo período $t_1 \leq t \leq t_2$, la caída de presión

se obtiene aplicando la ecuación (23).

Para el tercer período $t_2 \leq t \leq t_3$

$$\Delta P(t) = \frac{\mu q_1}{2\pi Kh} \Delta P_D(t) + \frac{\mu(q_2-q_1)}{2\pi Kh} \Delta P_D(t-t_1) + \frac{\mu(q_3-q_2)}{2\pi Kh} \Delta P_D(t-t_2) \quad (26)$$

Para el cambio de tasa el principio básico es siempre el mismo. Podemos entonces observar, que para n secuencias de tasas, la caída de presión durante el período n está dado por:

$$\begin{aligned} \Delta P(t) &= \frac{\mu q_1}{2\pi Kh} \Delta P_D(t) + \frac{\mu(q_2 - q_1)}{2\pi Kh} \Delta P_D(t-t_1) \\ &+ \frac{\mu(q_3 - q_2)}{2\pi Kh} \Delta P_D(t-t_2) + \dots + \frac{\mu(q_n - q_{n-1})}{2\pi Kh} \Delta P_D(t-t_{n-1}) \end{aligned} \quad (27)$$

o también puede escribirse:

$$\Delta P(t) = \frac{\mu q_1}{2\pi Kh} \left[\Delta P_D(t) + \sum_{i=2}^n \frac{(q_i - q_{i-1})}{q_1} * \Delta P_D(t-t_{i-1}) \right] \quad (28)$$

donde $t > t_{n-1}$

La ecuación (28) nos muestra la forma general del principio de superposición para el caso de generación del comportamiento de presión para cambio de tasa de producción.

2.4. METODOS DE INTERPRETACION

En 1935 Theis [12] mostró que la restauración de presión en un pozo de agua cerrado sería una función lineal del logaritmo de la razón de tiempo $(t + \Delta t)/\Delta t$ y que la pendiente de esa línea es inversamente proporcional a la permeabilidad promedio efectiva de esa formación.

Muskat [5] desarrolló un método matemático para calcular la presión promedio del yacimiento a partir de datos de presiones de fondo en función del tiempo de cierre por una gráfica semilogarítmica de ensayo y error.

En 1951, Horner[3] presentó un estudio de Restauración de Presión y también recomendó una gráfica semilogarítmica, idéntica a la gráfica Theis y presentó un método para obtener la presión estática, y la permeabilidad de la formación, para un yacimiento circular cerrado.

En la industria del petróleo la gráfica semilogarítmica de Restauración de Presión es referida como las gráficas de Horner.

En ese mismo tiempo Miller-Dyes-Hutchinson^[5] presentó un análisis de las curvas de Restauración de Presión cuando el pozo ha producido por largo tiempo y alcanzado el estado seudocontinuo o el verdadero estado continuo anterior al cierre. Su trabajo indicaba que la restauración de presión se grafica como una función lineal del logaritmo del tiempo de cierre, y que tanto en la gráfica de Horner como en la de él, la pendiente de la línea recta mostró ser inversamente proporcional a la permeabilidad de la formación.

Además MDH presenta varios trabajos sobre la teoría de Restauración de Presión.

Uno de los más importantes fue la aproximación de la presión estática para las condiciones de:

- Presión constante en el límite exterior
- Flujo igual a cero en el límite exterior

En la misma década de los años 50, Horner y MDH presentaron los métodos para determinar la permeabilidad de la formación y la presión estática de datos de Restauración de Presión.

En 1956, Perrine [10] realiza un excelente análisis de esta teoría y concluye que las gráficas de Horner estuvieron válidas para pozos nuevos en yacimientos grandes y que las gráficas de MDH lo aproxima mejor para pozos viejos en campos completamente desarrollados.

A continuación se describen los diferentes métodos con sus procedimientos respectivos.

2.4.1. Método de Horner

Horner [3] propuso un método suponiendo un yacimiento infinito, drenado por un pozo de radio pequeño comparado con el límite exterior y donde la tasa de flujo es constante.

Horner a fin de estudiar el comportamiento de la presión al cerrar el pozo después de haber estado en producción, utilizó la ecuación de difusividad haciendo las siguientes suposiciones:

- Ley de Darcy es aplicable
- Existe una sola fase en flujo en la formación

- La compresibilidad del líquido es pequeña y es esencialmente constante en el rango de presiones envuelto.
- El efecto de la gravedad es despreciable.
- Porosidad, viscosidad y compresibilidad son constantes.

Además se asume que se cumple lo siguiente:

- El pozo penetra completamente la formación la cual tiene un espesor constante.
- Se asume un fluido que está por arriba de la presión de saturación cuando entra a la boca del pozo.
- No se produce agua.

Como se mencionó anteriormente Horner utilizó la ecuación de difusividad (10).

$$\frac{\partial^2 P}{\partial r^2} + \frac{1}{r} \frac{\partial P}{\partial r} = - \frac{4 \mu C t}{K} \quad (10)$$

cuya solución es la ecuación (16) para las condiciones ya indicadas:

$$P_{wf} - P_i = \frac{Q}{4 \pi K h} \left[\ln \left(\frac{Kt}{4 \mu C t} \frac{r_w^2}{r_w^2 - r^2} \right) + 0.80907 \right] \quad (16)$$

La caída de presión es:

$$P_i - P_{wf} = \frac{q\mu}{4 \pi k h} \left[\ln \frac{kt}{\phi \mu c_t r_w^2} + 0.80907 \right] \quad (29)$$

Si cerramos el pozo por un tiempo Δt , después de producir por un tiempo t , obtendremos la caída de presión en el tiempo Δt utilizando el principio de superposición como:

$$P_i - P_{ws} = \begin{array}{l} \text{caída de presión} \\ \text{por una tasa } q \\ \text{en un tiempo } (t + \Delta t) \end{array} + \begin{array}{l} \text{caída de presión cau-} \\ \text{sada por el cambio de} \\ \text{tasa } (-q) \text{ en el tiem-} \\ \text{po } \Delta t \end{array}$$

$$\begin{aligned} P_i - P_{ws} &= \frac{q\mu}{4 \pi K h} \left[-\ln \frac{\phi \mu c_t r_w^2}{K(t + \Delta t)} - 0.80907 \right] \\ &+ \frac{q\mu}{4 \pi K h} \left[\ln \frac{\phi \mu c_t r_w^2}{K \Delta t} + 0.80907 \right] \end{aligned} \quad (30)$$

$$P_i - P_{ws} = \frac{q\mu}{4 \pi K h} \ln \frac{t + \Delta t}{\Delta t} \quad (31)$$

$$P_{ws} = P_i - \frac{q\mu}{4 \pi K h} \ln \frac{t + \Delta t}{\Delta t} \quad (32)$$

en unidades de campo:

$$P_{ws} = P_i - 162.6 \frac{q\mu \beta}{Kh} \log \frac{t + \Delta t}{\Delta t} \quad (33)$$

donde t es el tiempo de producción total del pozo, que se lo obtiene conociendo la producción acumulada de aceite y la última tasa de producción, de la siguiente relación:

$$\frac{P_w}{t} = \frac{\text{Producción acumulada}}{\text{Última tasa de producción}}$$

Es evidente que al representar gráficamente P_w vs. $\log t + \frac{Bt}{K}$, debe esperarse que los puntos caigan en una línea recta, al menos, luego de haber desaparecido los efectos de producción después del cierre. La pendiente m de la línea recta, es igual al coeficiente del término logarítmico de la ecuación (33). Es decir:

$$m = 162,6 \cdot \frac{I^{(n)}}{Kh} \quad (34)$$

por lo tanto

$$Kh = 162,6 \cdot \frac{I^{(n)}}{m} \quad (35)$$

Efecto de dano y almacenamiento.

Cuando un pozo en producción es cerrado en la superficie, el flujo desde la formación al pozo no se detiene inmediatamente. El flujo de

fluídos dentro del pozo persiste por algún tiempo luego del cierre debido a la compresibilidad del fluido.

La tasa de flujo al pozo cambia gradualmente desde q_0 al tiempo de cierre, hasta cero, durante un cierto período de tiempo,

Este período es conocido como almacenamiento del pozo o también como efecto de lleno.

$$\bar{C} = V_{ws} \times C_s \quad (36)$$

donde:

V_{ws} = Volumen de la tubería

C_s = Compresibilidad del fluido en el pozo evaluada a la presión y temperatura pro media del pozo.

En términos adimensionales:

$$\bar{C}_D = \frac{0.8936}{\phi h c_t} \frac{C}{r_w} \quad (37)$$

Efecto de daño [15].-

En muchos casos la permeabilidad de la formación en la zona vecina al pozo puede ser dañada por el proceso de perforación del pozo, prácticas de completación y producción.

Las causas para que la permeabilidad de la formación sea reducida son:

- Invasión del todo de perforación
- Dispersión de arcillas
- Presencia de costra de todo o de cemento
- Presencia de saturación de gas alta, alrededor de la boca del pozo,
- Penetración parcial del pozo.

Las causas para que la permeabilidad de la formación sea incrementada son:

- Acidificación
- Fracturamiento
- Estimulación en general

La Fig. (2.3) muestra una típica distribución de presión alrededor del pozo teniendo daño en la formación. Como puede verse en la figura (2.3) la zona de daño adiciones una caída de presión a la presión fluyente en la boca del pozo la cual no ha sido considerada en la ecuación de presión transiente (16). Van Everdingen[15] definió la caída de presión en el daño como:

$$\Delta P_S = \frac{q_L \mu}{2 \pi K h} \times S \quad (38)$$

donde: S es el factor de daño.

La ecuación (38) está en unidades de Darcy y asume flujo en estado continuo a través de la zona de daño.

La zona de daño normalmente representa una pequeña porción del yacimiento investigado por una prueba de presión.

La respuesta de la presión transiente en esa región será de corta duración y puede ser despreciable.

La caída de presión ΔP_S puede ser agregada a la ecuación (16).

$$P_{wf} = P_i - \frac{q_L \mu \beta}{4 \pi K h} \left[\ln \left(\frac{r_w}{r_t} \right) + 0.80907 + 2S \right] \quad (39)$$

como:

$$P_{ws} = P_i - \frac{q_L \mu \beta}{4 \pi K h} \left[\ln \left(\frac{t_w + \Delta t}{\Delta t} \right) \right] \quad (40)$$

Resolviendo las ecuaciones (39) y (40)

$$P_{ws} = P_{wf} - \frac{q \mu}{4 \pi k h} \left[\ln \frac{t + \Delta t}{\Delta t} - \ln \frac{k t}{\phi \mu c_t r_w^2} - 0.80907 - 2S \right] \quad (41)$$

reordenando la ecuación (41) y considerando 1 hora después de haber cerrado el pozo, $\Delta t = 1$ hora, de tal forma que: $P_{ws} = P_1$ hora, e introduciendo unidades de campo, el efecto de daño se determina:

$$S = 1.151 \left[\frac{(P_1 \text{ h} - P_{wf})}{m} - \log \frac{k}{\phi \mu c_t r_w^2} + 3.23 \right] \quad (42)$$

La presión a 1 hora debe leerse sobre la línea recta y no sobre la curva de restauración de presión.

ΔP_S en unidades de campo es:

$$\Delta P_S = 0.87 \times S \times m \quad (43)$$

Procedimiento.-

1. Se determina el tiempo de producción total del pozo conociendo el petróleo producido acumulado y la última tasa de producción (tasa de producción antes del cierre).

$$t = \frac{\text{producción acumulada}}{\text{última tasa de producción}} \times 24 \text{ (horas)} \quad (44)$$

2. Se calcula $(t + \Delta t)/\Delta t$ para los diferentes tiempos de cierre.
3. Se tabulan los valores de $Pws Vs (t + \Delta t)/\Delta t$
4. Se representan en papel semilogarítmico los valores de $Pws Vs (t + \Delta t)/\Delta t$
5. De la representación gráfica para condiciones ideales de $Pws Vs (t + \Delta t)/\Delta t$ se obtiene una línea recta cuya pendiente por ciclo es m .

Si no existen condiciones ideales se toman los últimos puntos para trazar la línea recta.

La Fig. (2.4) muestra la gráfica típica de Horner.

Despejando de la ecuación (34) obtenemos la permeabilidad K , la capacidad de flujo Kh o la transmisibilidad de la formación Kh/μ

$$m = 162.6 \frac{Q \mu \beta}{kh} \quad (34)$$

6. Se determina la presión P^* extrapolando la línea recta hasta un valor infinito de Δt , es decir:

$$\text{Si } \Delta t \rightarrow \infty \quad \log \frac{t + \Delta t}{\Delta t} = 0 \quad \text{y} \quad \frac{t + \Delta t}{\Delta t} = 1$$

de hecho en el gráfico semilogarítmico la extrapolación de la línea recta será hasta $\frac{t + \Delta t}{\Delta t} = 1$.

7. Se determina la presión a 1 hora P_{1h} , de la línea recta. Con esta presión se calcula el efecto superficial de la ecuación (42).

$$S = 1.151 \left[\frac{(P_{1h} - P_{wf})}{m} - \log \frac{K}{\phi \mu c_t r_w^2} + 3.23 \right] \quad (42)$$

Si el valor de "S" resulta negativo indica que existe estimulación y si es positivo - indica que existe daño

8. Se obtiene el ΔP_S aplicando ecuación (43)

$$\Delta P_S = 0.87 \times S \times m \quad (43)$$

9. Se calcula la eficiencia de flujo a través de la ecuación (45)

$$EF = \frac{\bar{P}_R - P_{wf} - \Delta P_S}{\bar{P}_R - P_{wf}} \quad (45)$$

10. Se determina la razón de daño, la cual se define como el inverso de la eficiencia de flujo

$$RD = 1/EF \quad (46)$$

2.4.2. Método de Miller-Dyes-Hutchinson

Miller-Dyes-Hutchinson [6] consideraron un yacimiento finito en el cual se ha alcanzado el estado semicontinuo. Utilizaron las ecuaciones para fluidos compresibles cuando han alcanzado el estado continuo deducidas por Muskat [5].

MDH resolvieron la ecuación de Difusividad para dos condiciones de contorno:

- Tasa de flujo constante al pozo antes de cerrar el mismo (flujo estabilizado, semicontinuo). Presión constante en el límite exterior. La solución para este caso es:

$$\overline{\Delta P}_D = \ell_{nr} e_D - 2 \sum_{n=1}^{\infty} \frac{-\alpha_n^2 t_D}{\alpha_n^2 J_1^2(\alpha_n)} \quad (47)$$

- Tasa de flujo constante al pozo antes de cerrar el mismo. Flujo igual a cero en el límite exterior. La solución para este caso es:

$$\Delta P_D = \ell_{nr} e_D - \frac{3}{4} + \frac{1}{2} \sum_{n=1}^{\infty} \frac{J_1^2(\alpha_n) U^2(\alpha_n)}{J_1(\alpha_n r_D) - J_1(\alpha_n)} * e^{-r_D \alpha_n^2 t_D} \quad (48)$$

El primer caso puede aplicarse a yacimientos con empuje hidráulico activo de agua donde la presión en el límite exterior no cambia con el tiempo.

El segundo caso puede aplicarse en campos desarrollados en un yacimiento limitado.

MDH realizaron una función gráfica definiendo 2 parámetros adimensionales $\Delta\bar{P}_D$ y t_D que representados gráficamente en papel semilogarítmico para diferentes valores de presión y tiempo - de cierre, resultan dos curvas que tienen las características enunciadas anteriormente. Fig. (2.5).

- Curva A de Fig. (2.5), no existe flujo en el límite exterior, la pendiente de la curva es más o menos constante desde un valor de $t_D = 0.003$ hacia valores inferiores (yacimientos circulares).
- Curva B de fig. (2.5), la presión en el límite exterior es constante, la pendiente es más o menos constante desde un valor de $t_D = 0.025$ hacia valores inferiores (yacimientos circulares).

La caída de presión adimensional está definida por:

$$\frac{\Delta \bar{P}_D}{m} = \frac{1.15 (\bar{P} - P_{ws})}{m} = \frac{1.15 (\bar{P} - P_{ws})}{162.6 \frac{q_L \mu \beta}{K_h}} \quad (49)$$

$$\bar{P} = \frac{\Delta \bar{P}_D \times m}{1.15} + P_{ws} \quad (50)$$

El tiempo adimensional se define por:

$$t_D = \frac{0.000264 K \Delta t}{\phi \mu c_t r^2 \rho} \quad (51)$$

PROCEDIMIENTO

1. Se representan las presiones de cierre en función del tiempo de cierre (P_{ws} Vs Δt) en papel semilogarítmico.
2. De la porción recta de la curva de Restauración de presión se obtiene la pendiente m .
3. Con el valor de m se determina K y K_h mediante la ecuación (34).

$$m = 162.6 \frac{q \mu \beta}{K_h} \quad (34)$$

4. Se determina la presión a 1 hora, P_{1h} de la línea recta. Con esta presión se calcula

el efecto superficial de la ecuación (52)

$$S_{MDH} = 1.151 \left[-\frac{(P_{lh}-P_{wf})}{m} - \log \frac{k}{\phi \mu c t_w^2} + 3.23 \right] \quad (52)$$

5. Se toma un punto en la recta de la curva y se leen los valores de P_{ws} y Δt correspondientes.
6. Con el valor leído de Δt se calcula el t_D mediante la ecuación (51).
7. Con el t_D calculado en el paso anterior se entra al gráfico $\Delta \bar{P}_D$ vs t_D (Fig. 2.5) y se obtiene el $\Delta \bar{P}_D$ correspondiente.
8. Usado el valor de $\Delta \bar{P}_D$ y el valor de P_{ws} escogido en el paso (5) se determina la presión promedio \bar{P} , mediante la ecuación (50).

2.4.3. Método de Muskat

Muskat [5] en 1937 desarrolló un método de análisis en el cual hacía uso de un gráfico de $\log (\bar{P} - P_{ws})$ en función del tiempo de cierre Δt .

El tipo de análisis fue usado para el caso de

flujo incompresible, el cual no era aplicable a los yacimientos cuantitativamente. Sin embargo, se ha encontrado aplicable al caso de flujo compresible, por lo cual ha sido objeto de modificaciones respecto a su ecuación y los datos obtenidos de la prueba para obtener el volumen de drenaje del pozo.

La solución de la ecuación de difusividad ha sido obtenida para condiciones específicas aplicadas a una prueba de restauración de presión. Esta solución ha sido usada para comportamiento de presión en un yacimiento circular limitado. Las condiciones específicas se resumen a continuación:

- a. Se supone que el pozo ha producido bastante tiempo para alcanzar estado semicontínuo anterior al cierre.
- b. A tiempo de cierre infinito, la presión de fondo es igual a la presión estática del área de drenaje.
- c. Despues del cierre no ocurre flujo al pozo ni en el límite exterior.

La solución de la ecuación de difusividad es
tá dada mediante la siguiente relación:

$$P_{ws} = \bar{P}_R - 141.2 \frac{q \mu \beta}{Kh} \sum_{n=1}^{\infty} \frac{\alpha_n^2 t_D}{J_O^2(\alpha_n)} \quad (53)$$

Resolviendo la ecuación (53) se obtiene:

$$\log(\bar{P}_R - P_{ws}) = \log(118.567 \frac{q \mu \beta}{Kh}) - \frac{0.00168 K \Delta t}{\phi \mu c_t r_e^2} \quad (54)$$

Esta ecuación (54) solo es válida para cuando:

$$\Delta t > 300 \frac{\phi \mu c_t r_e^2}{K}$$

La ecuación (53) es una línea recta al representar gráficamente $(\bar{P}_R - P_{ws})$ Vs Δt en papel semilogarítmico (Δt en escala normal) cuya pendiente está dada por

$$\beta = 0.00168 \frac{K}{\phi \mu c_t r_e^2} \quad (55)$$

y el intercepto

$$b = 118.567 \frac{q \mu \beta}{Kh} \quad (56)$$

El método requiere del conocimiento de \bar{P}_R , por lo tanto es necesario suponerlo y el valor que

resulte en la mejor línea recta será el valor verdadero de \bar{P}_R .

Si el valor supuesto es grande resultará en una curvatura hacia arriba y si es pequeño resultará en una curvatura hacia abajo.

Del valor de "b" y del conocimiento de q , μ y β se puede obtener un valor de K_h .

PROCEDIMIENTO

1. Se supone un valor de \bar{P}_R y se representa $(\bar{P}_R - P_{ws})$ vs Δt en papel semilogarítmico (Δt en escala normal).
2. Si la curva para valores altos de Δt presenta curvatura hacia arriba, indica que el valor supuesto de \bar{P}_R es alto.

Se disminuye \bar{P}_R y se hace una nueva representación gráfica. Si la curva para valores altos de Δt presenta curvatura hacia abajo, indica que el valor de \bar{P}_R supuesto es bajo. Se aumenta \bar{P}_R en este caso, y se procede con una nueva representación gráfica. Así,

se continua hasta obtener la \bar{P}_R que de una mejor línea recta. Fig. (2.6).

3. De la línea recta se determina la pendiente " β " y el intercepto "b" mediante las ecuaciones (55) y (56).

$$\beta = 0.00168 \frac{K}{\phi \mu c_t r_g^2} \quad (55)$$

$$b = 118,567 \frac{q \mu \beta}{Kh} \quad (56)$$

4. El efecto superficial puede obtenerse mediante la siguiente ecuación:

$$S = 0.84 \left(\frac{\bar{P}_R - P_{wf}}{b} \right) - \ell n \frac{r_e}{r_w} + \frac{3}{4} \quad (57)$$

δ

$$S = 0.84 \left(\frac{\bar{P}_R - P_{wf}}{b} \right) - 1.151 \log \frac{0.00168 K}{\phi \mu c_t r_w^2 \beta} + \frac{3}{4} \quad (58)$$

2.4.4. Método de RAMEY

El método de Ramey [11], se fundamenta en el trabajo de Agarwal y Asociados [1], quienes representan gráficamente presión adimensional - en función del tiempo adimensional; para el

caso de un pozo en un yacimiento infinito, produciendo a una tasa constante en la superficie, flujo radial hacia el pozo en un medio isotrópico, fuerzas de gravedad despreciables y teniendo efectos de llene y superficiales.

A partir de la ecuación de difusividad en términos de presión, tiempo y radio adimensional y para diferentes condiciones iniciales y de contorno, se presentaron soluciones por Blackwell y otros aplicando el principio de superposición por Van Everdingen [14].

Agarwal evaluó numéricamente estas soluciones, con cuyos resultados construyó gráficos tipos usados por el Método de Ramey.

Los grupos adimensionales se definen como:

$$t_D = \frac{0.000264 K \Delta t}{\phi \mu c_t r_e^2} \text{ tiempo adimensional} \quad (51)$$

$$P_D = \frac{Kh (P_i - P_{wf})}{141.2 q_L \mu \beta} \text{ presión adimensional} \quad (59)$$

$$\bar{C}_D = \frac{5.615 \bar{C}}{2 \bar{t} h \phi c_t r_w^2} \text{ constante de almacenaje adimensional} \quad (60)$$

donde:

$$\bar{c} = \frac{q \beta \Delta t}{(P_{ws} - P_{wf}) 24} \quad \text{constante de lleno} \quad (61)$$

$$S = \frac{K_h \Delta P_s}{141 a q_L \mu \beta} \quad \begin{array}{l} \text{efecto superficial} \\ \text{definido por Ever-} \\ \text{dingen y Hurst} \end{array} \quad (62)$$

Los gráficos tipo se representan en papel doble logarítmico de P_D Vs t_D (Fig. 2.7) y presentan una pendiente unitaria.

Los datos de la prueba también presentan pendiente unitaria, la que indica el control del efecto de almacenamiento sobre la prueba. El gráfico de la prueba debe hacerse coincidir con los gráficos tipo para obtener la permeabilidad y la presión estática en ciertas ocasiones.

Esto se logra con las ecuaciones (51) y (59) y con las coordenadas de un punto cualquiera, haciendo coincidir con la escala donde se representan los datos campo, los de los gráficos tipo.

Los valores de ΔP y Δt leídos en el gráfico

real se sustituyen por $(P_i - P_{wf})$ y t respectivamente.

Las ecuaciones (63) y (64) indican que por medio de una translación de ejes, $\log P_D$ Vs. $\log t_D$ es equivalente a $\log (P_{ws} - P_{wf})$ Vs $\log \Delta t$.

Esto nos indica la razón de la coincidencia entre las curvas real y tipo.

Si se toma el logaritmo a las ecuaciones (51) y (59) se tiene

$$\log' P_D = \frac{\log K_h}{141.2 q_L \mu \beta} + \log (P_{ws} - P_{wf}) \quad (63)$$

$$\log t_D = \log \frac{0.000264 K}{\phi \mu c_t r_w^2} + \log \Delta t \quad (64)$$

PROCEDIMIENTO

1. Representar gráficamente la diferencia de presión ΔP , entre la presión de restauración (P_{ws}) y la presión de fondo fluyente (P_{wf}) en función del tiempo de cierre (Δt , horas).

Para ello se dibuja en papel transparente

el recuadro donde se presentan las curvas tipo (con la escala conveniente).

2. Calcular la constante de lleno \bar{C} , usando la ecuación (61).

$$\bar{C} = \frac{q_L \beta \Delta t}{(P_{ws} - P_{wf})} \times \frac{1}{24} \quad (61)$$

Si los puntos iniciales de los datos representados forman una línea de 45° , se elige un punto cualquiera de la línea para obtener Δt y ΔP .

3. Se calcula el valor de la constante de lleno adimensional \bar{C}_D , mediante ecuación (37).

$$\bar{C}_D = \frac{0.8936 \times \bar{C}}{\phi h c_t r_w} \quad (37)$$

4. Si los primeros puntos de la curva de datos caen sobre una línea recta de pendiente unitaria, están afectados por el almacenaje de pozo.

En los gráficos donde están representados la curva tipo se traza suavemente una línea de 45° de acuerdo al valor de \bar{Q}_D calculado del paso (3).

Desplazando la curva de 45° de la curva real sobre la línea de 45° de las curvas tipo, se busca una superposición adecuada. Si no se tiene suficiente información para calcular \bar{C}_D , se intenta la superposición desplazando el gráfico de campo en cualquier dirección hasta conseguirlo, lo cual permite determinar \bar{C}_D .

5. Una vez lograda la superposición apropiada, se lee el valor del efecto superficial S del gráfico de curvas tipo. Esto nos indica la existencia o no de daño en forma cualitativa.

Se escoge un punto cualquiera (Δt , ΔP) de la curva real y se leen sus correspondientes (t_D , P_D) del gráfico de curvas tipo.

6. Con los valores de P_D y ΔP se calculan la permeabilidad K mediante la ecuación (65)

$$K = 141.2 \frac{Q \mu \beta}{h \Delta P} \times P_D \quad (65)$$

7. Con los valores de Δt y t_D , también se calcula la permeabilidad K , mediante la ecuación (66)

$$K = 3787.87 \phi \mu c_t r_w^2 \frac{t_D}{\Delta t} \quad (66)$$

8. Cuando se tiene suficiente información de manera que la curva real se logra asintótica a un valor de P_D^* , si se desea puede calcularse la presión estática a partir de esete valor mediante la ecuación (67).

$$\Delta P^* = 141.2 \frac{Q \mu \beta}{Kh} + P_D^* \quad (67)$$

$$P_{WS} = P_{wf} + \Delta P^*$$

CAPITULO III

PROCEDIMIENTO PARA EFECTUAR PRUEBAS DE RESTAURACION
DE PRESION EN EL CAMPO



3.1. PROGRAMA PARA EL OPERADOR

A continuación se describen el programa de trabajo que debe seguir el operador de la unidad de "wire line" para correr una prueba de restauración de presión, tomando como ejemplo el pozo SSF 02, el programa es el siguiente:

1. Armar válvula de paso y equipo de línea de alambre.
2. Correr calibrador de tubería de $2\frac{7}{8}$ " hasta la profundidad del reductor.
3. Correr calibrador de tubería de $2\frac{3}{8}$ " hasta la profundidad del Neplo de asentamiento.
4. Si la tubería está limpia, correr y asentar válvula fija en el neplo de asentamiento.
5. Correr bombas de presión y temperatura realizando paradas de 15 minutos a 30 pies por encima o debajo de cada mandril.

Para SSF 02 sería a; 10' - 2400' - 4030' - 5555'

6620' - 7520' - 8210' - 8880'.

Dejar bomba a 9100' para tomar prueba de restauración de presión de la arena "T" durante la noche.

6. Avisar a producción para realizar prueba de flujo estabilizada del pozo de 4 horas.
7. Medir presión de cabeza fluyente durante prueba de producción.
8. Cerrar el pozo para la restauración de presión - por 6 o 12 horas.
9. Medir presión de cabeza estática.
10. Sacar bombas haciendo paradas de 15 minutos a 8600' - 8100' - 7600' - 10'.
11. Si las cartas son buenas, sacar válvula fija del neplo de asentamiento y desarmar el equipo. De lo contrario correr nuevamente las bombas.

En la Fig. (3.1) se muestra la completación del pozo.

3.2. DESCRIPCION DEL EQUIPO

La descripción que vamos a realizar corresponde a la

amerada RPG3 [8] que es la más utilizada para pruebas de restauración de presión en los campos del Oriente Ecuatoriano.

El medidor de presión está hecho de aleaciones de níquel resistentes a la acción corrosiva, pesa 15 libras y tiene un diámetro de $1 \frac{1}{4}$ de pulgada y su longitud total es 67.5 pulgadas, cuando se usa como medidor de presión con capacidad menor de 6000 lpc y de 71.5 pulgadas cuando tiene capacidad mayor de 6000 lpc.

Podemos decir que esta bomba consta de 2 partes principales y una opcional y son:

- Sección de registro (Fig. 3.2)
- Elemento de presión (Fig. 3.3)
- Medidor de temperatura (Fig. 3.3)

Sección de registro.-

Esta sección consta de un reloj desmontable el que es usado para accionar la carta del medidor de presión que es de construcción extremadamente resistente. Estos relojes están regulados con mucha precisión y prácticamente no son afectados por temperatu-

ras menores de 275°F.

Los relojes vienen en diferentes alcances de 3-12-24 48-72 horas, entendiéndose por alcance de un reloj el tiempo necesario para empujar la carta una distancia de 5 pulgadas.

Este reloj va unido a la estructura de un tornillo conductor que sirve para desplazar al sostenedor de cartas hacia el tope del eje del estilete.

En el interior del sostenedor de cartas se encuentra un porta cartas cilíndrico y desmontable donde se coloca la carta con la ayuda de una carta mandril, donde los bordes de la carta son centrados con la ranura longitudinal en el mandril, luego se empuja la carta y el mandril juntos dentro del porta cartas.

A veces es necesario rotar el mandril hacia atrás o hacia adelante mientras se la está empujando; después se remueve el mandril solo, dejando la carta en su lugar.

El tipo de carta usado es el de latón con una superficie negra y se usa con un estilete de punta de acero y las líneas resultantes sobre la carta son bri-

llantes sobre un fondo obscuro.

Este tipo de carta tiene la ventaja de que la puerta del estilete no tiene que afilarse y que el cambio - de un estilete por otro puede hacerse con mucha facilidad.

La estructura del sostenedor de cartas va unida a la estructura del brazo del estilete. Esta última es removida soltando un tornillo que se encuentra en la parte inferior de la estructura que hace que resbale y se libera el eje del estilete del elemento de presión.

Para atornillar la sección registradora en el elemento de presión primero se remueve el seguro superior del elemento de presión y luego puede atornillarse manualmente o con ayuda de llaves especiales.

Elemento de presión.-

Como puede verse en la Fig. 3.3 este elemento consta de una trampa de aceite, fuelle, tubo de Bourdoun y eje del estilete.

El fluido entra por la trampa de aceite y comprime el

fuelle con la presión del yacimiento que traduce un movimiento mecánico circular que se transmite al tubo de bourdoun que está colocado directamente con el eje del estilete y por tanto transmitido al estilete el cual registra sobre una carta de metal impulsada por un reloj desmontable.

Medidor de temperatura.-

El elemento de presión va atornillado sobre el medidor de temperatura que consiste de un termómetro donde se encuentra el fluido a la profundidad donde se para la bomba. Esta sección opcional puede ser omitida en caso de que también se corra el elemento de temperatura en el cual se registrarían las diferentes temperaturas a sus correspondientes profundidades y así obtener el gradiente de temperatura.

3.3. CORRIDA DE BOMBA

Para la corrida de la bomba hacemos uso del equipo - de línea de alambre el cual consta de las siguientes herramientas. Dentro del pozo tenemos: Bombas de presión, martillos, barras de peso, y el cuello de sujeción que va unido a la línea de alambre.

Las herramientas que van en superficie son:

- Válvula de paso, colocada sobre la cabeza del pozo y cuya función es permitir que el pozo fluya mientras las herramientas se están armando en superficie.
- Un pequeño preventor (BOP) usado para trabajar con mayor seguridad, el cual sería utilizado en caso de existir algún problema en el pozo.
- El lubricador que es una tubería dentro de la cual se introducen las herramientas que van a ser bajas al pozo.
- El prensa estopas colocado sobre el lubricador, sirve de sello para no dejar escapar la presión del pozo.

Una vez armadas todas las herramientas se procede a abrir la válvula de paso, lo que permite la corrida de las herramientas en el pozo de acuerdo al programa preparado para que lo realice el operador de "wire line".

En la figura 3.4 se muestra el equipo utilizado para bajar la bomba.

3.4. PRUEBA DE FLUJO ESTABILIZADA DEL POZO

Una vez que se comienza a bajar la herramienta en el pozo es posible proceder a correr la prueba de flujo estabilizada, la cual consiste en bajar la bomba a determinada profundidad y por determinado tiempo. Esta parte de la prueba es especialmente utilizada para realizar el "GAS LIFT SURVEY", por medio del cual se puede conocer que válvula del sistema de "Gas Lift" está operando. Esto se hace graficando las presiones fluyentes versus profundidad, con lo que se determinan los gradientes fluyentes tanto del gas como del líquido y el punto donde la presión del gas de inyección y la del líquido son iguales nos indica la válvula operadora, es decir podemos conocer por donde se ha estado realizando la inyección del gas.

Por lo general se deja la bomba por 15 minutos, 30 pies arriba o debajo de cada mandril y luego se la deja a la profundidad programada. Como el pozo sigue fluyendo es posible realizar una prueba de producción de por lo menos 4 horas a fin de determinar la tasa de flujo de cada pozo.

3.5. CIERRE DEL POZO PARA EMPEZAR RESTAURACION DE PRE- SION

Una vez realizada la prueba de flujo estabilizada y la bomba colocada a 30 pies más o menos por arriba de la zona productora se procede a cerrar el pozo, cerrando la inyección de gas, para permitir que la presión del yacimiento sea restaurada. Por lo general en este campo la presión se restaura en un rango de 5 a 7 horas.

Esta es la parte más importante de la prueba porque esta zona de restauración es la que ha sido analizada en este trabajo para poder llegar a conocer los parámetros como permeabilidad, factor de daño, productividad del pozo, eficiencia de flujo, presión promedio del yacimiento, etc.

3.6. OBTENCION DE PRESION ESTATICA

Después de la prueba de restauración se procede a subir la bomba parando determinado tiempo y a determinadas profundidades para medir la presión estática en ese punto. Esto se lo realiza con el fin de determinar los gradientes estáticos a partir de

los valores de presión obtenidos de la carta de restauración con los cuales se pueden calcular las presiones estáticas en los puntos que no se haya leído, ya sea al datum, tope de formaciones, etc.

3.7. CARTAS DE RESTAURACION; INTERPRETACION

La interpretación de la carta de restauración se la hace con la ayuda de un lector de cartas, donde la carta es introducida y los puntos del gráfico se localizan mediante la reticula de un microscopio. La distancia entre los puntos se mide por control del movimiento longitudinal y transversal de escalas graduadas. Por la medición del movimiento longitudinal se obtiene el intervalo de tiempo y la lectura del movimiento transversal suministra el valor de presión o temperatura.

El eje de coordenadas para medir presión o temperatura es de 2 pulgadas y el eje de coordenadas para tiempo es de 5 pulgadas. Las distancias medidas en pulgadas son transformadas a libras por pulgada cuadrada de presión por medio de unas tablas de calibración correspondientes al elemento de pre-

sión utilizado en la prueba y el cual ha sido calibrado antes de bajarlo al pozo.

En la figura 3.5 puede verse una gráfica de una carta de restauración donde pueden distinguirse las zonas de flujo estabilizada, restauración de presión y presión estáticas, analizadas anteriormente.

3.8. ANALISIS DE VALORES OBTENIDOS

Después de realizar la interpretación de la carta y obtener valores de presión y tiempo, se los analiza con el fin de estar seguros de que dichos valores obtenidos, los cuales vamos a utilizar en los métodos de interpretación de pruebas de presión, merecen confiabilidad.

Durante la interpretación de una carta pueden presentarse ciertas anomalías en la forma de la carta y que van a incidir en los valores obtenidos.

Las causas de dichas anomalías pueden ser debido a los siguientes factores:

- Acortamiento del fuelle
- Ajuste impropio de la herramienta o suciedad dentro de ella
- Los tiempos de parada de la bomba son más pequeños y/o más grandes que los programados.
- Las distancias entre paradas de la bomba son más pequeños y/o más grandes que los programados.



CAPITULO IV APLICACIONES

Las pruebas de restauración de presión se aplican en los campos del Oriente Ecuatoriano. A partir de ellas obtenemos los parámetros del yacimiento calculados en este capítulo.

Los datos y resultados de las pruebas de restauración sirven para determinar las siguientes características del yacimiento.

- Presión promedio, para cálculos de balance de materiales e intrusión de agua.
- Predicción del comportamiento futuro de un campo.
- Determinación del tipo de mecanismos de empuje en un yacimiento.
- Determinación del área de drenaje de un pozo.
- Determinación de tasa óptima de producción.
- Efectos de interferencia de pozos.
- Determinación de la presión de fondo fluyente.
- Obtención del tamaño del equipo de bombeo que se debe utilizar.
- Determinación de la necesidad de efectuar trabajos de

estimulación en los pozos.

- Determinación de la válvula que se encuentra en operación, para pozos con levantamiento artificial por gas.
- Determinación de los índices de productividad y construcción de curvas IPR
- Determinación de transmisibilidad del yacimiento.
- Determinación de gradientes estáticos y fluyentes.
- Determinación del comienzo del tiempo de período transiente necesario para realizar pruebas de productividad.

4.1. ANALISIS OPERACIONAL

El procedimiento seguido para analizar los datos de presión de cada pozo se describe brevemente a continuación.

Comenzamos con la elaboración de los gráficos de Horner y Miller, Dyes y Hutchinson, de los cuales determinamos sus pendientes (m_H , m_{MDH}) y la presión de cierre cuando $\Delta t = 1$ hora (P_{1hH} , P_{1hMDH}). Con estos valores calculamos las permeabilidades (K_H , K_{MDH}) y el factor de daño (S_H , S_{MDH}).

A continuación construimos el gráfico de Ramey el

cual lo superponemos sobre la curva tipo para obtener los puntos de coincidencia y determinar así las permeabilidades (K_R) y el factor de daño (S_R). Estos valores se comparan con los obtenidos por los dos métodos nombrados anteriormente.

La presión del yacimiento la obtenemos gráficamente por medio del método de Muskat. Una vez conocida la presión del yacimiento procedemos a la construcción de las curvas IPR, para lo cual seguimos los siguientes pasos:

- a. Calculamos la eficiencia de flujo FE.
- b. Calculamos $Pwf' = \bar{P}_R - (\bar{P}_R - Pwf) \times FE$
- c. Calculamos $Q_{max} = q_1 \left[1 - 0.2 \left(\frac{Pwf'}{\bar{P}_R} \right) - 0.8 \left(\frac{Pwf'}{\bar{P}_R} \right)^2 \right]$ donde Q_{max} es la tasa de flujo correspondiente al 100% de declinación de presión.
- d. Se asumen diferentes valores de Pwf entre $0 < Pwf < \bar{P}_R$ y se calculan valores de Pwf'
- e. Calculamos la tasa de producción correspondiente a una entrada de presión del pozo Pwf'

$$q = Q_{max} \times \left[1 - 0.2 \left(\frac{Pwf'}{\bar{P}_R} \right) - 0.8 \left(\frac{Pwf'}{\bar{P}_R} \right)^2 \right]$$

- f. Construimos una gráfica de $\log(\bar{P}_R^2 - Pwf)$ Vs $\log q$

a partir del cual obtenemos la constante n.

De la ecuación:

$$q = c (P_R^{\gamma} - Pwf^{\gamma})^n$$

calculamos c.

g. Calculamos valores de q para cada Pwf asumido

$$q = c (P_R^{\gamma} - Pwf^{\gamma})^n$$

h. Graficamos Pwf vs q y la curva obtenida es la curva IPR.

i. Calculamos el potencial del pozo cuando $Pwf = 0$

$$q = AOPF = c (P_R^{\gamma} - Pwf^{\gamma})^n = c (P_R^{\gamma})^n$$

j. Los puntos de intersección en la curva IPR son el AOPF y \bar{P}_R .

4.2. DETERMINACION DEL FACTOR DE DAÑO Y PERMEABILIDAD
DEL YACIMIENTO POR EL METODO DE HORNER Y MILLER
DYES - HUTCHINSON.

DATOS GENERALES DE PRECIPITACION DEL POZO

CAMPO SABANAS
FORMACION NAPO
FECHA DE PRUEBA 29 - VI - 60

Nº POZO SSP-01
ARIMA 1000 m
"TEMPO 62111 hrs

DEPTO. (M)	TIT. (M)	TIT. (M)	TIEMPO (M)	
			DEPTO.	ARIMA
9100	0,00	00	1753	
9100	0,10	621111	1894	
9100	0,20	310556	2013	
9100	0,40	155278	2073	
9100	0,80	77639	2121	
9100	2,00	31056	2141	
9100	4,00	15528	2157	
9100	7,20	8627	2167	
9100	7,80	7964	2167	

ANALISIS DE RESTAURACION DE PRESION

$$\begin{aligned}
 q &= \frac{3990}{1.0} \text{ ELPD} \\
 \mu &= 9.8 \times 10^{-6} \text{ cp} \\
 c_T &= \text{--- Lpc}^{-1} \\
 \beta &= 1.21 \text{ BBL/STB} \\
 P_{lhH} &= 2140 \text{ Lpc} \\
 mH &= 31 \text{ Lpc/ciclo} \\
 \end{aligned}$$

(Del Gráfico 4.1)

$$\begin{aligned}
 \phi &= \frac{0.18}{40} \text{ pies} \\
 h &= 0.265 \text{ pies} \\
 r_w &= \text{---} \\
 Pv^e &= 1753 \text{ lpc} \\
 P_{MHDH} &= 2138 \text{ lpc} \\
 mMDH &= 30 \text{ lpc / ciclo} \\
 \end{aligned}$$

(Del Gráfico 4.2)

CALCULOS DE PERMEABILIDAD

$$K_H = \frac{162.6 q \mu \beta}{h m H} \quad K_{H} = 6.33 \text{ md}$$

$$K_{MDH} = \frac{162.6 q \mu \beta}{h m MDH} \quad K_{MDH} = 654 \text{ md}$$

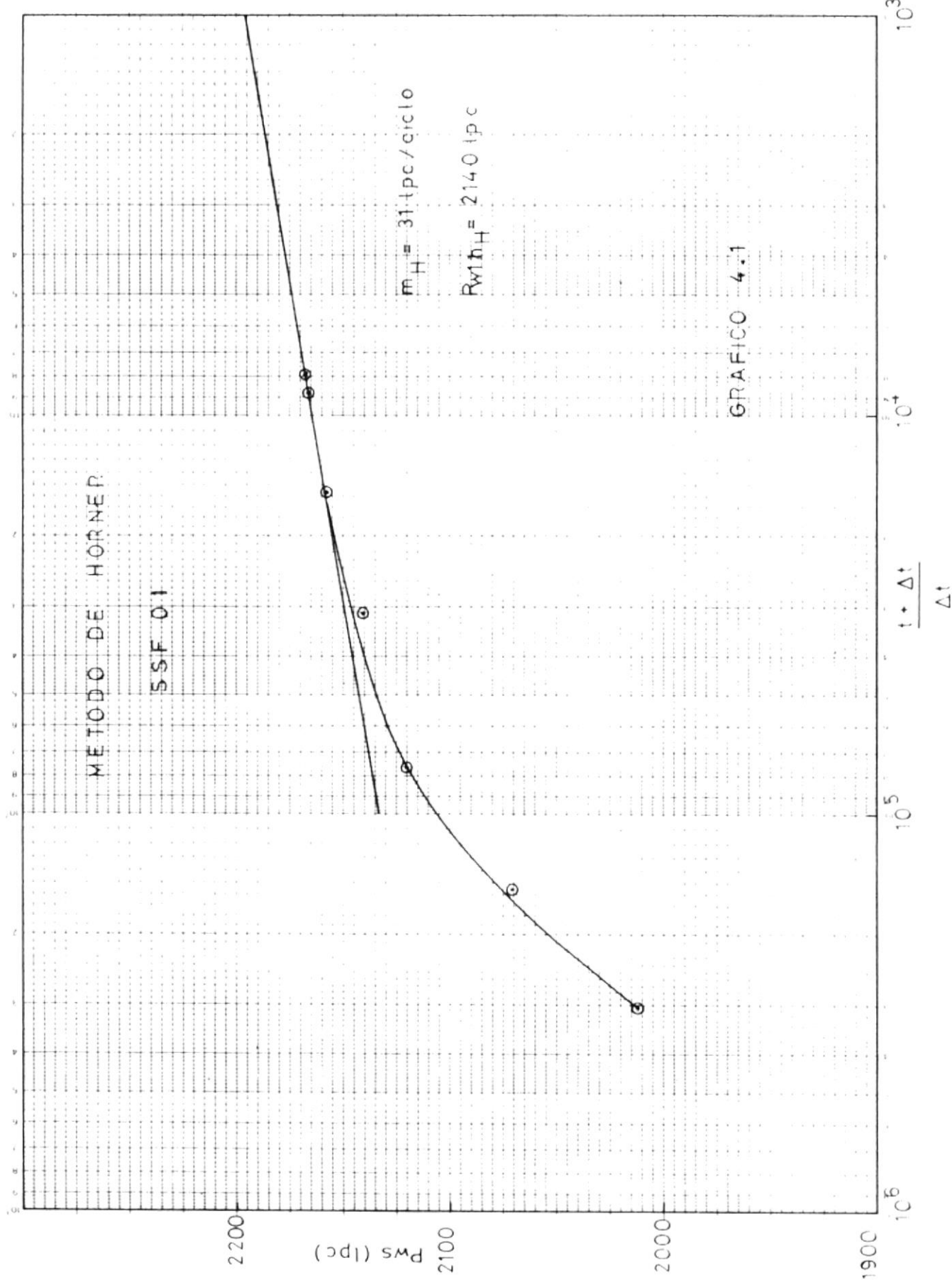
CALCULOS DE FACTOR DE DAVO

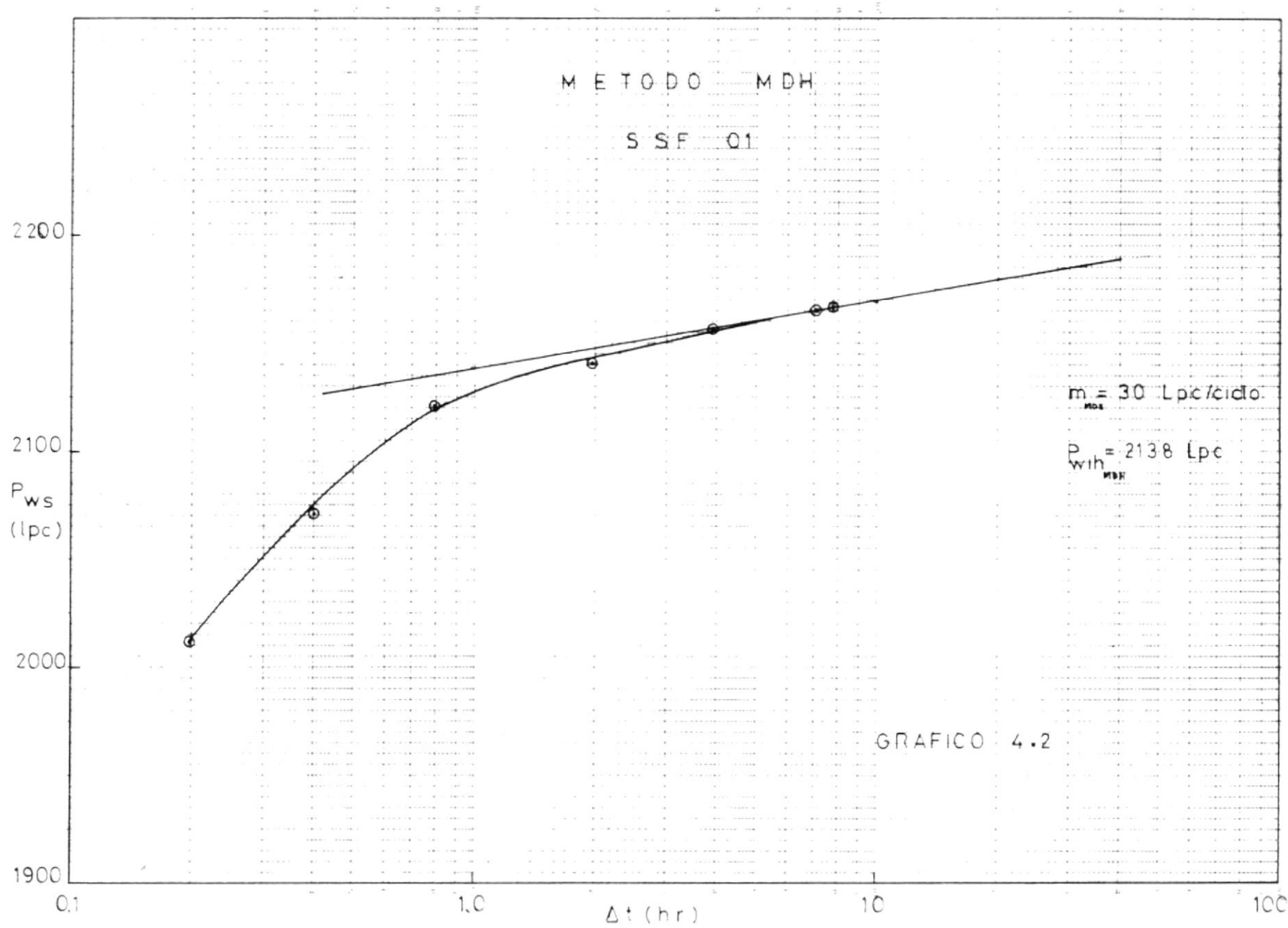
$$S_H = 1.151 \left[\frac{P_{lhH} - Pv^e}{m H} + \log \frac{r_H}{\phi \mu c_T r_w^2} + 3.23 \right]$$

$$S_H = 6.91$$

$$S_{MDH} = 1.151 \left[\frac{P_{lhMDH} - Pv^e}{m MDH} + \log \frac{r_{MDH}}{\phi \mu c_T r_w^2} + 3.23 \right]$$

$$S_{MDH} = 7.29$$





DATOS GENERALES DE PROBACACION DE PRIMON

CAMPO	SAH	Nº POZO	SSP_02
FORMACION	NAPO	ARENA	T
FECHA DE TRABAJO	10-IV-80	TIEMPO	83756 hrs

PROFUNDIDAD D, mts	TIEMPO AT, Hrs	TIEMPO T, Min	PRESION P, Bar
9060	0	00	2090
9060	0,666	125761	2601
9060	1,333	62975	2633
9060	2,000	41879	2643
9060	2,666	31488	2645
9060	3,333	25152	2648
9060	4,000	20940	2649
9060	4,666	17974	2730
9060	5,333	15715	2751
9060	6,000	13960	2781
9060	6,333	13232	2798
9060	6,666	12576	2809
9060	7,000	11966	2813
9060	7,230	11585	2818

ANALISIS DE RESTAURACION DE PRESION

$$\begin{aligned} q &= \frac{1947}{\mu} \text{ BLPD} \\ \mu &= 0.90 \text{ cp} \\ c_T &= 9.8 \times 10^{-6} \text{ Lpc}^{-1} \\ \beta &= 1.23 \text{ BBL/STB} \\ P_{lhH} &= 2630 \text{ lpc} \\ m_H &= 26 \text{ lpc/ciclo} \end{aligned}$$

(Del Gráfico 4.3)

$$\begin{aligned} \phi &= 0.18 \\ h &= 50 \text{ pies} \\ r_w &= 0.2075 \text{ pies} \\ P_{wf} &= 2090 \text{ lpc} \\ P_{lhMDH} &= 2634 \text{ lpc} \\ m_{MDH} &= 24 \text{ lpc / ciclo} \end{aligned}$$

(Del Gráfico 4.4)

CALCULOS DE PERMEABILIDAD

$$K_H = \frac{162.6 q \mu \beta}{h m_H} \quad K_H = \frac{270}{m_H} \text{ md}$$

$$K_{MDH} = \frac{162.6 q \mu \beta}{h m_{MDH}} \quad K_{MDH} = \frac{292}{m_{MDH}} \text{ md}$$

CALCULOS DE FACTOR DE DANO

$$S_H = 1.151 \left[\frac{P_{lhH} - P_{wf}}{m_H} - \log \frac{K_H}{\phi \mu c_T r_w^2} + 3.23 \right]$$

$$S_H = \frac{16.58}{m_H}$$

$$S_{MDH} = 1.151 \left[\frac{P_{lhMDH} - P_{wf}}{m_{MDH}} - \log \frac{K_{MDH}}{\phi \mu c_T r_w^2} + 3.23 \right]$$

$$S_{MDH} = \frac{18.73}{m_{MDH}}$$

10^3 10^4 10^5 10^6 10^6

GRAFICO 4.3

$$P_{WH} = 2630 \text{ lpc}$$

$$m_H = 26 \text{ lpc/ciclo}$$

MÉTODO DE HOPNER

SSF 0.2

○○○

○

2800

PWS (lpc)

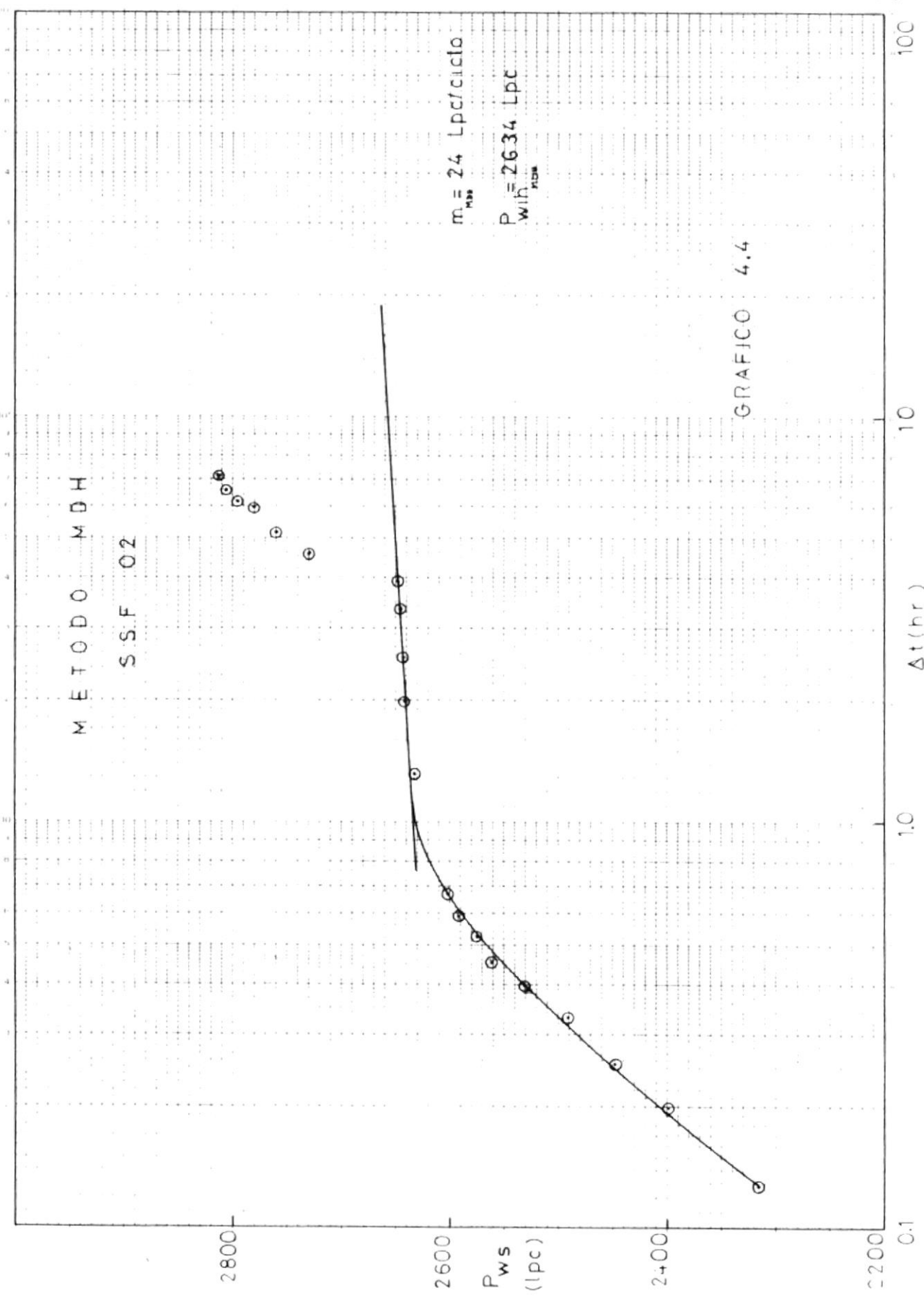
2600

2400

2200

 10^6

$$\frac{t + \Delta t}{\Delta t}$$



DATOS GENERALES DE RESTAURACION DEL POZO

CAMPO	SAN JUAN	Nº POZO	SSE 05
FORMACION	NAPO	APERTURA	T
FECHA DE PRUEBA	1-IX-80	TIEMPO	70394 hrs

PROFUNDIDAD En pie	TIEMPO En hrs	TIEMPO En min	INTENSIDAD En db
9130	0,00	00	2313
9130	0,10	703941	2502
9130	0,20	351971	2557
9130	0,40	175986	2580
9130	0,80	87993	2595
9130	1,40	50282	2602
9130	2,00	35198	2622
9130	3,00	23465	2647
9130	4,00	17599	2674
9130	5,00	14079	2724
9130	6,00	11733	2751
9130	7,00	10057	2776
9130	8,00	8800	2801
9130	9,00	7823	2811

ANALISIS DE RESTAURACION DE PRESION

$$\begin{aligned}
 q &= \frac{2816}{\mu} \text{ RLPD} \\
 \mu &= 1.0 \text{ cp} \\
 c_T &= \frac{9.8 \times 10^{-6}}{r_w} \text{ Lpc}^{-1} \\
 \beta &= 1.23 \text{ BBL/STB} \\
 P_{lhH} &= \frac{2597}{r_w} \text{ Lpc} \\
 m_H &= \frac{37}{r_w} \text{ Lpc/ciclo} \\
 \end{aligned}$$

(Del Gráfico 4.5)

$$\begin{aligned}
 \phi &= \frac{0.18}{72} \text{ pies} \\
 h &= \frac{0.2075}{r_w} \text{ pies} \\
 P_{vf} &= \frac{2313}{2597} \text{ Lpc} \\
 P_{lhMDH} &= \frac{38}{r_w} \text{ Lpc} \\
 m_{MDH} &= \frac{38}{r_w} \text{ Lpc / ciclo} \\
 \end{aligned}$$

(Del Gráfico 4.6)

CALCULOS DE PERMEABILIDAD

$$K_H = \frac{162.6 q \mu \beta}{h m_H} \quad K_{H!} = 211 \text{ md}$$

$$K_{MDH} = \frac{162.6 q \mu \beta}{h m_{MDH}} \quad K_{MDH!} = 206 \text{ md}$$

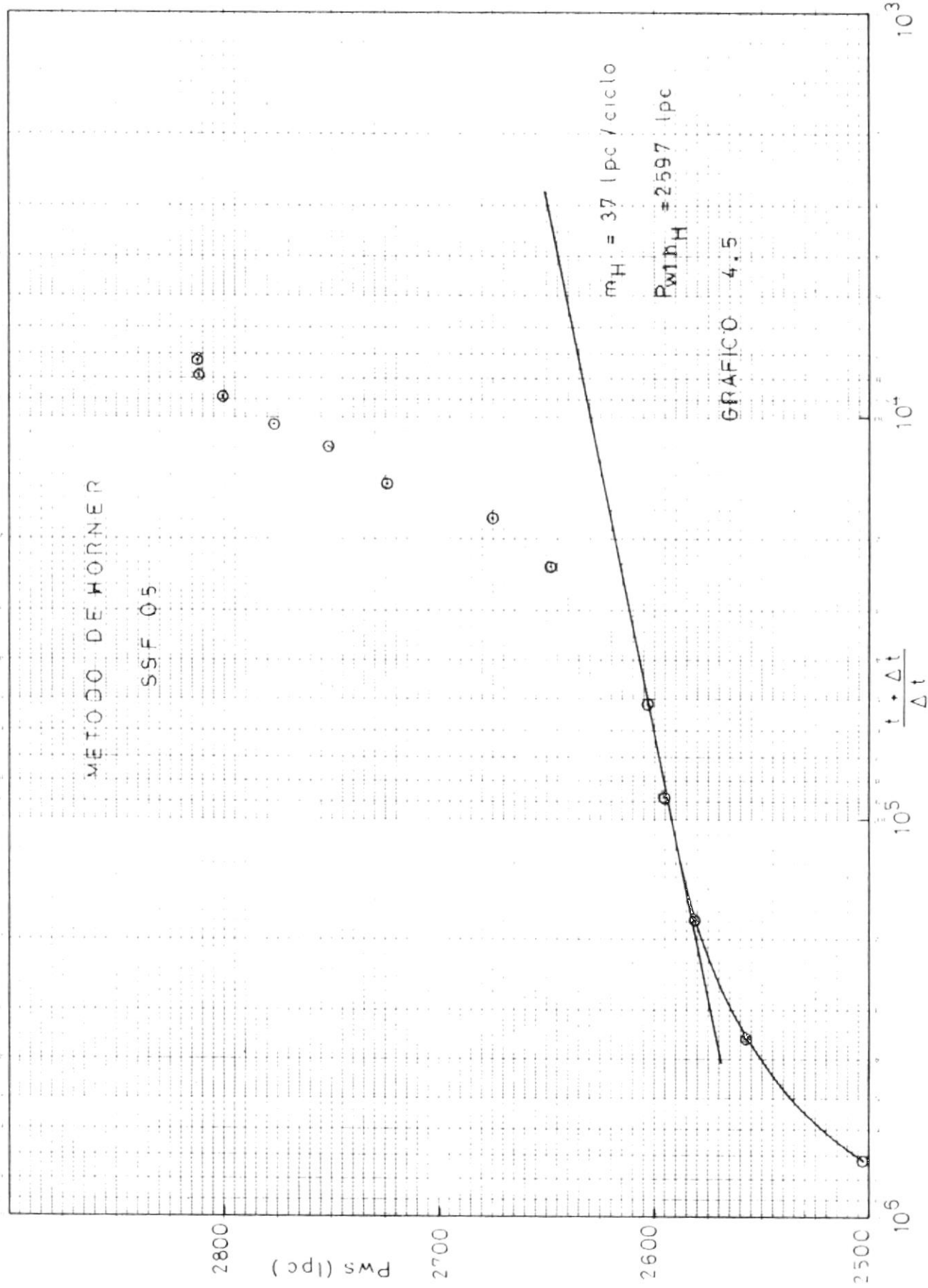
CALCULOS DE FACTOR DE DANO

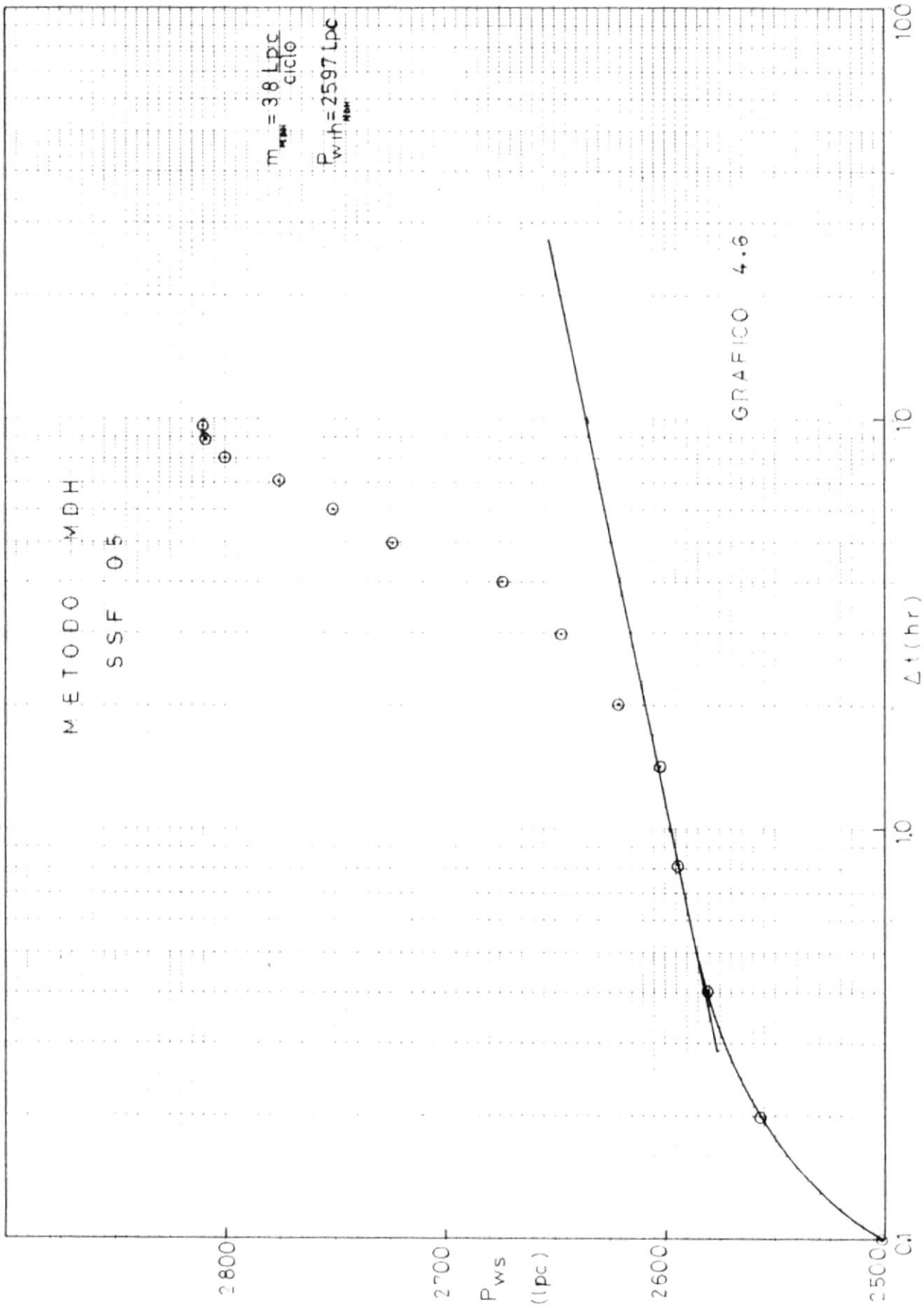
$$S_H = 1.151 \left[\frac{P_{lhH} - P_{vf}}{m_H} - \log \frac{K_H}{\phi \mu c_T r_w^2} + 3.23 \right]$$

$$S_H = 1.69$$

$$S_{MDH} = 1.151 \left[\frac{P_{lhMDH} - P_{vf}}{m_{MDH}} - \log \frac{K_{MDH}}{\phi \mu c_T r_w^2} + 3.23 \right]$$

$$S_{MDH!} = 1.46$$





DATOS GENERALES DE RESTAURACION DE PRESION

CAMPO	SAH	Nº POZO	SNT 07
FORMACION	NAPO	ARENA	"
FECHE DE PUEBLO	5-IV-79	TIEMPO	83967 hrs

OPORTUNIDAD	TOTAL HRS	TIEMPO	TOTAL
D _r pres.	T _r , Hrs	T _r /T _t	T _r , hrs
9066	0,00	0	2993
9066	0,066	127228	3003
9066	0,133	631311	3007
9066	0,266	315666	3022
9066	0,530	158429	3082
9066	0,666	126077	3125
9066	1,000	83968	3147
9066	2,000	41985	3155
9066	3,333	25216	3160
9066	6,000	13995	3160
9066	7,266	11557	3160

ANALISIS DE REINTEGRACION DE PRECIO

q	$= 1698$	BLPD
μ	$= 1.0$	cp
c_T	$= 9.8 \times 10^{-6}$	Lpc^{-1}
β	$= 1.23$	EPL/STB
P_{HII}	$= 3152$	lpc
m_{HII}	$= 10$	lpc/ciclo
(Del Gráfico - 4.7)		

ϕ	$= 0.18$	
h	$= 108$	pies
r_V	$= 0.2075$	pies
P_{eff}	$= 2993$	lpc
$P_{\text{HII/HII}}$	$= 3152$	lpc
m_{MDH}	$= 10$	lpc / ciclo
(Del Gráfico - 4.8)		

CALCULOS DE PROPORCIONALIDAD

$$K_H = \frac{1698 \cdot 6 \cdot q \cdot \mu}{h \cdot m_{\text{HII}}} \beta$$

$$P_H = \frac{3 \cdot 14}{m_{\text{HII}}} \text{ mpc}$$

$$K_{\text{MDH}} = \frac{1698 \cdot 6 \cdot q \cdot \mu \cdot \beta}{h \cdot m_{\text{MDH}}} \beta$$

$$P_{\text{MDH}} = \frac{3 \cdot 14}{m_{\text{MDH}}} \text{ mpc}$$

CALCULOS DE FACTOR DE DATO

$$S_H = 1.151 \left[\frac{P_{\text{HII}} \cdot P_{\text{eff}}}{m_{\text{HII}}} + \log \frac{K_H}{q^2 \cdot \mu \cdot c_T \cdot r_V^2} + 3.21 \right]$$

$$S_H = 10.95$$

$$S_{\text{MDH}} = 1.151 \left[\frac{P_{\text{HII/MDH}} \cdot P_{\text{eff}}}{m_{\text{MDH}}} + \log \frac{K_{\text{MDH}}}{q^2 \cdot \mu \cdot c_T \cdot r_V^2} + 3.21 \right]$$

$$S_{\text{MDH}} = 10.95$$

MÉTODO DE HORNER

SSF 07

Pws (1pc)

3200

3100

3000

$\frac{t + \Delta t}{\Delta t}$

10^5

10^4

10^3

GRAFICO 4.7

$$m_H = 10 \text{ lpc/ciclo}$$

$$P_{wth_H} = 3152 \text{ lpc}$$



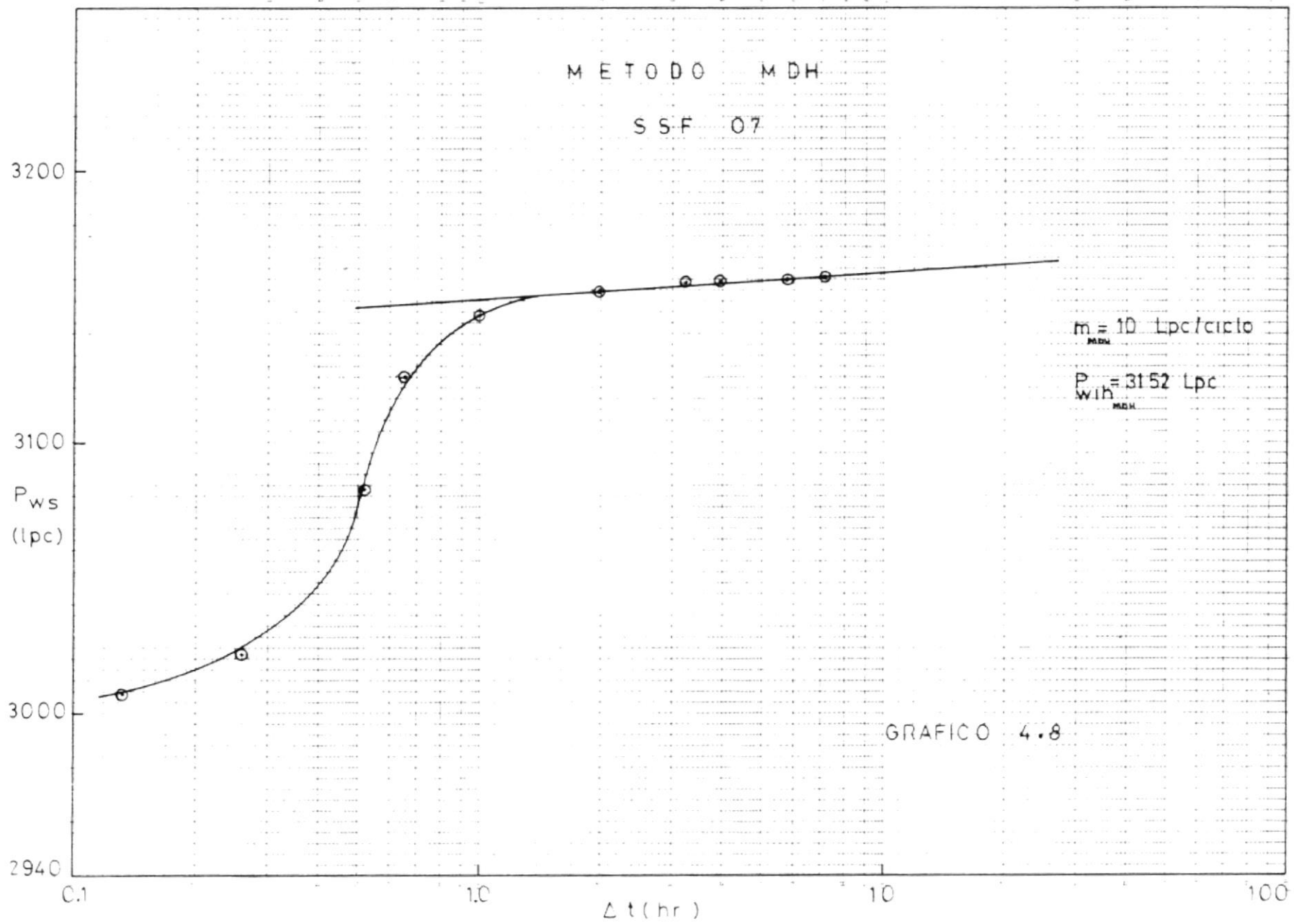


TABLA DE CURVAS DE REPARACION DE PRESION

CAMPO	SAB	Nº POZO	SPP 14
FORMACION	NAPD	ARADA	m
FONDA 14 - MDTA 28-111-79		TIEMPO	45099 hrs

DESPRECIONES	1	2	3	4
DEPRESION	0.00	0.100	0.200	0.300
9100	0.000	0.100	0.200	0.300
9100	0.150	0.250	0.350	0.450
9100	0.166	0.266	0.366	0.466
9100	0.200	0.300	0.400	0.500
9100	0.300	0.400	0.500	0.600
9100	0.400	0.500	0.600	0.700
9100	0.533	0.633	0.733	0.833
9100	1.000	1.500	2.000	2.500
9100	1.700	2.200	2.700	3.200
9100	2.000	2.500	3.000	3.500
9100	2.666	3.333	4.000	4.666
9100	3.666	4.333	5.000	5.666
9100	4.666	5.666	6.666	7.666
9100	7.800	9.780	11.760	13.740

ANÁLISIS DE LA TURBULENCIA DEL PRÓXIMO

$$\begin{aligned} q &= -3624 \quad \text{RPD} \\ \mu &= -1.0 \quad \text{cp} \\ c_T &= 9.8 \times 10^{-6} \quad \text{Lpc}^{-1} \\ \beta &= -1.23 \quad \text{PML/GB} \end{aligned}$$

$$P_{\text{MB}} = -21.0^{\circ} \quad \text{Lpc}$$

$$m_{\text{II}} = -31 \quad \text{Lpc/ciclo}$$

(Del Gráfico 4,9.)

$$\begin{aligned} \phi &= -0.18 \quad \text{cp} \\ h &= -51 \quad \text{pies} \\ r_V &= 0.2075 \quad \text{pies} \\ r_W &= 1060 \quad \text{Lpc} \end{aligned}$$

$$P_{\text{MB}} = -2102 \quad \text{Lpc}$$

$$m_{\text{MB}} = -31 \quad \text{Lpc / ciclo}$$

(Del Gráfico 4,10.)

CALCULO DEL PRIMERUM

$$E_{\text{H}} = \frac{V^2 \cdot \rho \cdot \alpha \cdot \mu}{h \cdot m_{\text{II}}}$$

$$E_{\text{H}} = -458 \quad \text{cal}$$

$$E_{\text{MB}} = \frac{V^2 \cdot \rho \cdot \alpha \cdot \mu}{h \cdot m_{\text{MB}}}$$

$$E_{\text{MB}} = -453 \quad \text{cal}$$

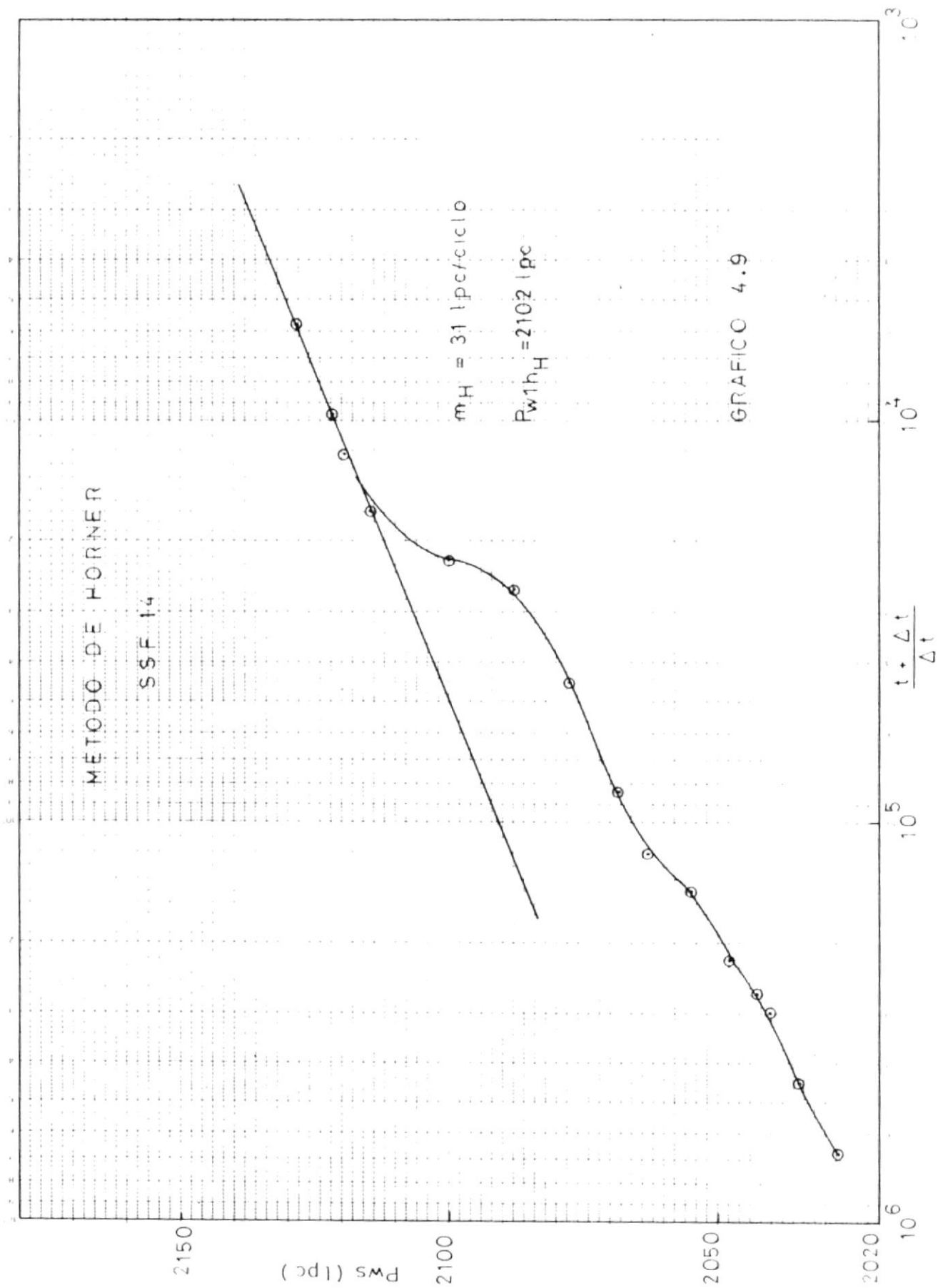
CALCULO DEL FACTOR DE DAW

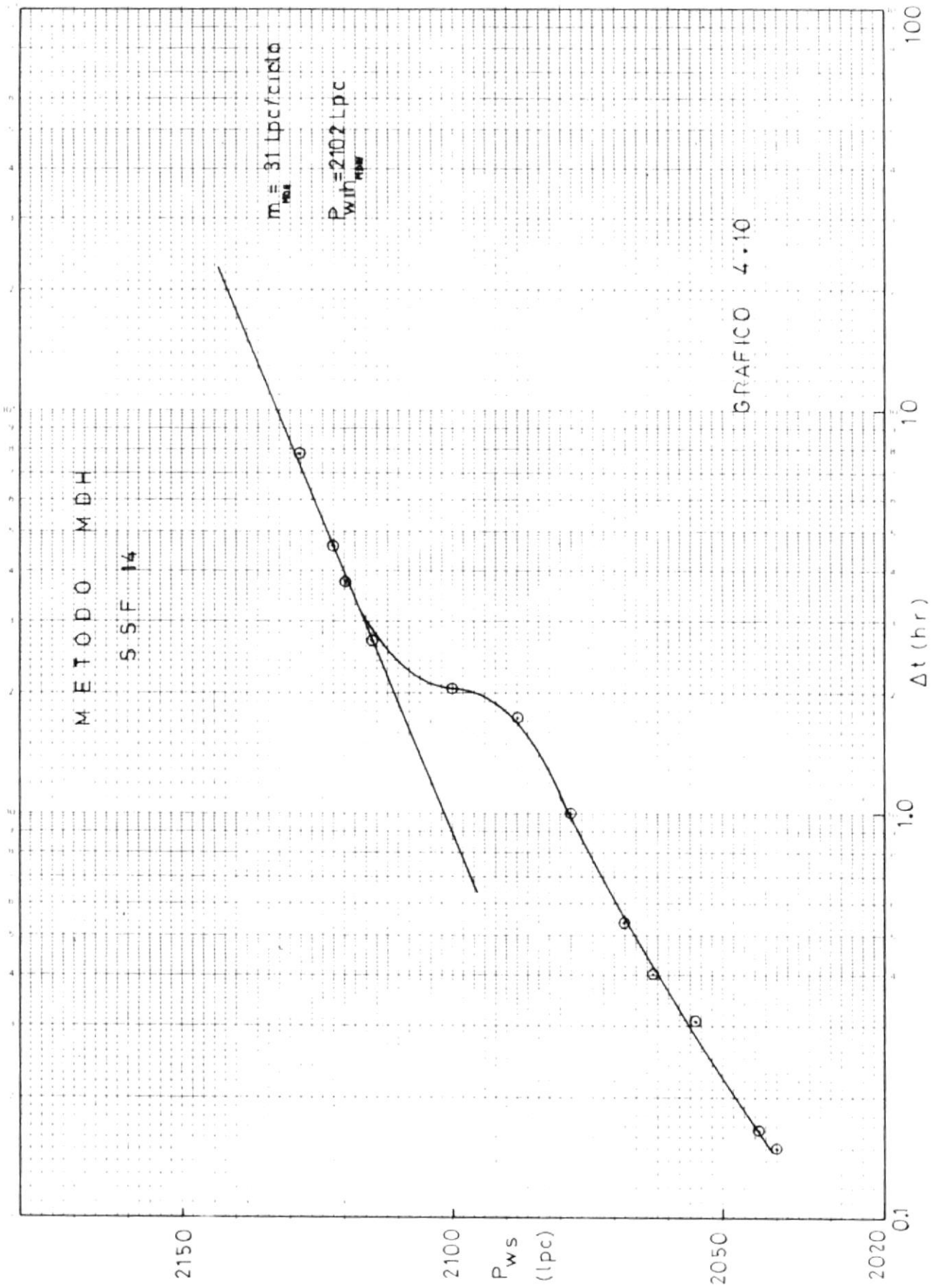
$$S_{\text{H}} = 1.151 \left[\frac{P_{\text{MB}} + V^2}{m_{\text{II}}} + \log \left(\frac{E_{\text{H}}}{q^2 \mu c_T r_V^2} \right) \right]$$

$$S_{\text{H}} = -2.27$$

$$S_{\text{MB}} = 1.151 \left[\frac{P_{\text{MB}} + V^2}{m_{\text{MB}}} + \log \left(\frac{E_{\text{MB}}}{q^2 \mu c_T r_V^2} \right) \right]$$

$$S_{\text{MB}} = -2.27$$





DATOS GENERALES DE RESTAURACIÓN DE FOTOGR.

ANALISIS DE RESTAURACION DE PRESION

$$\begin{aligned}
 q &= \frac{1786}{\text{RLPD}} \\
 \mu &= 0.95 \text{ cp} \\
 c_T &= 9.8 \times 10^{-6} \text{ lpc}^{-1} \\
 \beta &= 1.21 \text{ BPL/STB} \\
 P_{lhH} &= 2375 \text{ lpc} \\
 m_H &= 5.0 \text{ lpc/ciclo}
 \end{aligned}$$

(Del Gráfico 4.11)

$$\begin{aligned}
 \phi &= 0.18 \\
 h &= 70 \text{ pies} \\
 r_w &= 0.2075 \text{ pies} \\
 PvF &= 2264 \text{ lpc} \\
 P_{lHMDH} &= 2377 \text{ lpc} \\
 m_{MDH} &= 5.0 \text{ lpc / ciclo}
 \end{aligned}$$

(Del Gráfico 4.12)

CALCULOS DE PERMEABILIDAD

$$K_H = \frac{162.6 q \mu \beta}{h m_H}$$

$$K_H = \frac{954}{m_H} \text{ md}$$

$$K_{MDH} = \frac{162.6 q \mu \beta}{h m_{MDH}}$$

$$K_{MDH} = \frac{954}{m_{MDH}} \text{ md}$$

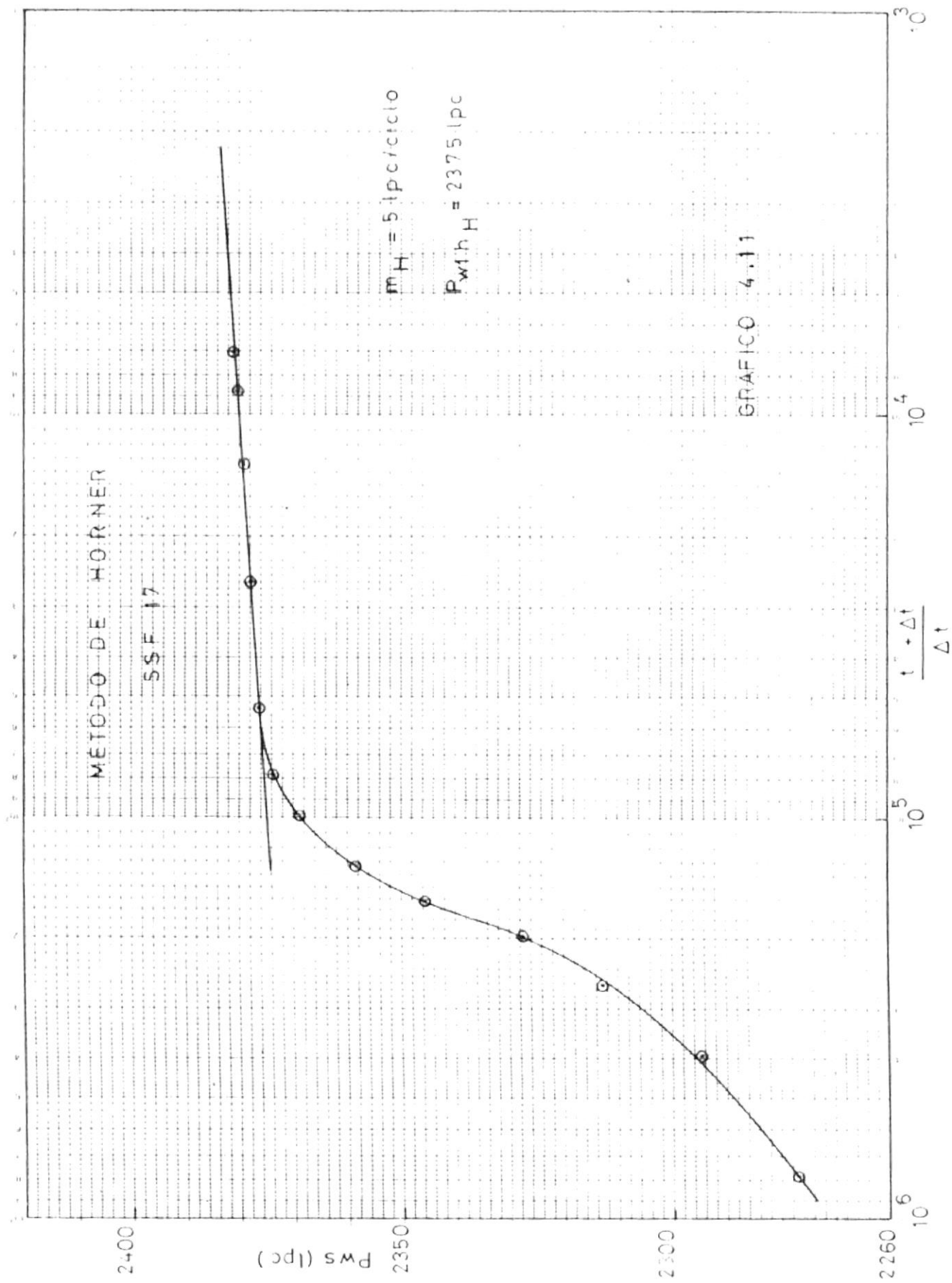
CALCULOS DEL FACTOR DE DANO

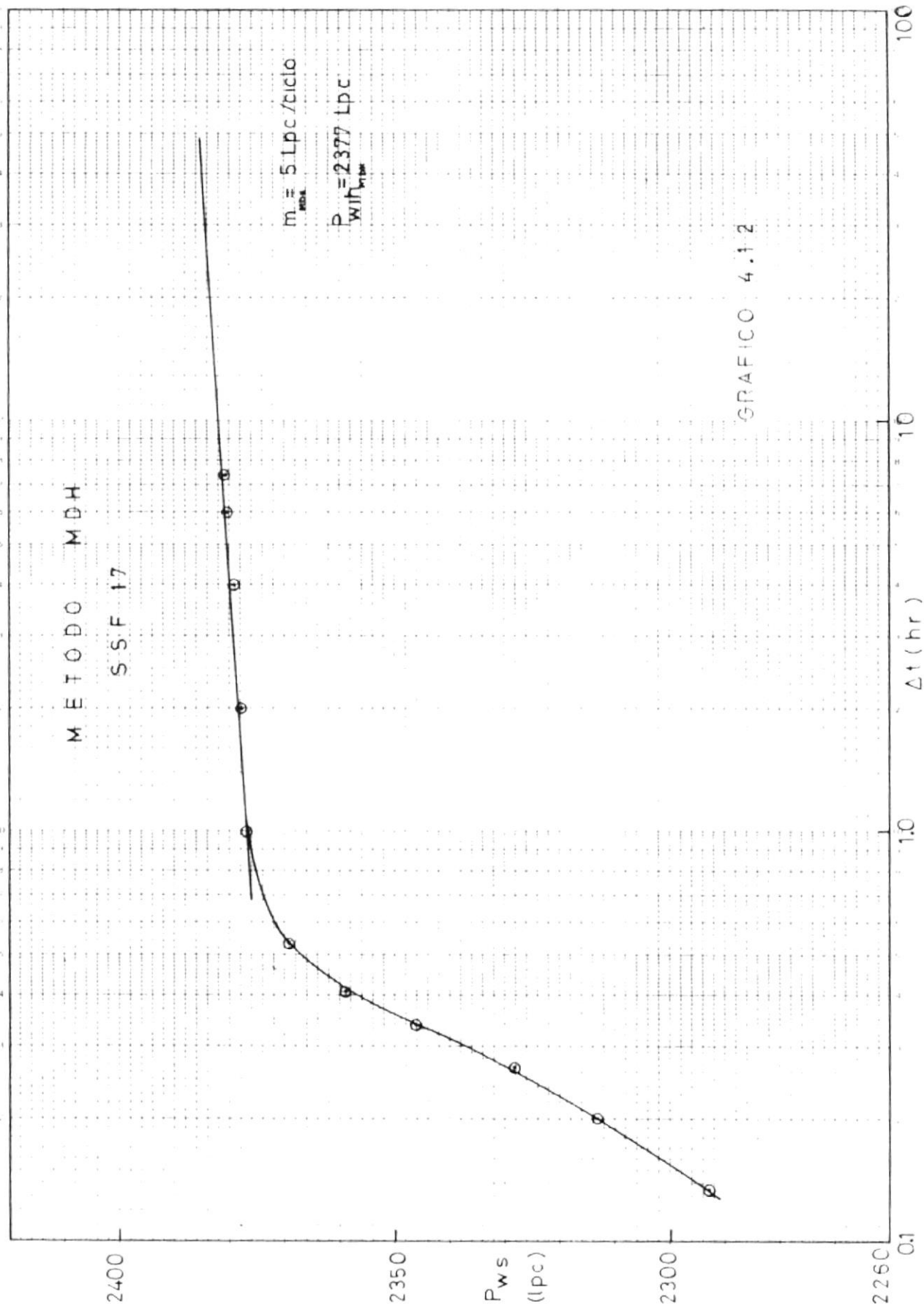
$$S_H = 1.151 \left[\frac{P_{lhH} - PvF}{m_H} + \log \frac{K_H}{\phi \mu c_T r_w^2} + 3.23 \right]$$

$$S_H = \frac{17.62}{m_H}$$

$$S_{MDH} = 1.151 \left[\frac{P_{lHMDH} - PvF}{m_{MDH}} + \log \frac{K_{MDH}}{\phi \mu c_T r_w^2} + 3.23 \right]$$

$$S_{MDH} = 18.08$$





DATOS GENERALES DE RESTAURACION DE PRESION

CAMPO	SAN	Nº POZO	SGP 21
FORMACION	NAPO	ARENA	T
FECHA DE PRUEBA	26-V-80	METODO	1565.34 hrs

DEPTO (m)	TIPO (m)	TIPO	TIPO
D _E (m)	T _E (m)	T _E (m)	T _E (m)
8970	0.0	0.0	2028
8970	0.10	1565.341	2088
8970	0.20	1826.71	2159
8970	0.40	3913.36	2250
8970	0.80	1956.68	2396
8970	2.00	1826.8	2530
8970	4.00	3913.4	2545
8970	6.00	2609.0	2551
8970	7.20	2174.1	2551

ANALISIS DE RESTAURACION DE PRESION

$$\begin{aligned}
 q &= \frac{975}{1.0} \text{ BLPD} \\
 \mu &= \frac{1.0}{9.8 \times 10^{-6}} \text{ cp} \\
 c_T &= \frac{1.23}{1.23} \text{ Lpc}^{-1} \\
 \beta &= \frac{2530}{25} \text{ Lpc} \\
 m_H &= \frac{25}{25} \text{ Lpc/ciclo} \\
 \end{aligned}$$

(Del Gráfico 4.13)

$$\begin{aligned}
 \phi &= \frac{0.18}{76} \text{ pies} \\
 h &= \frac{0.265}{0.265} \text{ pies} \\
 r_w &= \frac{2028}{2531} \text{ Lpc} \\
 P_{HMDH} &= \frac{26}{26} \text{ Lpc} \\
 m_{MDH} &= \frac{26}{26} \text{ Lpc / ciclo} \\
 \end{aligned}$$

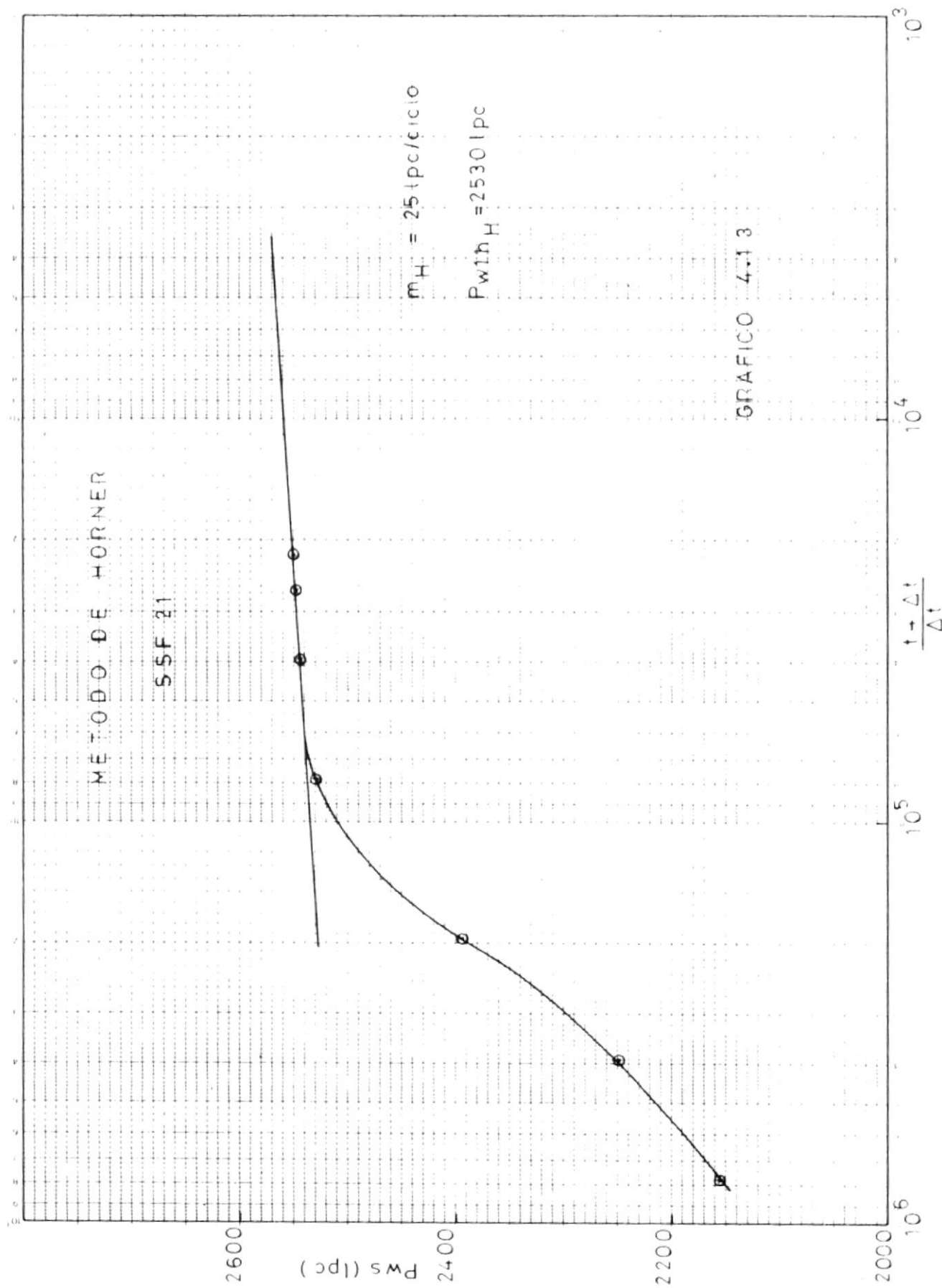
(Del Gráfico 4.14)

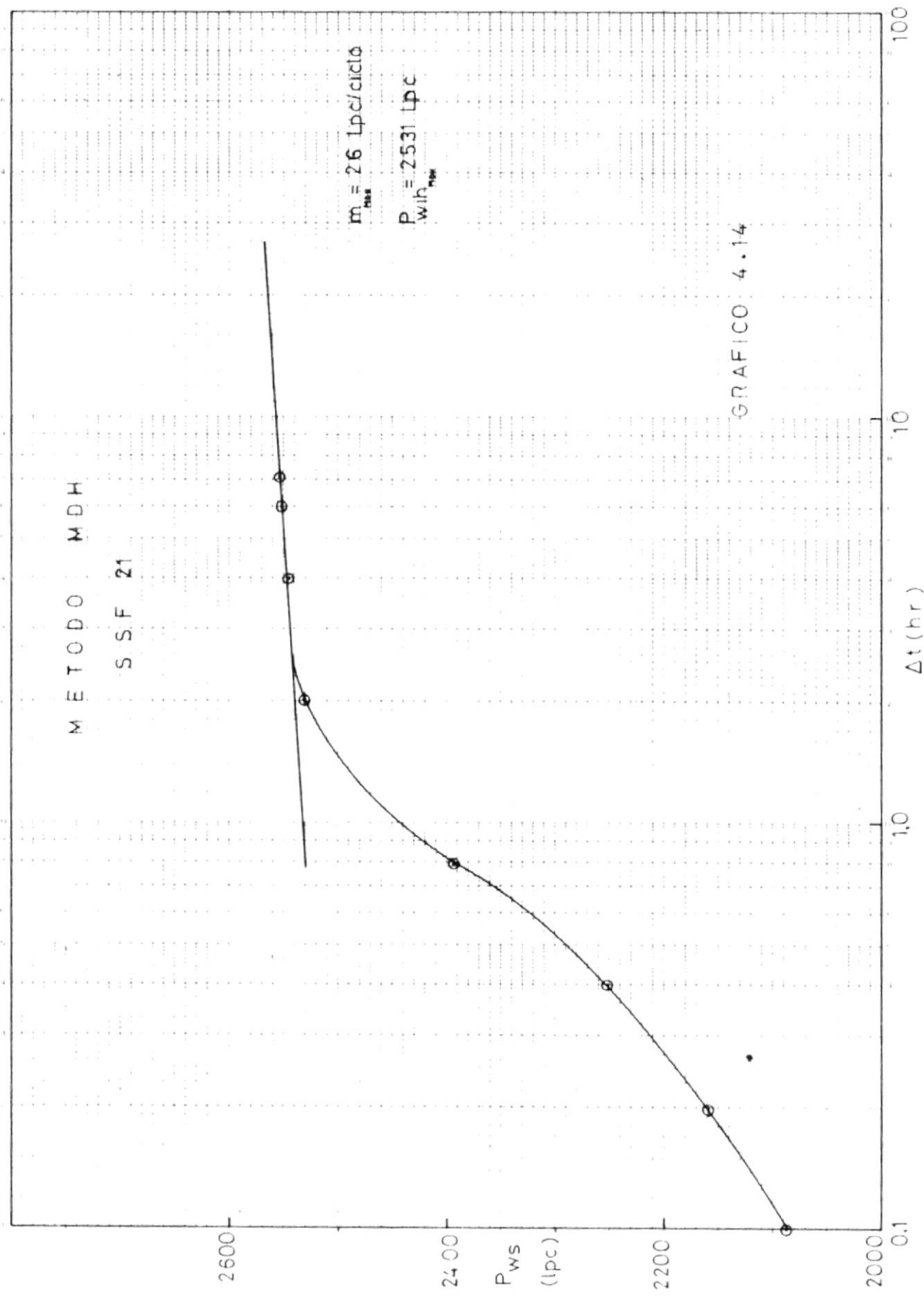
CALCULOS DE PERMEABILIDAD

$$\begin{aligned}
 K_H &= \frac{162.6}{h m_H} q \mu \beta & K_{H} &= \frac{1.03}{1.03} \text{ md} \\
 K_{MDH} &= \frac{162.6}{h m_{MDH}} q \mu \beta & K_{MDH} &= \frac{99}{99} \text{ md}
 \end{aligned}$$

CALCULOS DEL FACTOR DE DATO

$$\begin{aligned}
 S_H &= 1.151 \left[\frac{P_{HMDH} - P_{rf}}{m_H} + 10^{\rho} \frac{K_H}{\phi \mu c_T r_w^2} + 3.23 \right] \\
 S_H &= \frac{16.56}{16.56} \\
 S_{MDH} &= 1.151 \left[\frac{P_{HMDH} - P_{rf}}{m_{MDH}} + 10^{\rho} \frac{K_{MDH}}{\phi \mu c_T r_w^2} + 3.23 \right] \\
 S_{MDH} &= \frac{15.74}{15.74}
 \end{aligned}$$





DATOS GENERALES DE RESTAURACIÓN DE PREMIO

CAMPO	SAN	Nº POZO	NSP 23
PERMAMONTE	ANAPO	ARENA	T
FELCHA DEL PUNTA	10-VII-78	TEMPOR	82.263 hrs

ANALISIS DE RESTAURACION DE PRESION

$$\begin{aligned}
 q &= 1116 \text{ BLFD} \\
 \mu &= 1.0 \text{ cp} \\
 c_T &= 2.8 \times 10^{-6} \text{ lpc}^{-1} \\
 \beta &= 1.23 \text{ BBL/STB} \\
 P_{\text{HII}} &= 2650 \text{ lpc} \\
 m_{\text{HII}} &= 20 \text{ lpc/ciclo} \\
 \text{(Del Gráfico 4.15)}
 \end{aligned}$$

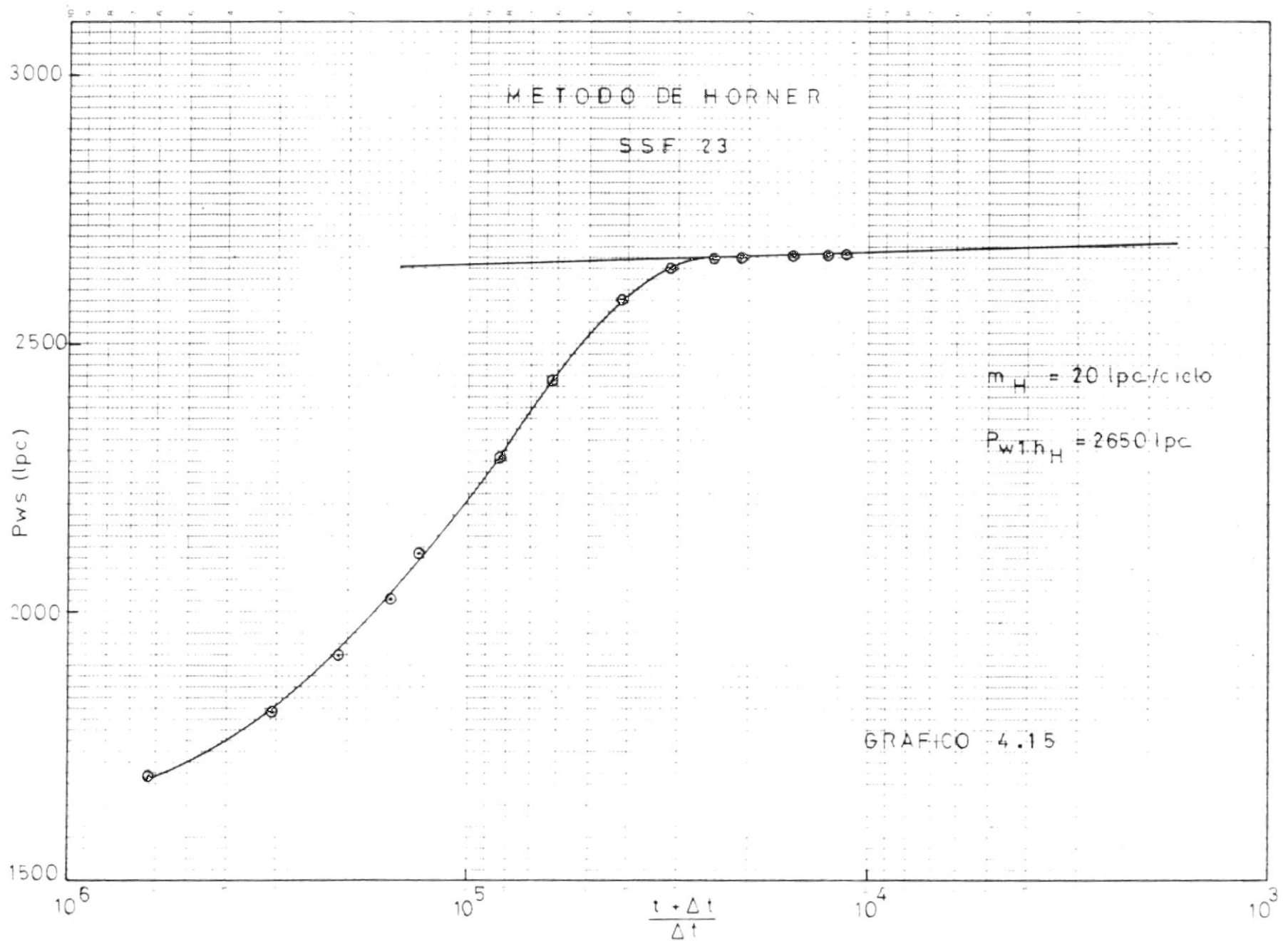
$$\begin{aligned}
 \phi &= 0.18 \\
 h &= 64 \text{ pies} \\
 r_w &= 0.265 \text{ pies} \\
 P_{\text{wf}} &= 1595 \text{ lpc} \\
 P_{\text{HMDH}} &= 2650 \text{ lpc} \\
 m_{\text{MDH}} &= 20 \text{ lpc / ciclo} \\
 \text{(Del Gráfico 4.16)}
 \end{aligned}$$

CALCULOS DE PERMEABILIDAD

$$\begin{aligned}
 K_{\text{HII}} &= \frac{162.6}{h_{\text{HII}}} q \mu \beta \\
 K_{\text{MDH}} &= \frac{162.6}{h_{\text{MDH}}} q \mu \beta \\
 K_{\text{HII}} &= 174 \text{ md} \\
 K_{\text{MDH}} &= 174 \text{ md}
 \end{aligned}$$

CALCULOS DE FACTOR DE DAGO

$$\begin{aligned}
 S_{\text{HII}} &= 1.151 \left[\frac{P_{\text{HII}} - P_{\text{wf}}}{m_{\text{HII}}} + \log \frac{K_{\text{HII}}}{\phi \mu c_T r_w^2} + 3.23 \right] \\
 S_{\text{HII}} &= 54 \\
 S_{\text{MDH}} &= 1.151 \left[\frac{P_{\text{MDH}} - P_{\text{wf}}}{m_{\text{MDH}}} + \log \frac{K_{\text{MDH}}}{\phi \mu c_T r_w^2} + 3.23 \right] \\
 S_{\text{MDH}} &= 54
 \end{aligned}$$



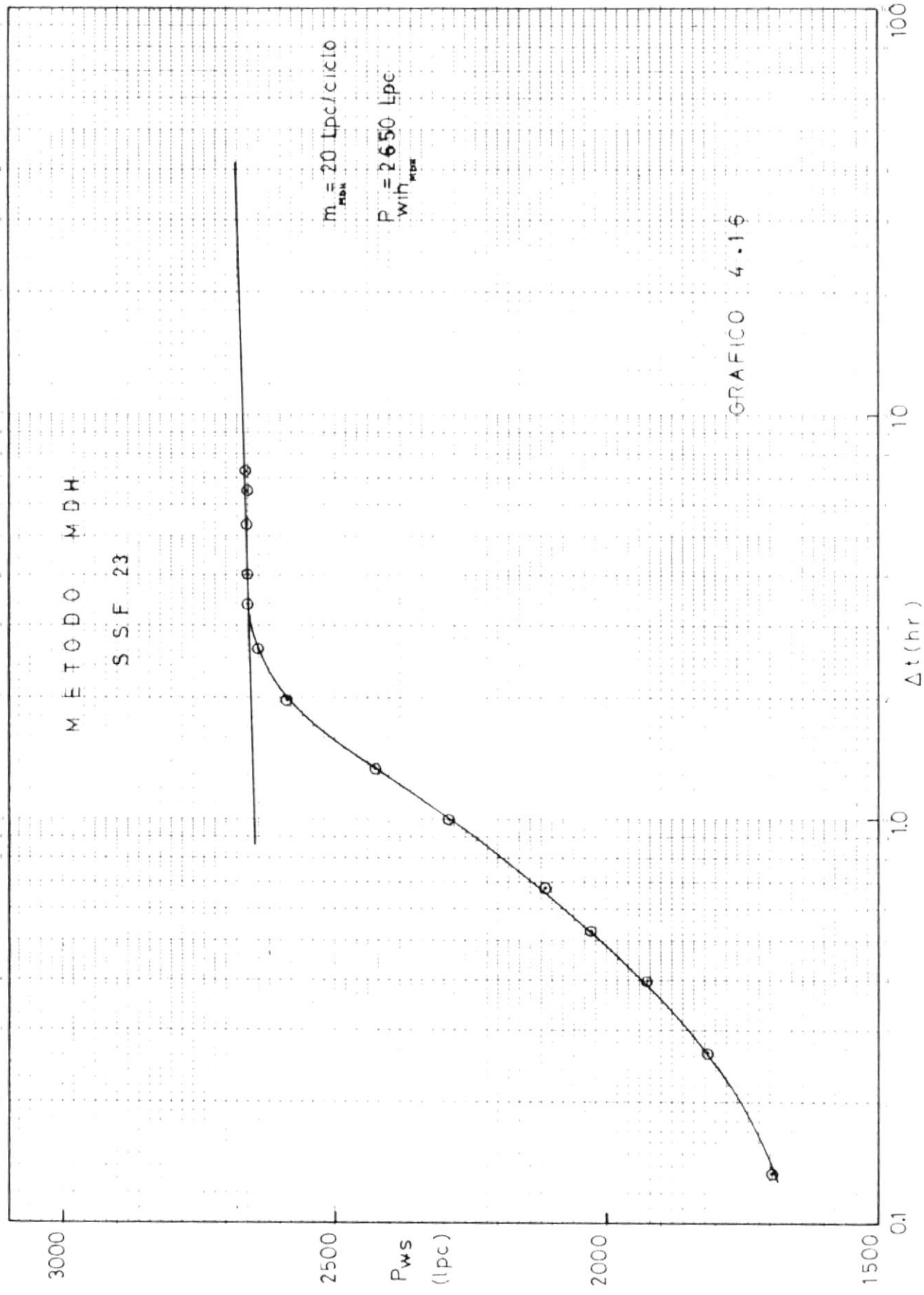


TABLA DE REPARTO DE PREPARACION DE POCHE

CAMP	SAN	Nº POZO	MSP 27
FORMATURA	NAPO	ZONA	W
TIPO DE PUEBLA	TIPO	TIEMPO	14172 hrs

FORMATURA	TIPO	TIEMPO	W
9.300	0.00	60	2402
9.300	0.10	141721	2496
9.300	0.20	70861	2604
9.300	0.40	35431	2659
9.300	0.80	17716	2698
9.300	1.40	10123	2715
9.300	2.00	7087	2721
9.300	4.00	3544	2725
9.300	6.00	2363	2725
9.300	8.10	1750	2725

ANALISIS DE RESTAURACION DE PRESION

$$\begin{aligned} q &= \frac{3602}{\mu} \text{ BPD} \\ \mu &= 1.0 \\ c_T &= 9.8 \times 10^{-6} \text{ lpc}^{-1} \\ \beta &= 1.23 \text{ BPL/STB} \\ P_{lhH} &= 2720 \text{ lpc} \\ m_H &= 12 \text{ lpc/ciclo} \end{aligned}$$

(Del Gráfico 4.17)

$$\begin{aligned} \phi &= 0.18 \\ h &= 42 \text{ pies} \\ r_w &= 0.265 \text{ pies} \\ P_{wf} &= 2402 \text{ lpc} \\ P_{lhMDH} &= 2717 \text{ lpc} \\ m_{MDH} &= 12 \text{ lpc / ciclo} \end{aligned}$$

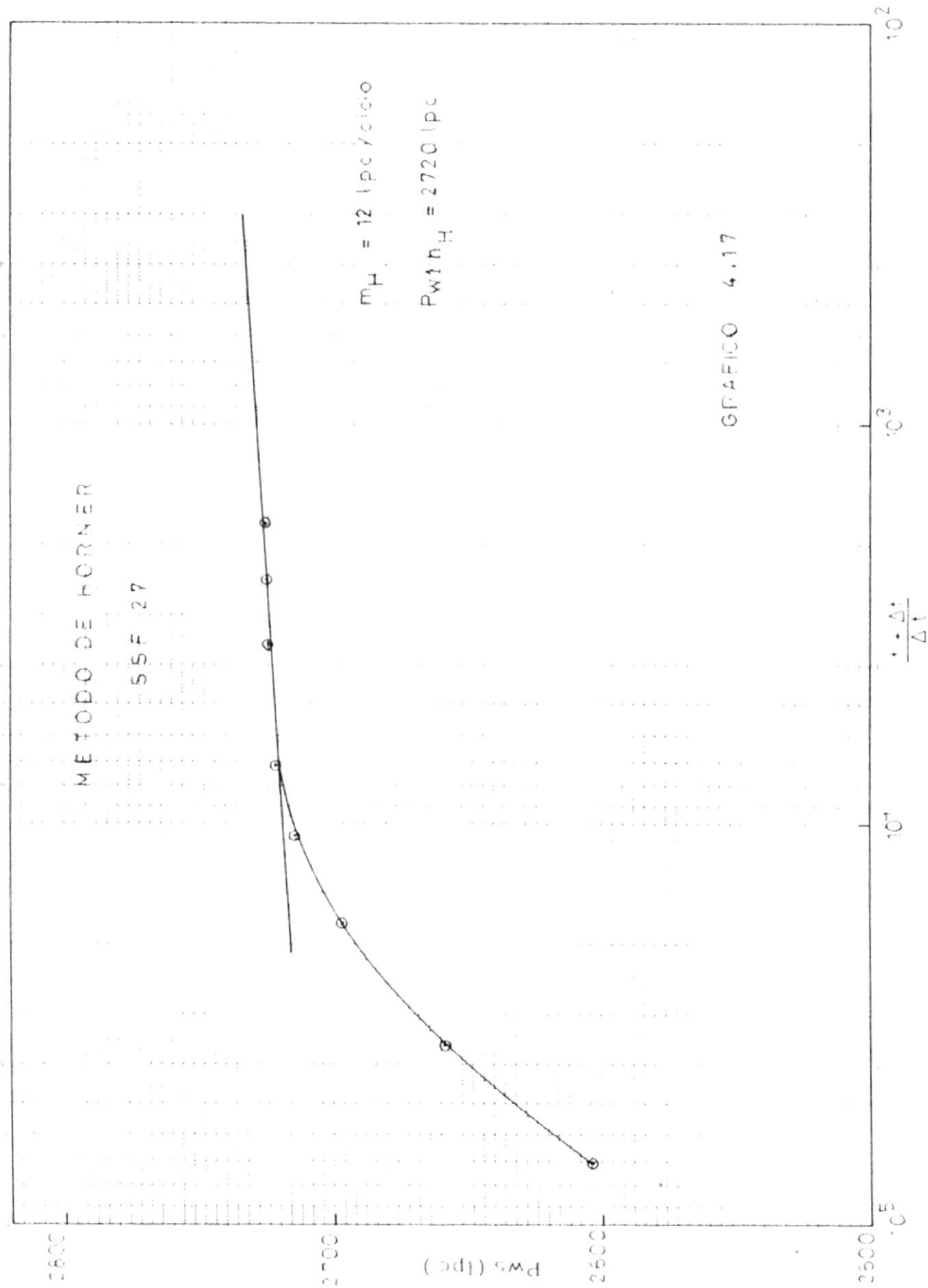
(Del Gráfico 4.18)

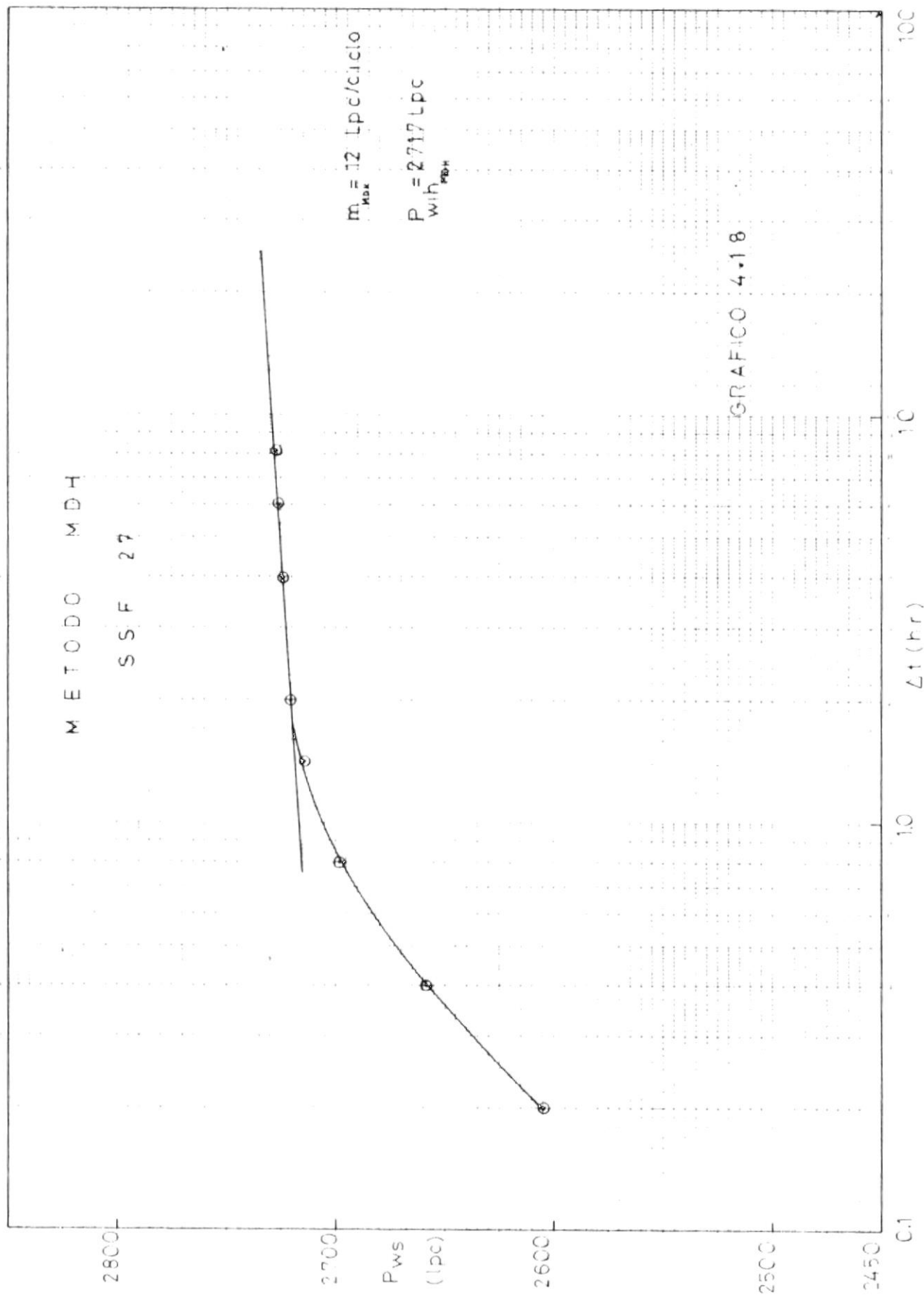
CALCULOS DE PERMEABILIDAD

$$\begin{aligned} k_H &= \frac{162.6 q \mu \beta}{h m_H} & k_{MDH} &= \frac{1429}{h m_{MDH}} \text{ md} \\ k_{MDH} &= \frac{162.6 q \mu \beta}{h m_{MDH}} & k_H &= \frac{1429}{h m_H} \text{ md} \end{aligned}$$

CALCULOS DE FACTOR DE DANO

$$\begin{aligned} S_H &= 1.151 \left[\frac{P_{lhH} - P_{wf}}{m_H} + \log \frac{k_H}{\phi \mu c_T r_w^2} + 3.23 \right] \\ S_H &= 22.64 \\ S_{MDH} &= 1.151 \left[\frac{P_{lhMDH} - P_{wf}}{m_{MDH}} + \log \frac{k_{MDH}}{\phi \mu c_T r_w^2} + 3.23 \right] \\ S_{MDH} &= 22.35 \end{aligned}$$





DATOS GENERALES DE REGISTRACION DE PRESION

CAMPO	SAN	M. POZO	SGP 13
FORMACION	NAPO	ABRINA	T
FECHA DE PRUEBA	8-V-80	TIEMPO	4.3222 hrs

PROFOUNDIDAD D _p pres.	TIEMPO T _p , hrs.	TIEMPO T _c , hrs.	TIEMPO T _m , hrs.
9080	0,00	0	1531
9080	0,10	4.3222	1743
9080	0,20	216111	1889
9080	0,40	108056	2073
9080	0,80	54028	2419
9080	2,00	21612	2664
9080	4,00	10806	2720
9080	6,00	7204	2730
9080	7,50	5763	2730

ANALISIS DE RESTAURACION DE PRESION

$$\begin{aligned} q &= 3420 \text{ BLPD} \\ \mu &= 1.0 \text{ cp} \\ c_T &= 2.8 \times 10^{-6} \text{ lpc}^{-1} \\ \beta &= 1.23 \text{ BRL/STB} \\ P_{\text{HII}} &= 2690 \text{ lpc} \\ m_{\text{HII}} &= 40 \text{ lpc/ciclo} \end{aligned}$$

(Del Gráfico 4.19)

$$\begin{aligned} \phi &= 0.18 \\ h &= 56 \text{ pies} \\ r_v &= 0.265 \text{ pies} \\ P_{\text{VII}} &= 1531 \text{ lpc} \\ P_{\text{HMDII}} &= 2695 \text{ lpc} \\ m_{\text{MDII}} &= 40 \text{ lpc / ciclo} \end{aligned}$$

(Del Gráfico 4.20)

CALCULOS DE PERMEABILIDAD

$$K_H = \frac{162.6 \cdot q \cdot \mu \cdot \beta}{h \cdot m_{\text{HII}}} \quad K_{\text{HII}} = 305 \text{ md}$$

$$K_{\text{MDII}} = \frac{162.6 \cdot q \cdot \mu \cdot \beta}{h \cdot m_{\text{MDII}}} \quad K_{\text{VII}} = 305 \text{ md}$$

CALCULOS DEL FACTOR DE DANO

$$S_H = 1.151 \left[\frac{P_{\text{HII}} - P_{\text{VII}}}{m_{\text{HII}}} + 10g \frac{K_H}{\phi \cdot \mu \cdot c_T \cdot r_v^2} + 3.23 \right]$$

$$S_H = 26.26$$

$$S_{\text{MDII}} = 1.151 \left[\frac{P_{\text{HMDII}} - P_{\text{VII}}}{m_{\text{MDII}}} + 10g \frac{K_{\text{MDII}}}{\phi \cdot \mu \cdot c_T \cdot r_v^2} + 3.23 \right]$$

$$S_{\text{MDII}} = 26.40$$

1C
3

$$\frac{\Delta t}{\Delta t}$$

GRAFICO 2.19

$$P_{WH} = 2690 \text{ pc}$$

$$m_H = 40 \text{ kpc/ciclo}$$

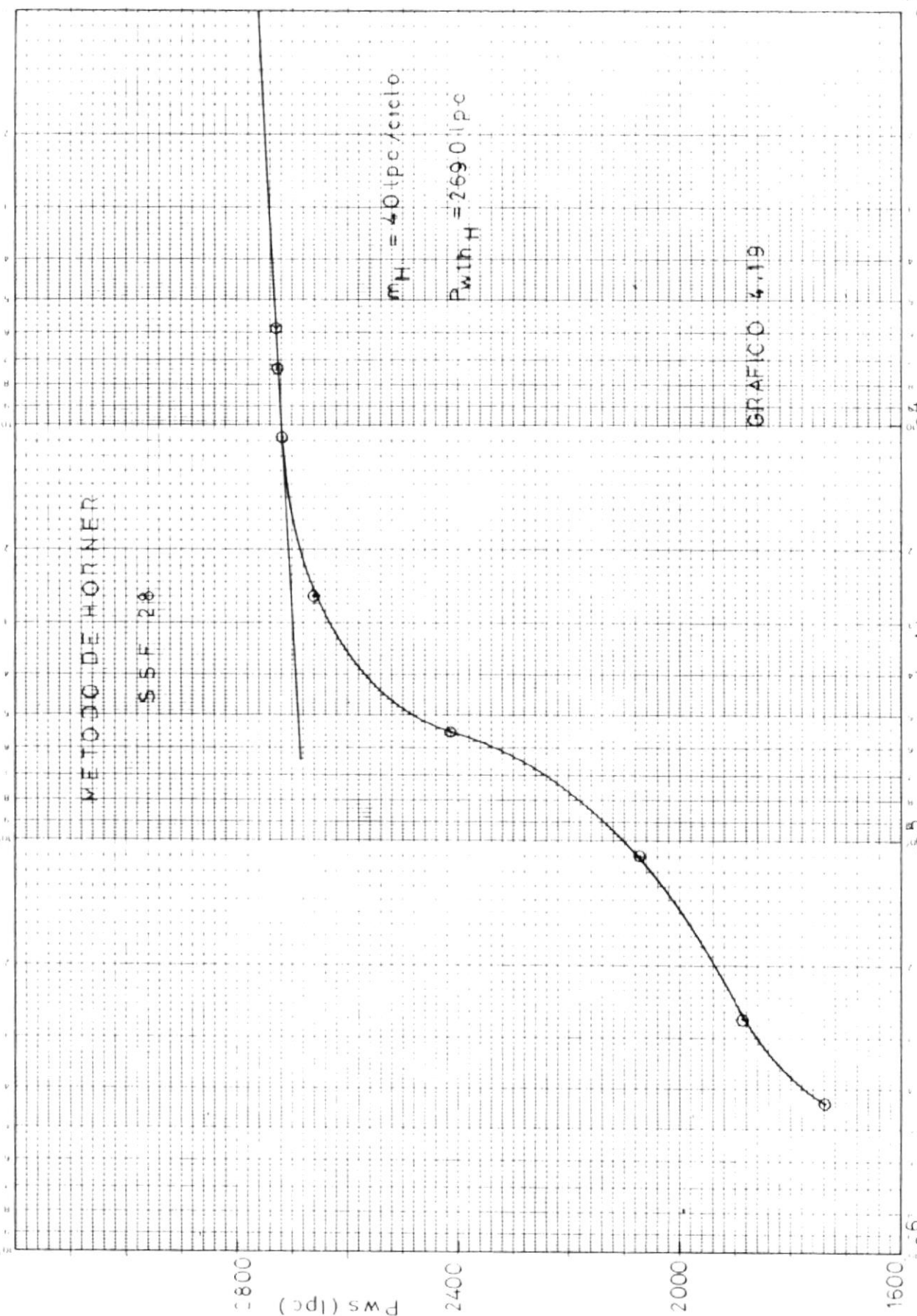
S.S.F. 2.8.

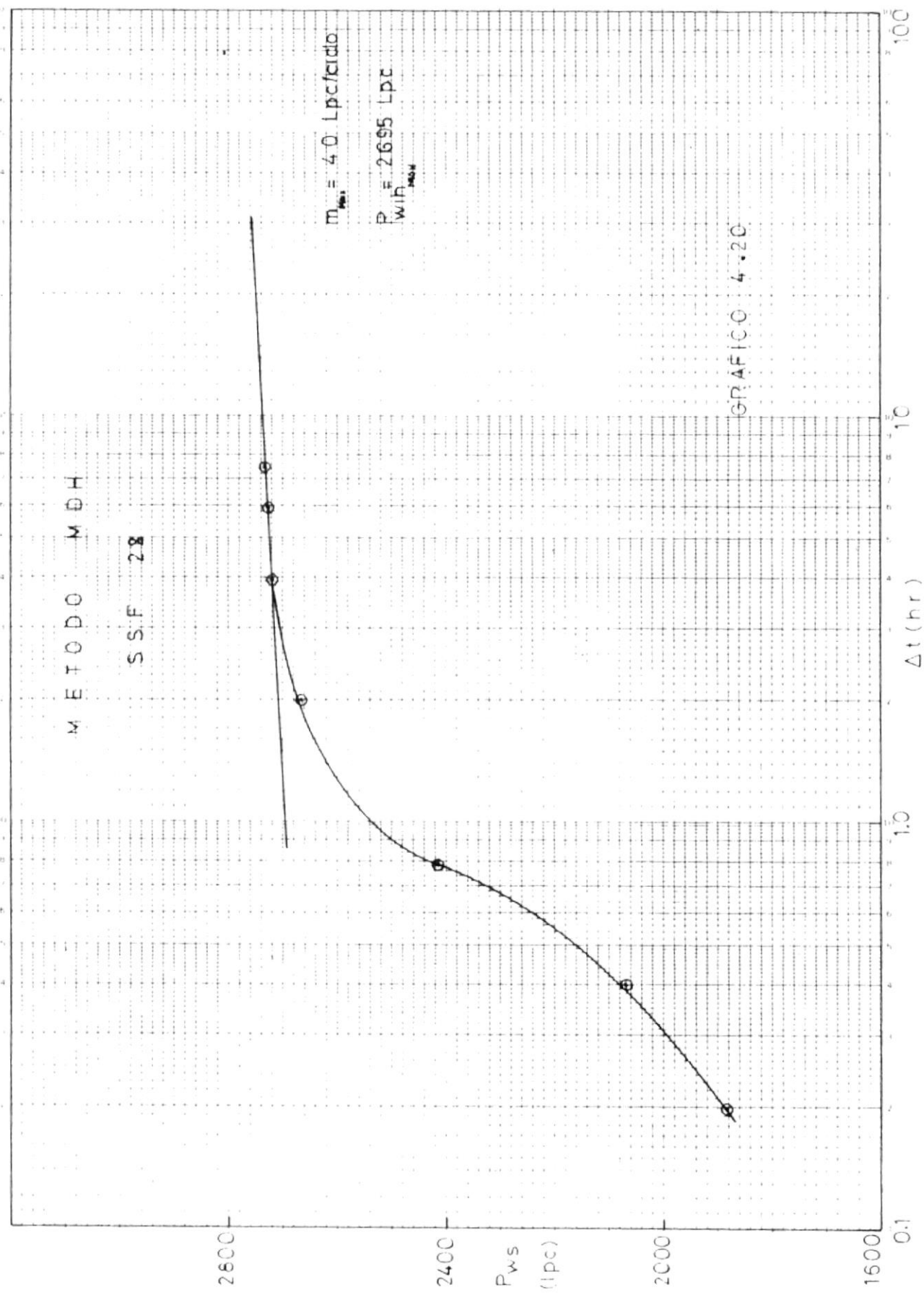
MÉTODO DE HÖRNER

2800

PWS (1pc)

2000

 10^6 10^5 10^4 10^3 10^2 



DATOS GENERALES DE ESTACACION DE PRESION

CAMPO SALTOS
FORMACION NAPO
FECHA 10-IV-80 10-VIII-80
Nº POZO ARENA TIPICO
SST 2.9 11135 hrs

Presion (psi)	Tiempo (hrs)	Tiempo (hrs)	Tiempo (hrs)
D _p pres.	T _p pres.	T _p pres.	T _p pres.
9.300	0.00	0.0	1655
9.300	0.10	111351	1799
9.300	0.20	55676	1911
9.300	0.40	27839	1997
9.300	0.80	13919	2050
9.300	1.40	7954	2063
9.300	2.80	3977	2082
9.300	4.00	2784	2090
9.300	5.00	2228	2092
9.300	6.00	1856	2092
9.300	6.40	1740	2093
9.300	7.20	1547	2083

ANALISIS DE RESTAURACION DE PRESION

$$\begin{aligned} q &= \frac{4184}{\mu} \text{ kLPD} \\ \mu &= 0.90 \text{ cp} \\ c_T &= 9.8 \times 10^{-6} \text{ lpc}^{-1} \\ \beta &= 1.21 \text{ BBL/STB} \end{aligned}$$

$$\begin{aligned} P_{lhH} &= 2080 \text{ lpc} \\ mH &= 15 \text{ lpc/ciclo} \end{aligned}$$

(Del Gráfico 4.21)

$$\begin{aligned} \phi &= 0.18 \\ h &= 70 \text{ pies} \\ r_w &= 0.265 \text{ pies} \\ Pwf &= 1655 \text{ lpc} \\ P_{HMDH} &= 2082 \text{ lpc} \\ m_{MDH} &= 15 \text{ lpc / ciclo} \end{aligned}$$

(Del Gráfico 4.22)

CALCULOS DE PERMITIBILIDAD

$$K_H = \frac{162.6}{h_{mH}} q \mu \beta$$

$$P_H = \frac{706}{r_{wH}} \text{ psig}$$

$$K_{MDH} = \frac{162.6}{h_{mMDH}} q \mu \beta$$

$$P_{MDH} = \frac{706}{r_{wMDH}} \text{ psig}$$

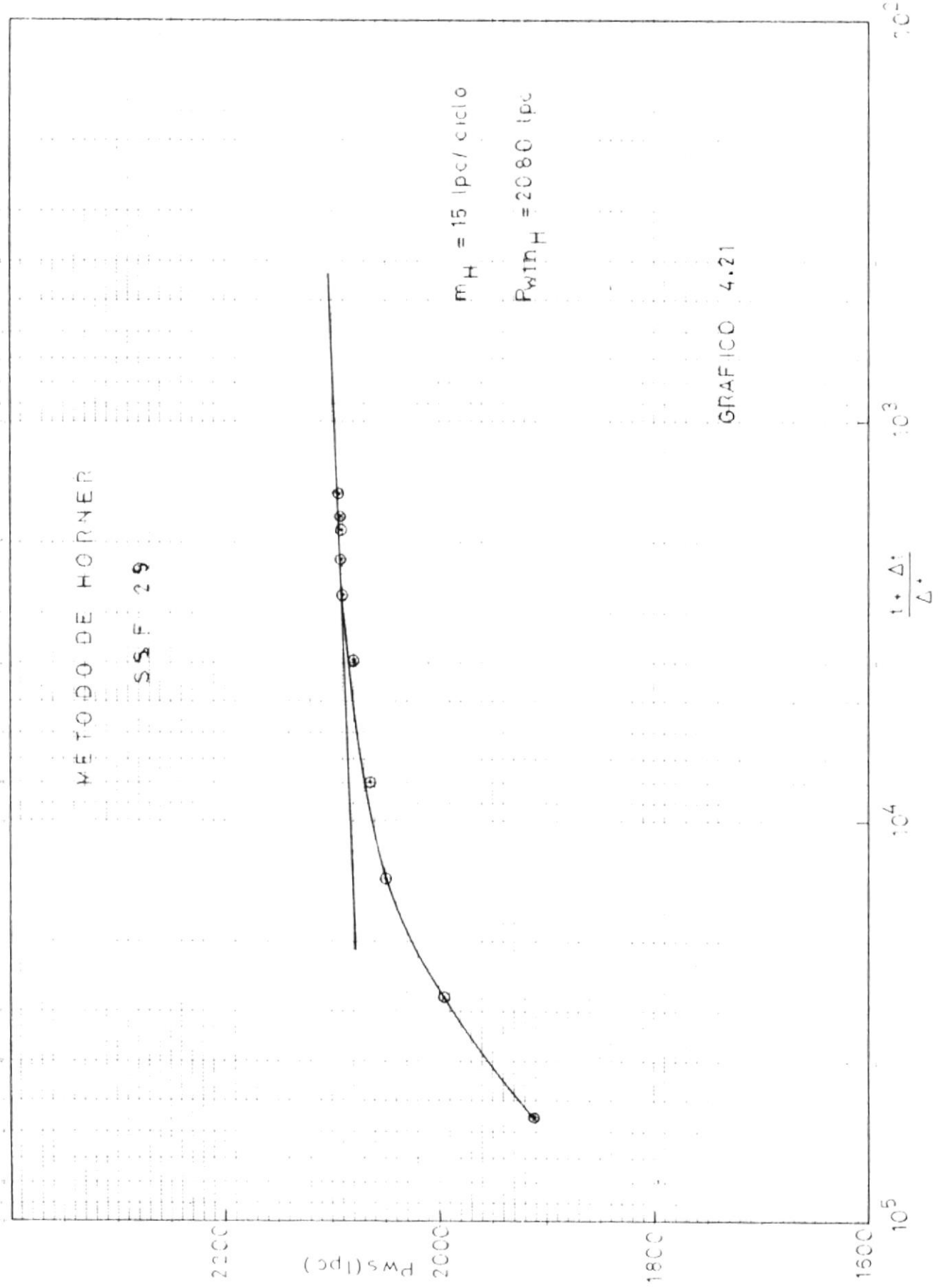
CALCULO DE FACTOR DE DANO

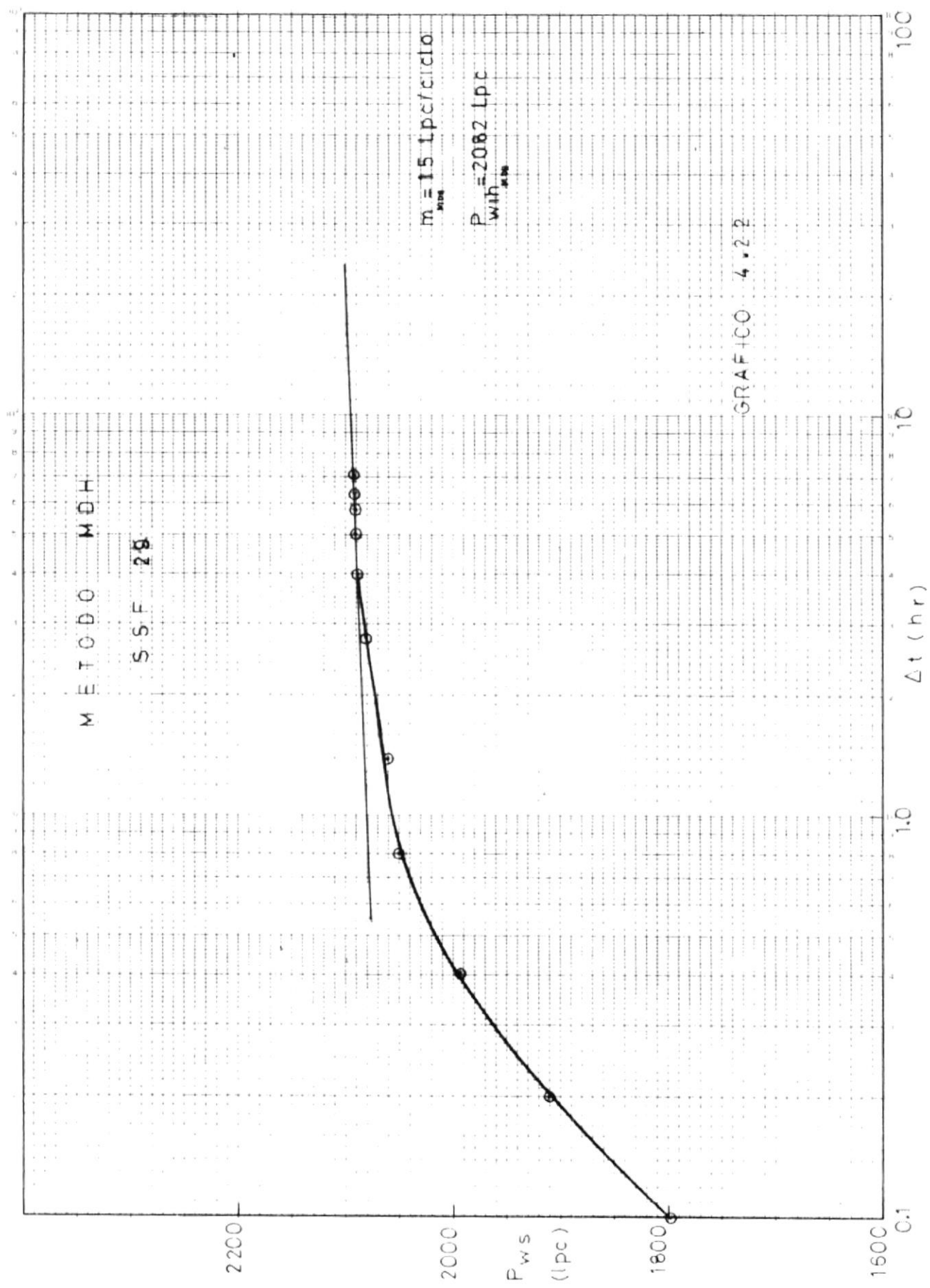
$$S_H = 1.151 \left[\frac{P_{lhH} + Pwf}{mH} + \log \frac{K_H}{\phi \mu c_T r_w^2} + 3.23 \right]$$

$$S_H = 25.00$$

$$S_{MDH} = 1.151 \left[\frac{P_{HMDH} + Pwf}{m_{MDH}} + \log \frac{P_{MDH}}{\phi \mu c_T r_w^2} + 3.23 \right]$$

$$S_{MDH} = 25.20$$





DATOS GENERALES DE RESTAURACION DE PRESION

CAMPO	SAH	Nº POZO	SSP 35
FORMACION	NAPO	ARENA	m
FECHA DE PRUEBA	25-VIII-79	TIEMPO	30140 hrs

PROFUNDIDAD D, pies	TIEMPO At, hrs	TIEMPO At/At/At	PRESION Pvga, kscf
9300	0,000	60	2088
9300	0,100	301401	2174
9300	0,166	181567	2247
9300	0,400	75351	2402
9300	0,800	37676	2539
9300	1,000	30141	2571
9300	1,266	23808	2592
9300	1,366	22064	2598
9300	1,600	18838	2614
9300	1,900	15864	2622
9300	2,667	11302	2638
9300	4,000	7536	2654
9300	5,333	5655	2661
9300	6,833	4411	2665

ANALISIS DE RESTAURACION DE PRESION

$$\begin{aligned}
 q &= \frac{1544}{1.0} \text{ RLPD} \\
 \mu &= \text{cp} \\
 c_T &= 9.8 \times 10^{-6} \text{ lpc}^{-1} \\
 \beta &= 1.23 \text{ BBL/STB} \\
 P_{lhH} &= \frac{2630}{\text{lpc}} \\
 m_H &= 39 \text{ lpc/ciclo}
 \end{aligned}$$

(Del Gráfico 4.23)

$$\begin{aligned}
 \phi &= 0.18 \\
 h &= 30 \text{ pies} \\
 r_w &= 0.265 \text{ pies} \\
 P_{vf} &= 2088 \text{ lpc} \\
 P_{lhMDH} &= \frac{2632}{\text{lpc}} \\
 m_{MDH} &= \frac{38}{\text{lpc / ciclo}}
 \end{aligned}$$

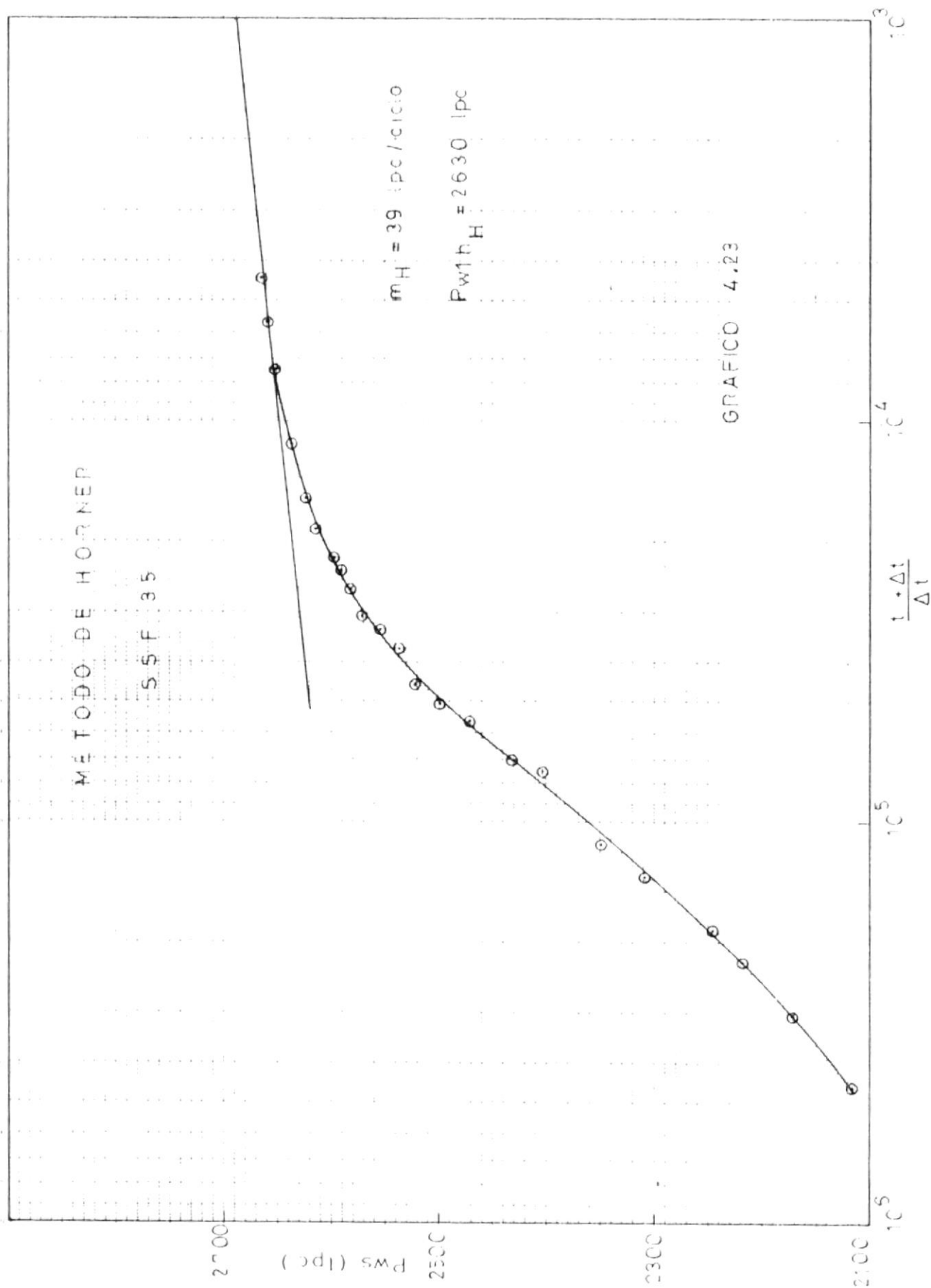
(Del Gráfico 4.24)

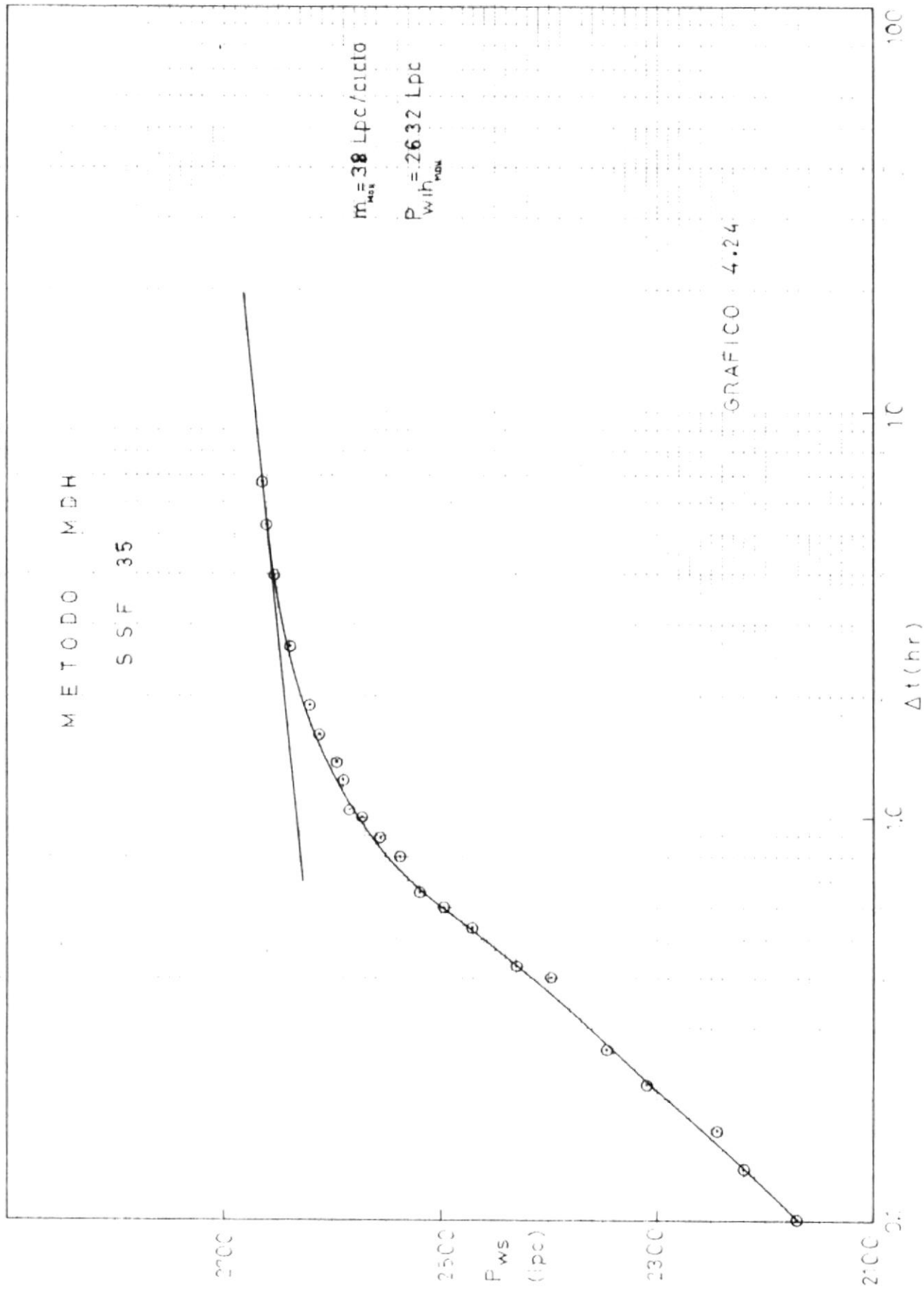
CALCULOS DE PERMEABILIDAD

$$\begin{aligned}
 K_H &= \frac{162.6 q \mu \beta}{h m_H} & K_H &= \frac{264}{m_H} \text{ md} \\
 K_{MDH} &= \frac{162.6 q \mu \beta}{h m_{MDH}} & K_{MDH} &= \frac{271}{m_{MDH}} \text{ md}
 \end{aligned}$$

CALCULOS DEL FACTOR DE DATO

$$\begin{aligned}
 S_H &= 1.151 \left[\frac{P_{lhH} - P_{vf}}{m_H} + \log \frac{K_H}{\phi \mu c_T r_w^2} + 3.23 \right] \\
 S_H &= 8.98 \\
 S_{MDH} &= 1.151 \left[\frac{P_{lhMDH} - P_{vf}}{m_{MDH}} + \log \frac{K_{MDH}}{\phi \mu c_T r_w^2} + 3.23 \right] \\
 S_{MDH} &= 9.44
 \end{aligned}$$





DATOS GENERALES DE RESTAURACION DE PRISIÓN

CAMPO	SAN	H2 POZO	SGP 39
FORMACION	NAPO	APUJA	P
FECHA DE DERRUMBA	21-VII-78	TIEMPO	9465 hrs

DIA (DERRUMBA)	TIEMPO (hrs)	TIEMPO (hrs)	TIEMPO (hrs)
DIA (prec.)	TIEMPO (hrs)	TIEMPO (hrs)	TIEMPO (hrs)
9-3-30	0,000	0	1910
9-3-30	0,066	143410	2025
9-3-30	0,133	71166	2136
9-3-30	0,200	35533	2334
9-3-30	0,266	23664	2475
9-3-30	0,333	17558	2616
9-3-30	0,400	14191	2721
9-3-30	0,467	9466	2867
9-3-30	1,000	7117	2925
9-3-30	1,333	4733	2947
9-3-30	2,000	3551	2957
9-3-30	2,666	2843	2957
9-3-30	3,333	2582	2957
9-3-30	3,667		

ANALISIS DE RESTAURACION DE PRESION

$$\begin{aligned}
 q &= 3726 \text{ BPD} \\
 \mu &= 1.0 \\
 c_T &= 9.8 \times 10^{-6} \text{ lpc}^{-1} \\
 \beta &= 1.23 \text{ BBL/STB} \\
 P_{lhH} &= 2938 \text{ lpc} \\
 m_H &= 25 \text{ lpc/ciclo} \\
 \end{aligned}$$

(Del Gráfico 4.25)

$$\begin{aligned}
 \phi &= 0.18 \\
 h &= 60 \text{ pies} \\
 r_w &= 0.265 \text{ pies} \\
 P_{wf} &= 1910 \text{ lpc} \\
 P_{lhDH} &= 2936 \text{ lpc} \\
 m_{DH} &= 25 \text{ lpc / ciclo} \\
 \end{aligned}$$

(Del Gráfico 4.26)

CALCULOS DE PERMEABILIDAD

$$K_H = \frac{162.6 q \mu \beta}{h m_H} \quad K_{DH} = 497 \text{ md}$$

$$K_{MDH} = \frac{162.6 q \mu \beta}{h m_{DH}} \quad K_{MDH} = 497 \text{ md}$$

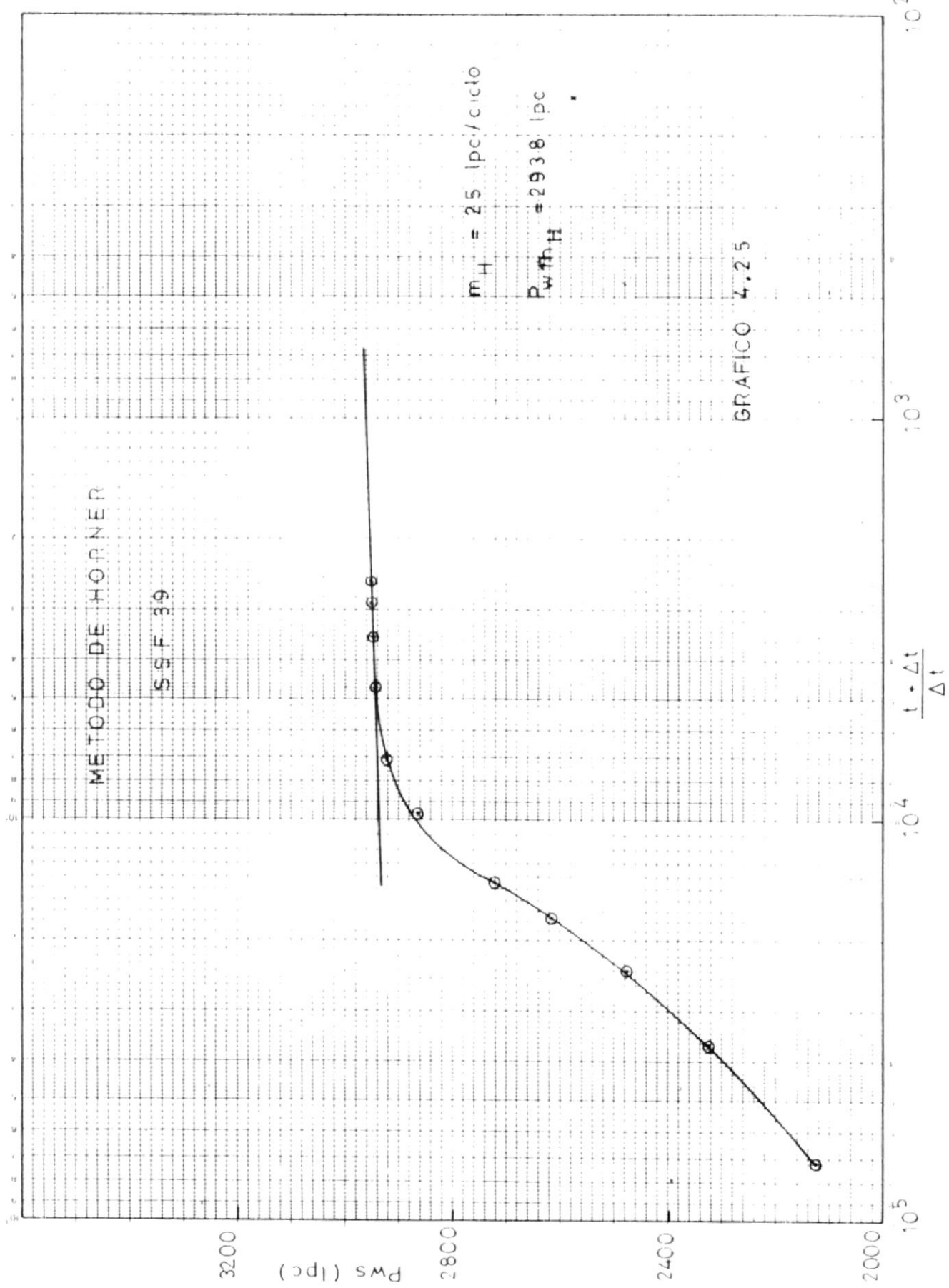
CALCULO DEL FACTOR DE DASO

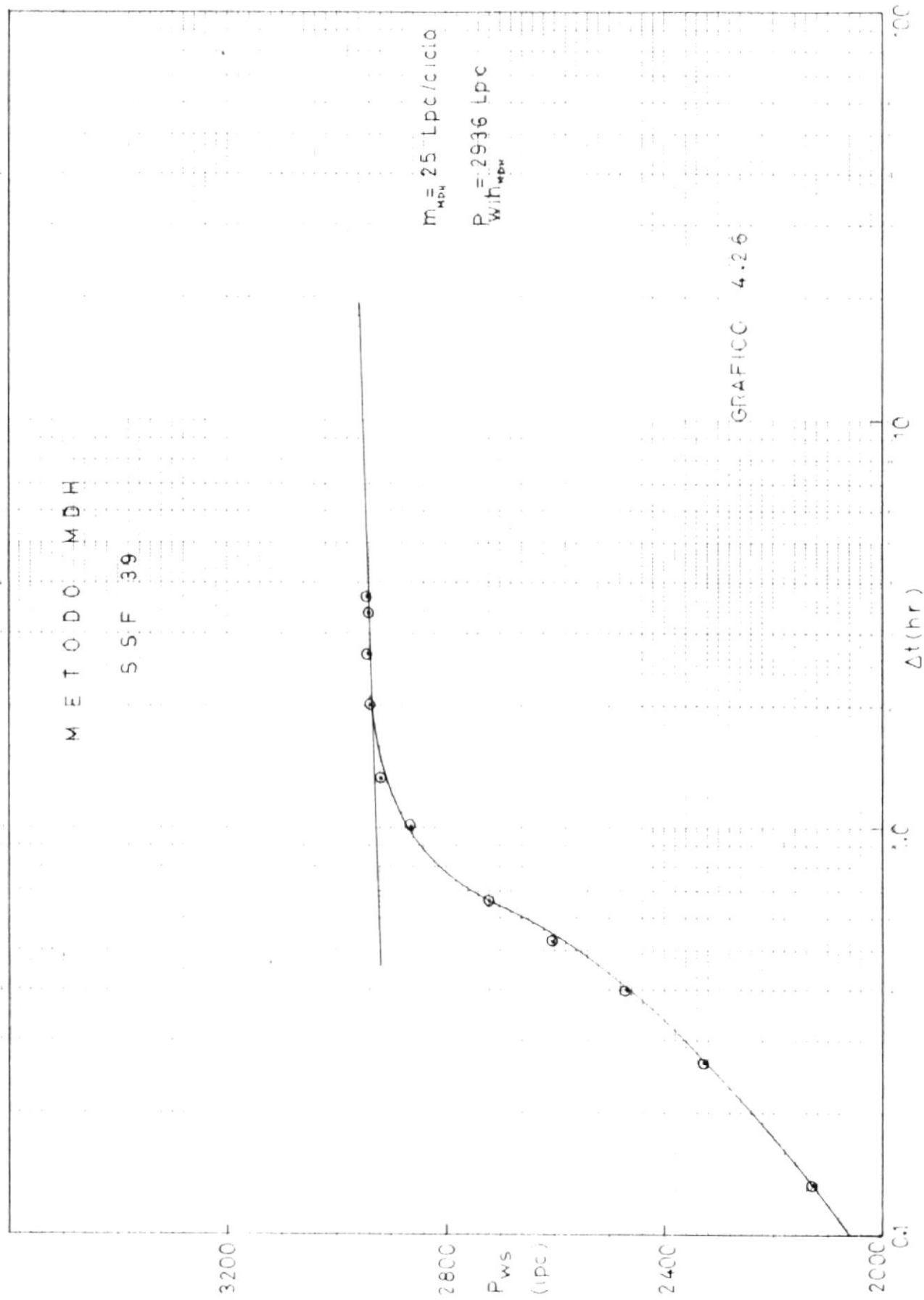
$$S_H = 1.151 \left[\frac{P_{lhH} + P_{wf}}{m_H} + \log \frac{r_H}{\phi \mu c_T r_w^2} + 3.23 \right]$$

$$S_H = \frac{39.99}{}$$

$$S_{MDH} = 1.151 \left[\frac{P_{lhDH} + P_{wf}}{m_{DH}} + \log \frac{K_{MDH}}{\phi \mu c_T r_w^2} + 3.23 \right]$$

$$S_{MDH} = \frac{39.91}{}$$





DATOS CLIMÁTICOS DE PREPARACIÓN DE PROYECTO

CAMPO	SAH	H2 POZO	SSP 43
FORMACION	NAPO	ZAPATAY	m
FICHA DE ESTADAS	27-VI-79	TIEMPO	44493 hrs

PLANTACIONES	ALTURA	TIEMPO	CLIMA
D ₁ (mes)	D ₁ (m)	D ₁ (días)	D ₁ (hrs)
9200	0,00	00	18080
9200	0,10	444931	1883
9200	0,20	222466	1973
9200	0,40	111233	2032
9200	0,60	74156	2080
9200	2,00	22247	2140
9200	4,00	11124	2148
9200	6,00	9416	2152
9200	6,20	7177	2152

ANALISIS DE REGULACION DE FRECUENCIA

$$\begin{aligned}
 q &= 3734 \text{ BLPD} \\
 \mu &= 1.0 \text{ cp} \\
 c_T &= 9.8 \times 10^{-6} \text{ lpc}^{-1} \\
 \beta &= 1.23 \text{ BBL/STB} \\
 P_{BH} &= 2138 \text{ lpc} \\
 m_H &= 21 \text{ lpc/ciclo} \\
 \end{aligned}$$

(Del Gráfico 4.27)

$$\begin{aligned}
 \phi &= 0.18 \\
 h &= 116 \text{ picos} \\
 r_w &= 0.265 \text{ picos} \\
 P_{BH} &= 1808 \text{ lpc} \\
 P_{BHDI} &= 2135 \text{ lpc} \\
 m_{HDI} &= 21 \text{ lpc/ciclo} \\
 \end{aligned}$$

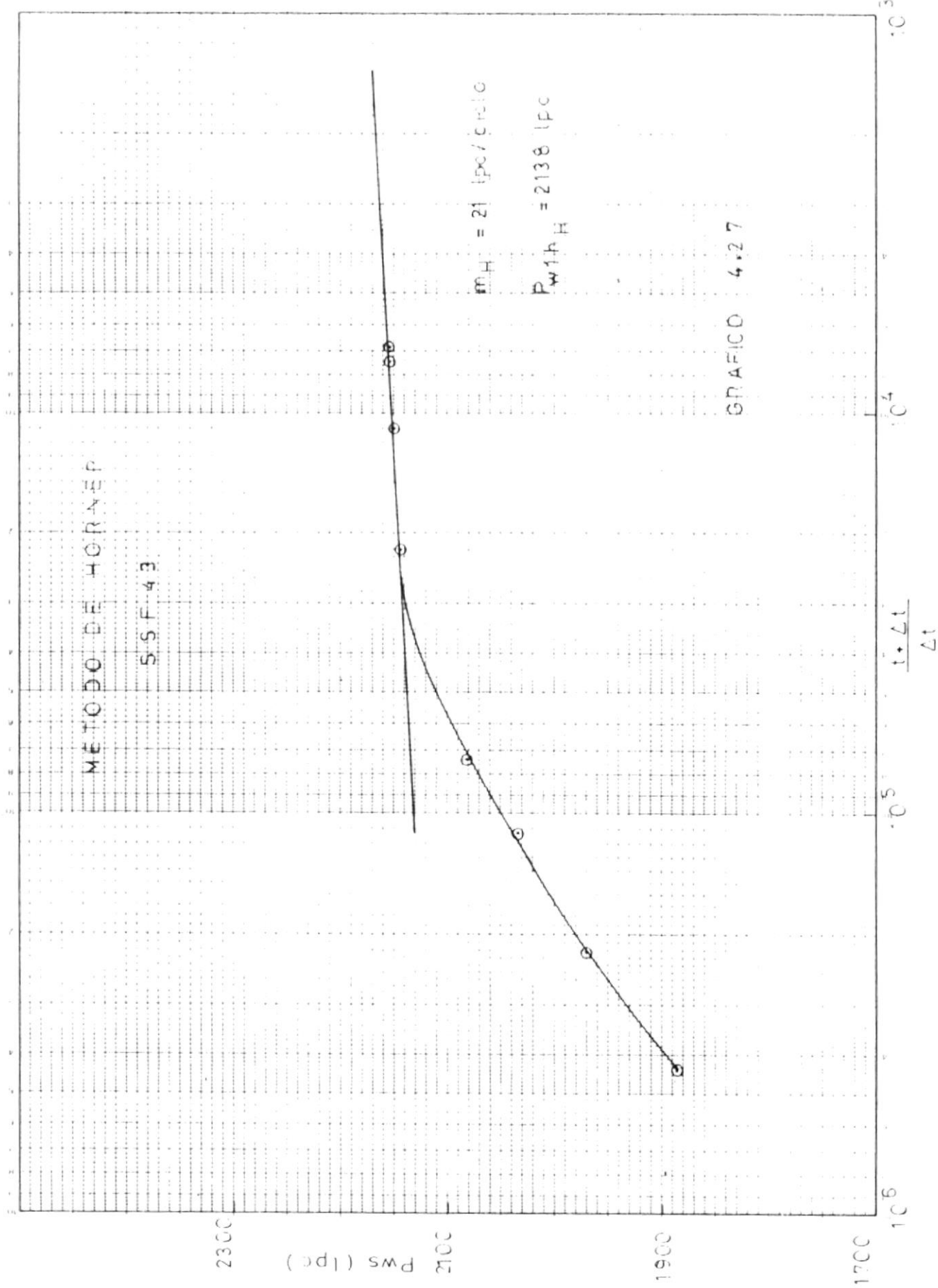
(Del Gráfico 4.28)

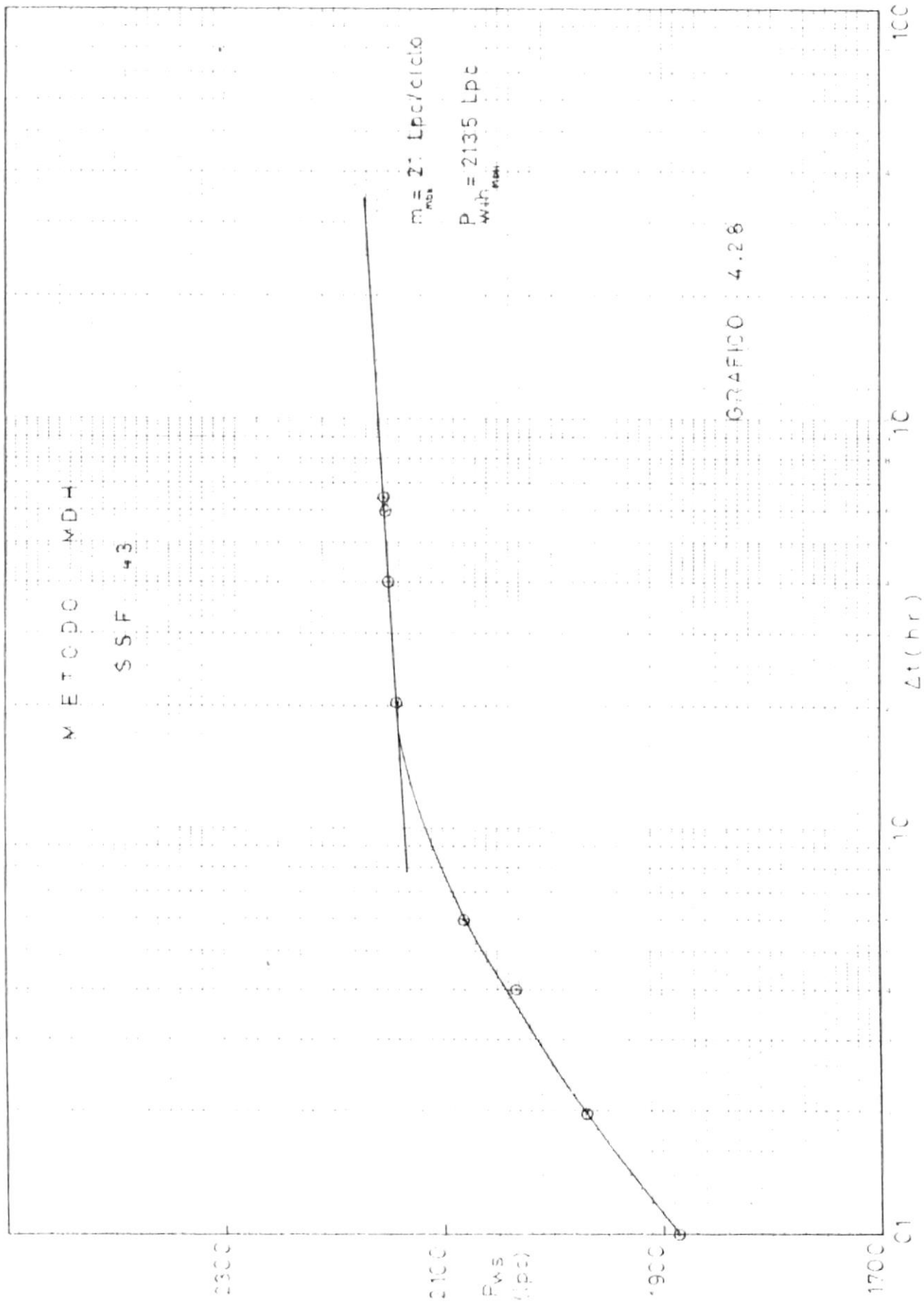
CALCULO DE PIPERABILIDAD

$$\begin{aligned}
 K_H &= \frac{162.6 \cdot q \cdot \mu \cdot \beta}{h \cdot m_H} & K_{HDI} &= \frac{307}{h \cdot m_{HDI}} \\
 K_{HDI} &= \frac{162.6 \cdot q \cdot \mu \cdot \beta}{h \cdot m_{HDI}}
 \end{aligned}$$

CALCULO DEL FACTOR DE DANO

$$\begin{aligned}
 S_H &= 1.151 \left[\frac{P_{BH} - P_{H}^F}{m_H} + 100 \cdot \frac{r_H}{\rho \cdot \mu \cdot c_T \cdot r_w^2} + 1.23 \right] \\
 S_H &= 10.99 \\
 S_{HDI} &= 1.151 \left[\frac{P_{BHDI} - P_{H}^F}{m_{HDI}} + 100 \cdot \frac{r_{HDI}}{\rho \cdot \mu \cdot c_T \cdot r_w^2} + 1.23 \right] \\
 S_{HDI} &= 10.83
 \end{aligned}$$





4.3. COMPROBACION DE LOS VALORES DEL FACTOR DE DANO
Y PERMEABILIDAD DEL YACIMIENTO POR EL METODO DE
RAMEY.

CAMPO	SAH	Nº POZO	SSP 01
FORMACION	NAPO	ARENA	T
FECHA DE PRUEBA	29-VI-80		

ANALISIS DE CURVA TIPO

q	=	3990	BLPD	ϕ	=	0.18
β	=	1.21	BEL/STB	r_v	=	0.265
c_T	=	9.8×10^{-6}	Lpc ⁻¹	h	=	40
μ	=	1.0	cp			pies

PUNTOS DE COINCIDENCIA

(Del Gráfico 4.29)

$$\Delta P = 100 \text{ lpc} \quad p_D = 3.6$$

$$\Delta t = 1 \text{ hr} \quad t_D = 1.40 \times 10^6$$

CALCULOS DE PERMEABILIDAD

$$K_p = 141.2 \frac{q \mu \beta}{h \Delta P} p_D \quad K_p = \frac{614}{\text{rd}}$$

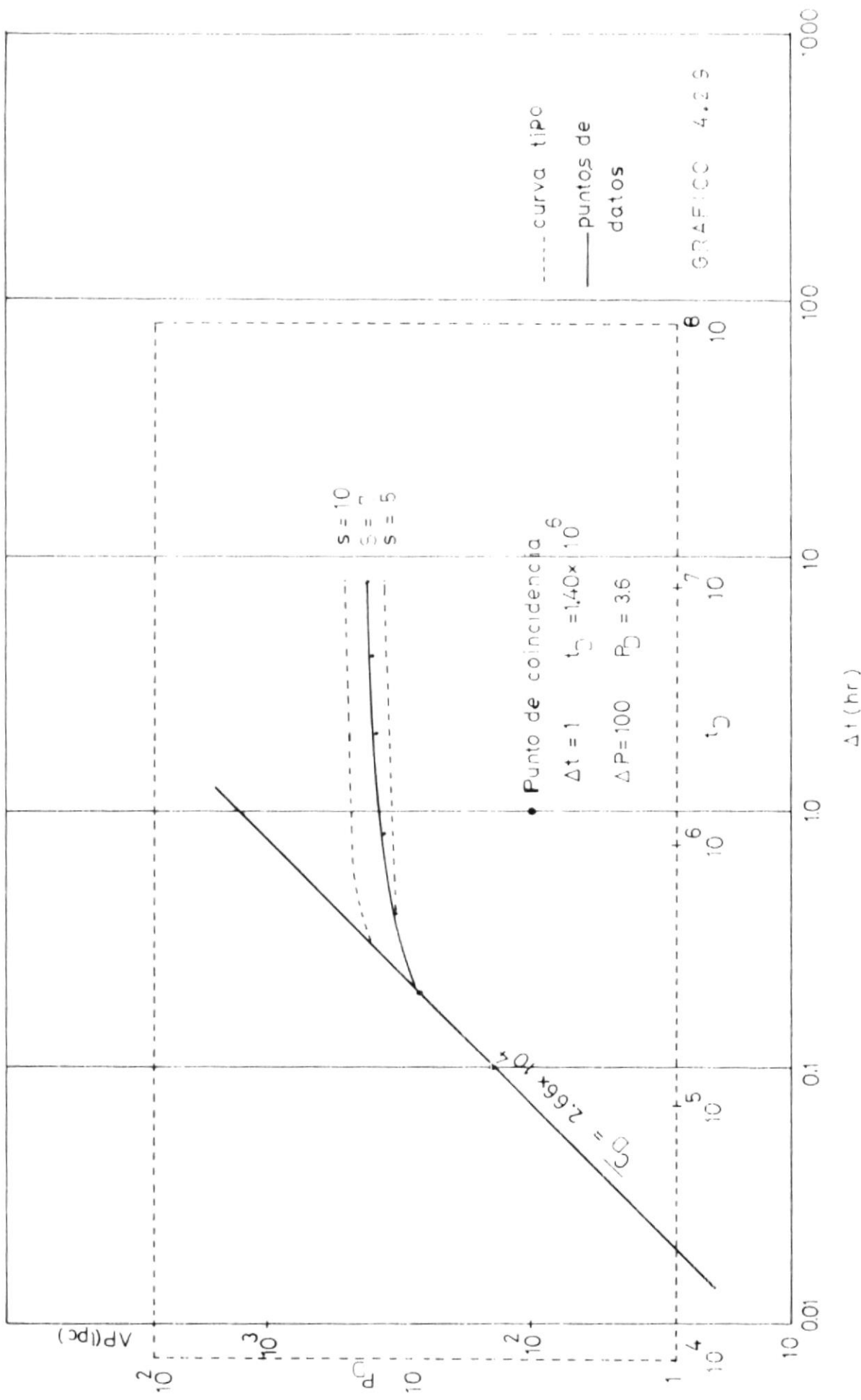
$$K_t = \frac{\phi \mu c_T r_v^2}{0.000264 \Delta t} t_D \quad K_t = \frac{633}{\text{rd}}$$

CALCULOS DEL FACTOR DE DANO

$$S = 7.0 \quad (\text{Del Gráfico 4.29})$$

MÉTODO DE RAMEY
SSFC*

127



CAMPO	SMA	Nº POZO	SSP 02
FORMACION	NAPO	AREIA	T
FECHA DE PRUEBA	10-IV-80		

ANALISIS DEL CICLO TIPO

$q = 1947$	BPD	$\phi = 0.18$
$\beta = 1.23$	BBL/STB	$r_w = 0.2075$ pie
$c_T = 9.8 \times 10^{-6}$	Lpc ⁻¹	$h = 50$ pie
$\mu = 0.90$	cp	

PUNTO DE OPTIMIZACION

(Del Gráfico 4.30)

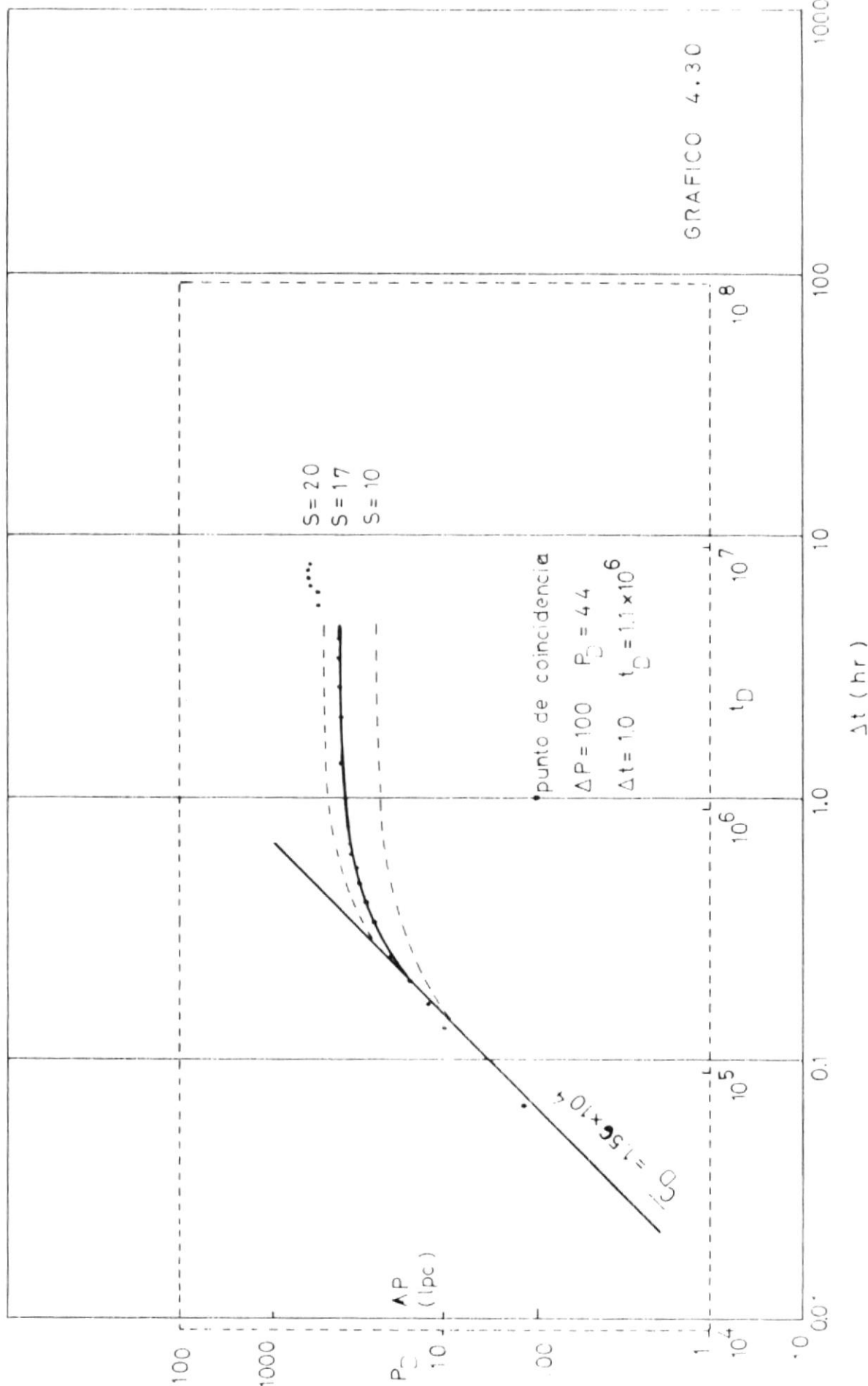
$\Delta P = 100$ Lpc	$P_D = 4.4$
$\Delta t = 1$ hr	$t_D = 1.1 \times 10^6$

CALCULOS DE LA VARIABILIDAD

$K_P = 141.2 \frac{q \mu c_T}{h A P} P_D$	$F_P = 268$ (en m)
$K_t = \frac{\phi \mu c_T r_w^2}{0.000264 A t} t_D$	$F_t = 285$ (en m)

CALCULOS DEL FACTOR DE DASO

 $S = -17$ (Del Gráfico 4.30)



CAMPO	SAH	Nº POZO	SSF 05
FORMACION	NAPO	AREIA	T
FECHA DE PUEBLO	1-IX-80		

ANALISIS DE CURVA TIPO

q	=	2816	BPD	ϕ	=	0.18	
β	=	1.23	REL/MB	r_V	=	0.2075	pies
c_T	=	2.8×10^{-6}	Lpc ⁻¹	h	=	72	pies
μ	=	1.0	cp				

PUNTO DE CONCORDANCIA

(Del Gráfico 4.31)

$$\Delta P = 100 \text{ Lpc}$$

$$P_D = 3.1$$

$$\Delta t = 1 \text{ hr}$$

$$t_D = 7.8 \times 10^5$$

CALCULOS DE PROBABILIDAD

$$K_P = 141.2 \frac{\pi \mu \beta}{h \Delta P} P_D$$

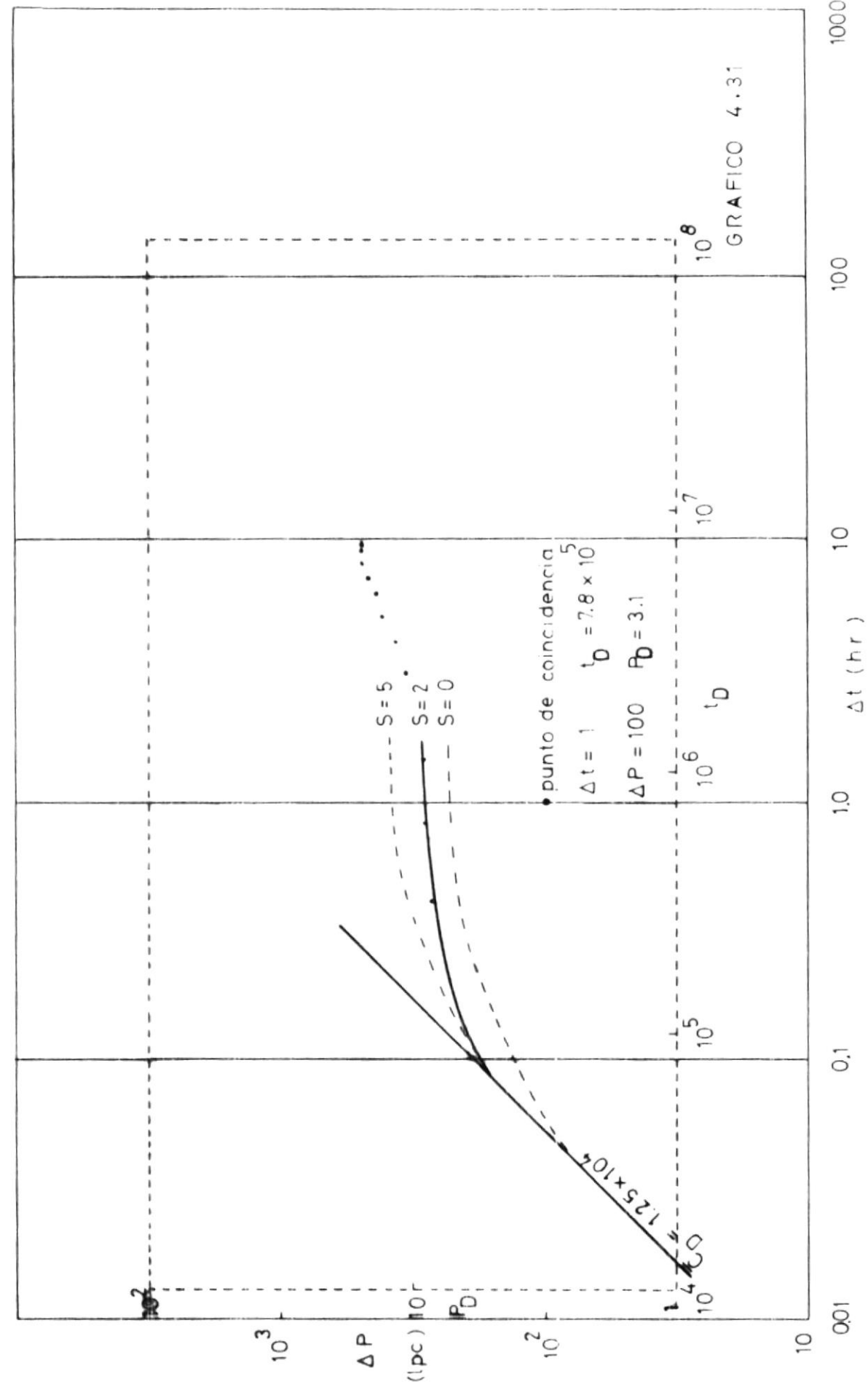
$$V_P = 211 \text{ rad}$$

$$K_t = \frac{\phi \mu c_T r_V^2}{0000264 \Delta t} t_D$$

$$K_t = 224 \text{ rad}$$

CALCULOS DEL ERROR DE DATO

$$S = 2.0 \text{ (Del Gráfico 4.31)}$$



CAPÓ	SAH	Nº POZO	SSF 07
FORMACION	NAPO	ARETA	T
FECHA DE PRUEBA	5-IV-79		

ANALISIS DE CURVA TIPO

q_0	=	1698	BJD	f'	=	0.18	
β	=	1.23	REL/1713	r_w	=	0.2075	radios
c_p	=	9.8×10^{-6}	Lpc ⁻¹	h	=	108	radios
μ	=	1.0	CP				

PLANO DE CALIBRACION

(Del Gráfico 4, 32)

$$\Delta P = 100 \text{ Lpc} \quad P_D = 11 \text{ rad}$$

$$\Delta t = 1 \text{ hr} \quad t_D = 1.1 \times 10^6$$

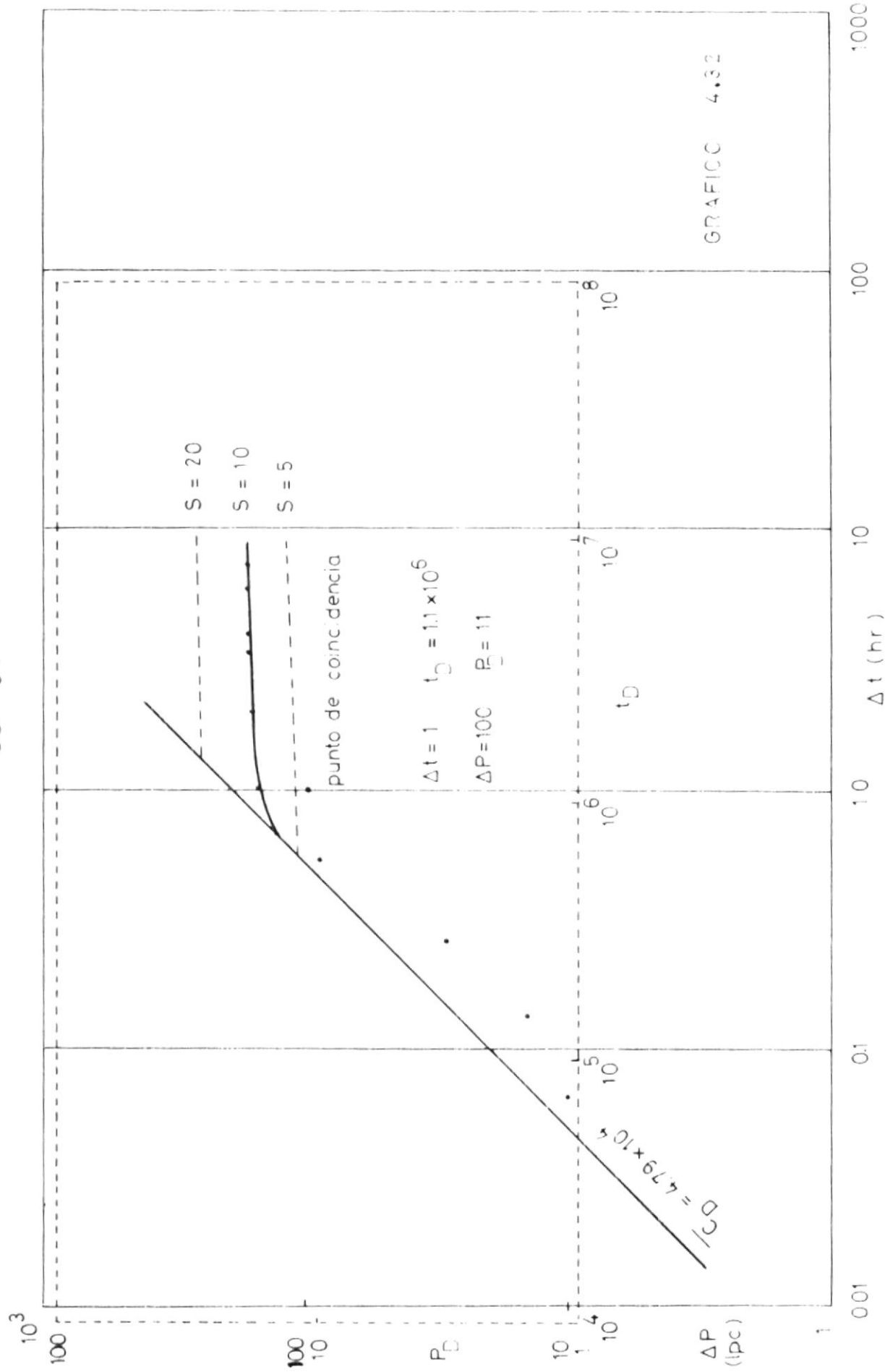
CALCULOS DE PERMEABILIDAD

$$K_p = 141.2 \frac{q \mu L^3}{h \Delta P} P_D \quad F_p = \frac{300}{\pi} \text{ rad}$$

$$K_t = \frac{\phi \mu c_T r_w^2}{0.000264 \Delta t} t_D \quad K_u = \frac{316}{\pi} \text{ rad}$$

CALCULOS DEL FACTOR DE DADO

 $S = 10$ (Del Gráfico 4, 32)



CAMPO	SAH	Nº POZO	SSF 14
FORMACION	NAPO	AREIA	T
FECHA DE PRUEBA	28-VIII-79		

ANALISIS DE CURVA TIPO

$$\begin{aligned}
 q &= \frac{3624}{\text{BLPD}} & \phi &= \frac{0.18}{\text{ }} \\
 \beta &= \frac{1.23}{\text{BEL/STB}} & r_w &= \frac{0.2075}{\text{ }} \text{pies} \\
 c_T &= \frac{9.8 \times 10^{-6}}{\text{Lpc}^{-1}} & h &= \frac{51}{\text{ }} \text{pies} \\
 \mu &= \frac{1.0}{\text{cp}}
 \end{aligned}$$

PUNTOS DE COINCIDENCIA

(Del Gráfico 4.33)

$$\begin{aligned}
 \Delta P &= \frac{100}{\text{Lpc}} & p_D &= \frac{3.5}{\text{ }} \\
 \Delta t &= \frac{1}{\text{ }} \text{hr} & t_D &= \frac{1.6 \times 10^6}{\text{ }}
 \end{aligned}$$

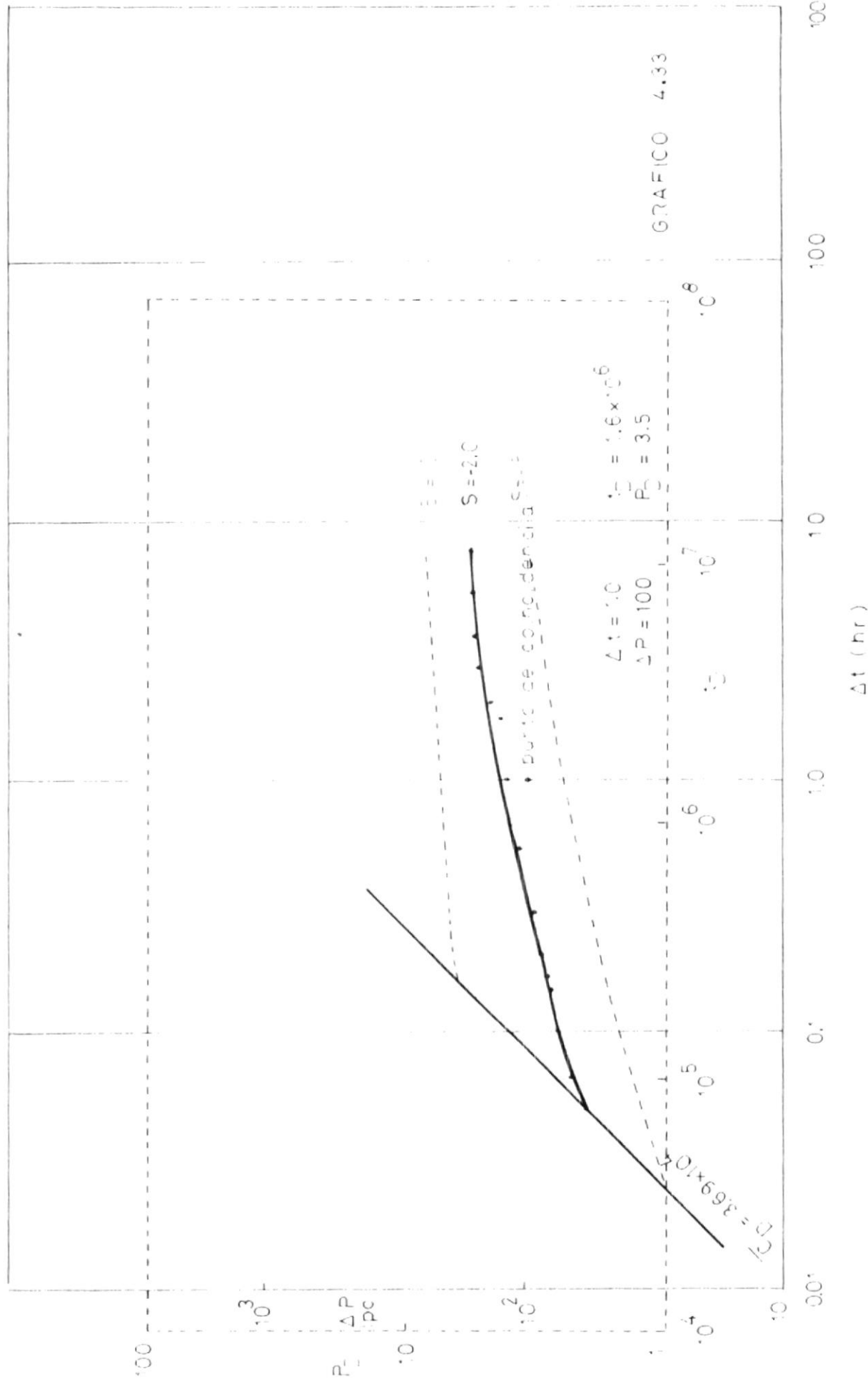
CALCULOS DE PERMEABILIDAD

$$\begin{aligned}
 K_p &= 141.2 \frac{q \mu \beta}{h \Delta P} p_D & K_p &= \frac{432}{\text{ }} \text{md} \\
 K_t &= \frac{\phi \mu c_T r_w^2}{0.000264 \Delta t} t_D & K_t &= \frac{460}{\text{ }} \text{md}
 \end{aligned}$$

CALCULOS DEL FACTOR DE DANO

$$S = \frac{-2.0}{\text{ }} \quad (\text{Del Gráfico } 4.33)$$

SSF 14



CAMPO	SAH	Nº POZO	SCF 17
FORMACION	NAPO	ALTURA	T
FECTA DE PRUEBA	27-X-79		

ANALISIS DEL CHVIA TIPO

q	=	1786	BPD	ϕ	=	0.18	
β	=	1.21	BBL/STB	r_w	=	0.2075	pies
c_T	=	9.8×10^{-6}	Lpc ⁻¹	h	=	70	pies
μ	=	0.95	cp				

PUNTOS DE COINCIDENCIA

(Del Gráfico 4.34)

$$\Delta P = \frac{100}{Lpc} \quad \text{P}_D = 23 \quad$$

$$\Delta t = \frac{1}{hr} \quad t_D = 3.5 \times 10^6$$

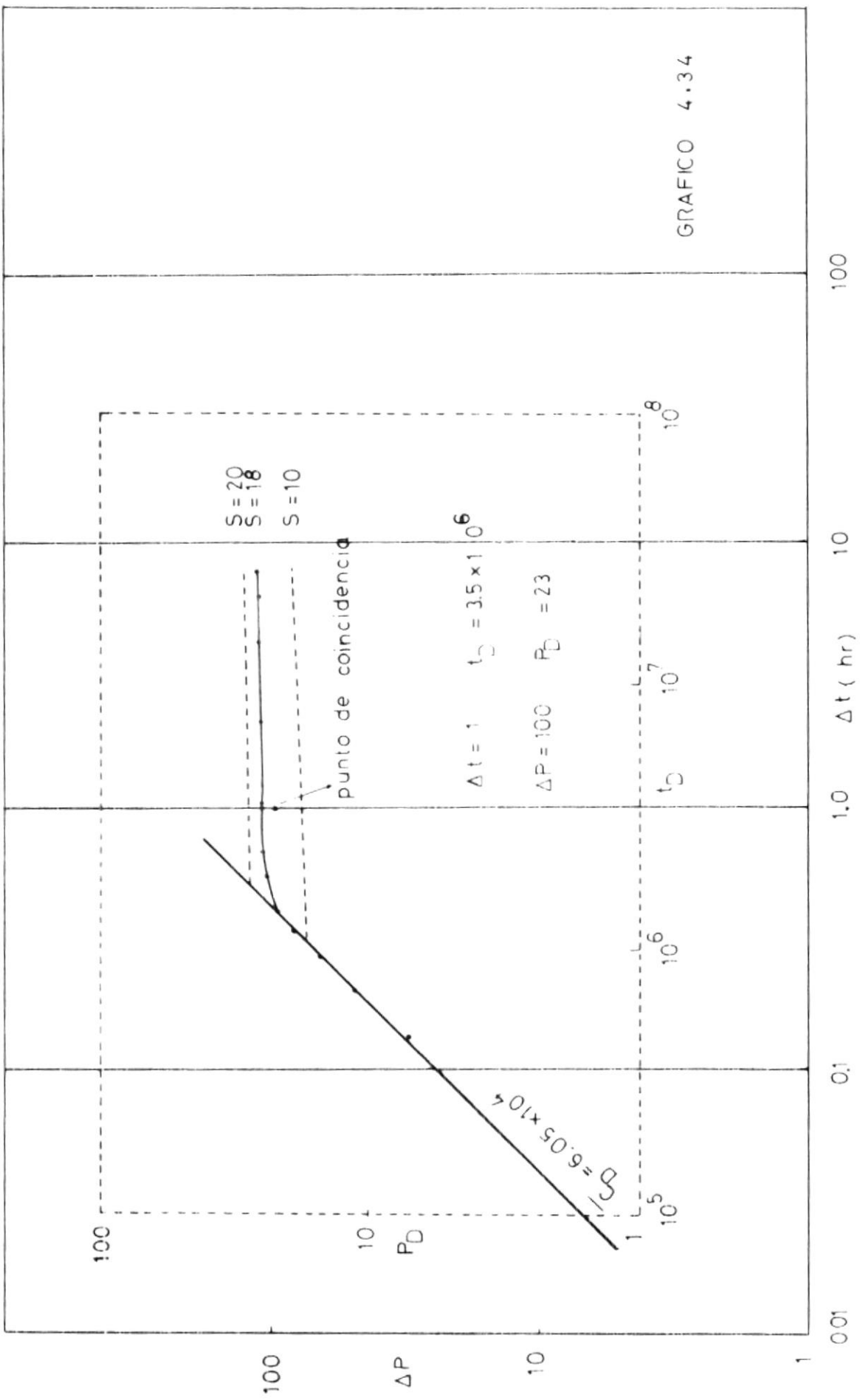
CALCULOS DE PERMEABILIDAD

$$K_P = 141.2 \cdot \frac{q \cdot \mu \cdot \beta}{h \Delta P} P_D \quad K_T = 932 \text{ md}$$

$$K_T = \frac{\phi \cdot \mu \cdot c_T \cdot r_w^2}{0.000264 \Delta t} t_D \quad K_T = 957 \text{ md}$$

CALCULOS DEL FACTOR DE DADO

$$S = \frac{18}{(Del Gráfico 4.34)}$$



CAMPO SAH N° POZO SSF 21
 FORMACION NAPO ANITA T
 FECHA DE PRUEBA 26-V-80

ANALISIS DE CURVA TIPO

$$\begin{array}{ll} q = 975 \text{ BLPD} & \phi = 0.18 \\ \beta = 1.23 \text{ BEL/STR} & r_v = 0.265 \text{ pies} \\ c_T = 9.8 \times 10^{-6} \text{ Lpc}^{-1} & h = 76 \text{ pies} \\ \mu = 1.0 \text{ cp} & \end{array}$$

PUNTOS DE COINCIDENCIA

(Del Gráfico 4.35)

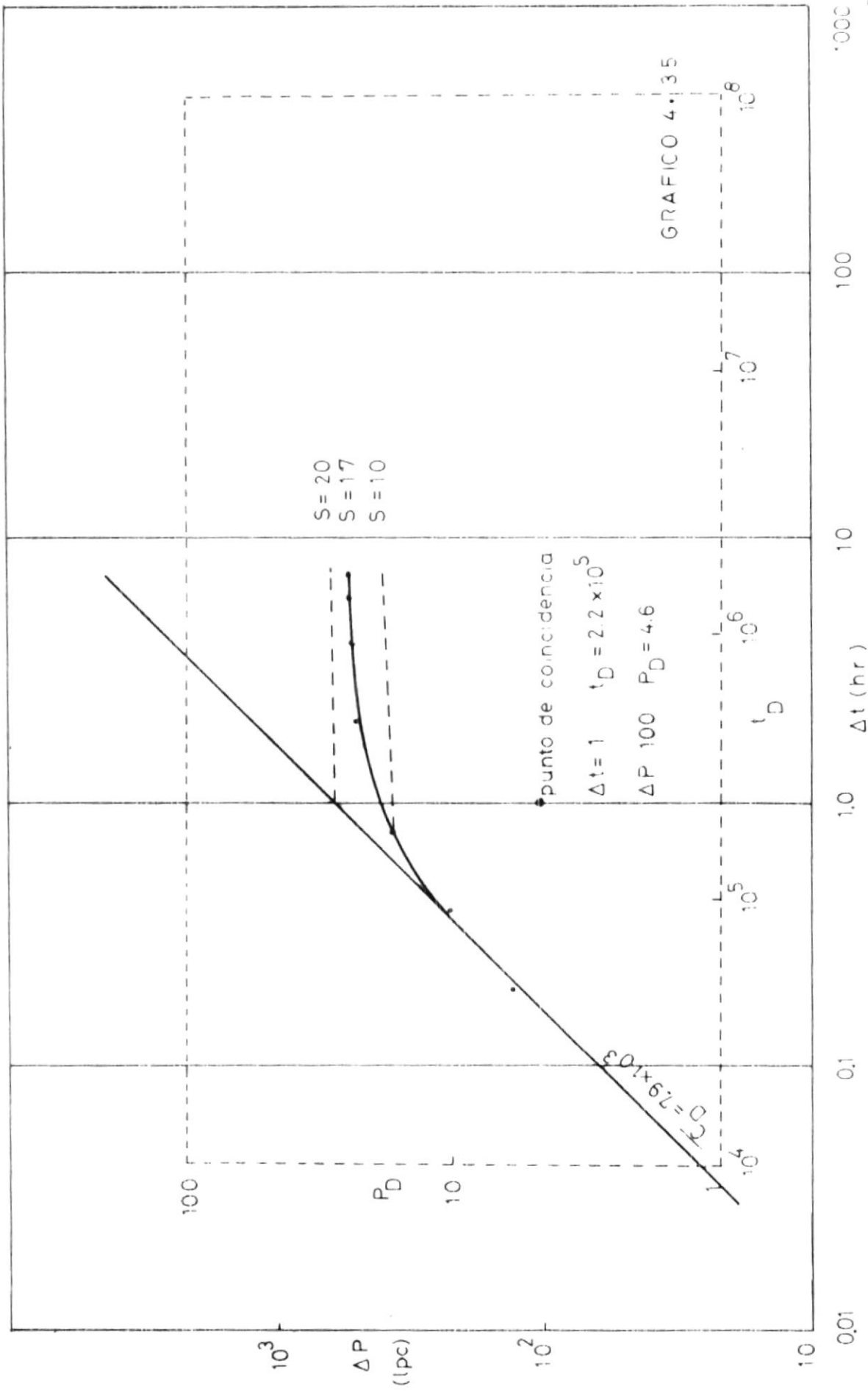
$$\begin{array}{ll} \Delta P = 100 \text{ Lpc} & P_D = 4.6 \\ \Delta t = 1 \text{ hr} & t_D = 2.2 \times 10^5 \end{array}$$

CALCULOS DE PERMEABILIDAD

$$\begin{array}{ll} K_P = 141.2 \frac{q \mu \beta}{h \Delta P} P_D & K_P = 102 \text{ md} \\ K_L = \frac{\phi \mu c_T r_v^2}{0.000264 \Delta t} t_D & K_L = 108 \text{ md} \end{array}$$

CALCULOS DEL FACTOR DE DAWO

$$S = 17.0 \quad (\text{Del Gráfico 4.35})$$



CAMPO	SAH	Nº POZO	SSF 23
FORMACION	NAPO	AREA	T
FECHA DE PRUEBA	10-VII-78		

ANALISIS DE CURVA TIPO

q	=	1116	BLPD	ϕ	=	0.18
β	=	1.23	BBL/STB	r_w	=	0.265 pies
c_T	=	9.8×10^{-6}	Lpc ⁻¹	h	=	64 pies
μ	=	1.0	cp			

PUNTOS DE COINCIDENCIA

(Del Gráfico 4.36)

$$\Delta P = 100 \text{ Lpc} \quad P_D = 5.6$$

$$\Delta t = 1 \text{ hr} \quad t_D = 4.0 \times 10^5$$

CALCULOS DE PERMEABILIDAD

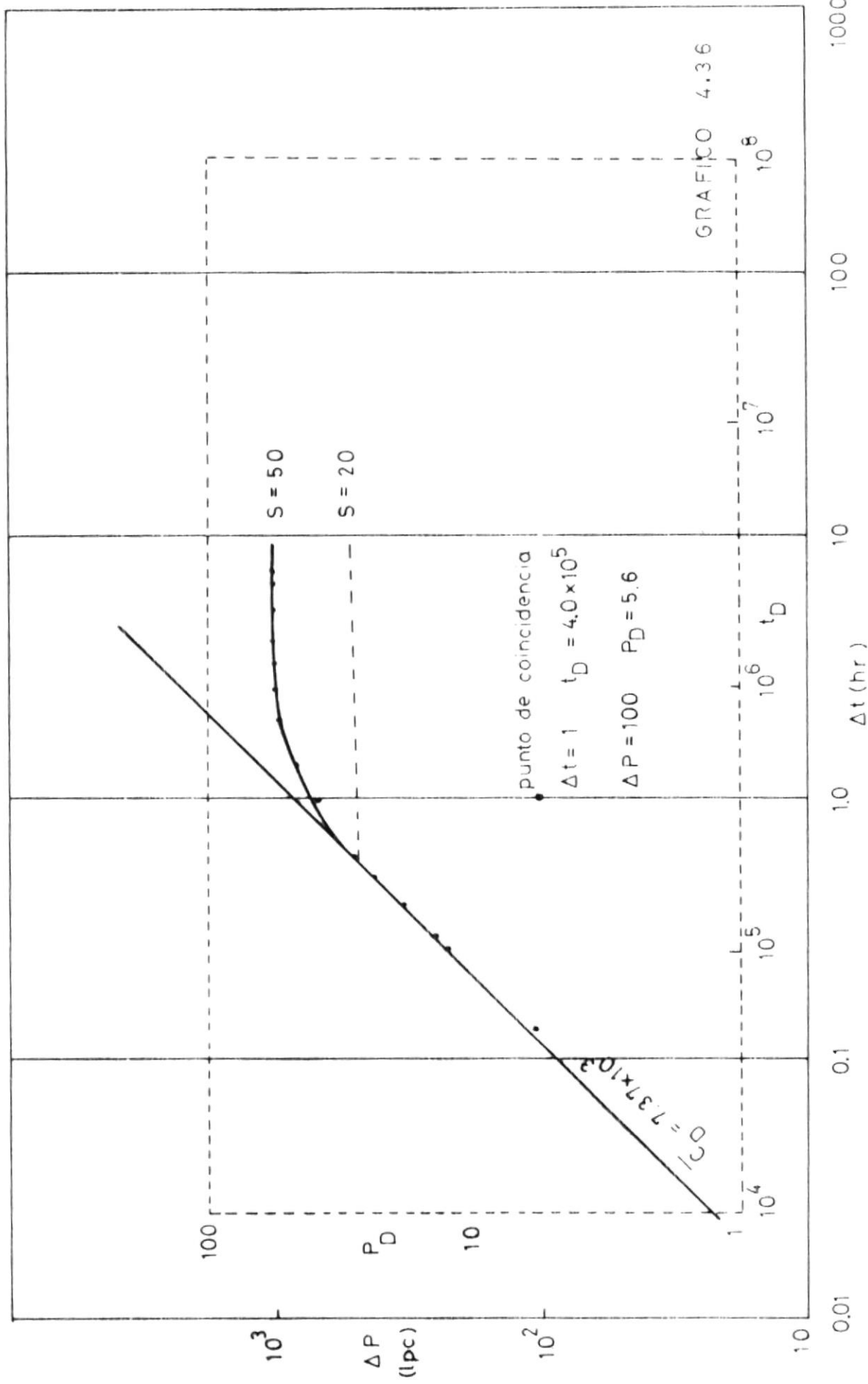
$$K_p = 141.2 \frac{q \mu \beta}{h \Delta P} P_D \quad K_p = 170 \text{ md}$$

$$K_t = \frac{\phi \mu c_T r_w^2}{0.000264 \Delta t} t_D \quad K_t = 188 \text{ md}$$

CALCULOS DEL FACTOR DE DAGO

$$S = \frac{50}{(Del Gráfico 4.36)}$$

SSF 23



CAMPO	SAIL	Nº POZO	SSP 27
FORMACION	NAPO	ARENA	m
FICHA DE PESTAÑA	1-V-80		

ANALISIS DEL CURVA TIPO

$q = 3602$	BLPD	$\phi = 0.18$
$\beta = 1.23$	BEL/STB	$r_w = 0.265$ pieas
$c_T = 9.8 \times 10^{-6}$	Lpc ⁻¹	$h = 42$ pieas
$\mu = 1.0$	cp	

PUNTOS DE COINCIDENCIA

(Del Gráfico 4.37)

$$\Delta P = \frac{100}{1} \text{ lpc} \quad p_D = \frac{9.5}{\dots} \text{ lpc}$$

$$\Delta t = \frac{1}{\dots} \text{ hr} \quad t_D = \frac{3.1 \times 10^6}{\dots} \text{ hr}$$

CALCULOS DE PERMEABILIDAD

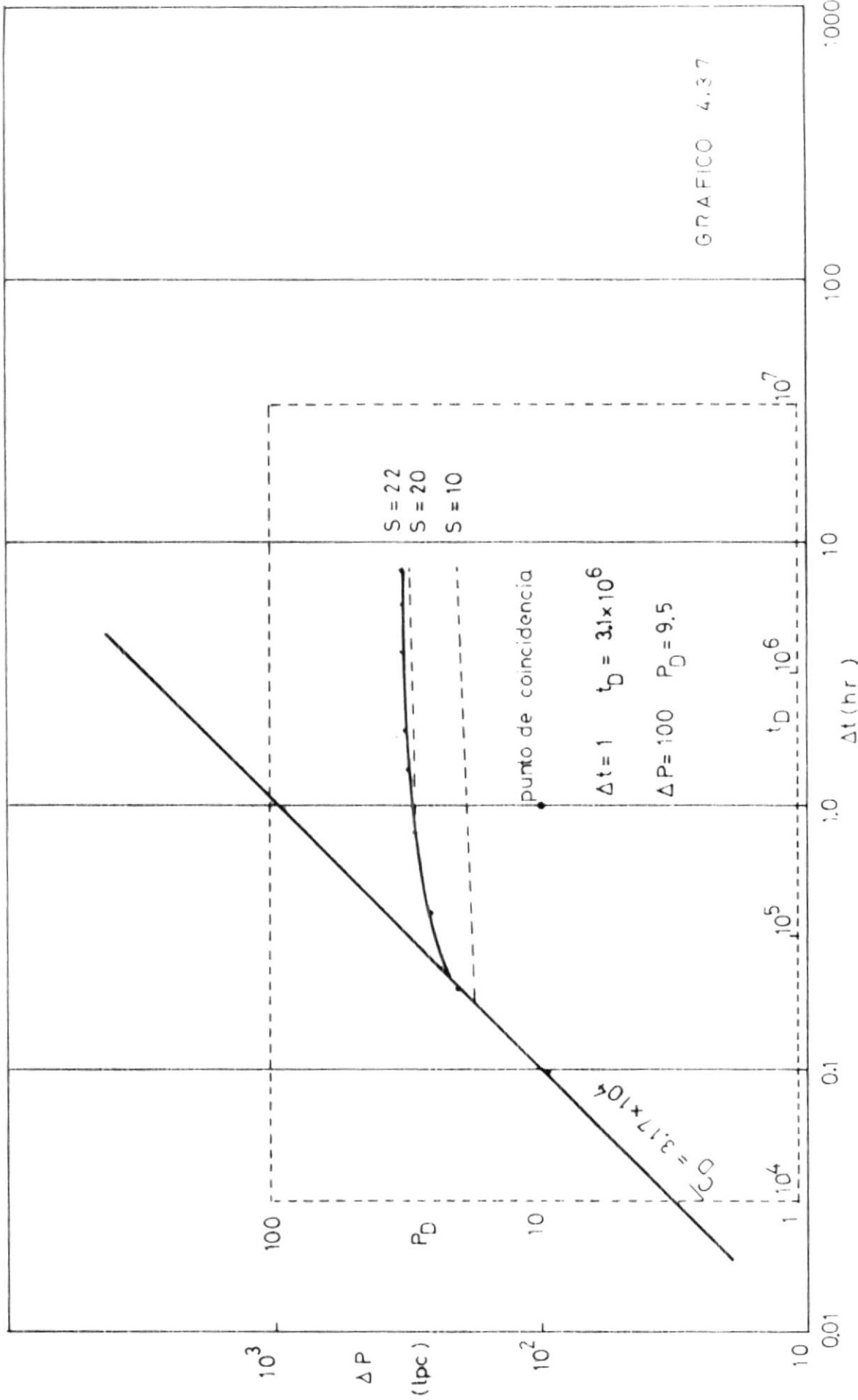
$$K_p = 141.2 \frac{q \mu \beta}{h \Delta P} p_D \quad K_p = \frac{1415}{\dots} \text{ md}$$

$$K_t = \frac{\phi \mu c_T r_w^2}{0.000264 \Delta t} t_D \quad K_t = \frac{1455}{\dots} \text{ md}$$

CALCULO DEL FACTOR DE DANO

$$S = \frac{22}{\dots} \quad (\text{Del Gráfico 4.37})$$

SSF 27



CAMPO SAH N° POZO SSF 28
 FORMACION NAPO ARENA T
 FECHA DE PRUEBA 8-V-80

ANALISIS DE CURVA TIPO

$$\begin{array}{ll} q = 3420 \text{ BPD} & \phi = 0.18 \\ \beta = 1.23 & r_w = 0.265 \text{ pies} \\ 9.8 \times 10^{-6} & h = 56 \text{ pies} \\ c_p = \text{Lpc}^{-1} & \\ \mu = 1.0 \text{ cp} & \end{array}$$

PUNTOS DE CONCURRENCIA

(Del Gráfico 4.38)

$$\begin{array}{ll} \Delta P = 100 \text{ Lpc} & p_D = 2.8 \\ \Delta t = 1 \text{ hr} & t_D = 6.6 \times 10^5 \end{array}$$

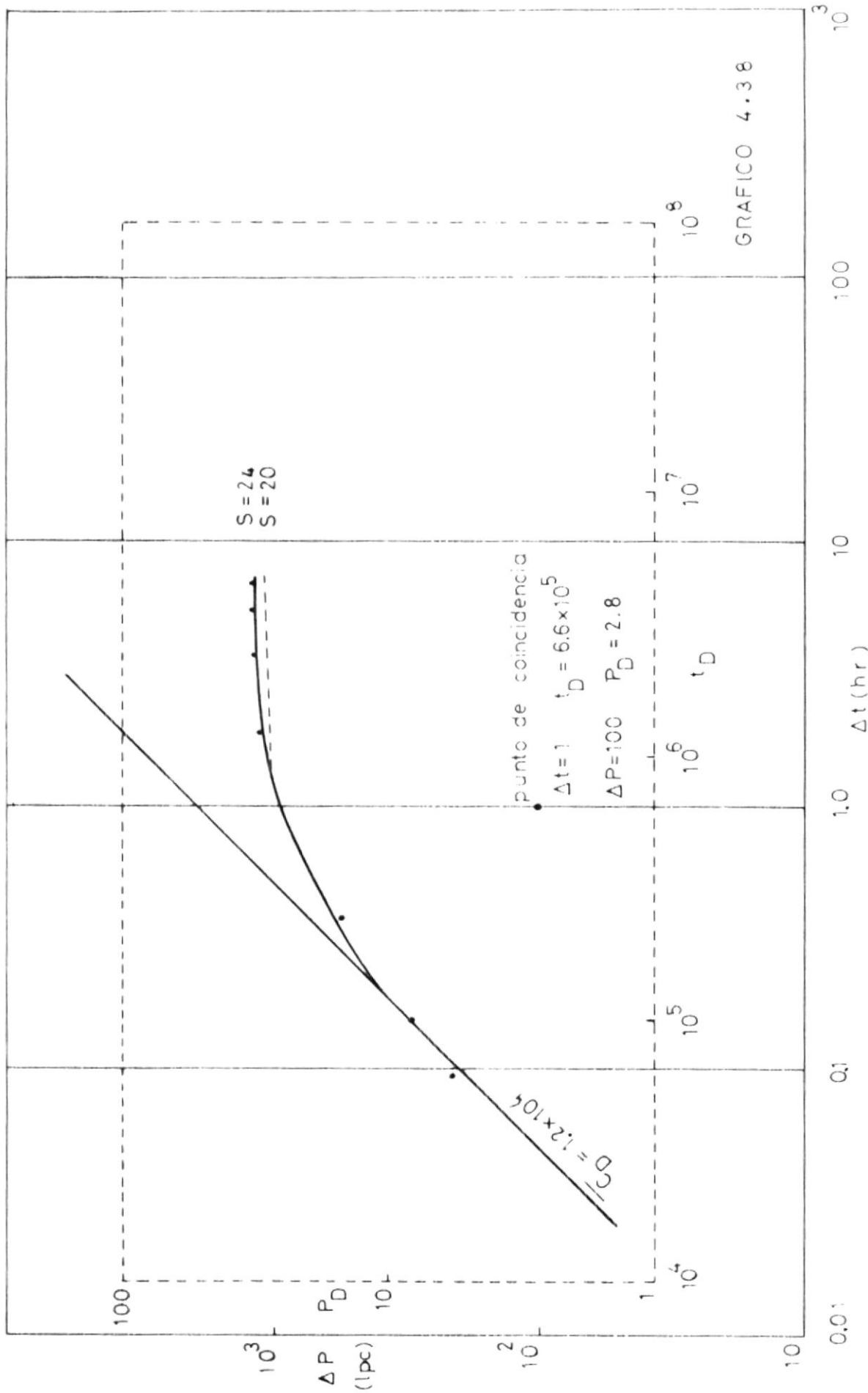
CALCULOS DE PERMEABILIDAD

$$\begin{array}{ll} k_p = 161.2 \frac{q \mu \beta}{h \Delta P} p_D & k_p = \frac{297}{t_D} \text{ md} \\ k_t = \frac{\phi \mu c_p r_w^2}{0.000264 \Delta t} t_D & k_t = \frac{310}{t_D} \text{ md} \end{array}$$

CALCULOS DEL FACTOR DE DATO

$$S = ?^{24} \text{ (Del Gráfico 4.38)}$$

SSF 2.8



CAMPO	SAH	Nº POZO	SSF 29
FORMACION	NAPO	ARENA	T
FECIA DE PRUEBA	10-VIII-80		

ANALISIS DEL CIRCUITO TIPO

q	=	4184	ϕ	=	0.18
β	=	1.21	r_y	=	0.265
c_T	=	9.8×10^{-6} Lpc ⁻¹	h	=	pies
μ	=	0.90		=	70 piee

PUNTOS DE COINCIDENCIA

(Del Gráfico 4.39)

$$\Delta P = 100 \text{ Lpc}$$

$$P_D = 7.5$$

$$\Delta t = 1 \text{ hr}$$

$$t_D = 1.7 \times 10^6$$

CALCULOS DE PIP FEABILIDAD

$$K_P = 161.2 \frac{q \mu \beta}{h \Delta P} P_D$$

$$F_P = 689 \text{ rd}$$

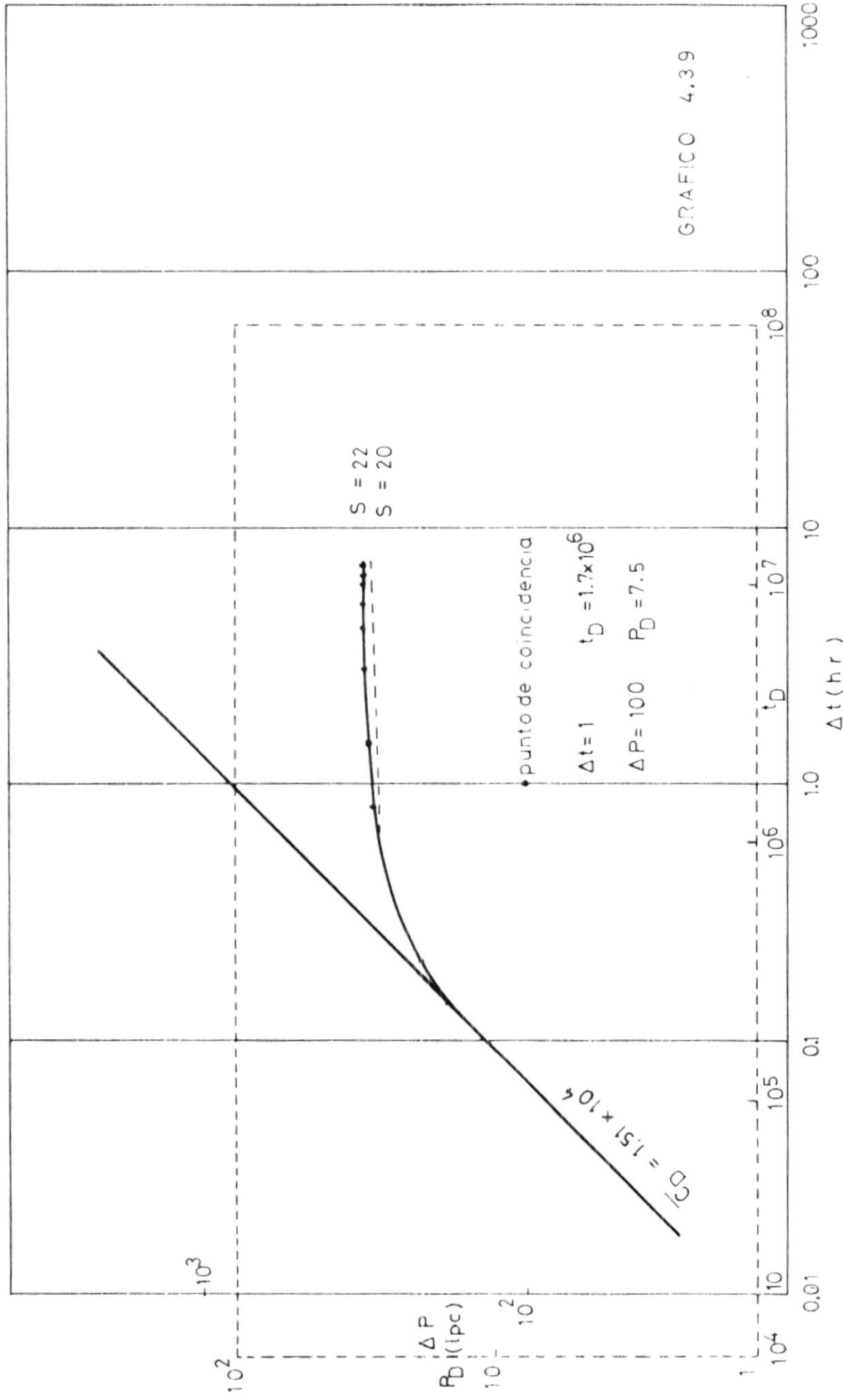
$$K_t = \frac{\phi \mu c_T r_y^2}{0.000264 \Delta t} t_D$$

$$K_t = 718 \text{ rd}$$

CALCULOS DEL FACTOR DE DADO

$$S = 22 \quad (\text{Del Gráfico 4.39})$$

SSF 29



CAMPO	SAN	Nº POZO	SSF 35
FORMACION	NAPO	AREIA	T
FECHA DE PRUEBA	25-VIII-79		

ANALISIS DE CURVA TIPO

q	=	1544	ϕ	=	0.18
β	=	1.23	r_w	=	0.265 pie
c_T	=	2.8×10^{-6} Lpc ⁻¹	h	=	30 pie
μ	=	1.0 cp			

PUNTOS DE COINCIDENCIA

(Del Gráfico 4.40)

$$\Delta P = 100 \text{ Lpc} \quad p_D = 3.0$$

$$\Delta t = 1 \text{ hr} \quad t_D = 6.0 \times 10^5$$

CALCULOS DE PIPERABILIDAD

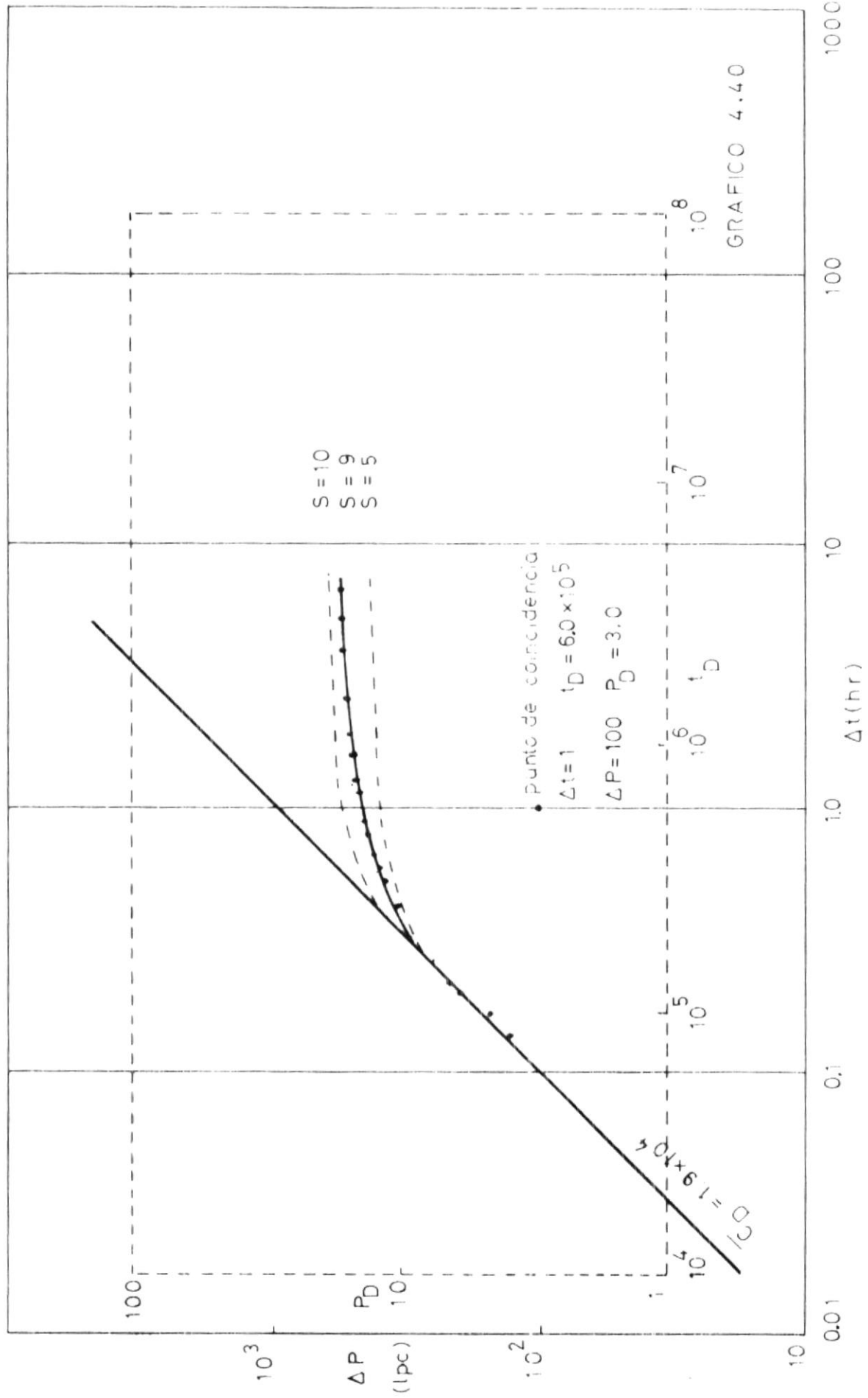
$$K_p = 141.2 \frac{q \mu \beta}{h \Delta P} p_D \quad K_p = 268 \text{ psi}$$

$$K_t = \frac{\phi \mu c_T r_w^2}{0.000264 \Delta t} t_D \quad K_t = 282 \text{ psi}$$

CALCULOS DEL FACTOR DE DADO

$$S = 9.0 \quad (\text{Del Gráfico 4.40})$$

$\zeta_{SF} = 3.5$



CAMPO SAI N° POZO SSE 39
 FORMACION NAPO ARIVA T
 FECHA DE PRUEBA 21-VIII-78

ANALISIS DE CICLO DE TIPO

q	$= 3726$	BPD	β'	$= 0.18$
β	$= 1.23$	BBL/STB	r_w	$= 0.265$ pies
c_T	$= 9.8 \times 10^{-6}$	Lpc $^{-1}$	h	$= 60$ pies
μ	$= 1.0$	cp		

PUNTO DE CONCURRENCIA

(Del Gráfico 4.41)

$$\Delta P = +100 \text{ Lpc}$$

$$P_D = -4.5$$

$$\Delta t = 1 \text{ hr}$$

$$t_D = 1.1 \times 10^6$$

CALCULOS DE PERMITIBILIDAD

$$K_{PD} = 141.2 \cdot \frac{\phi \mu r_w^2}{h \Delta P} P_D$$

$$K_{PD} = 485 \text{ D.P.D.}$$

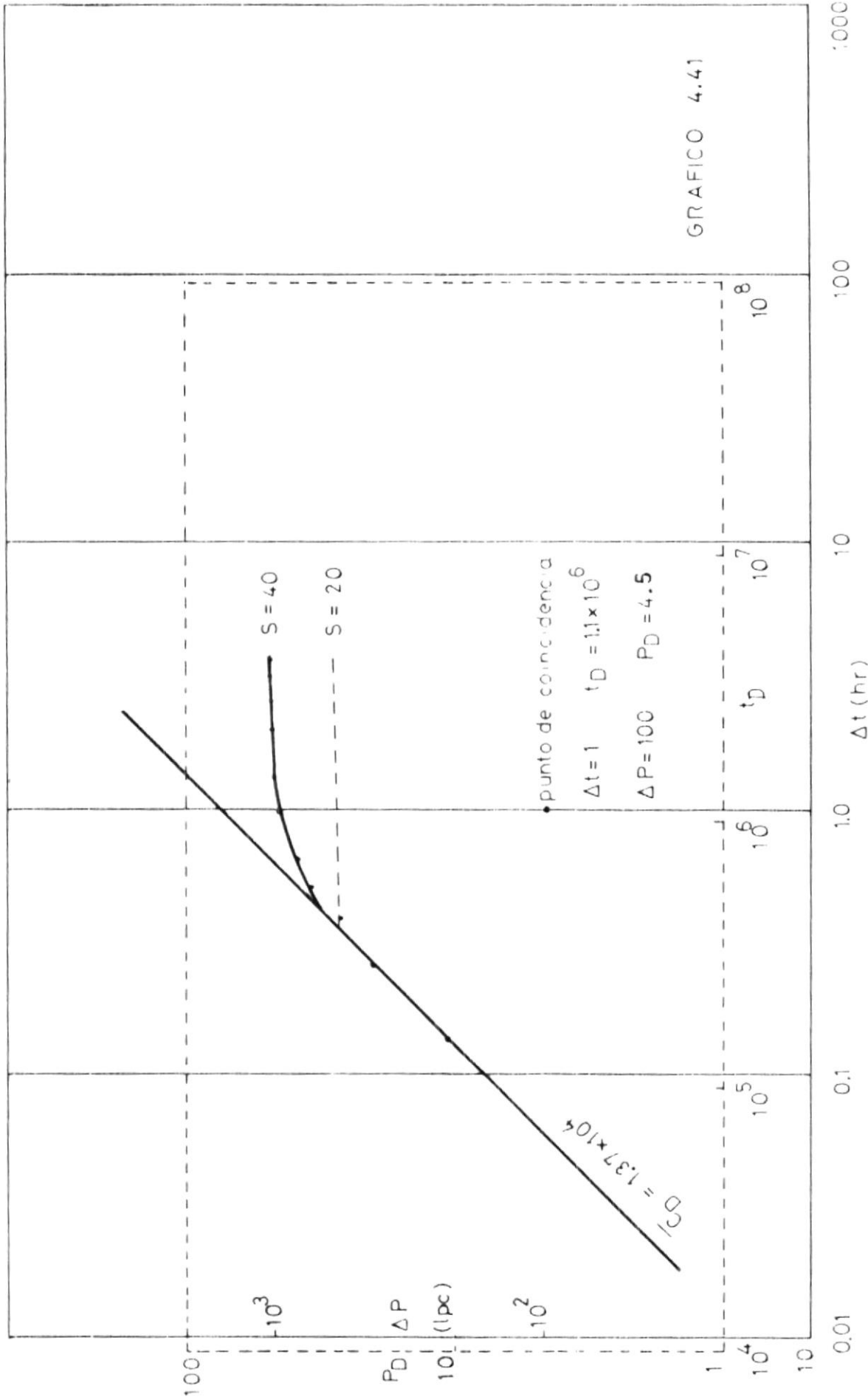
$$K_{TD} = \frac{\phi \mu c_T r_w^2}{0.000264 \Delta t} t_D$$

$$K_{TD} = 516 \text{ D.P.D.}$$

CALCULOS DEL FACTOR DE DAVO

$$S = 1.40 \quad (\text{Del Gráfico 4.41})$$

SSSF 39



CAMPO SAH N° POZO SSE 43
 FORMACION NAPO ALTURA T
 FECHA DE PRUEBA 27-XI-79

ANALISIS DE CURVA TIPO

q	=	<u>3734</u>	BLPD	ϕ	=	<u>0.18</u>
β	=	<u>1.23</u>	BBL/STB	r_w	=	<u>0.265</u>
c_T	=	<u>9.8×10^{-6}</u>	Lpc ⁻¹	h	=	<u>116</u>
μ	=	<u>1.00</u>	cp			

PUNTOS DE COINCIDENCIA

(Del Gráfico 4.42)

$$\Delta P = \frac{100}{Lpc} \quad P_D = 5.2$$

$$\Delta t = \frac{1}{hr} \quad t_D = 6.7 \times 10^5$$

CALCULOS DE FILTRABILIDAD

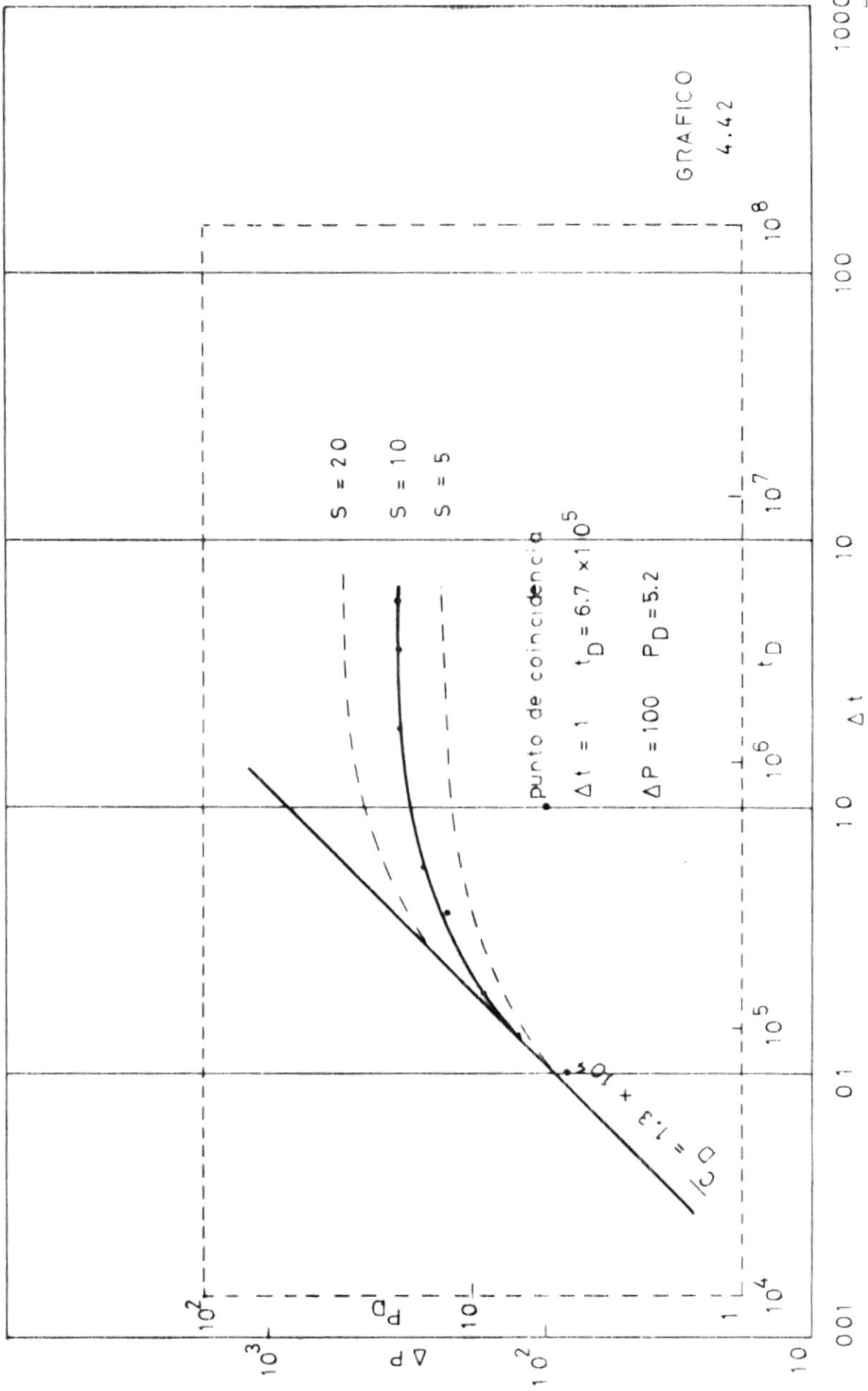
$$K_p = 141.2 \frac{q \mu \beta}{h \Delta P} P_D \quad K_p = 291$$

$$K_t = \frac{\phi \mu c_T r_w^2}{0000764 \Delta t} t_D \quad K_t = 314$$

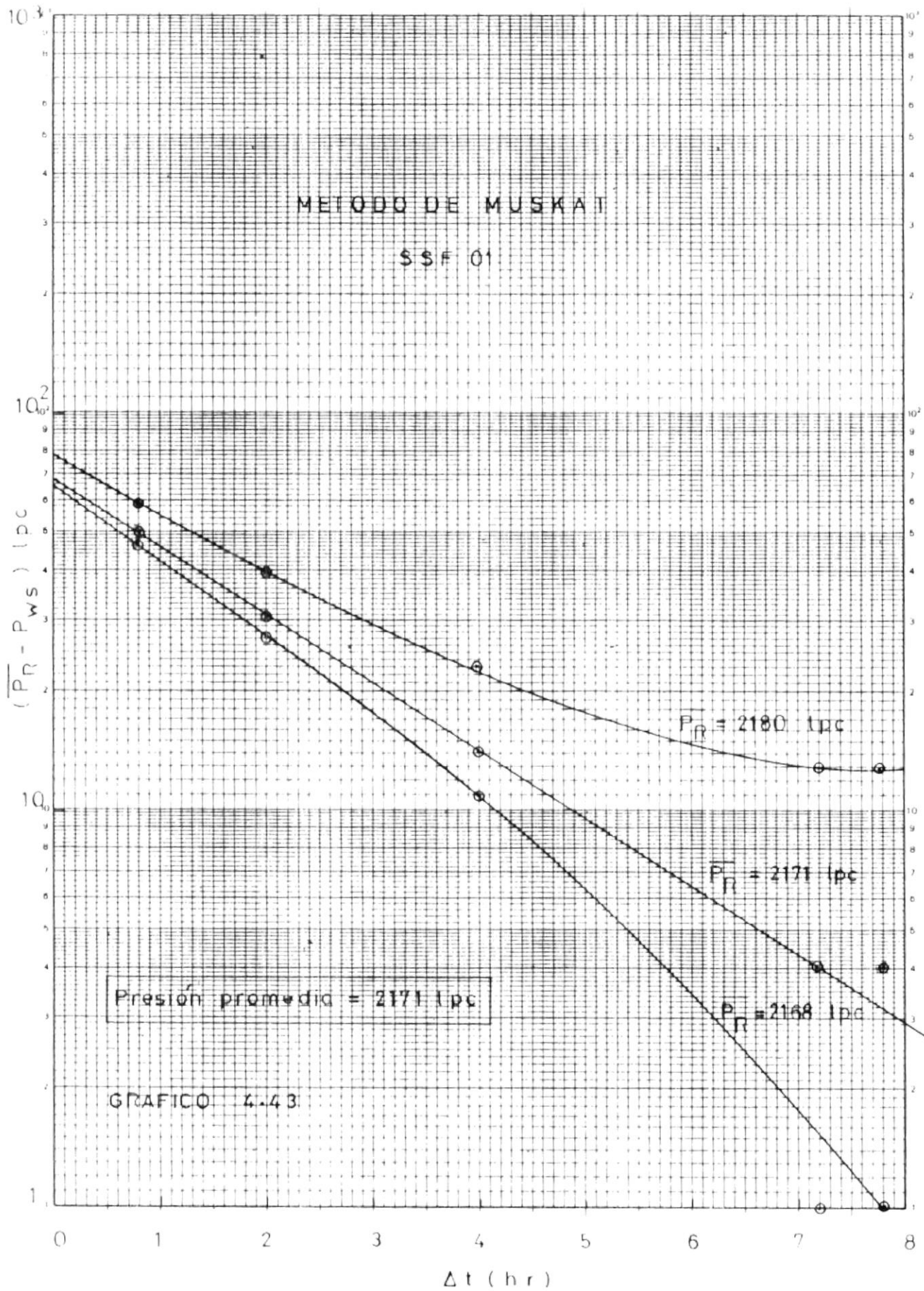
CALCULOS DEL FACTOR DE DAW

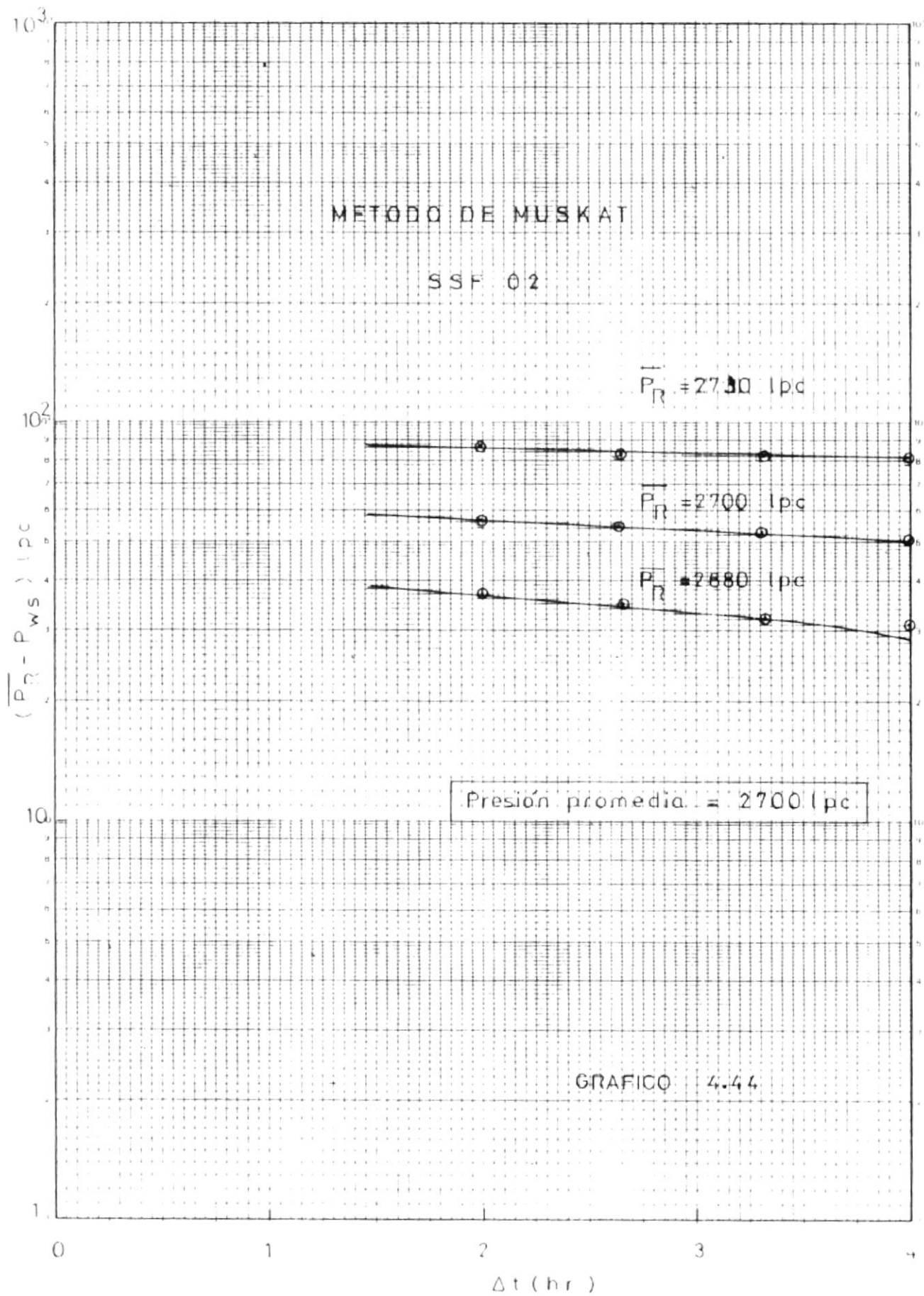
$$S = -10 \quad (\text{Del Gráfico 4.42})$$

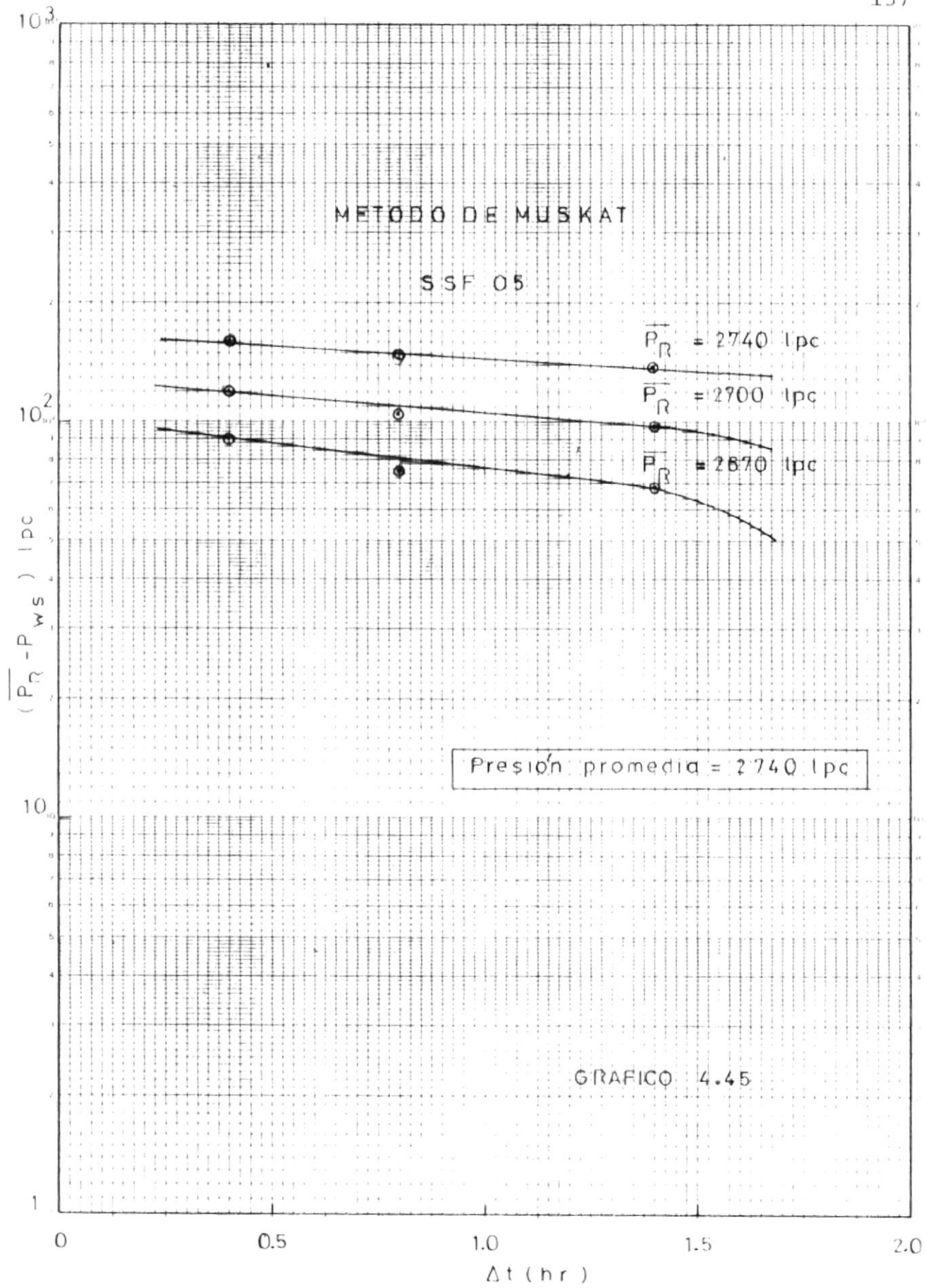
SSF 4.3

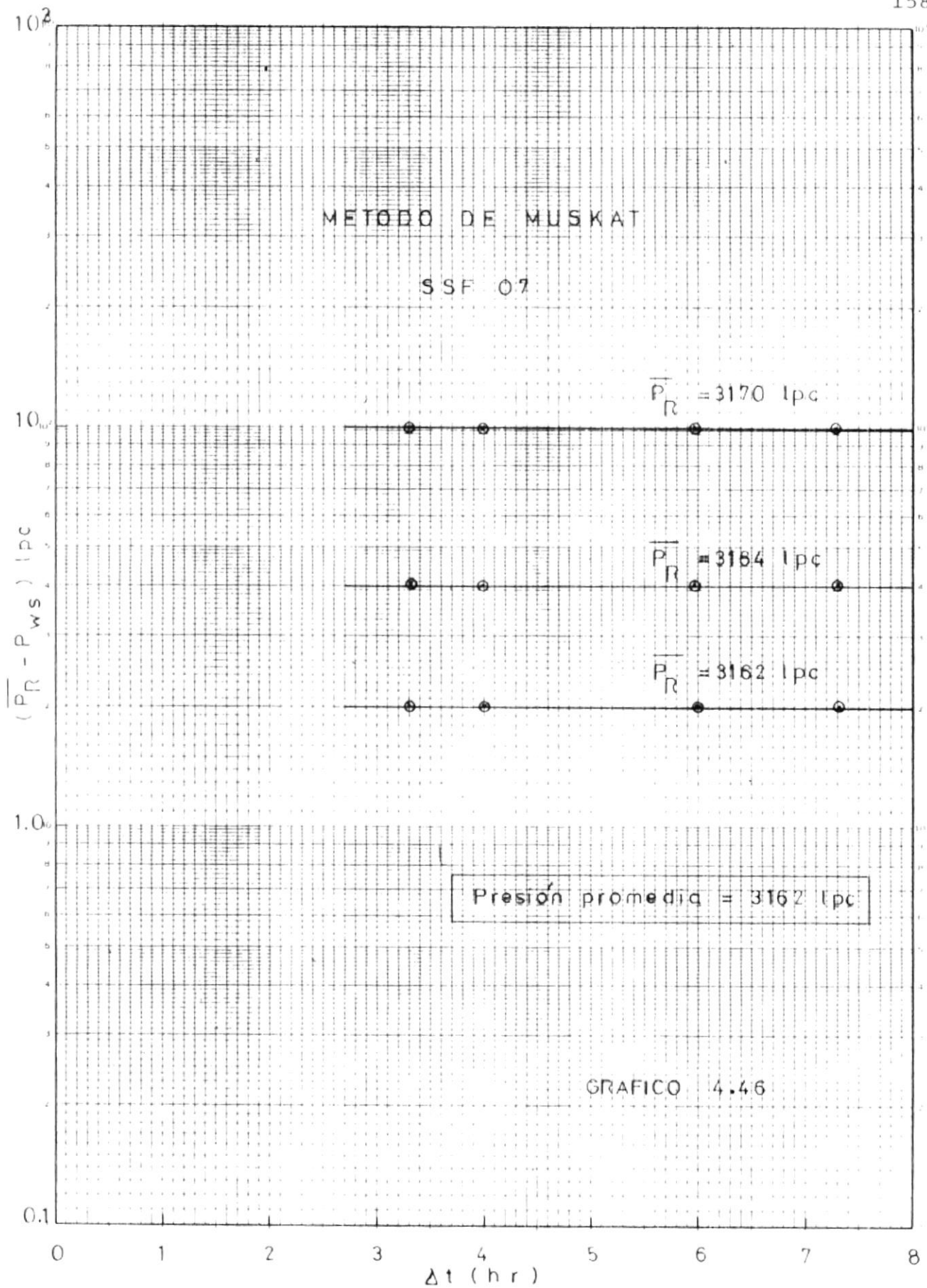


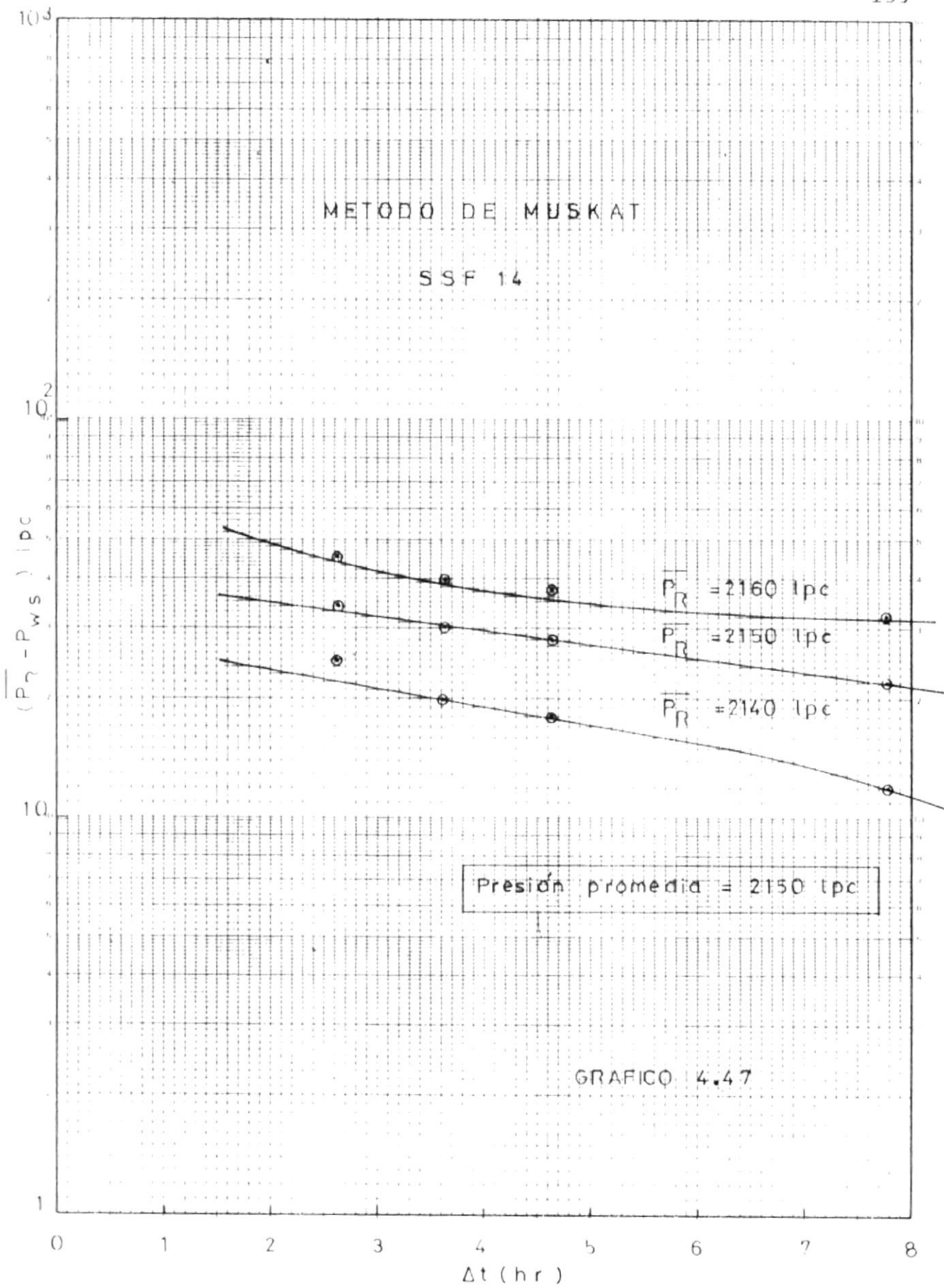
4.4. DETERMINACION DE LA PRESION DEL YACIMIENTO POR
EL METODO DE MUSKAT

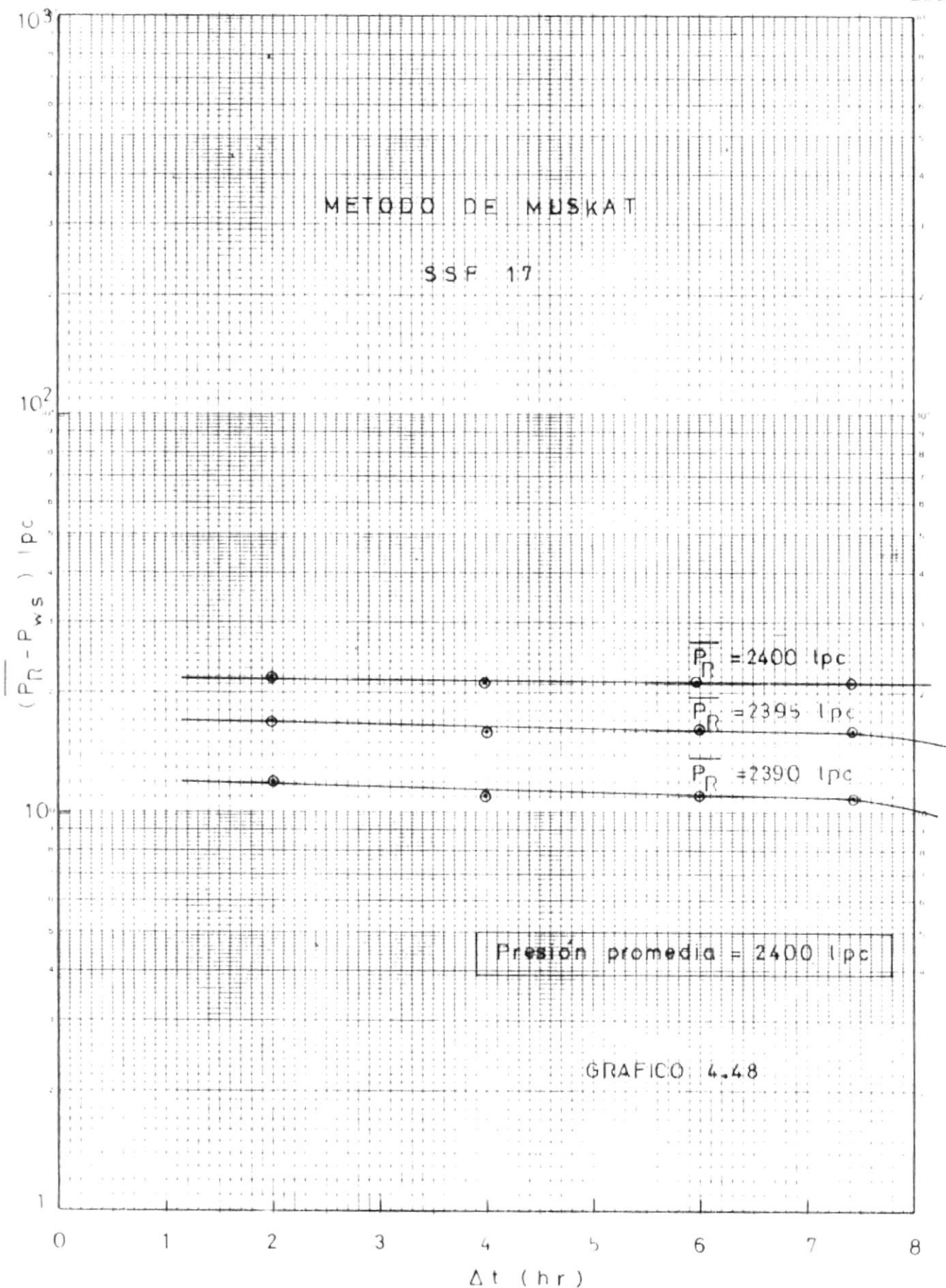


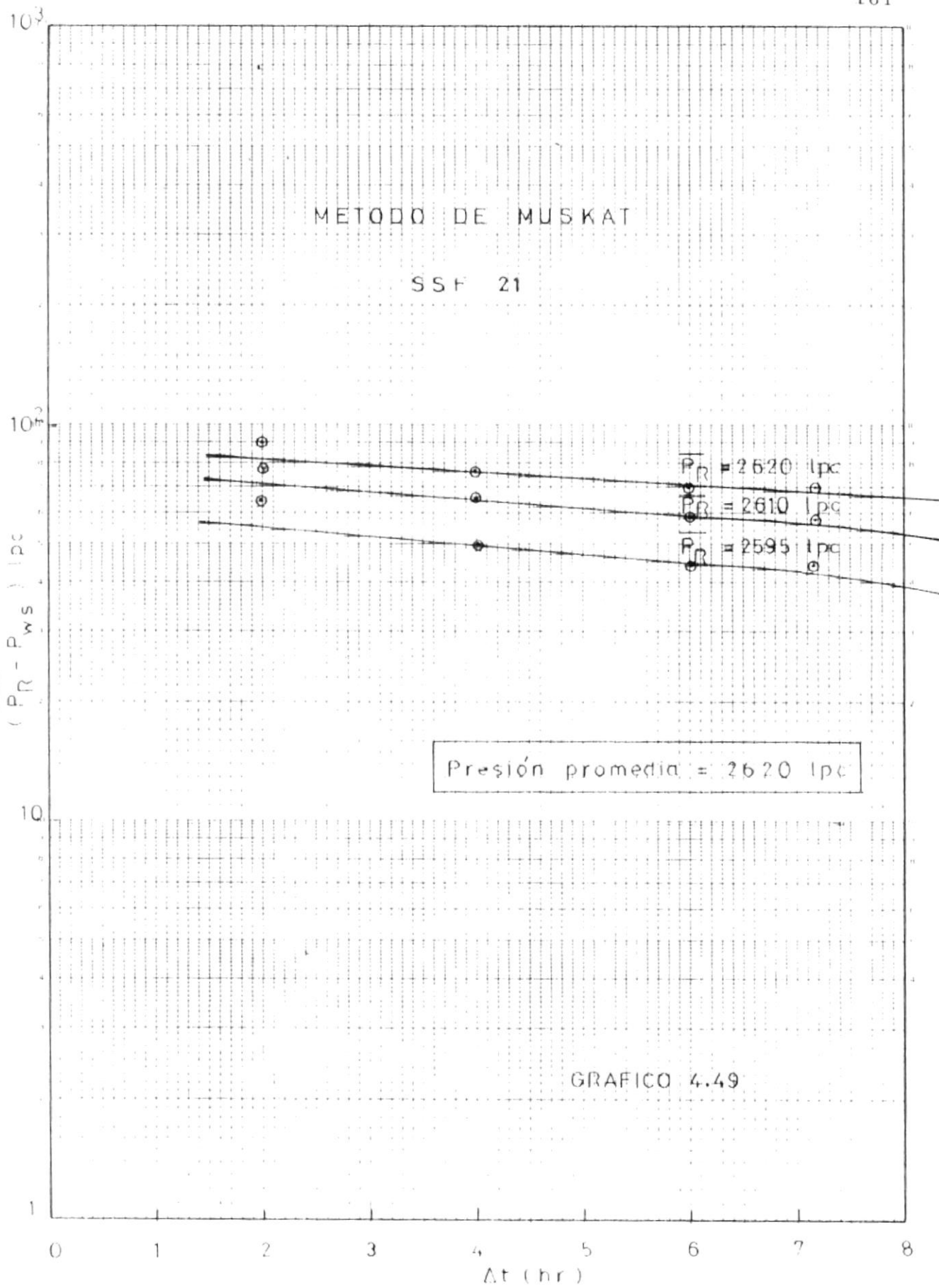


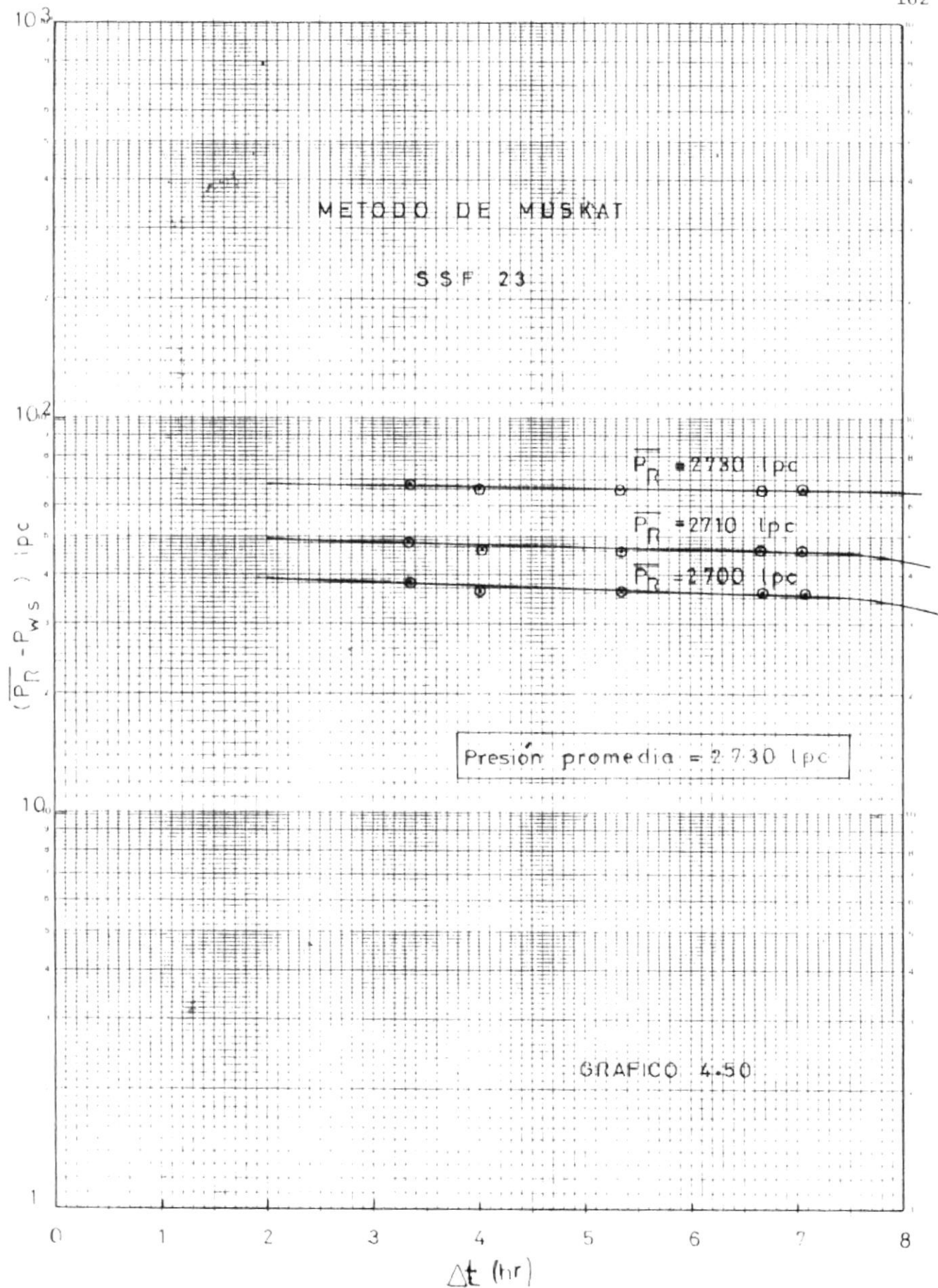


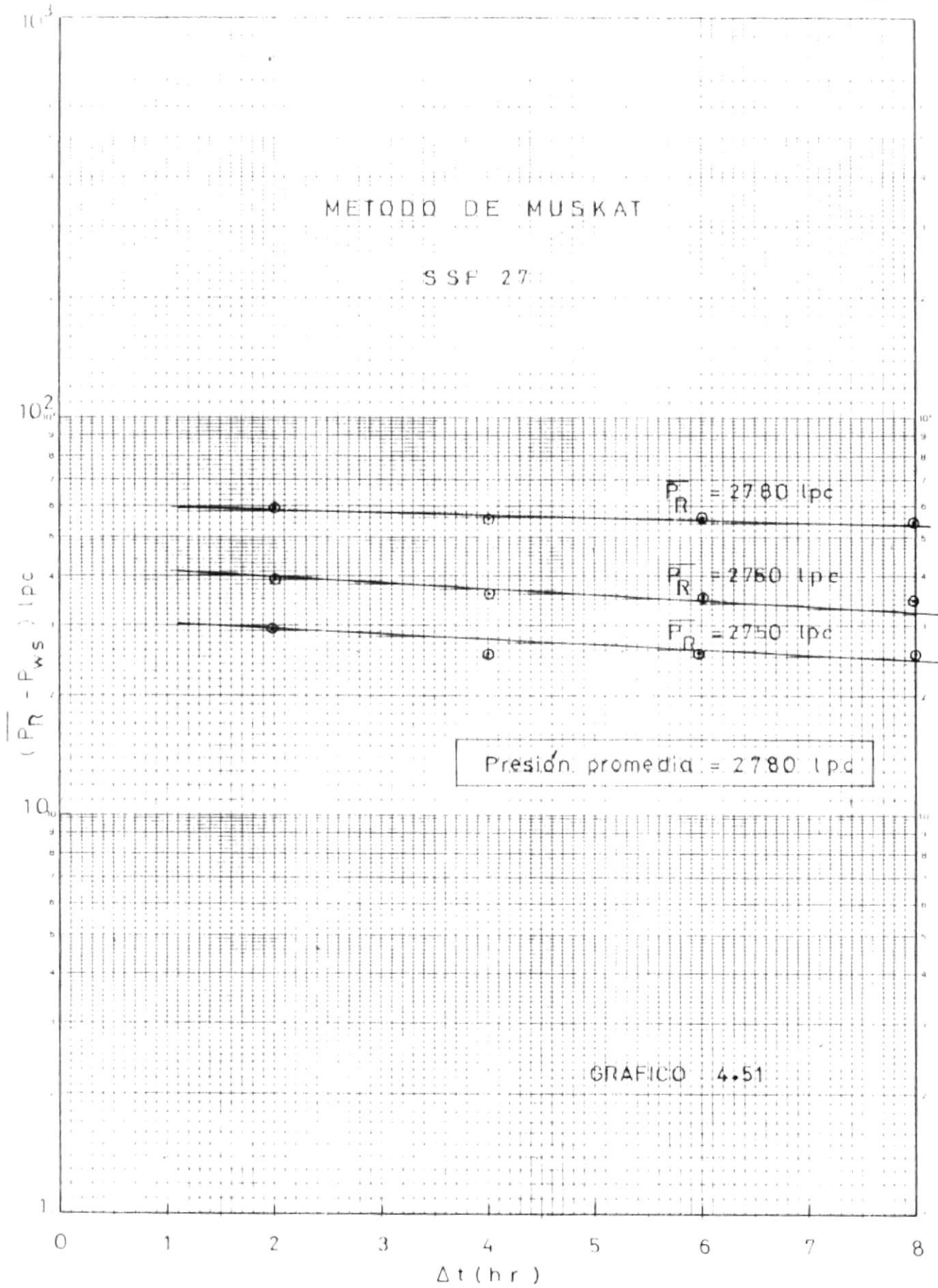


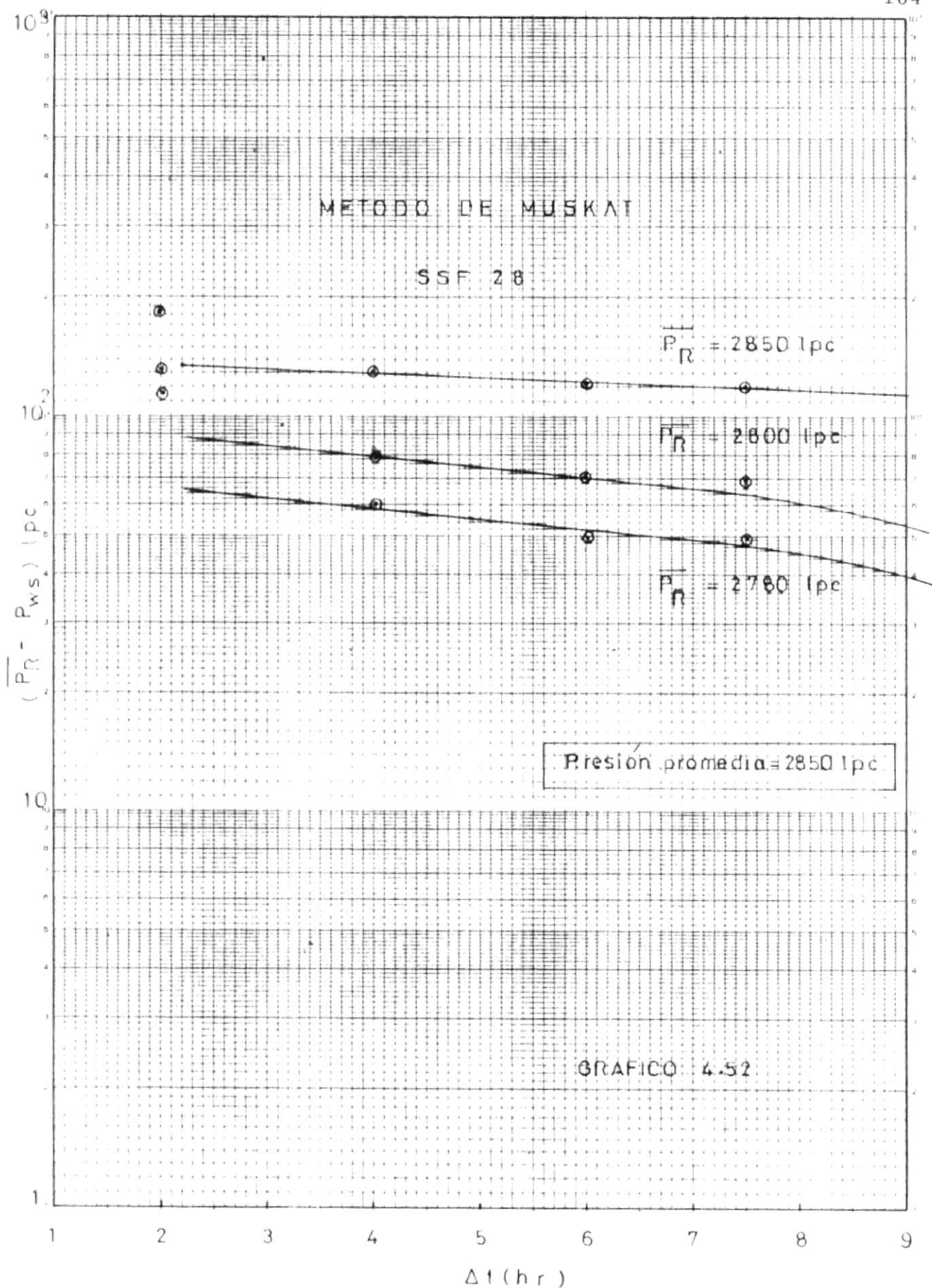


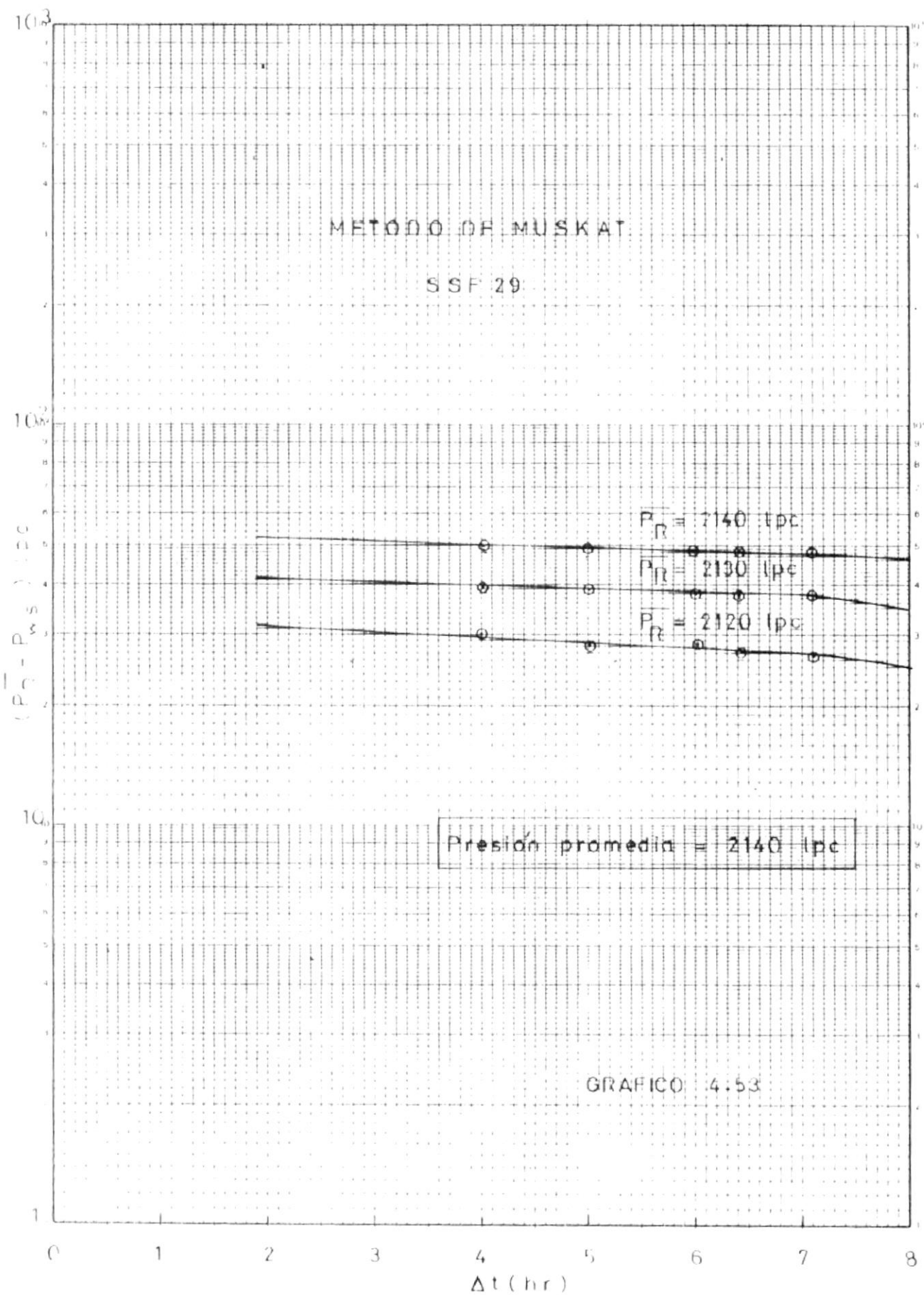


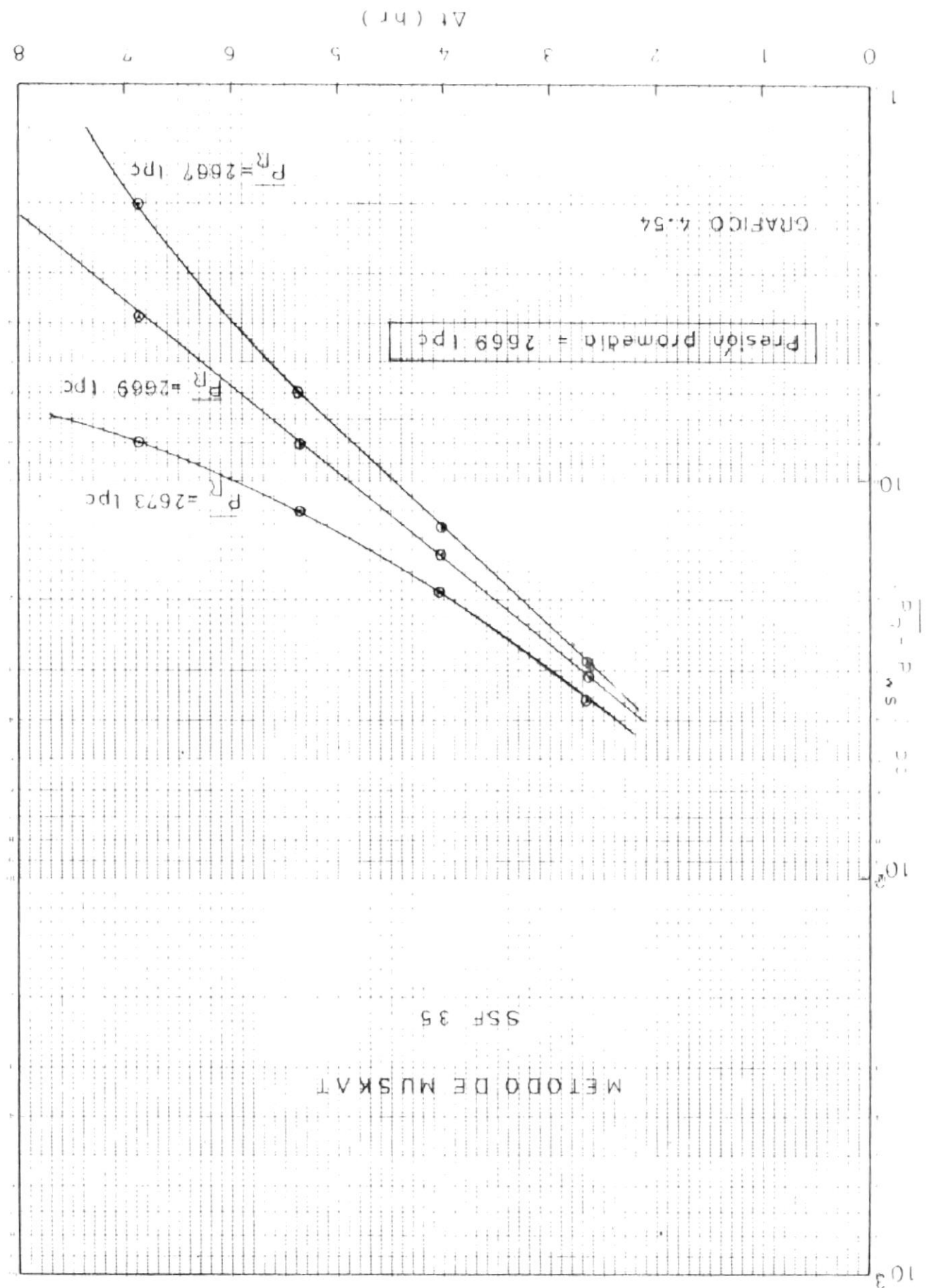


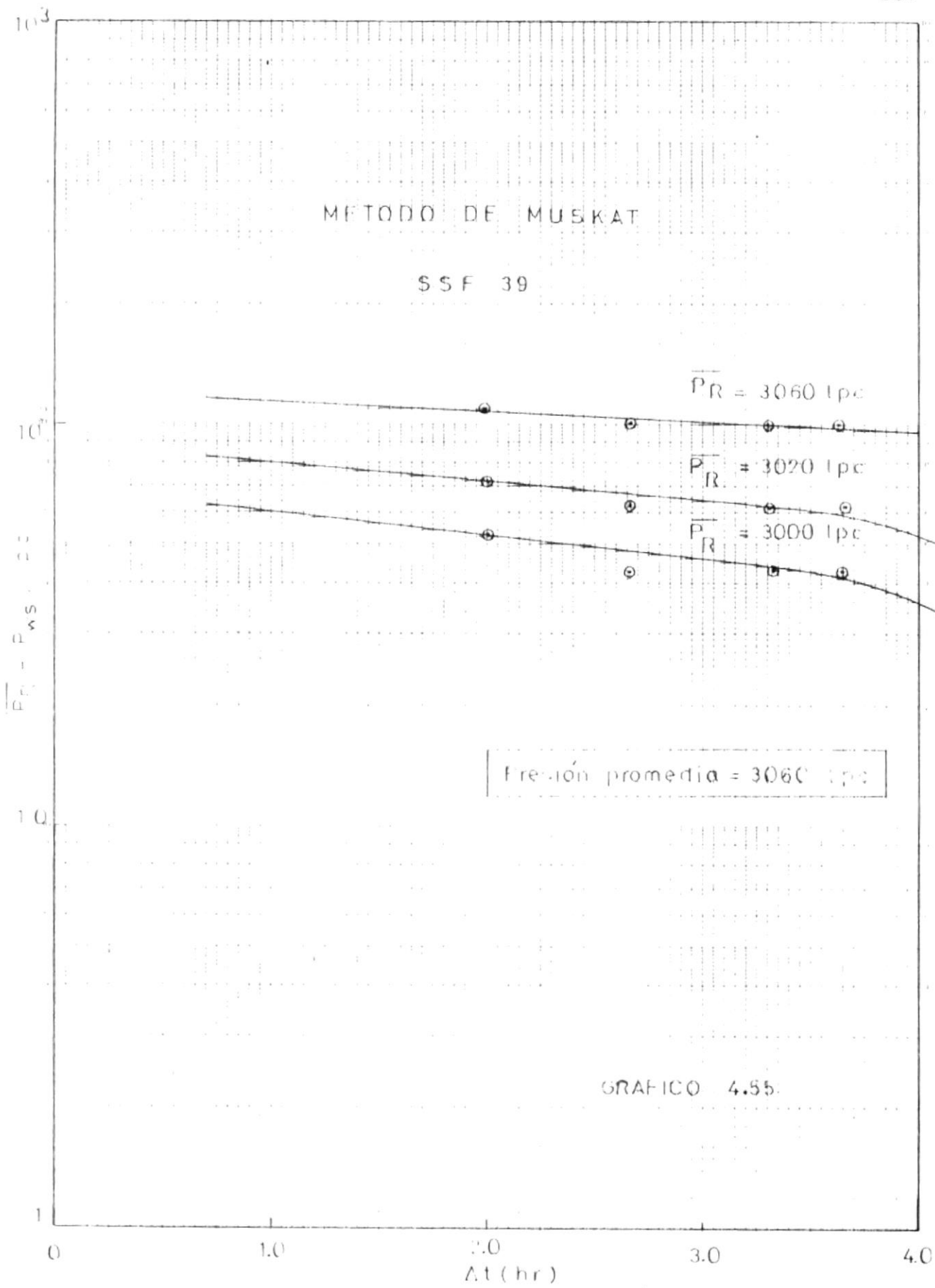


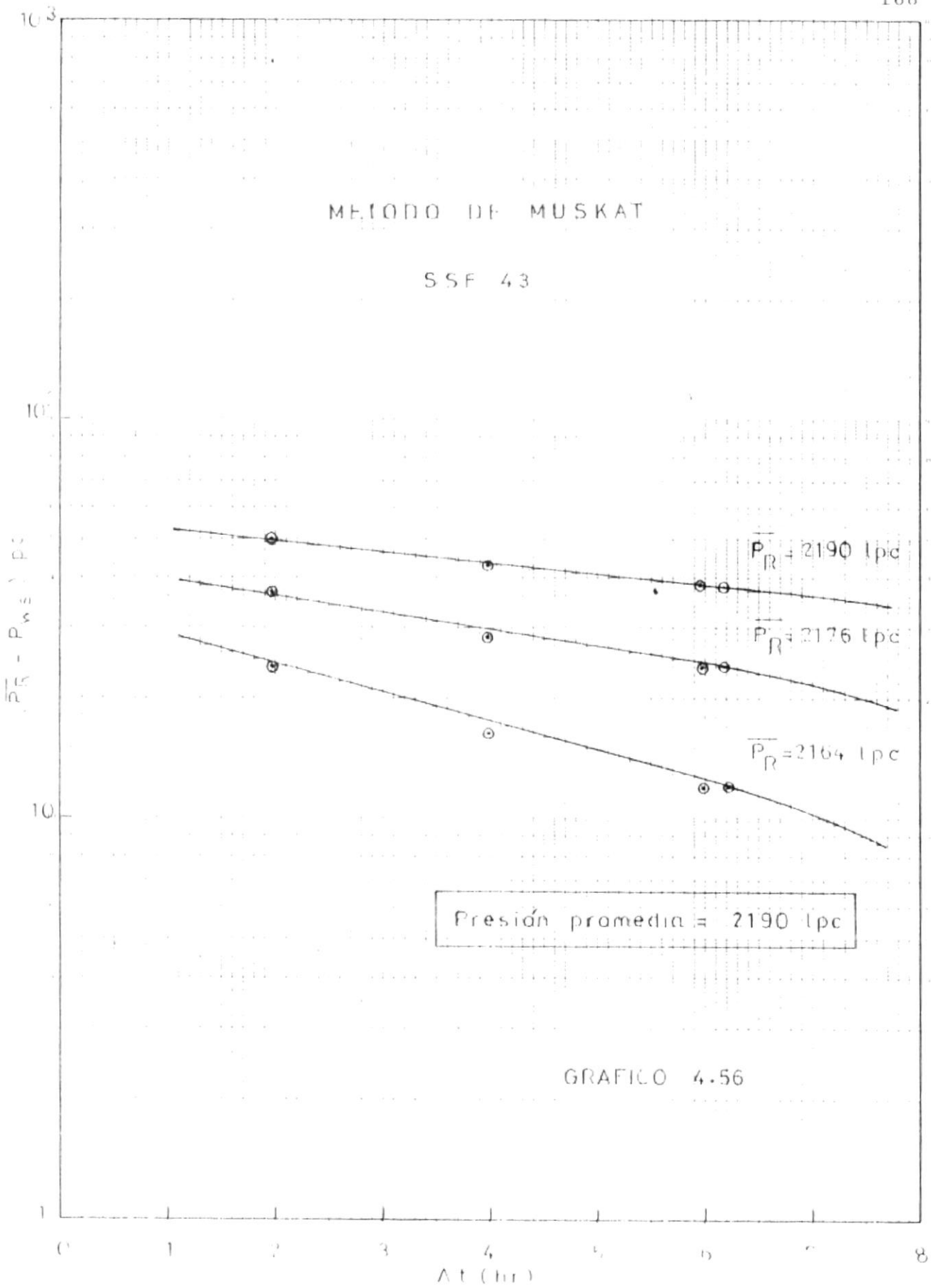












4.5. CALCULO DEL INDICE DE PRODUCTIVIDAD Y EFICIENCIA
DE FLUJO.

CAMPO	SAH	N° PWD - SSE 01
FORMACION	NAPO	ARENA
FECHA DE PRUEBA	29-VI-80	

EFICIENCIA DE FLUJO

$$q = \frac{3990}{BLPD}$$

$$S = \frac{7.29}{BLPD}$$

$$p_{wf} = \frac{1753}{Lpc}$$

$$m = \frac{30}{Lpc/ciclo}$$

$$\overline{p}_R = \frac{2171}{Lpc}$$

$$\Delta p_{daño} = 0.87 \times S \times m$$

$$\Delta p_{daño} = \frac{190}{Lpc}$$

$$IP_{ideal} = \frac{q}{\overline{p}_R - p_{wf}}$$

$$IP_{ideal} = \frac{9.55}{BLPD/Lpc}$$

$$IP_{real} = \frac{q}{\overline{p}_R - p_{wf} - \Delta p_{daño}}$$

$$IP_{real} = \frac{17.50}{BLPD/Lpc}$$

$$FE = \frac{IP_{ideal}}{IP_{real}}$$

$$FE = \frac{0.55}{BLPD/Lpc}$$

CAMPO	SAN	Nº POZO	SSF_02
FORMACION	NAPOL	ARENA	T
FECHA DE PRUEBA	10-TV-80		

EFICIENCIA DE FLUJO

$$q = 1947 \text{ BLPD}$$

$$S = 18.72$$

$$Pwf = 2090 \text{ Lpc}$$

$$m = 24 \text{ Lpc/ciclo}$$

$$\bar{P}_R = 2700 \text{ Lpc}$$

$$\Delta P_{\text{daño}} = 0.87 \times 5 \times m$$

$$\Delta P_{\text{daño}} = 391 \text{ Lpc}$$

$$IP_{\text{ideal}} = \frac{q}{P_R - Pwf}$$

$$IP_{\text{ideal}} = 3.19 \text{ BLPD/Lpc}$$

$$IP_{\text{real}} = \frac{q}{P_R - Pwf - \Delta P_{\text{daño}}}$$

$$IP_{\text{real}} = 8.89 \text{ BLPD/Lpc}$$

$$EE = \frac{IP_{\text{ideal}}}{IP_{\text{real}}}$$

$$EE = 0.36$$

CAMPO	SAH	R ⁺ PGZ/0	SSF 05
FORMACION	NAPO	AREIA	T
ELECA DE PRUEBA	1-TX-80		
EFICIENCIA DE FILTRO			
IP _{ideal} = 0.67 x 5 x m			
q = 2816	BEPD	5	1.46
pwl = 2313	1pc	m	38
v _R = 2740	1pc		1.47/1.40
IP _{real} = 48 1pc			
IP _{ideal} = q / p _R pwl		IP _{ideal} = 6.59 P _R P _{wl} /1pc	
IP _{real} = P _R v _R / (P _{wl} v _{wl})		IP _{real} = 7.43 Bi. v _R /1pc	
EF = IP _{ideal} / IP _{real}		EF = 0.89	

CAMPO	SAH	Nº POZO	SSP 07
FORMACION	NAPO	ARENA	m
FECHA DE PRUEBA	5-IV-79		

EFICIENCIA DE FLUJO

$$q = 1698 \text{ BLPD}$$

$$S = 10,95$$

$$p_{wf} = 2993 \text{ Lpc}$$

$$m = 10 \text{ Lpc/ciclo}$$

$$r_R = 3162 \text{ Lpc}$$

$$\Delta P_{\text{dano}} = 0,37 \times S \times m$$

$$\Delta P_{\text{dano}} = 95 \text{ Lpc}$$

$$IP_{\text{ideal}} = \frac{q}{r_R \cdot p_{wf}}$$

$$IP_{\text{ideal}} = 10,05 \text{ BLPD/lpc}$$

$$IP_{\text{real}} = \frac{q}{r_R \cdot p_{wf} \cdot \Delta P_{\text{dano}}}$$

$$IP_{\text{real}} = 22,95 \text{ BLPD/lpc}$$

$$FL = \frac{IP_{\text{ideal}}}{IP_{\text{real}}}$$

$$FL = 0,44$$

CAMPO	NAH	N = 1500	SSP 14
FORMACION	NAPO	APEN	T
FECHA DE PRUEBA	28-VIII-79		

EFICIENCIA DEL FILTRO

$$q = 3624 \text{ BI PD}$$

$$S = -2.27$$

$$pwf = 1960 \text{ lpc}$$

$$m = 31 \text{ lpc/centro}$$

$$r_R = 2150 \text{ lpc}$$

$$\Delta P_{\text{daño}} = 0.57 \times S \times m$$

$$\Delta P_{\text{daño}} = -61 \text{ lpc}$$

$$IP_{\text{ideal}} = \frac{q}{r_R \cdot pwf}$$

$$IP_{\text{ideal}} = 19.07 \text{ BI PD/lpc}$$

$$IP_{\text{real}} = \frac{q}{r_R \cdot pwf \cdot \Delta P_{\text{daño}}}$$

$$IP_{\text{real}} = 14.44 \text{ BI PD/lpc}$$

$$FE = \frac{IP_{\text{ideal}}}{IP_{\text{real}}}$$

$$FE = 1.32$$

CAMPO	SAH	Nº POZO	SSF 17
FORMACION	NAPO	ARENA	T
FECHA DE PRUEBA	27-X-79		

EFICIENCIA DE FLUJO

$$q = 1786 \text{ BLPD}$$

$$S = 18.08$$

$$p_{wf} = 2264 \text{ Lpc}$$

$$m = 5 \text{ Lpc/ciclo}$$

$$\bar{P}_R = 2400 \text{ Lpc}$$

$$\Delta P_{daño} = 0.37 \times S \times m$$

$$\Delta P_{daño} = 79 \text{ Lpc}$$

$$IP_{ideal} = \frac{q}{\bar{P}_R \cdot p_{wf}}$$

$$IP_{ideal} = 13.13 \text{ BLPD/Lpc}$$

$$IP_{real} = \frac{q}{\bar{P}_R \cdot p_{wf} - \Delta P_{daño}}$$

$$IP_{real} = 31.33 \text{ BLPD/Lpc}$$

$$FE = \frac{IP_{ideal}}{IP_{real}}$$

$$FE = 0.42$$

CAMPO	SAB	N° POZO	SSE
FORMACION	NAPO	ARENA	T
FECHA DE PRUEBA	26-V-80		

EFICIENCIA DEL FILTRO

$$q = 97\% \text{ BEPP}$$

$$S = 15.74$$

$$pmf = 2028 \text{ lpc}$$

$$m = 26 \text{ lpc/cm}^2$$

$$r_R = 2620 \text{ lpc}$$

$$\Delta P_{\text{dano}} = 0.07 \times 5 \times m$$

$$\Delta P_{\text{dano}} = 366 \text{ lpc}$$

$$IP_{\text{ideal}} = \frac{q}{r_R \cdot pmf}$$

$$IP_{\text{ideal}} = 1.65 \text{ BEPP/lpc}$$

$$IP_{\text{real}} = \frac{q}{r_R \cdot pmf \cdot \Delta P_{\text{dano}}}$$

$$IP_{\text{real}} = 4.13 \text{ BEPP/lpc}$$

$$H = \frac{IP_{\text{ideal}}}{IP_{\text{real}}}$$

$$H = 0.40$$

LA 1000 SAH V = 10000 SGP 23

FORMATURA NABO MELA P

FECHA DE PHOTOG 10-VII-78

EFICIENCIA DE TIPO

$$q = 1116 \text{ BLPD} \quad S = 54 \text{ m}$$

$$\text{pwf} = 1595 \text{ Lpc} \quad m = 20 \text{ Lpc/objeto}$$

$$r_R = 2730 \text{ Lpc}$$

$$\int p_{\text{dano}} = 0.37 \times S \times m$$

$$\int p_{\text{dano}} = 940 \text{ Lpc}$$

$$IP_{\text{ideal}} = \frac{q}{pwf} = 0.98 \text{ PIB/objeto}$$

$$IP_{\text{real}} = \frac{q}{pwf \cdot AP_{\text{dano}}} = 0.72 \text{ PIB/objeto}$$

$$EE = \frac{IP_{\text{ideal}}}{IP_{\text{real}}} = 0.17$$

CAMPO	SAH	N° POZO SSE 27
FORMACION	NAPO	ARENA
FECHA DE PRUEBA	I-V-80	T

EFICIENCIA DE FLUJO

$$q = \frac{3602}{BLPD}$$

$$S = \frac{22}{...}$$

$$pwf = \frac{2402}{Lpc}$$

$$m = \frac{12}{Lpc/ciclo}$$

$$\bar{v}_R = \frac{2780}{Lpc}$$

$$\Delta P_{daño} = 0.37 \times S \times m$$

$$\Delta P_{daño} = \frac{230}{Lpc}$$

$$IP_{ideal} = \frac{q}{v_R \cdot p_{wf}}$$

$$IP_{ideal} = \frac{9.53}{BLPD/Lpc}$$

$$IP_{real} = \frac{q}{\bar{v}_R \cdot p_{wf} - \Delta P_{daño}}$$

$$IP_{real} = \frac{24.34}{BLPD/Lpc}$$

$$FE = \frac{IP_{ideal}}{IP_{real}}$$

$$FE = \frac{0.39}{...}$$

CAMPO	GAU	R+ POZO - 550' 28'
FORMACION	NAPF	ARENA
EFECHA DE PRUEBA	8-V-80	

EFICIENCIA DE FLUJO

$$q = 3420 \text{ BLPD} \quad S = 26.40$$

$$p_{wf} = 1531 \text{ Lpc} \quad m = 40 \text{ Lpc/ciclo}$$

$$\bar{p}_R = 2850 \text{ Lpc}$$

$$\Delta p_{daño} = 0.87 \times S \times m$$

$$\Delta p_{daño} = 919 \text{ Lpc}$$

$$IP_{ideal} = \frac{q}{p_R - p_{wf}} \quad IP_{ideal} = 2.59 \text{ BLPD/Lpc}$$

$$IP_{real} = \frac{q}{p_R - p_{wf} - \Delta p_{daño}} \quad IP_{real} = 8.55 \text{ BLPD/Lpc}$$

$$FE = \frac{IP_{ideal}}{IP_{real}} \quad FE = 0.30$$

CAMPO	SAH	Nº POZO	SSF 29
FORMACION	NAPO	ARENA	T
FECHA DE PRUEBA	10-VIII-8		

EFICIENCIA DE FILTRADO

$$q = 4184 \text{ BLPD}$$

$$S = 25$$

$$p_{wf} = 1655 \text{ Lpc}$$

$$m = 15 \text{ Lpc/ciclo}$$

$$\bar{p}_R = 2140 \text{ Lpc}$$

$$\Delta p_{daño} = 0.87 \times S \times m$$

$$\Delta p_{daño} = 326 \text{ Lpc}$$

$$IP_{ideal} = \frac{q}{p_R - p_{wf}}$$

$$IP_{ideal} = 8.63 \text{ BLPD/Lpc}$$

$$IP_{real} = \frac{q}{\bar{p}_R - \bar{p}_{wf} - \Delta \bar{p}_{daño}}$$

$$IP_{real} = 26.31 \text{ BLPD/Lpc}$$

$$FE = \frac{IP_{ideal}}{IP_{real}}$$

$$FE = 0.33$$

CAMPO	SAH	Nº POZO	SSF_35
FORMACION	NAPO	ARENA	T
FECHA DE PRUEBA	25-VIII-79		

EFICIENCIA DE FLUIDO

$$q = 1544 \text{ BLPD}$$

$$S = 9,44$$

$$p_{wt} = 2088 \text{ Lpc}$$

$$m = 33 \text{ Lpc/1000 m}$$

$$\bar{v}_R = 2669 \text{ Lpc}$$

$$\Delta p_{dano} = 0,87 \times S \times m$$

$$\Delta p_{dano} = 312 \text{ Lpc}$$

$$IP_{ideal} = \frac{q}{\bar{v}_R \cdot p_{wt}}$$

$$IP_{ideal} = 2,66 \text{ BLPD/Lpc}$$

$$IP_{real} = \frac{q}{\bar{v}_R \cdot p_{wt} - \Delta p_{dano}}$$

$$IP_{real} = 5,74 \text{ BLPD/Lpc}$$

$$FF = \frac{IP_{ideal}}{IP_{real}}$$

$$FF = 0,46$$

CAMPO	SAH	N FUZO	SSF 39
FORMACION	NAPO	ARENA	T
FECHA DE PRUEBA	21-VIII-78		

EFICIENCIA DEL FLUJO

$$q = 3726 \text{ BI/ID}$$

$$S = 39,91$$

$$pwf = 1910 \text{ lpc}$$

$$m = 25 \text{ lpc/ID/lo}$$

$$\bar{P}_R = 3060 \text{ lpc}$$

$$\Delta P_{\text{daño}} = 0,37 \times S \times m$$

$$\Delta P_{\text{daño}} = 868 \text{ lpc}$$

$$IP_{\text{ideal}} = \frac{q}{P_R - Pwf}$$

$$IP_{\text{ideal}} = 3,24 \text{ BI/ID/lpc}$$

$$IP_{\text{real}} = \frac{q}{P_R - Pwf - \Delta P_{\text{daño}}}$$

$$IP_{\text{real}} = 13,21 \text{ BI/ID/lpc}$$

$$FE = \frac{IP_{\text{ideal}}}{IP_{\text{real}}}$$

$$FE = 0,25$$

CAMPO	SAH	R. POZO	SSF 43
FORMACION	NAPO	ARENA	T
FECHA DE PRUEBA	27-XI-79		

EFICIENCIA DE FLUJO

$$q = 3734 \text{ Lpc}$$

$$S = 10.83$$

$$pwf = 1808 \text{ Lpc}$$

$$m = 21 \text{ Lpc}^2 \text{ sec}^{-1}$$

$$\bar{r}_R = 2190 \text{ Lpc}$$

$$\Delta p_{\text{dano}} = 0.37 \times 5 \times m$$

$$\Delta p_{\text{dano}} = 198 \text{ Lpc}$$

$$IP_{\text{ideal}} = \frac{q}{p \cdot p_{\text{wf}}}$$

$$IP_{\text{ideal}} = 9.77 \text{ Lpc sec}^{-1}$$

$$IP_{\text{real}} = \frac{q}{p \cdot p_{\text{wf}} \cdot \Delta p_{\text{dano}}}$$

$$IP_{\text{real}} = 20.29 \text{ Lpc sec}^{-1}$$

$$FE = \frac{IP_{\text{ideal}}}{IP_{\text{real}}}$$

$$FE = 0.48$$

4.6. CONSTRUCCION DE CURVAS IFR

CAMPO	SAH	Nº POCO	SSP 01
FORMACION	NAPO	APENIA	T
FECHA DE PREGA	29-VI-80		

RELACION DE OBTURACION DEL FILTRO

$$q = 1 - 3990 \times \text{BLPD}$$

$$\dot{p}_p = 2171 \text{ cm}^{-3} \text{ lpc}$$

$$Pwf = 1753 \text{ cm}^{-3} \text{ lpc}$$

$$PE = 2 \times 10^{-55}$$

$$q = c \left[\dot{p}_p^2 + Pwf^2 \right] n$$

$$n = 1.0763 + (\text{Del Gráfico } 4.57)$$

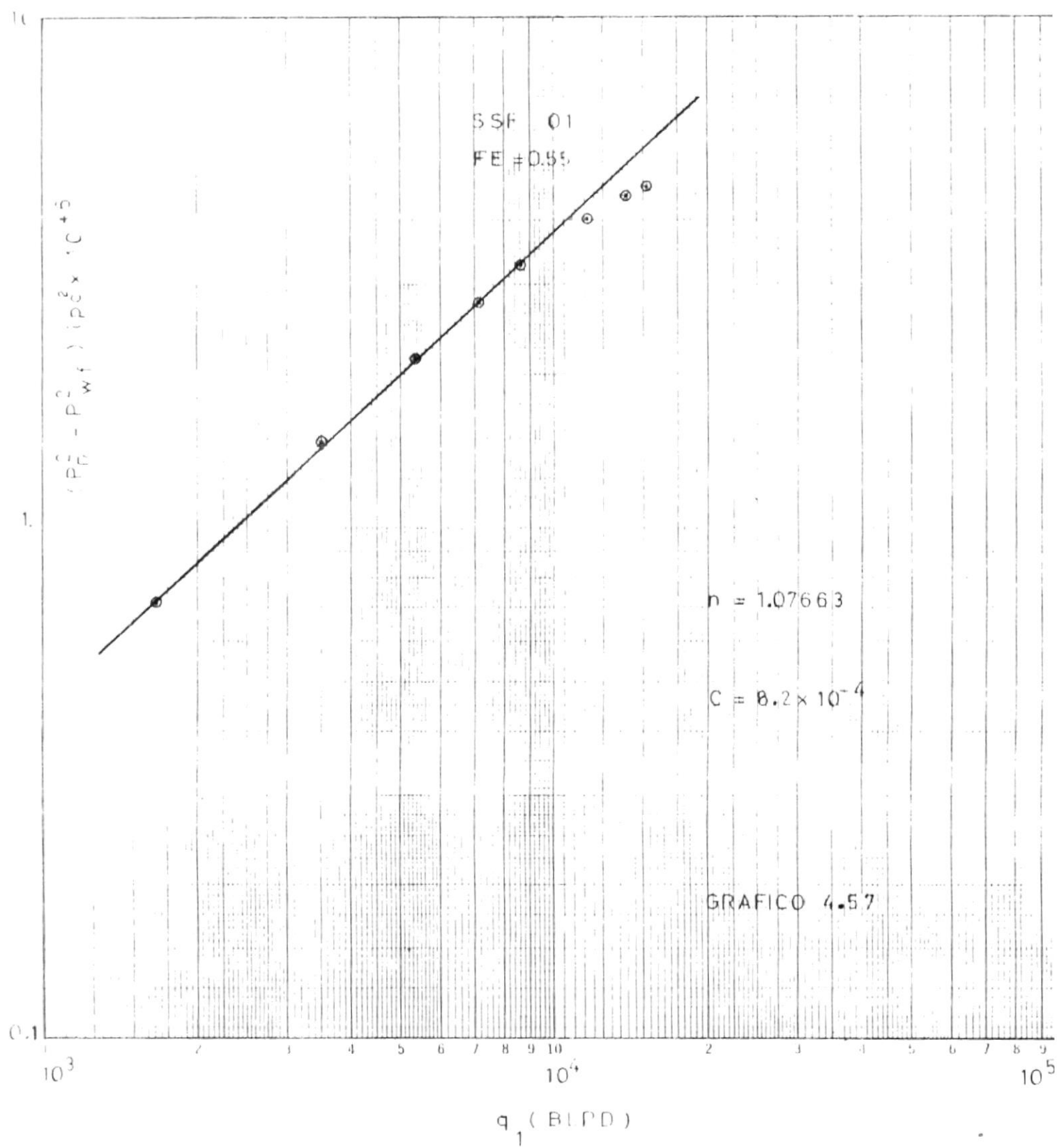
$$c = 8.2 \times 10^{-4}$$

$$\Delta OFP = c \left[\dot{p}_p^2 + 0 \right] n$$

$$\Delta OFP = 12483 \text{ cm}^{-3} \text{ lpc} \text{ BLPD} (\text{en Gráfico } 4.58)$$

VALORES INTERPOLADOS EN CONSTRUCCIONES TIPICAS

PWF	PWF	PWF	PWF	PWF	PWF	PWF	PWF
LPC	LPC	LPC	LPC	LPC	LPC	LPC	LPC
2100	2132	205	0.3032	651			
2000	2077	1680	0.7132	1635			
1800	1967	3540	1.4132	3570			
1600	1857	5340	2.1532	5372			
1400	1747	7051	2.7532	6999			
1200	1637	8661	3.2732	9431			
800	1417	11610	4.0732	40668			
500	1252	13584	4.4632	11771			
200	1087	15356	4.6732	12369			



CAMPO	SAH	Nº POZO	SSP 02
FORMACION	NAPO	APENA	T
FECHA DE PRUEBA	10-IV-80		

RELACION DE COMPORTAMIENTO DEL FLUJO

$$q = \frac{1947}{\tilde{P}_R} \text{ BLPD}$$

$$\tilde{P}_R = \frac{2700}{Pwf} \text{ Lpc}$$

$$Pwf = \frac{2090}{q} \text{ Lpc}$$

$$EP = \pm 0.36$$

$$q = c \left[\frac{\tilde{P}_R^2}{Pwf^2} + 1 \right]^n$$

$$n = \frac{1.1348}{c} \quad (\text{Del Gráfico 4.59})$$

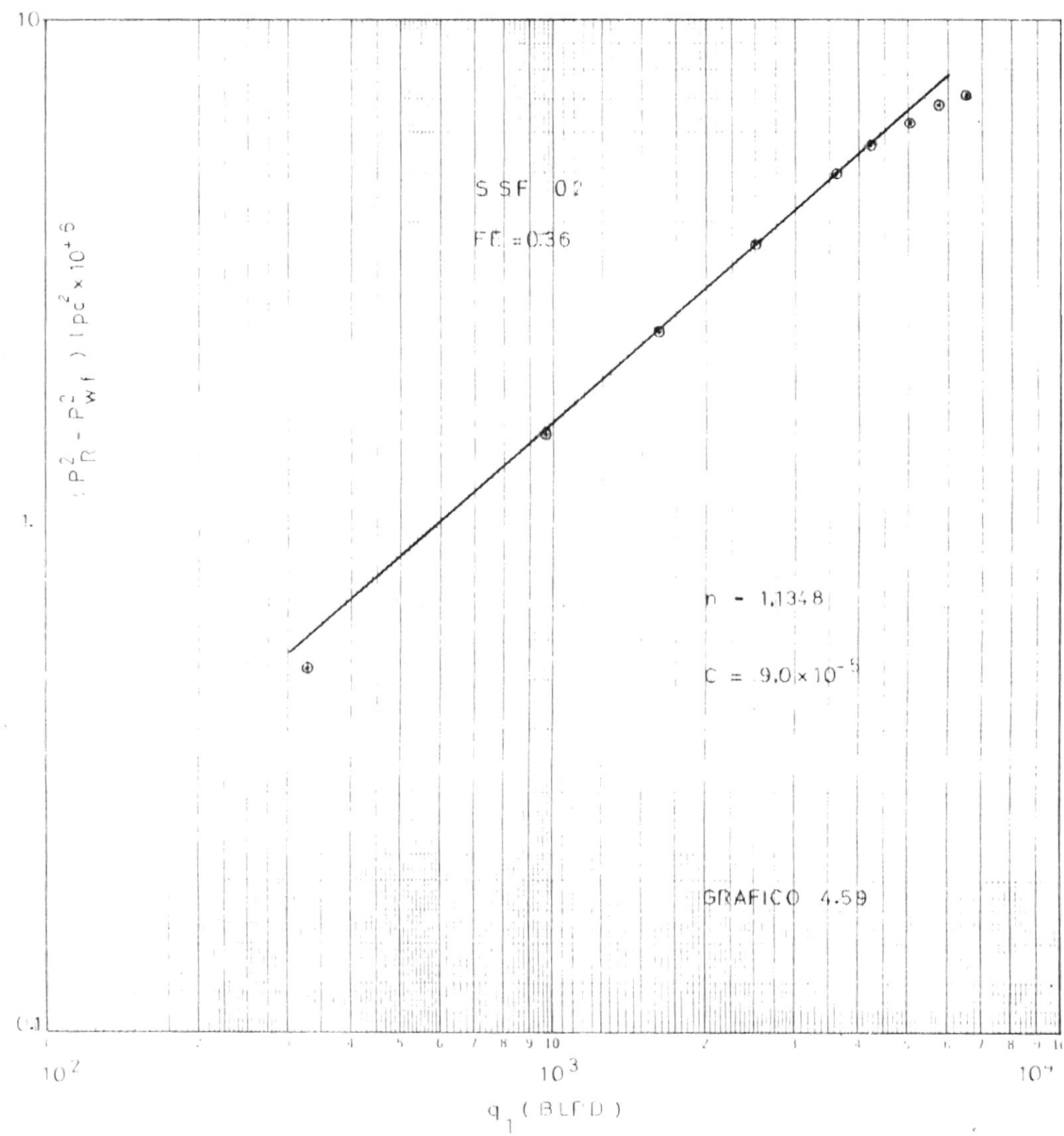
$$c = 0.00009$$

$$AOP = c \left[\frac{\tilde{P}_R^2}{Pwf^2} + 0 \right]^n$$

$$AOP = \frac{5522}{q} \text{ BLPD} \quad (\text{Del Gráfico 4.60})$$

VALORES UTILIZADOS EN CONSTRUCCIONES

P_{WF}	P_{WF}	Q_1	$\left(\frac{P_R^2 - P_{WF}^2}{LPC^2} \times 10^{+6} \right)$	q
LPC	LPC	B.L.P.D		B.L.P.D
2600	2664	329	0.5300	282
2400	2592	973	1.5300	939
2200	2520	1603	2.4500	1602
1900	2412	2518	3.6600	2542
1500	2268	3683	5.0400	3632
1300	2196	4242	5.6000	4093
1000	2088	5052	6.2900	4670
700	1980	5826	6.8000	5102
400	1872	6564	7.1300	5384



CAMPO	SAH	Nº POZO	REF. 05
FORMACION	NAPO	ARENA	"P"
FECIA DE PRUEBA	1-IX-80		

RELACION DEL COMPORTAMIENTO DEL TITANIO

$$q = \frac{2816}{\tilde{p}_R^2} \quad \text{BLPD}$$

$$\tilde{p}_R = 2740 \quad \text{lpc}$$

$$Pmf = 2313 \quad \text{lpc}$$

$$FE = 0,89$$

$$q = c \left[\tilde{p}_R^2 + Pmf^2 \right]^n$$

$$n = 1,1083 \quad (\text{Del Gráfico 4,61})$$

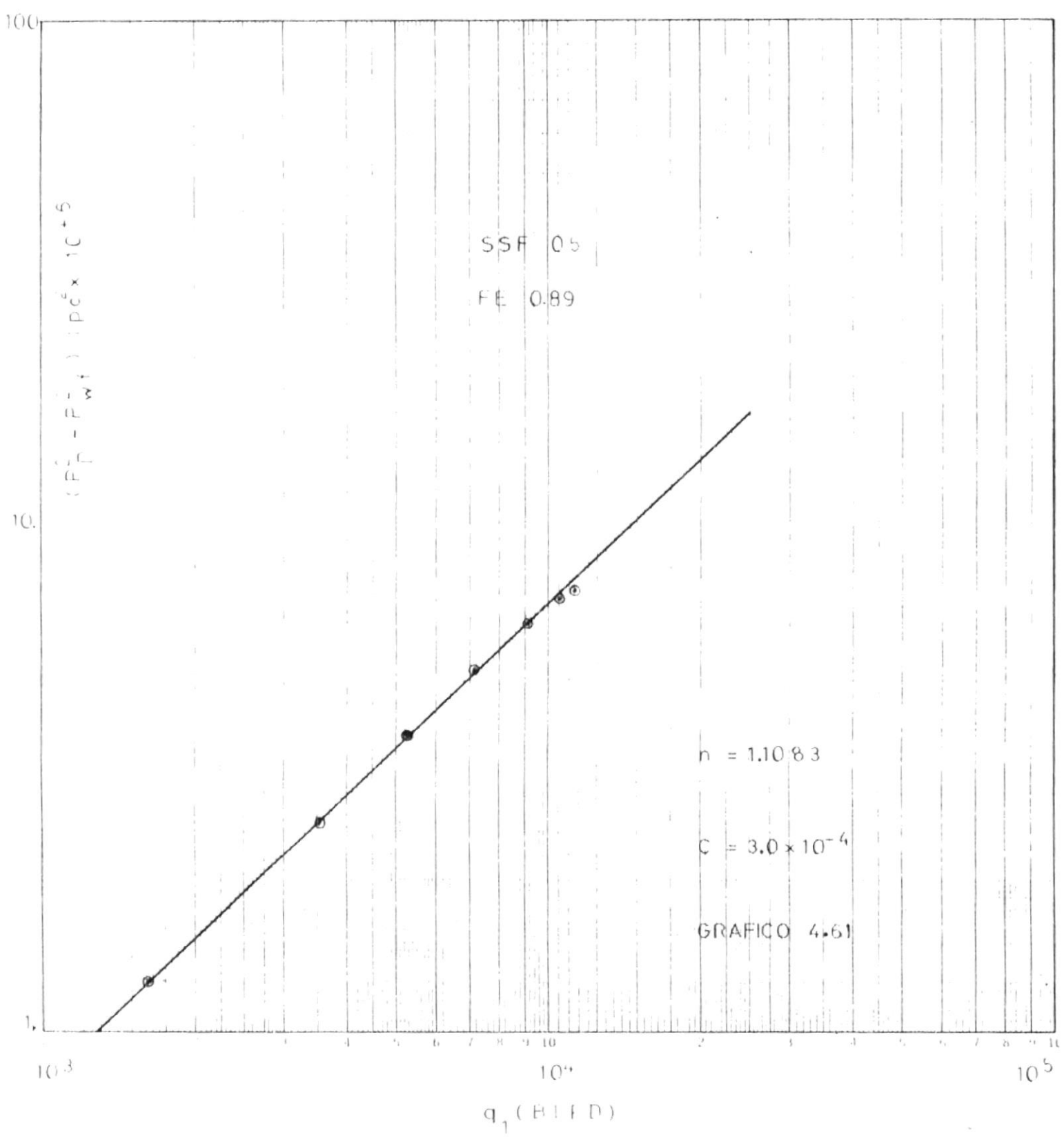
$$c = 0,0003$$

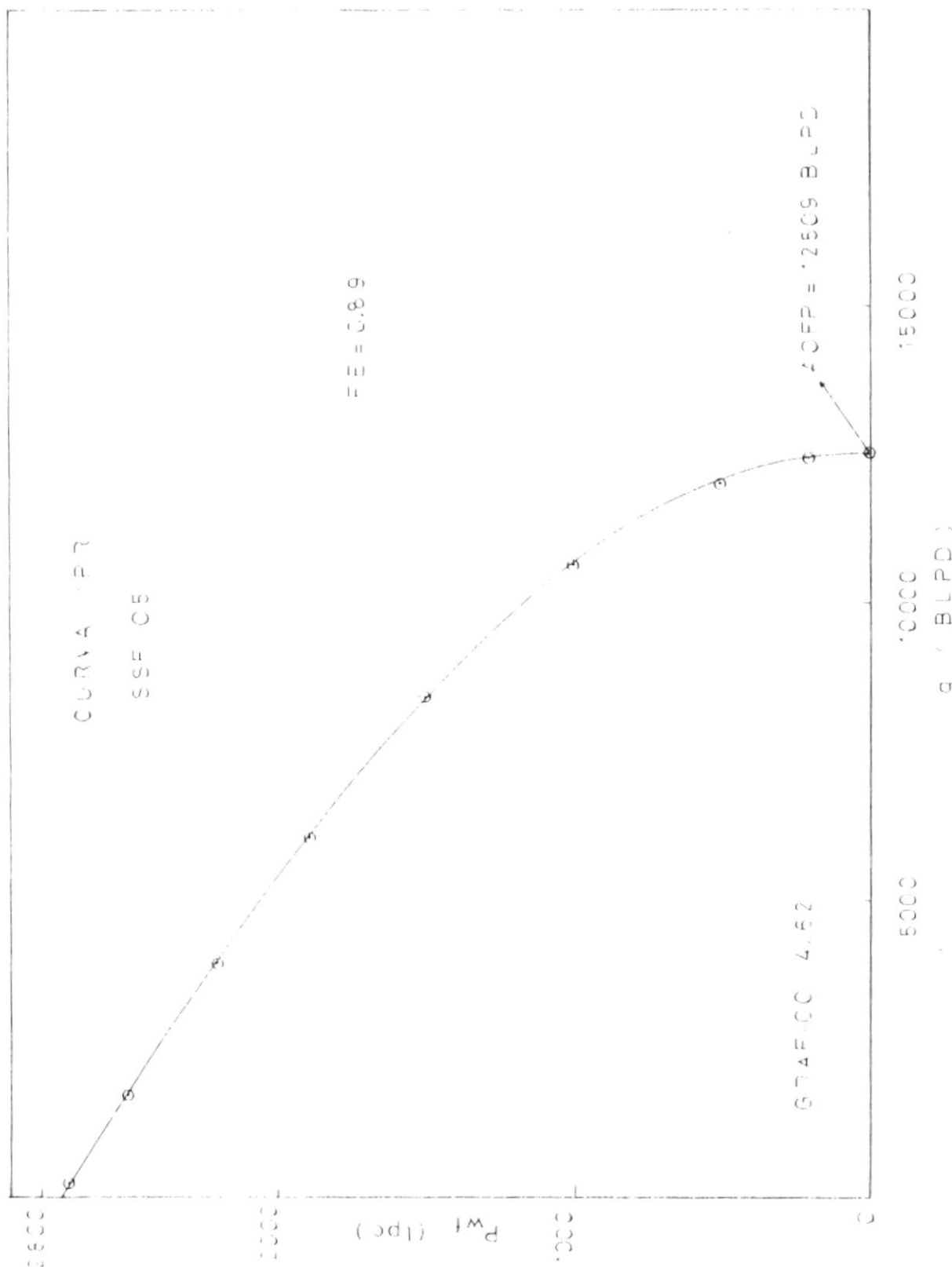
$$AOP = c \left[\tilde{p}_R^2 + 0 \right]^n$$

$$AOP = 12,509 \quad \text{BLPD} \quad (\text{En Gráfico 4,62})$$

VARIABLES UTILIZADAS EN CONSTRUIR CURVAS TPR

P_{WF}	P_{WF}^2	C_2	$P_R^2 + P_{WF}^2$	C_1
$\frac{P_{WF}}{C}$	$\frac{P_{WF}^2}{C}$	$\frac{C_2}{C}$	$\frac{P_R^2}{C} + \frac{P_{WF}^2}{C}$	$\frac{C_1}{C}$
2700	2704	283	0,2200	250
2500	2526	1632	1,2600	1730
2200	2259	3503	2,6700	3278
1900	1991	5192	3,9000	6053
1500	1636	7159	5,2600	8433
1000	1191	9161	6,5100	10681
500	746	10656	7,2600	12053
200	479	11310	7,4700	12440





CAMPO	SAH	Nº POMO	SSP 07
FORMACION	NAPO	AREA	"
FECHA DE PRUEBA	5-IV-79		

RELACION DE COBERTURA Y DE VOLUMEN

$$q = 1698 \text{ --- BJD}$$

$$\bar{p}_R = 3162 \text{ --- lpc}$$

$$Pwf = 2993 \text{ --- lpc}$$

$$FE = 0.44$$

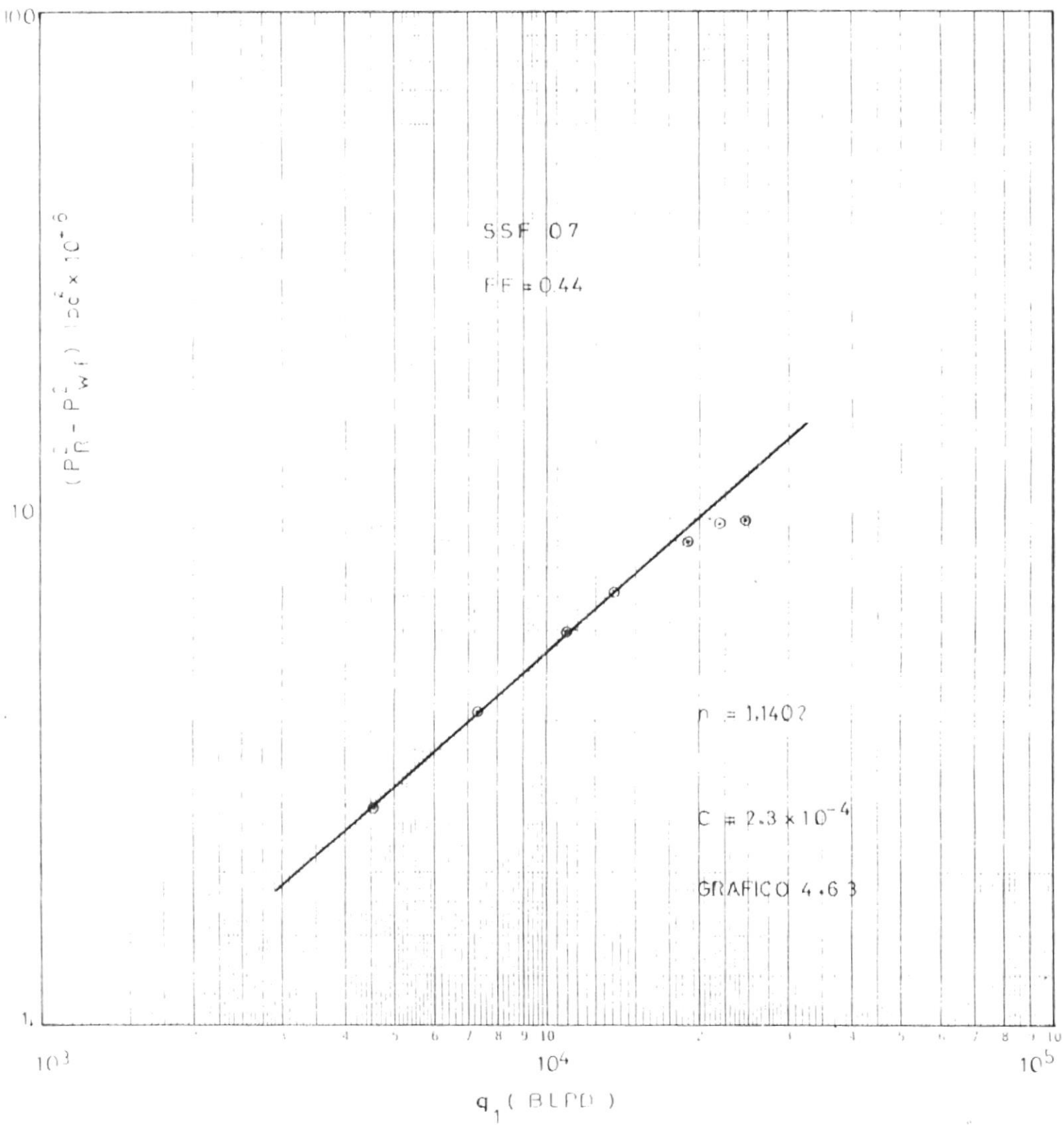
$$q = c \left[\bar{p}_R^2 + Pwf^2 \right] n$$

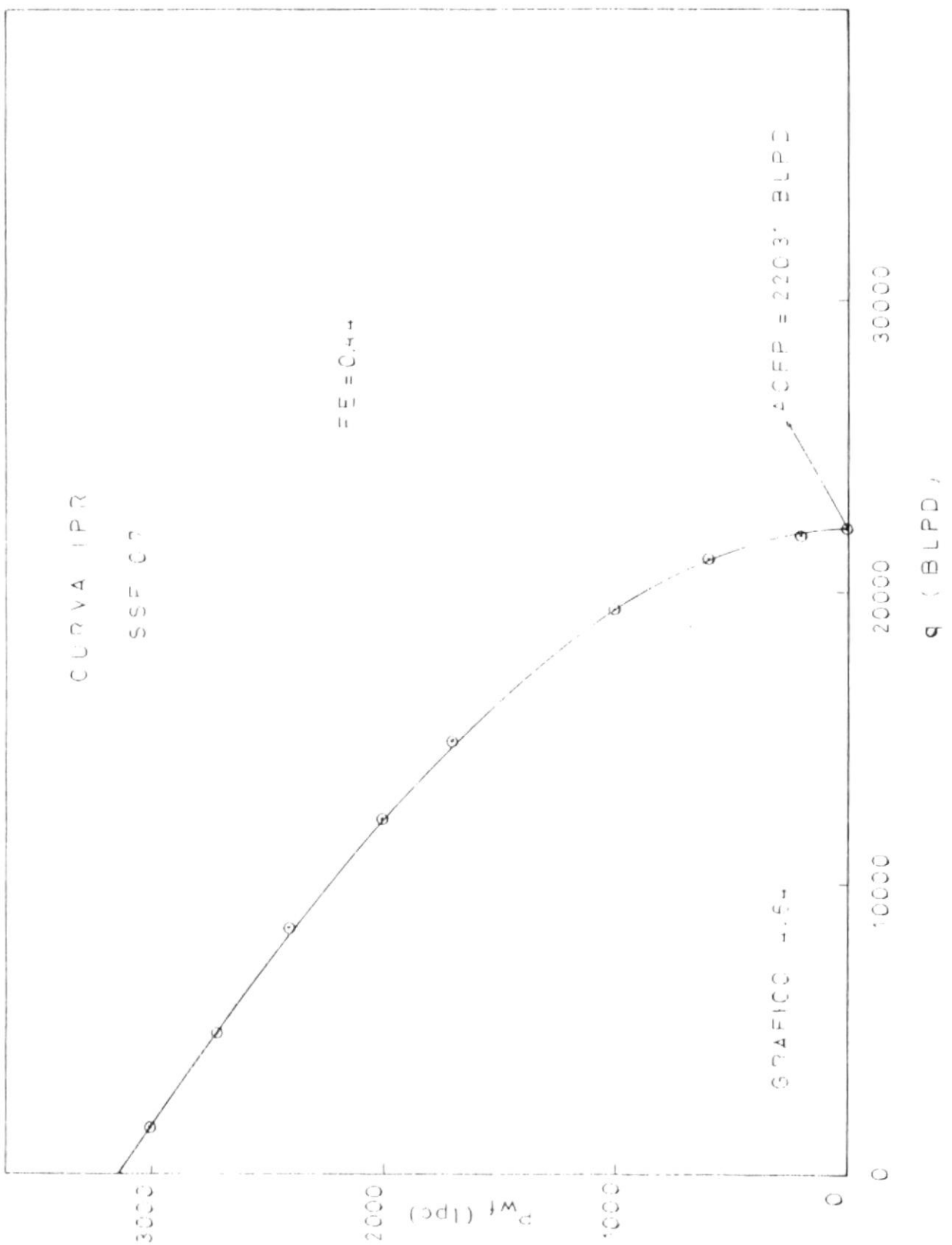
$$n = 1.1402 \text{ --- (Del Grafico 4.63)}$$

$$c = 0.00023$$

$$\Delta OP = c \left[\bar{p}_R^2 + 0 \right] n$$

$$\Delta OP = 22031 \text{ --- BJD} \text{ (En Grafico 4.64)}$$





CANTO	SAH	Nº POZO	SCF 14
FORMACION	NAPO	ARENA	T
FECHA DE PRUEBA	28-VIII-79		

RELACION DE COMPORTAMIENTO DE TITANIO

$$q = -\frac{3624}{BLPD}$$

$$\bar{P}_B = -\frac{2150}{r} \text{ pc}$$

$$Wf = \frac{1960}{\pi} \text{ Ipc}$$

$$FE = -1.32$$

$$q = c \left[\tilde{p}_B^2 + p_{Bf}^2 \right]^{1/2}$$

$n = 0,9508$ (Del Gráfico 4,65)

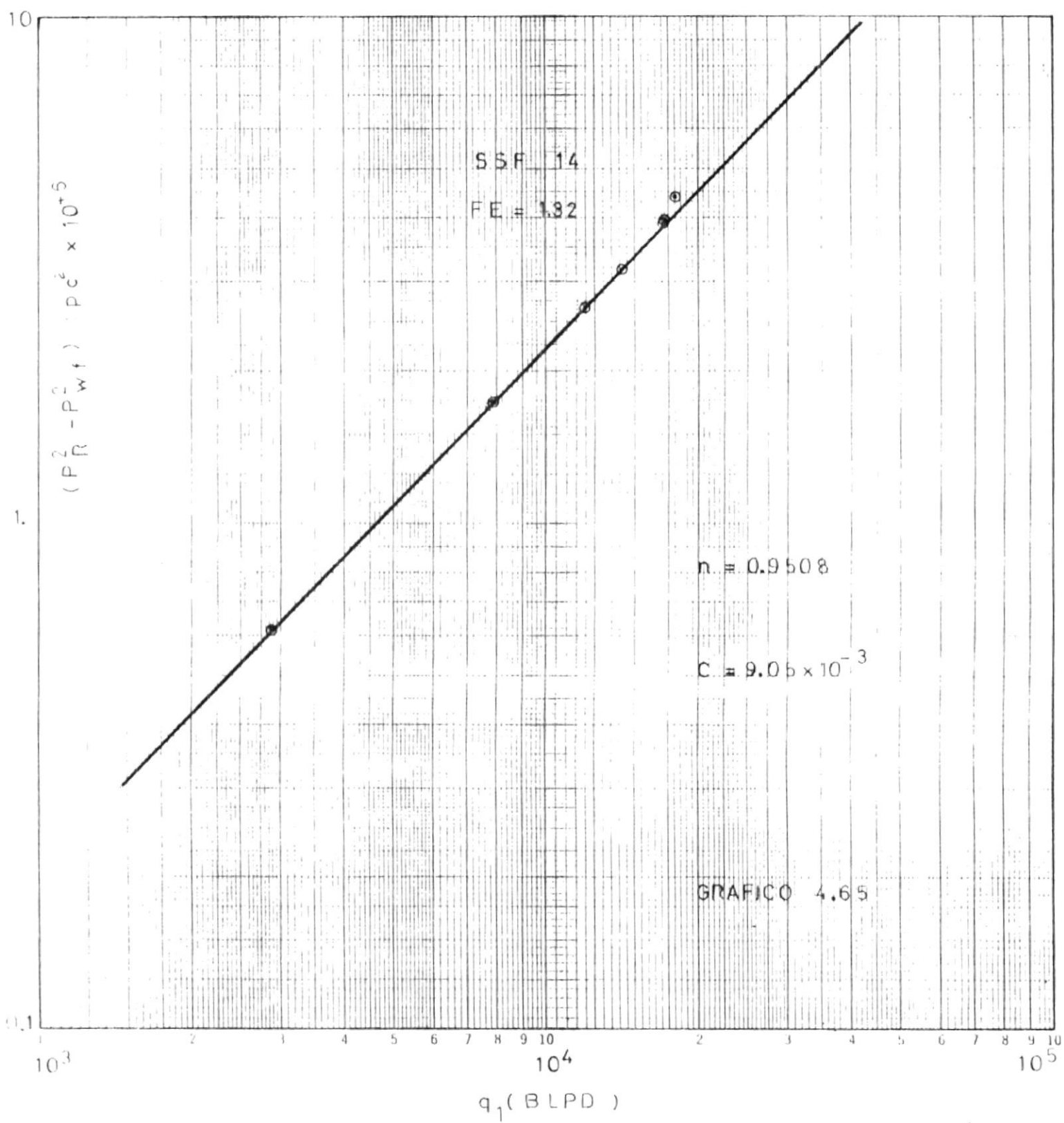
$$c = 0.00905$$

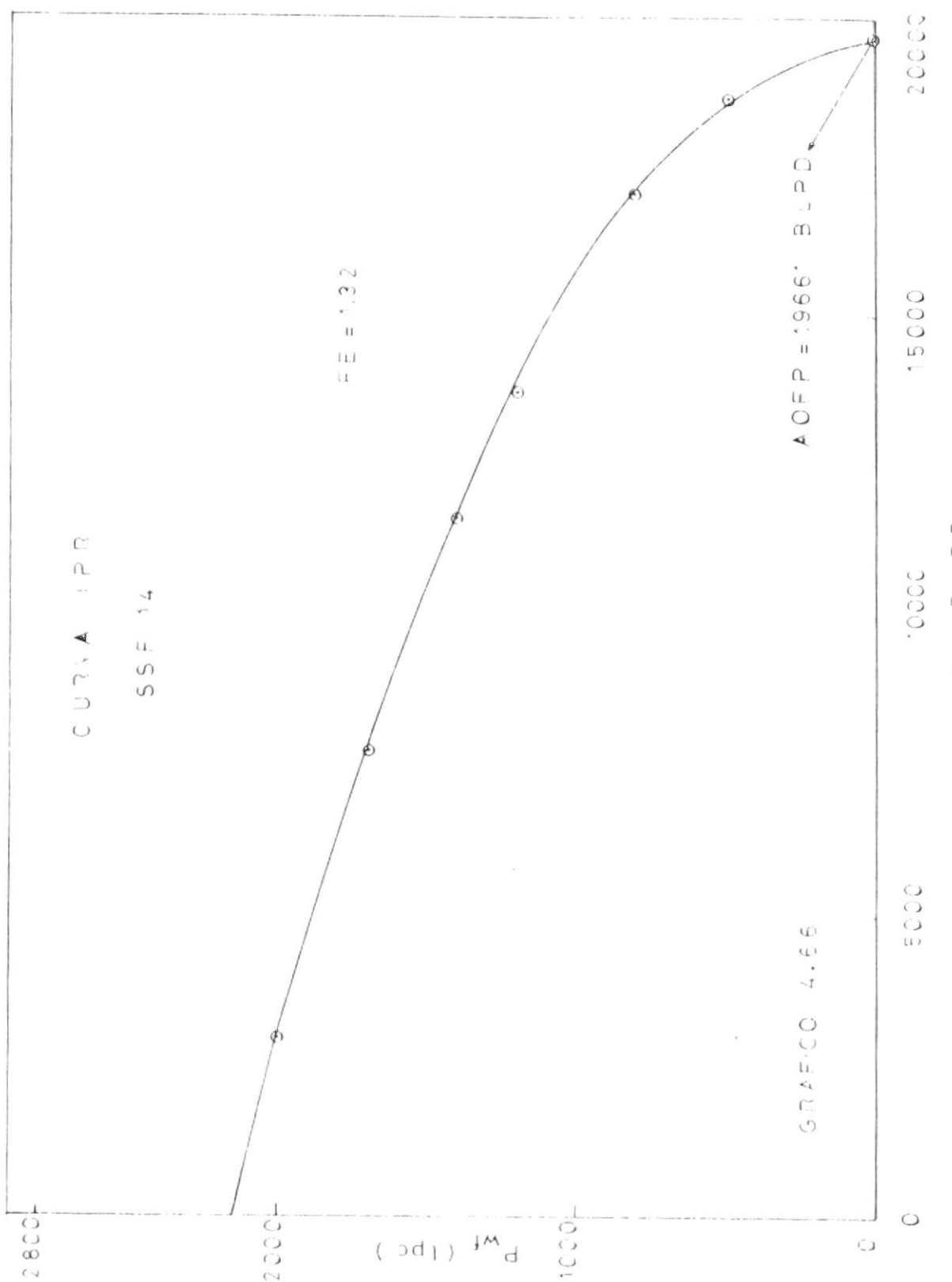
$$\Delta OFP = c \left[\frac{p^2}{R} + O \right] n$$

AOPP = 19661. -- BPD (En Gráfico 4,66)

VALORES UTILIZADOS EN CONSTRUIR CURVAS IPR

P_{WF}	P_{WF} $\frac{P_{WF}}{LPC}$	G_1 $\frac{G_1}{LPC}$	$P_R^2 = \frac{P_{WF}^2}{LPC} + C$	G $\frac{G}{LPC}$
2000	1952	2893	0,6225	2922
1700	1556	7238	1,7325	7734
1400	1160	1193	2,6625	11636
1200	896	14151	3,1825	13787
800	368	17145	3,9825	17064
500	28	18144	4,3725	18649





CAMPO	SAH	Nº 1000	SSP 17
FORMACION	NAD	AREIA	T
FECHA DE PRUEBA	27-X-79		

RELACION DE COMPORTAMIENTO DEL IMPULSO

$$q = 1786 \text{ BPD}$$

$$p_R = 2400 \text{ Lpc}$$

$$\rho_{wf} = 2264 \text{ Lpc}$$

$$FT = 0,42$$

$$q = C \left[\frac{p_R^2}{\rho_{wf}} + \rho_{wf}^2 \right]^{1/2}$$

$$n = 1,1372 \quad (\text{Densidad} = 4,67)$$

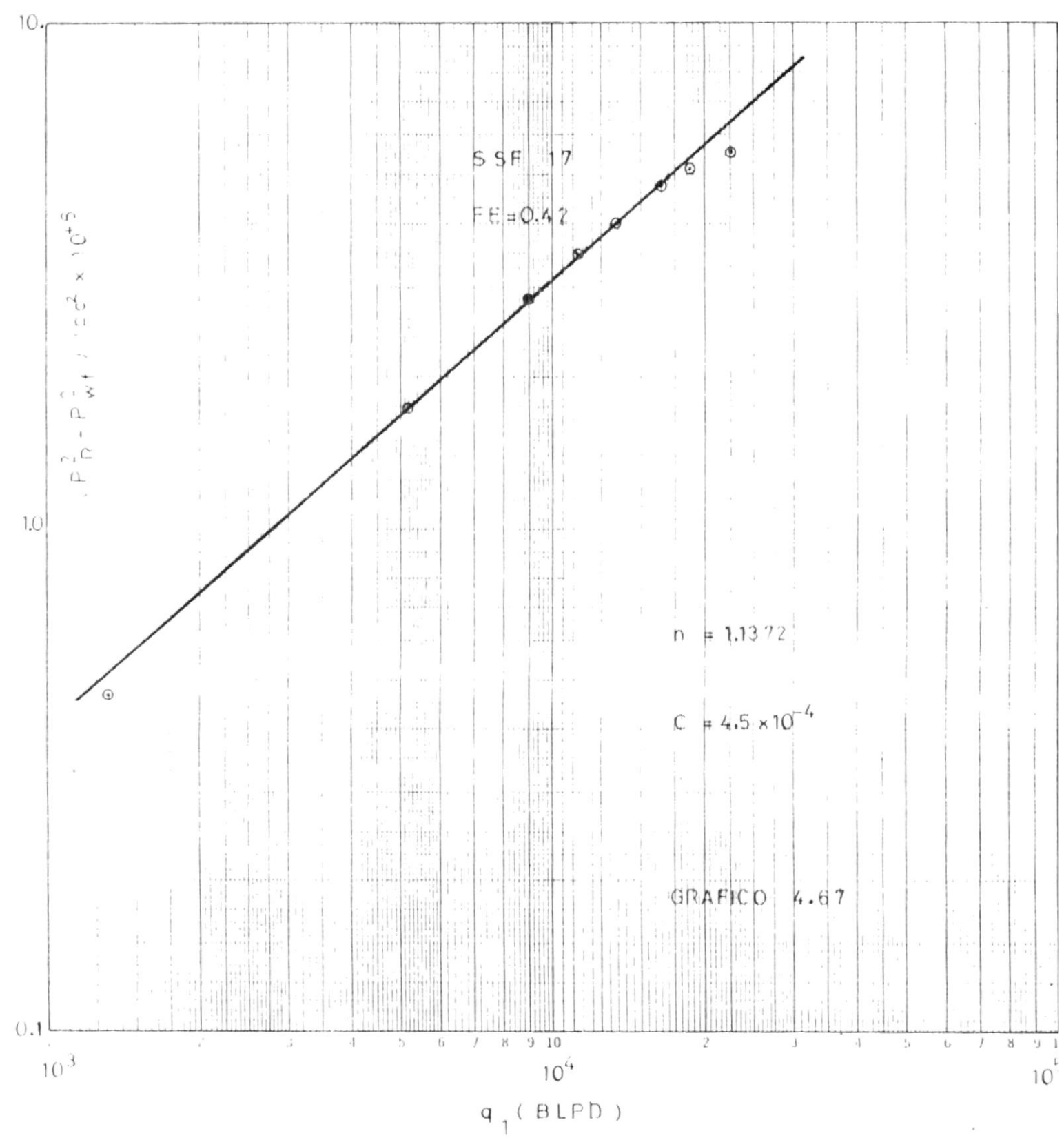
$$C = 0,00045$$

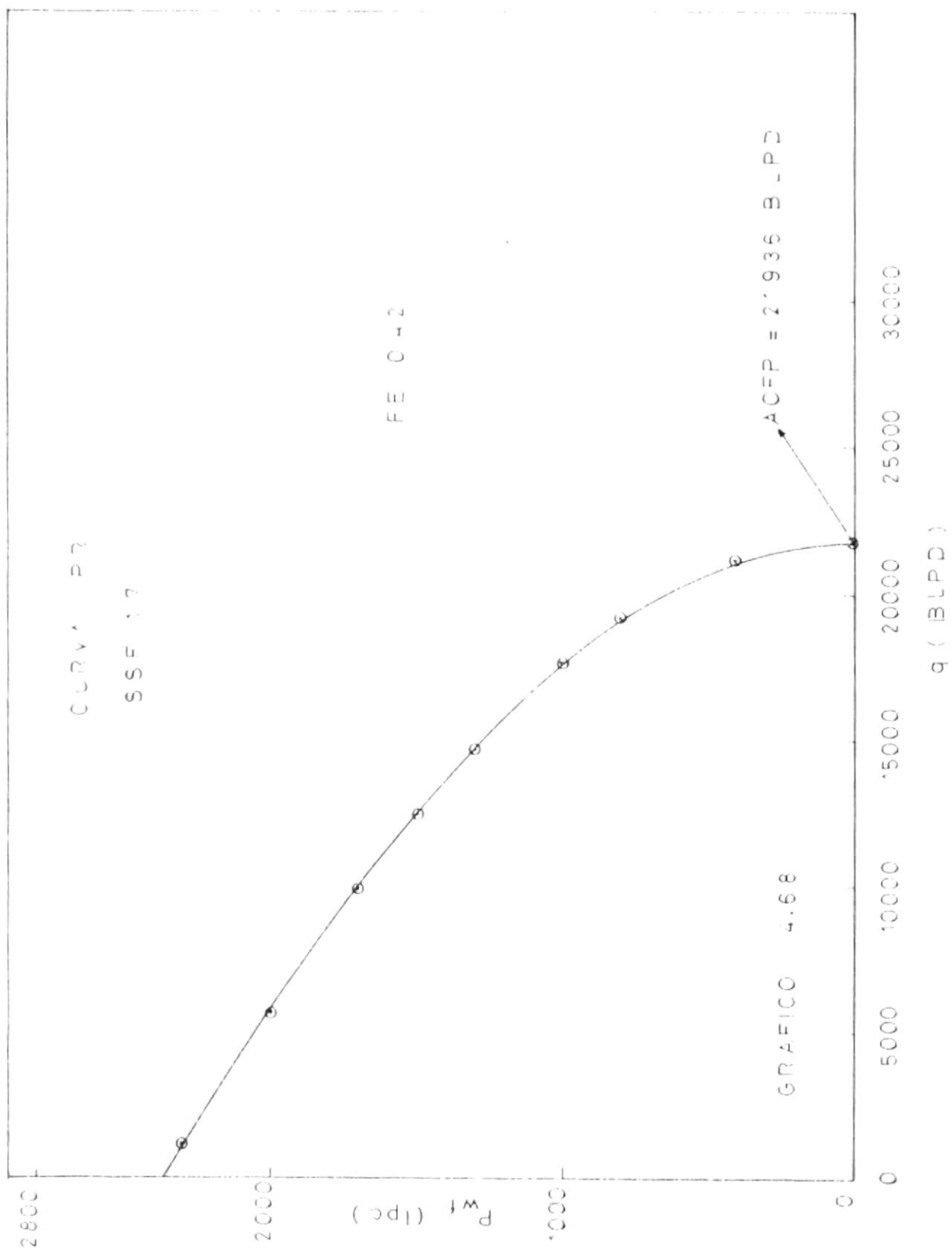
$$AOP = C \left[\frac{p_R^2}{\rho_{wf}} + 0 \right]^{1/2}$$

$$AOP = 21936 \quad (\text{BPD} \quad \text{densidad} = 4,68)$$

VALORES UTILIZADOS EN CONSTRUIR CURVAS IPR

P_{WF}	P_{WF}^2	G_1	$P_R^2 = P_{WF}^2 \cdot$ $\frac{P_R^2}{P_{WF}^2} \times 10^{+6}$	G
$\frac{P_R}{P_{WF}}$	$\frac{P_R^2}{P_{WF}^2}$	$\frac{G_1}{P_R^2}$	$\frac{P_R^2}{P_{WF}^2} \times 10^{+6}$	$\frac{G}{P_R^2}$
2300	2358	1325	0.4700	1269
2000	2232	5168	1.7600	5697
1700	2106	8824	2.8700	9934
1500	2022	11156	3.5100	12483
1300	1938	13408	4.0700	14772
1000	1612	16633	4.7600	17660
800	1728	18677	5.1200	19186
400	1560	22515	5.6000	21245





CAMPO	SAH	Nº POCO	SSE 21
FORMACION	NAPO	ARENA	T
FECHA DE PRUEBA	26-V-80		

RELACION DE COMPORTAMIENTO DEL RUMBO

$$q = \frac{975}{\dot{p}_R^2 + \text{PVf}^2}$$

$$\dot{p}_R = 2620 \text{ Lpc}$$

$$\text{PVf} = 2028 \text{ Lpc}$$

$$\text{FL} = 0,40$$

$$q = c \left[\dot{p}_R^2 + \text{PVf}^2 \right]^{-1}$$

$$n = 1,2541 \quad (\text{Del Griffo} - 4,69)$$

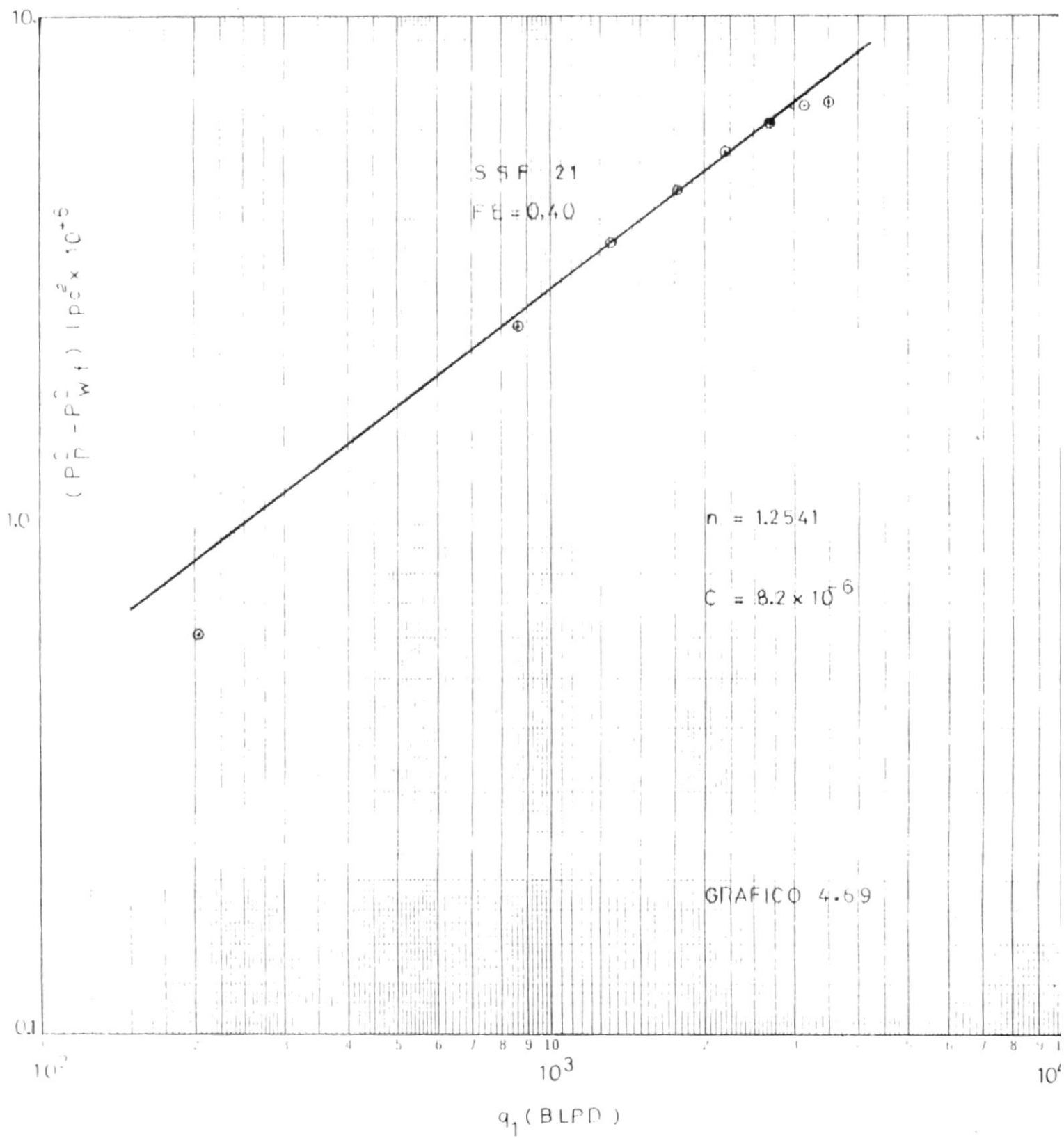
$$c = 8,2 \times 10^{-6}$$

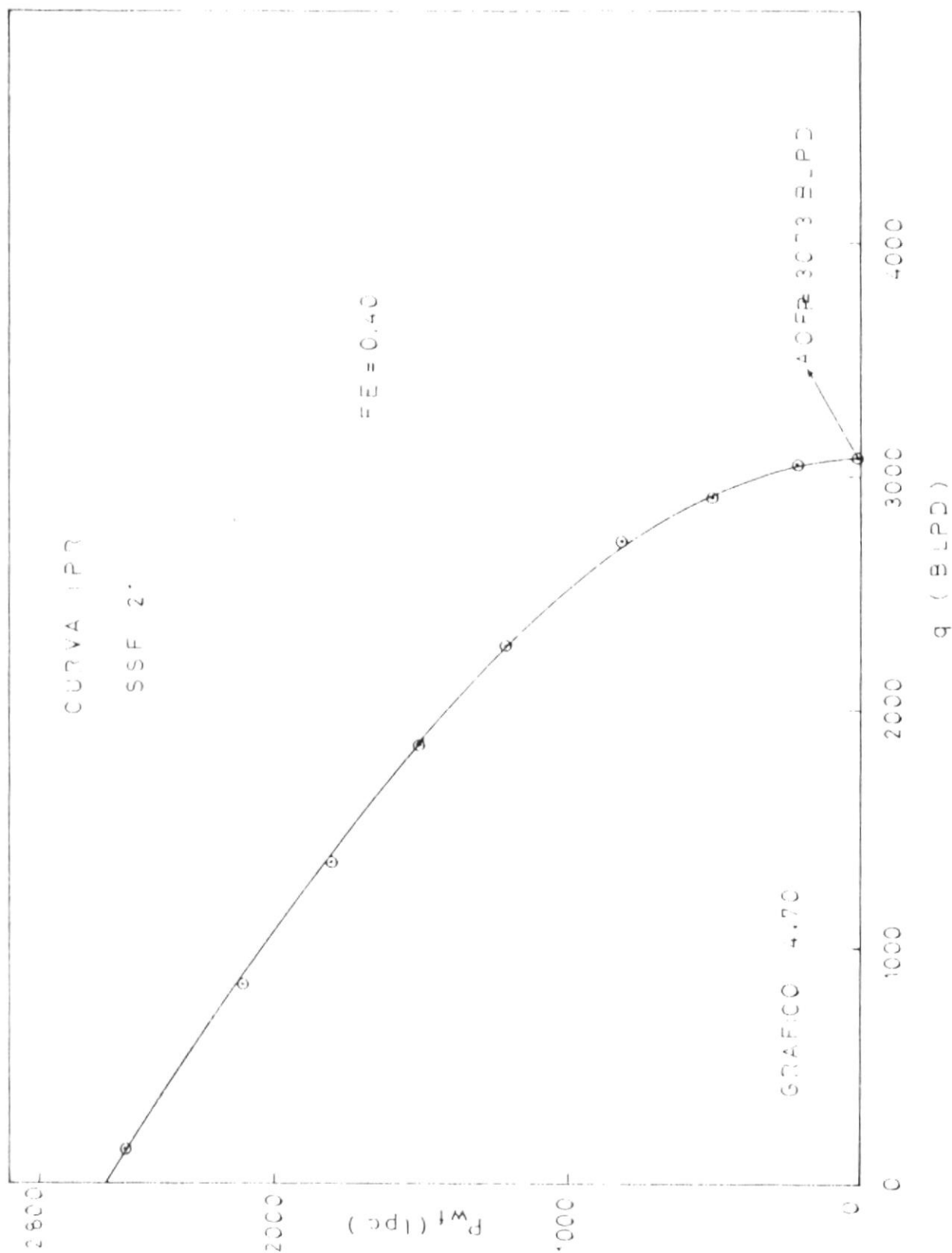
$$\text{AOP} = c \left[\dot{p}_R^2 + 0 \right] n$$

$$\text{AOP} = 8,2 \times 10^{-6} \cdot 3073 \cdot \text{BLD} \cdot \text{FL} \quad (\text{Griffo} - 4,70)$$

VARIATION OF CROWN DIAMETER DUE TO GROWTH

AGE	1000	2000	3000	4000	5000	6000	7000	8000	9000	10000	11000	12000	13000	14000	15000	16000	17000	18000	19000	20000
0	2500	2572	2644	2716	2788	2860	2932	3004	3076	3148	3220	3292	3364	3436	3508	3580	3652	3724	3796	3868
1000	2412	2484	2556	2628	2700	2772	2844	2916	2988	3060	3132	3204	3276	3348	3420	3492	3564	3636	3708	3780
2000	2232	2304	2376	2448	2520	2592	2664	2736	2808	2880	2952	3024	3096	3168	3240	3312	3384	3456	3528	3600
3000	2172	2244	2316	2388	2460	2532	2604	2676	2748	2820	2892	2964	3036	3108	3180	3252	3324	3406	3478	3550
4000	2092	2164	2236	2308	2380	2452	2524	2596	2668	2740	2812	2884	2956	3028	3100	3172	3244	3316	3388	3460
5000	2012	2084	2156	2228	2300	2372	2444	2516	2588	2660	2732	2804	2876	2948	3020	3092	3164	3236	3308	3380
6000	1932	1984	2056	2128	2192	2264	2336	2408	2480	2552	2624	2696	2768	2840	2912	2984	3056	3128	3200	3272
7000	1852	1884	1956	2028	2092	2164	2236	2308	2380	2452	2524	2596	2668	2740	2812	2884	2956	3028	3100	3172
8000	1772	1804	1876	1948	2020	2092	2164	2236	2308	2380	2452	2524	2596	2668	2740	2812	2884	2956	3028	3100
9000	1692	1724	1796	1868	1940	2012	2084	2156	2228	2300	2372	2444	2516	2588	2660	2732	2804	2876	2948	3020
10000	1612	1644	1716	1788	1860	1932	2004	2076	2148	2220	2292	2364	2436	2508	2580	2652	2724	2796	2868	2940
11000	1532	1564	1636	1708	1780	1852	1924	1996	2068	2140	2212	2284	2356	2428	2500	2572	2644	2716	2788	2860
12000	1452	1484	1556	1628	1700	1772	1844	1916	1988	2060	2132	2204	2276	2348	2420	2492	2564	2636	2708	2780
13000	1372	1404	1476	1548	1620	1692	1764	1836	1908	1980	2052	2124	2196	2268	2340	2412	2484	2556	2628	2700
14000	1292	1324	1396	1468	1540	1612	1684	1756	1828	1900	1972	2044	2116	2188	2260	2332	2404	2476	2548	2620
15000	1212	1244	1316	1388	1460	1532	1604	1676	1748	1820	1892	1964	2036	2108	2180	2252	2324	2396	2468	2540
16000	1132	1164	1236	1308	1380	1452	1524	1596	1668	1740	1812	1884	1956	2028	2100	2172	2244	2316	2388	2460
17000	1052	1084	1156	1228	1300	1372	1444	1516	1588	1660	1732	1804	1876	1948	2020	2092	2164	2236	2308	2380
18000	972	1004	1076	1148	1220	1292	1364	1436	1508	1580	1652	1724	1796	1868	1940	2012	2084	2156	2228	2300
19000	892	924	996	1068	1140	1212	1284	1356	1428	1500	1572	1644	1716	1788	1860	1932	2004	2076	2148	2220
20000	812	844	916	988	1060	1132	1204	1276	1348	1420	1492	1564	1636	1708	1780	1852	1924	1996	2068	2140





CAMPO = SAI = N° POZO = SSP 23
 FORMACION = NAPO = AREA = T
 FECHA DE PRUEBA = 10-VII-78

RELACION DE COMPORTAMIENTO DEL METILIO

$$q = 1116 \text{ (MLP)}$$

$$\bar{P}_R = 2730 \text{ Lpc}$$

$$Pwf = 1595 \text{ Lpc}$$

$$FE = 0.17$$

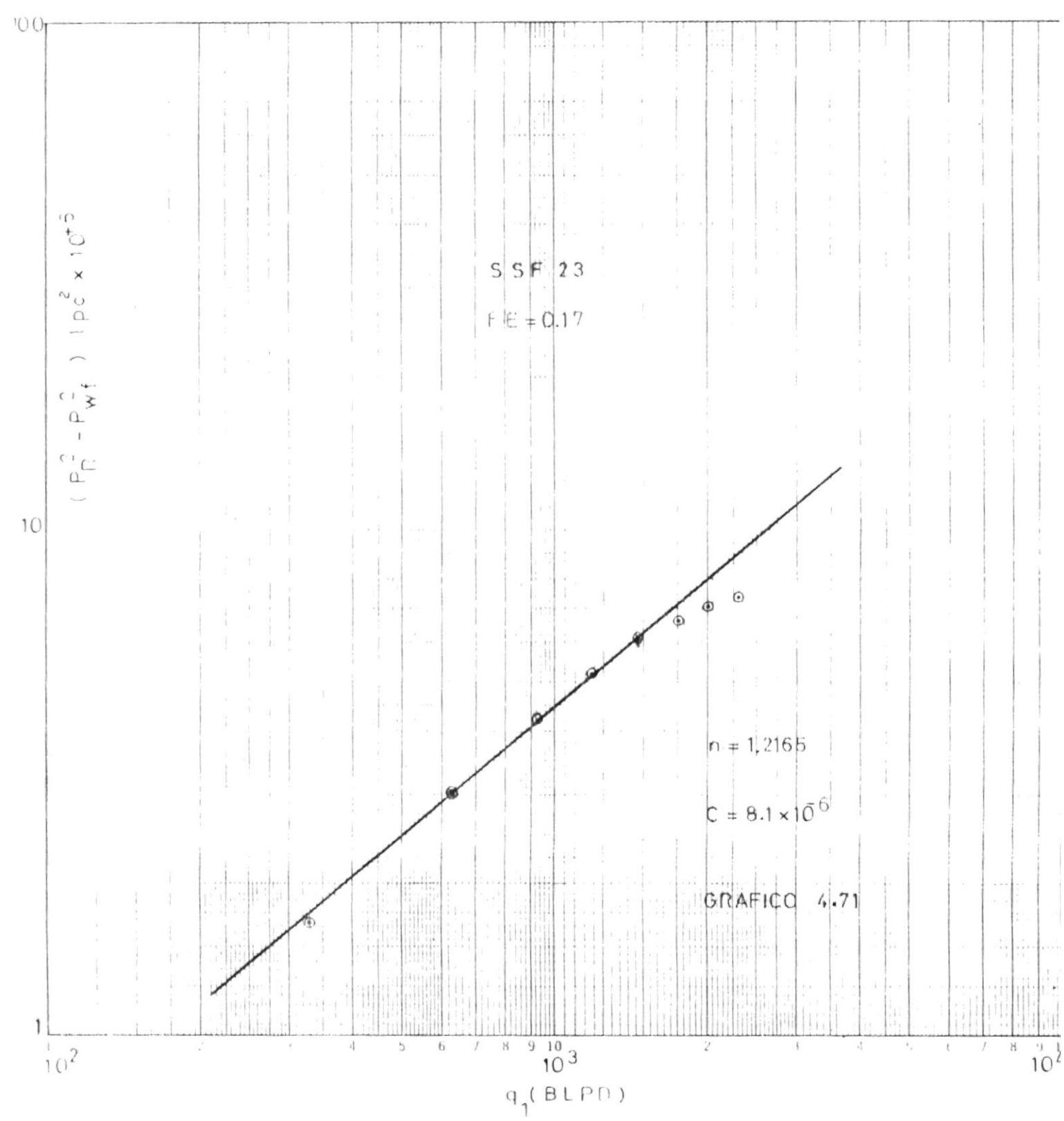
$$q = c \left[\frac{\bar{P}_R^2}{c} + Pwf^2 \right]^n$$

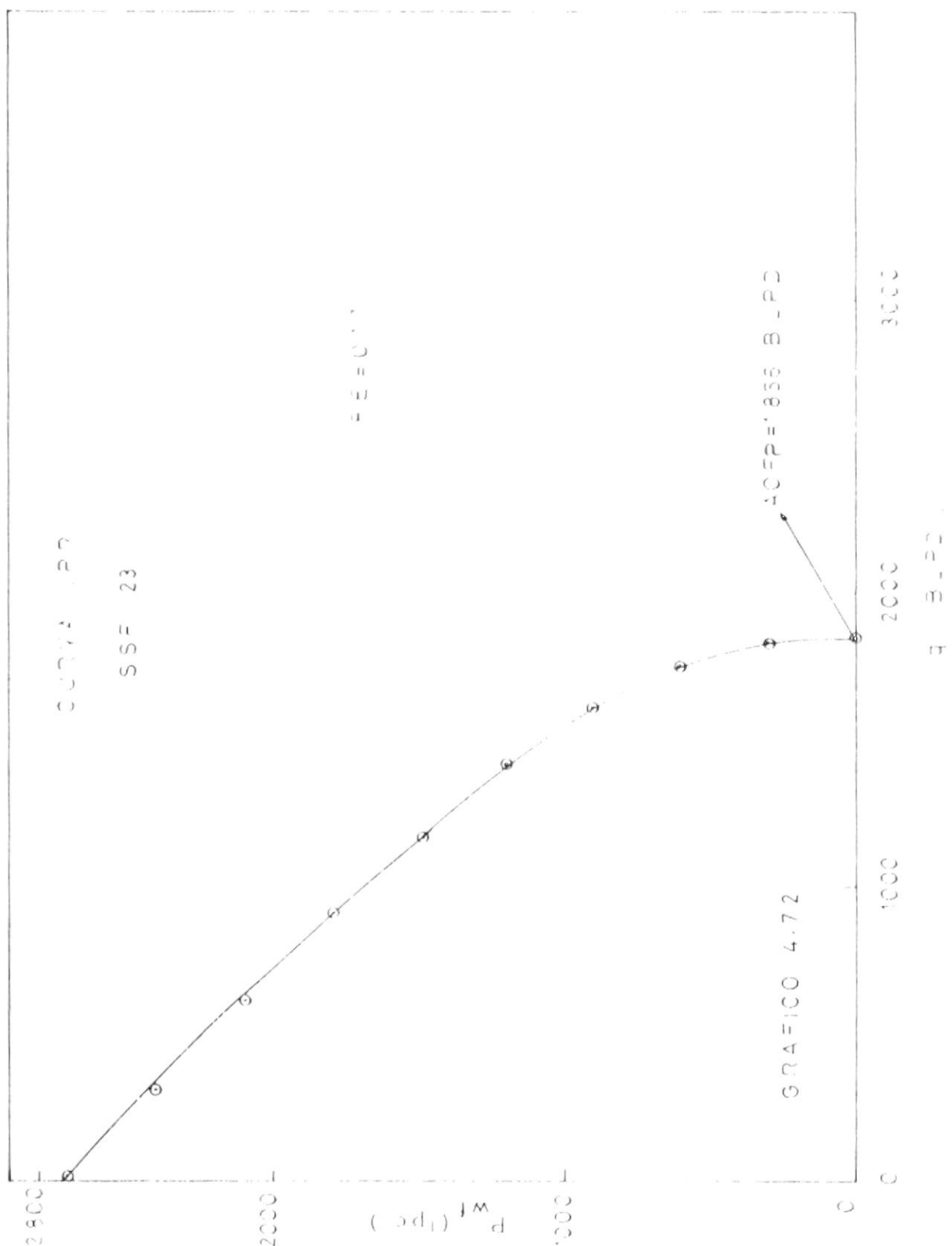
$$n = 1.2165 \quad (\text{Del Gráfico - 4.71})$$

$$c = 8.1 \times 10^{-6}$$

$$\Delta OP = c \left[\frac{P_R^2}{c} - 0 \right]^n$$

$$\Delta OP = 1856 \text{ (MLP) (Del Gráfico - 4.72)}$$





CAMPO
SAH
Nº 1070
SSP 27
FORMACION
NAPO
AREA
T
FECHA DE PINTA 1-V-80

RELACIONES FORMACIONES FUSION

$$q = \frac{v}{r} = 3602 \text{ MPP}$$

$$p_R = \frac{v^2}{r} = 2780 \text{ pc}$$

$$p_{rf} = \frac{v^2}{r} = 2402 \text{ pc}$$

$$E = \frac{1}{2} m v^2 = 0.39$$

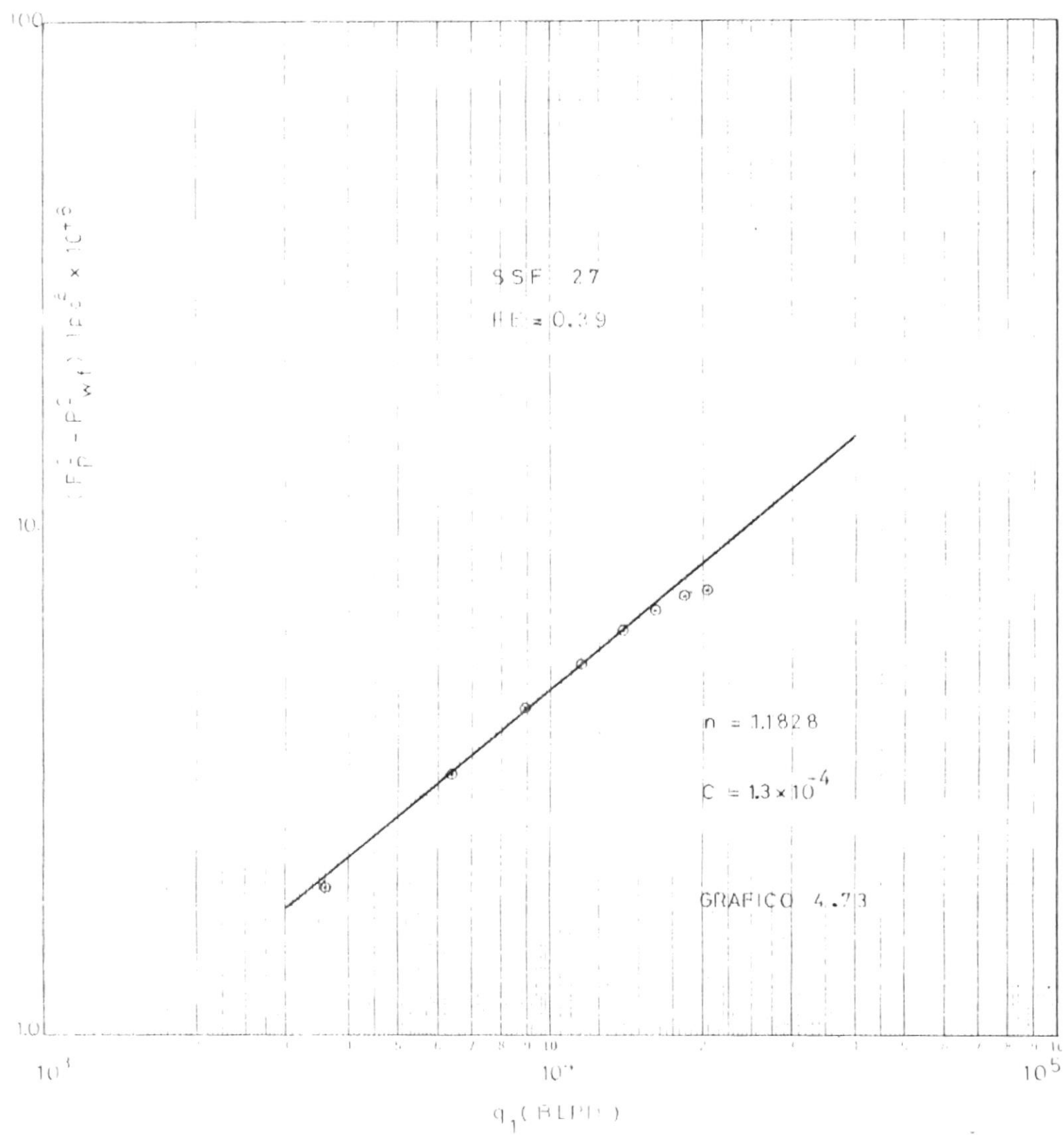
$$q = \frac{v}{r} = c \left[\left(\frac{v}{p} \right)^2 + \left(\frac{p}{m} \right)^2 \right]^{1/2}$$

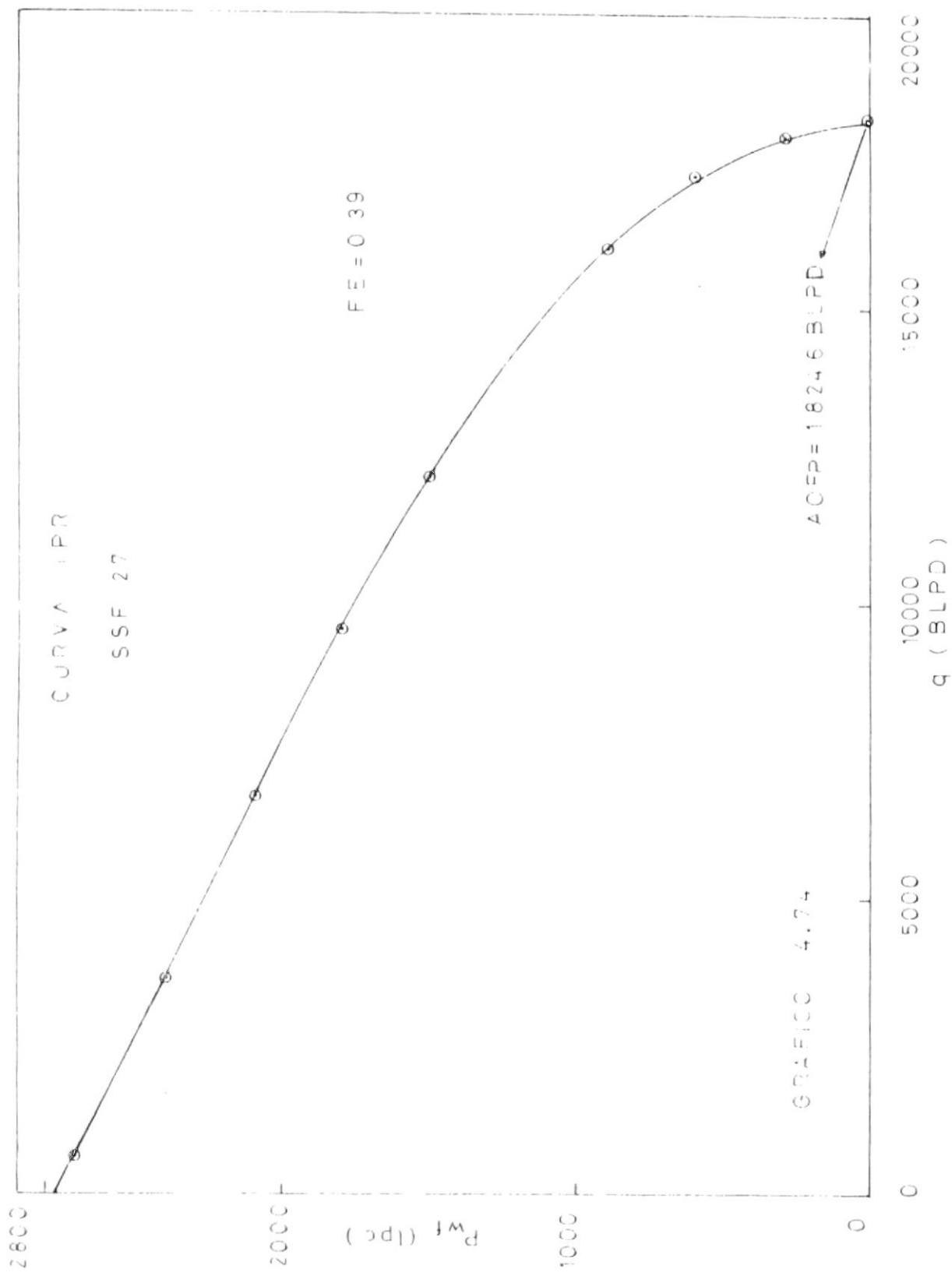
$$n = \pm \sqrt{1.1828} = \pm (\text{Diel. Cte.} \times \text{co} - 4.73) =$$

$$c = \pm 0.00014$$

$$M(T) = c \left[\left(\frac{v}{p} \right)^2 + G \right]^{1/2}$$

$$M(T) = \pm 13.46 = \pm \text{MPP} \times (\text{Diel. Cte.} \times \text{co} - 4.74)$$





CAMPO	GAL	IP-PD70	CSP-2B
FORMACION	NAPO	ATENA	W
FECIA DE PINTURA	8-V-80		

RELACION DEL OPERATOREMTO DE FALLO

$$q = 3420 \text{ BLPD}$$

$$\bar{p}_R = 2850 \text{ Lpc}$$

$$Pwf = 1531 \text{ Lpc}$$

$$PE = 0.30$$

$$q = c \left[\bar{p}_R^2 + Pwf^2 \right]^n$$

$$n = 1.1845 \text{ (Del Gráfico 4.75)}$$

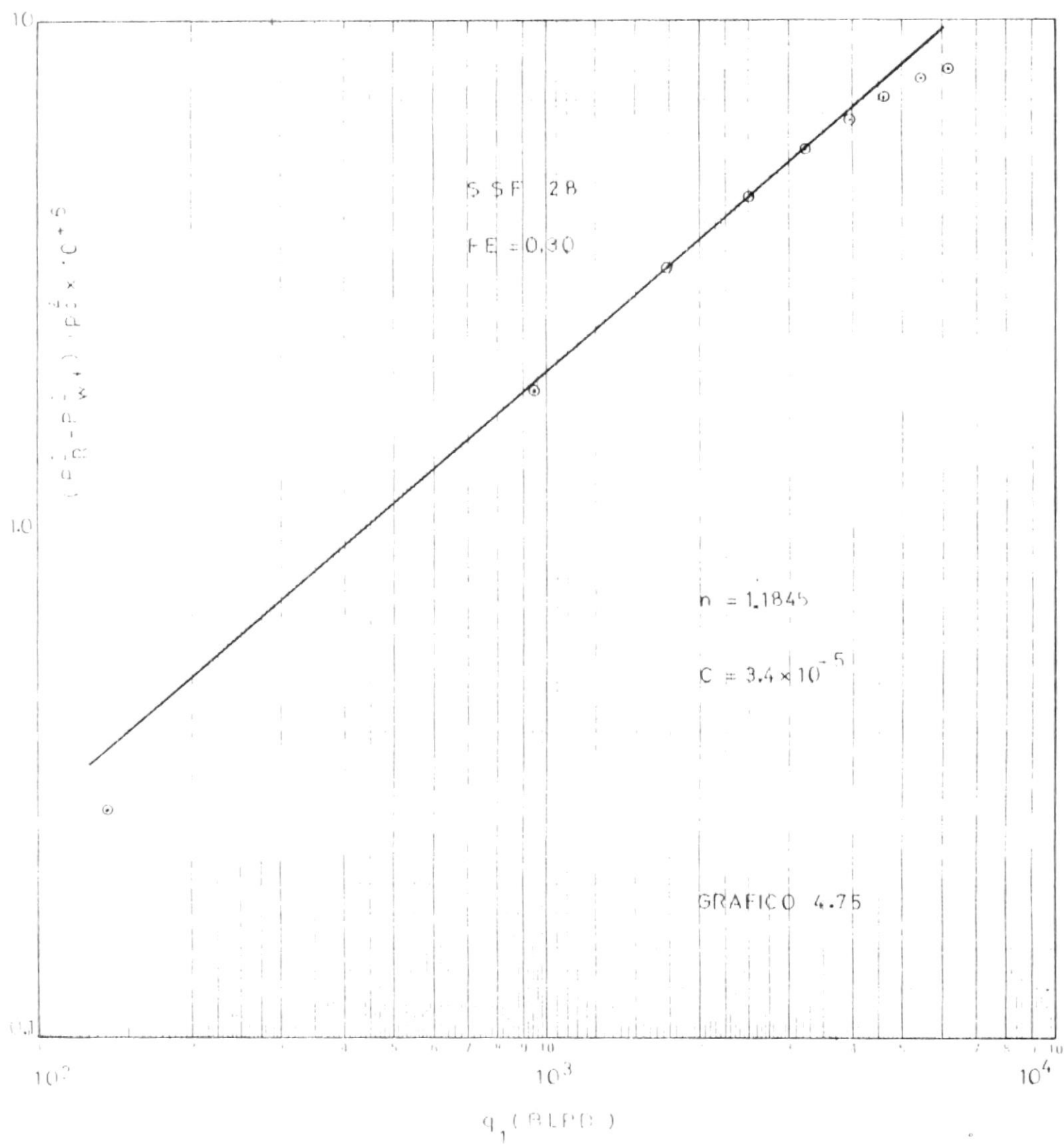
$$c = 0.000034$$

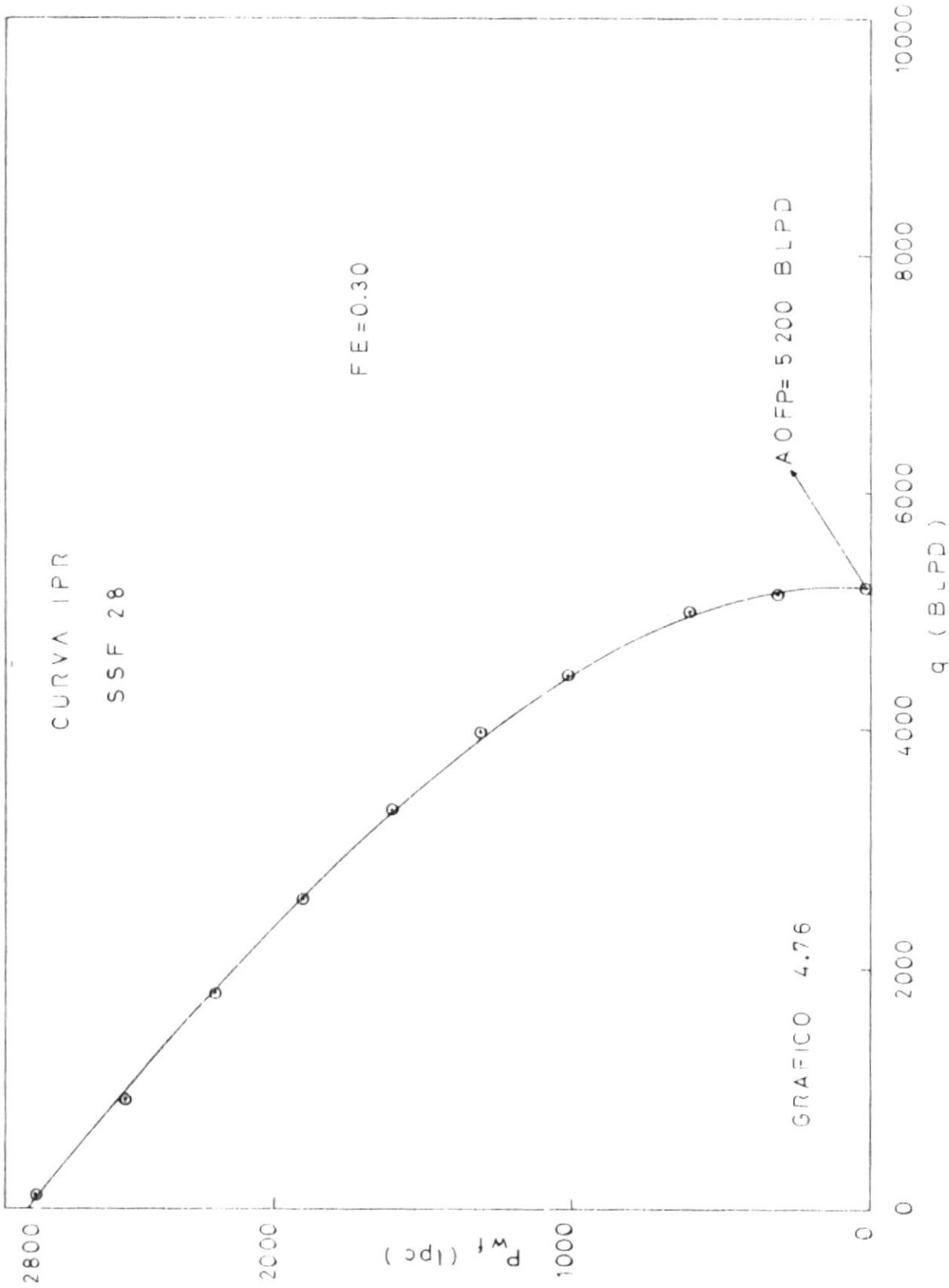
$$AOFP = c \left[\bar{p}_R^2 + 0 \right]^n$$

$$AOFP = 5200 \text{ BLPD (En Gráfico 4.76)}$$

VALORES UTILIZADOS EN CONSTRUIR CURVAS TPR

P_{wf}	P_{wf} LPC	Q_1 LPC	$P_R^2 = \frac{P_{wf}^2}{LPC^2} \times 10^{46}$	Q LPC
2800	2835	138	0.2825	97
2500	2745	952	1.8725	897
2200	2655	1740	3.2825	1778
1900	2565	2506	4.5125	2592
1600	2475	3250	5.5625	3321
1300	2385	3969	6.4325	3945
1000	2295	4664	7.1225	4451
600	2175	5559	7.7625	4928
300	2085	6200	8.0325	5132





CAMPO	SAL	Nº POZO	SSF 29
FORMACION	NAPO	AREIA	m
FECHA DE PRUEBA	10-VIII-80		

RELACION DE COMPORTAMIENTO DEL MUELLE

$$q = \frac{4184}{BLPD}$$

$$\bar{p}_R = 2140 \text{ Lpc}$$

$$rwf = 1655 \text{ Lpc}$$

$$FE = 0,33$$

$$q = c \left[\bar{p}_R^2 + p_{wf}^2 \right]^n$$

$$n = 1,23075 \quad (\text{Del Gráfico 4.77})$$

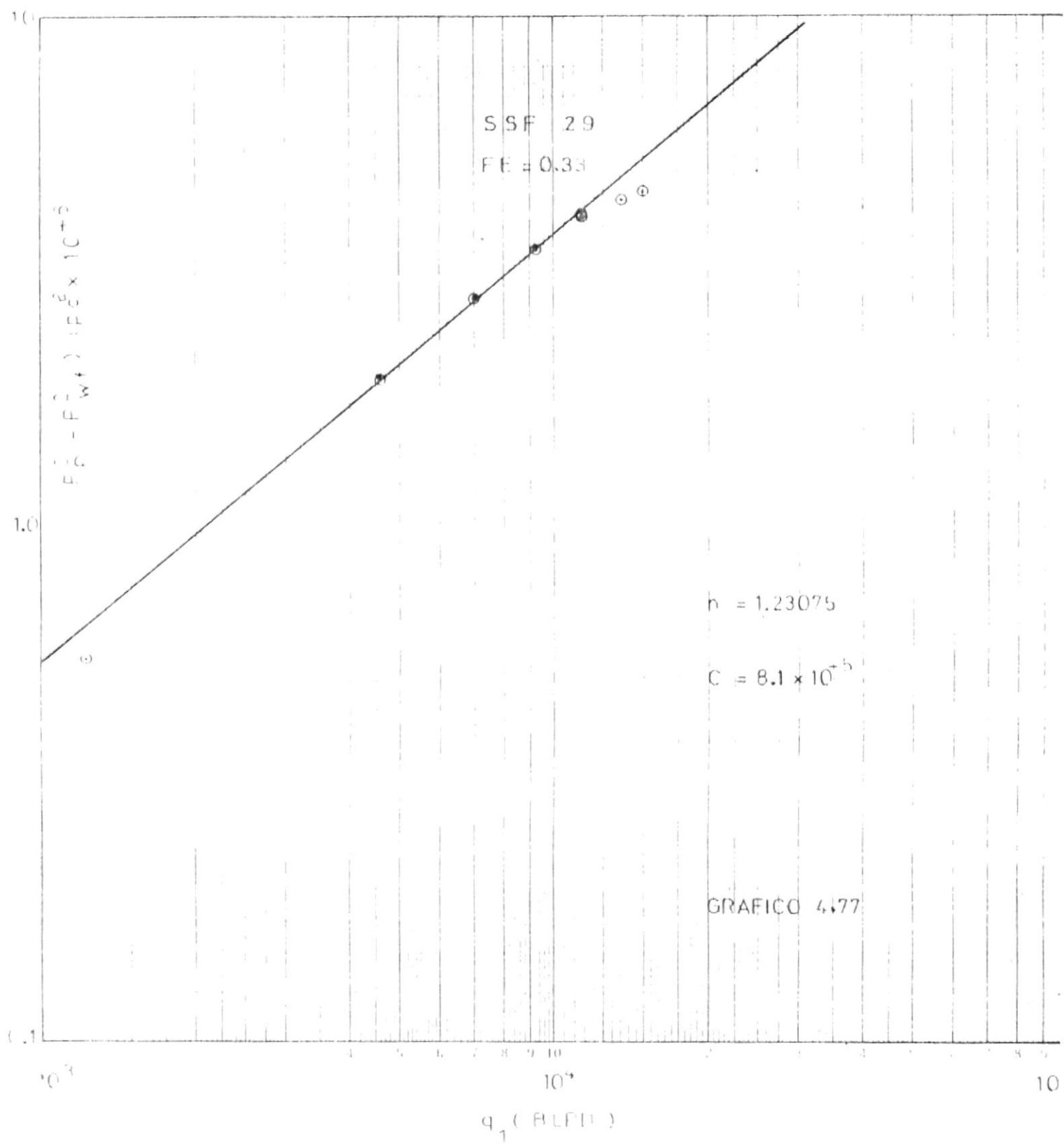
$$c = 8,1 \times 10^{-5}$$

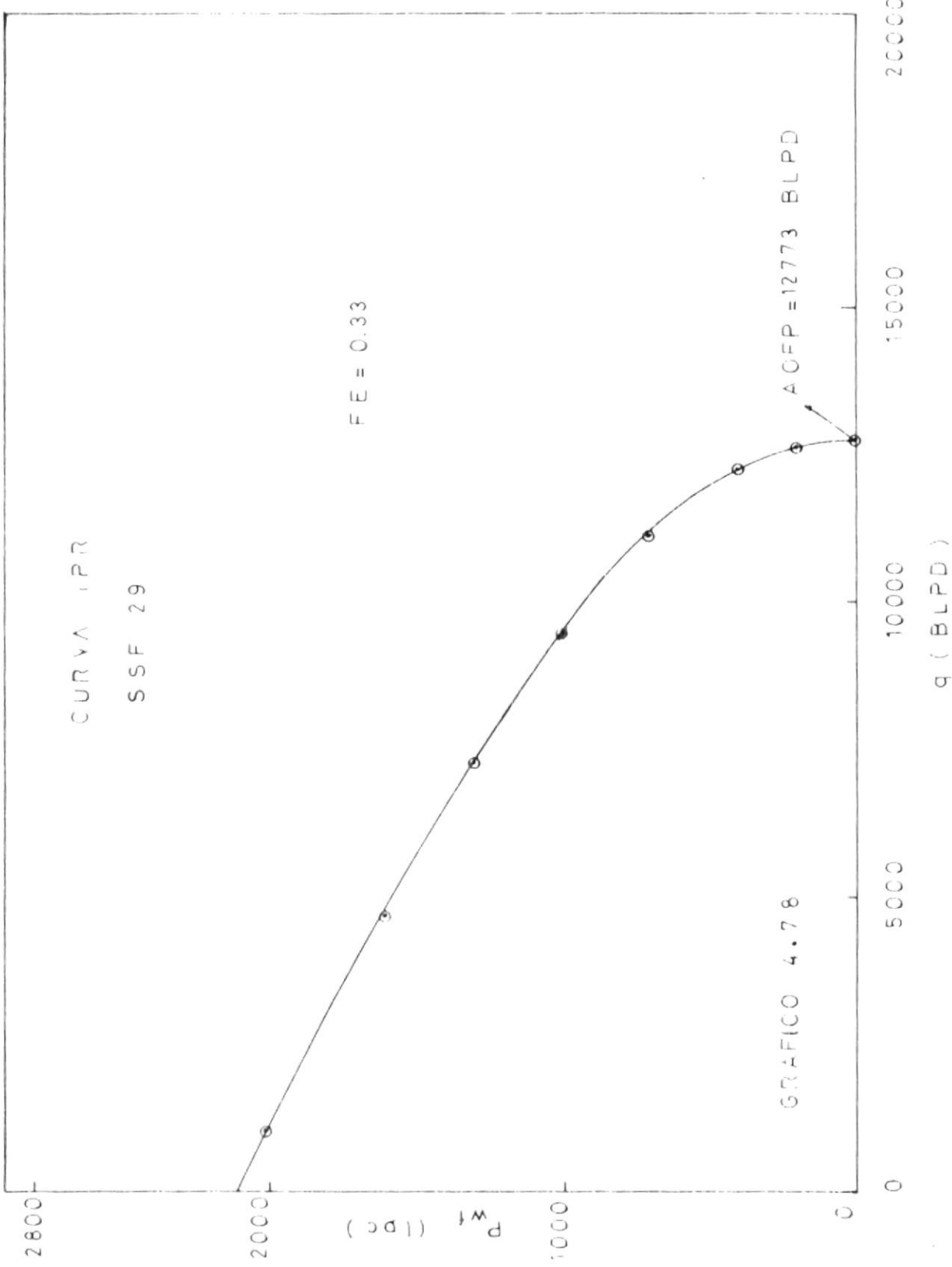
$$\Delta OFP = c \left[\bar{p}_p^2 + 0 \right]^n$$

$$\Delta OFP = 12773 \text{ BLPD} \quad (\text{En Gráfico 4.78})$$

VALORES UTILIZADOS EN CONSTRUIR CURVAS IPR

P_{WF}	$\frac{P_{WF}}{P_{DC}}$	$\frac{Q_1}{B_{LPD}}$	$\frac{P_R^2 - P_{WF}^2}{P_{DC}^2} \times 10^{-6}$	$\frac{Q_2}{B_{LPD}}$
2000	2.094	1237	0.5796	1003
1600	1.962	14631	2.0196	4663
1300	1.863	7057	2.8896	7247
1000	1.764	9367	3.5796	9432
700	1.665	11572	4.0896	11112
400	1.566	13664	4.4196	12226
200	1500	15001	4.5396	12636





CAMPO SAN N° POZO SSP 35
 FORMACION NAPO ARENA T
 FECHA DE PRUEBA 25-VIII-79

RELACION DE COMPORTAMIENTO DEL TITANIO

$$q = 1544 \text{ BIPI}$$

$$\bar{p}_R = 2669 \text{ Ipc}$$

$$Pwf = 2088 \text{ Ipc}$$

$$FE = 0.46$$

$$q = c \left[\bar{p}_R^2 + Pwf^2 \right]^n$$

$$n = 1.1363 \quad (\text{Del Gráfico 4.79})$$

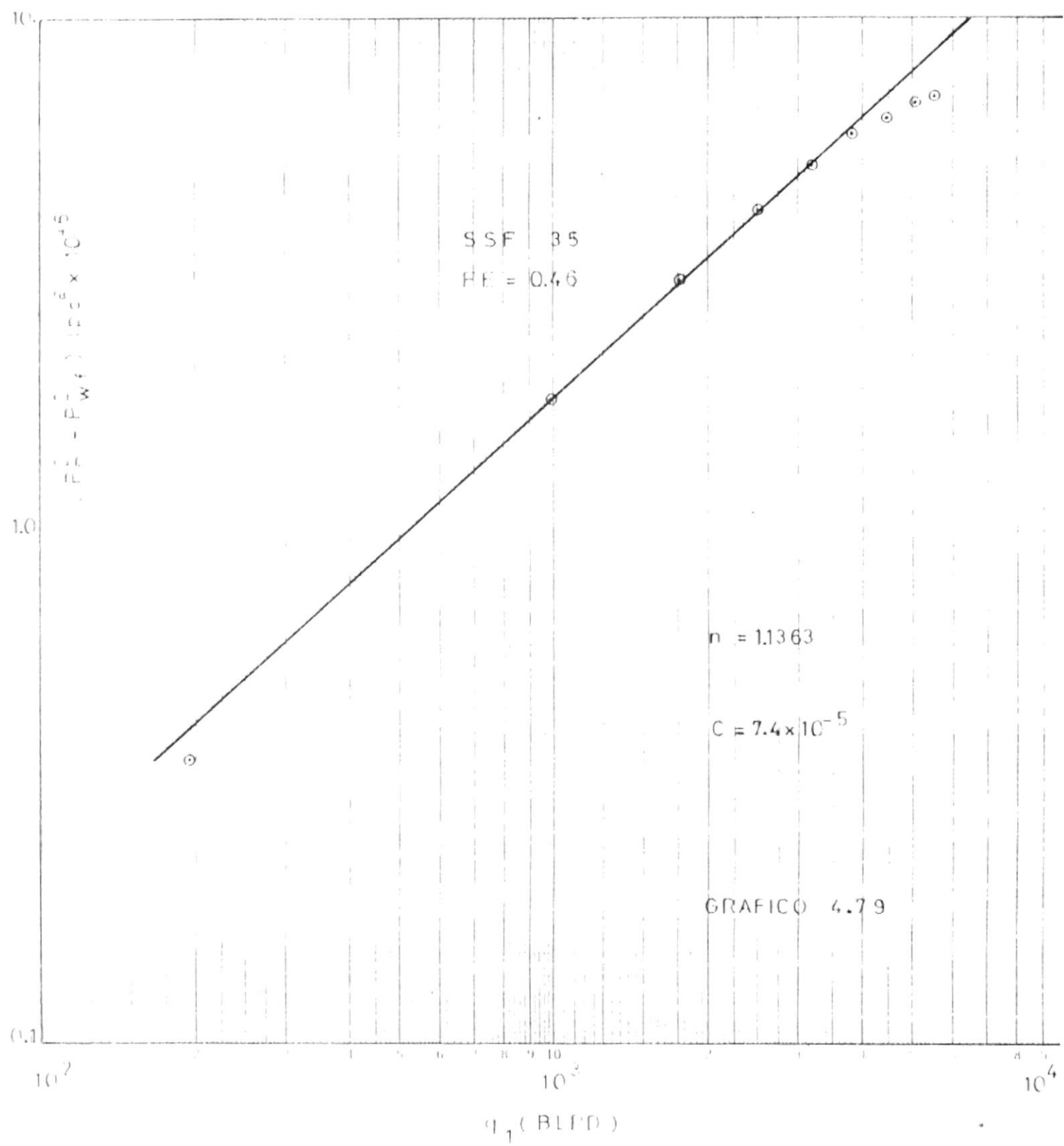
$$c = 7.4 \times 10^{-5}$$

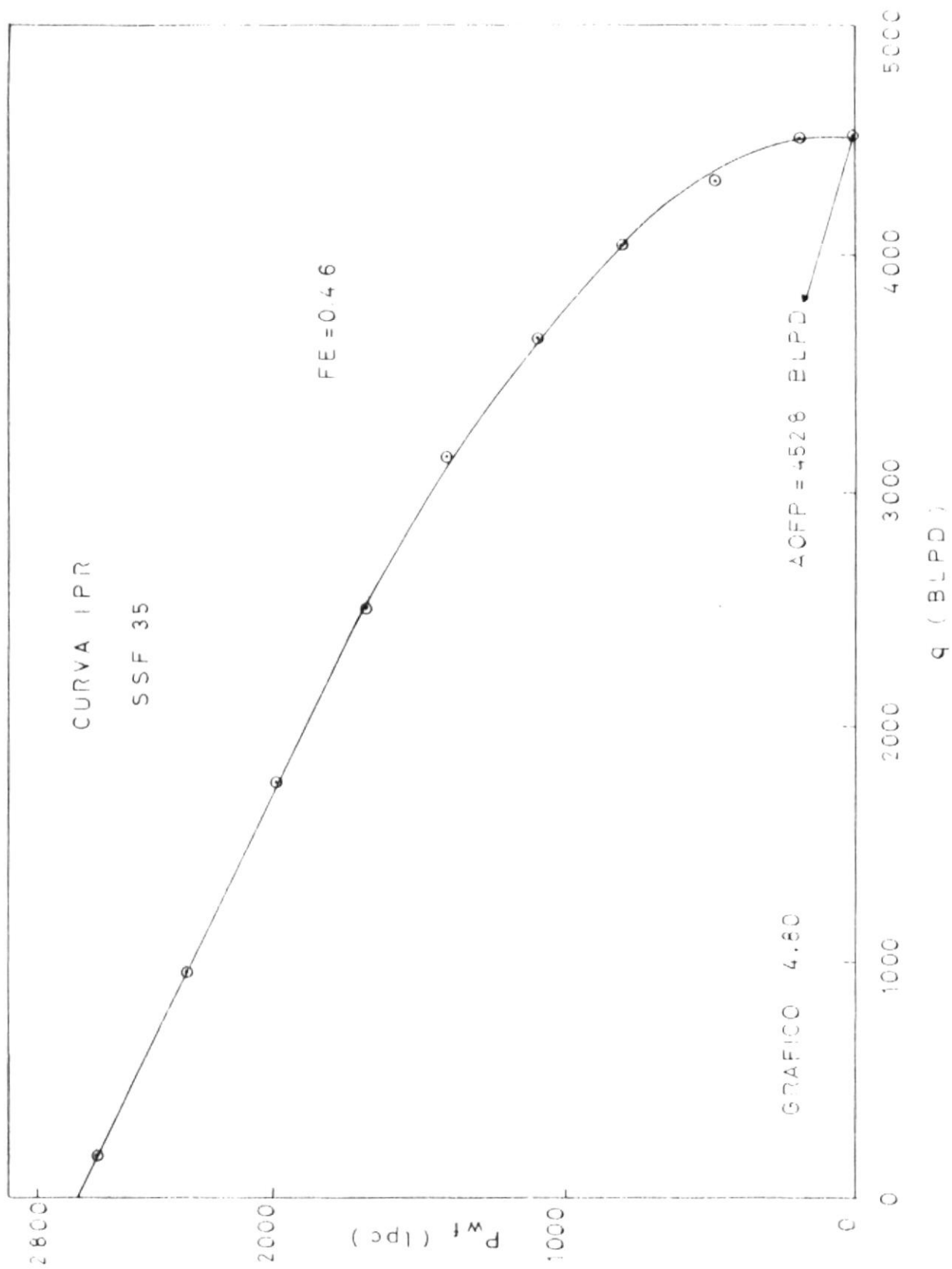
$$\Delta OFP = c \left[\bar{p}_R^2 + 0 \right]^n$$

$$\Delta OFP = 4528 \text{ BIPI} \quad (\text{En Gráfico 4.80})$$

VALORES UTILIZADOS EN CONSTRUIR CURVAS IPR

P_{WF}	P_{WF}^2	Q_1	$(P_R^2 - P_{WF}^2)$	Q
ΣPC	ΣPC^2	$\Sigma PC^2 \times 10^{+6}$	ΣPC^2	
2600	2637	193	0.3636	154
2300	2499	999	1.8336	969
2000	2361	1768	3.1236	1775
1700	2223	2498	4.2336	2507
1400	2085	3190	5.1636	3142
1100	1947	3844	5.9136	3665
800	1809	4458	6.4836	4069
500	1671	5035	6.8736	4348
200	1533	5573	7.0836	4500





CAMPO	SAH	Nº POGO	SSE 39
FORMACION	NAD	AREA	W
FECHA DE PREGA	21-VIII-78		

RELACION DE OPORTUNIDAD DE TITANIO

$$q = 3726 \text{ MPa}$$

$$\bar{p}_R = 3060 \text{ Lpc}$$

$$Pwf = 1910 \text{ Lpc}$$

$$FE = 0.25$$

$$q = c \left[\bar{p}_R^2 + Pwf^2 \right]^{1/2}$$

$$n = 1.0760 \quad (\text{Del Gráfico} \quad 4.81)$$

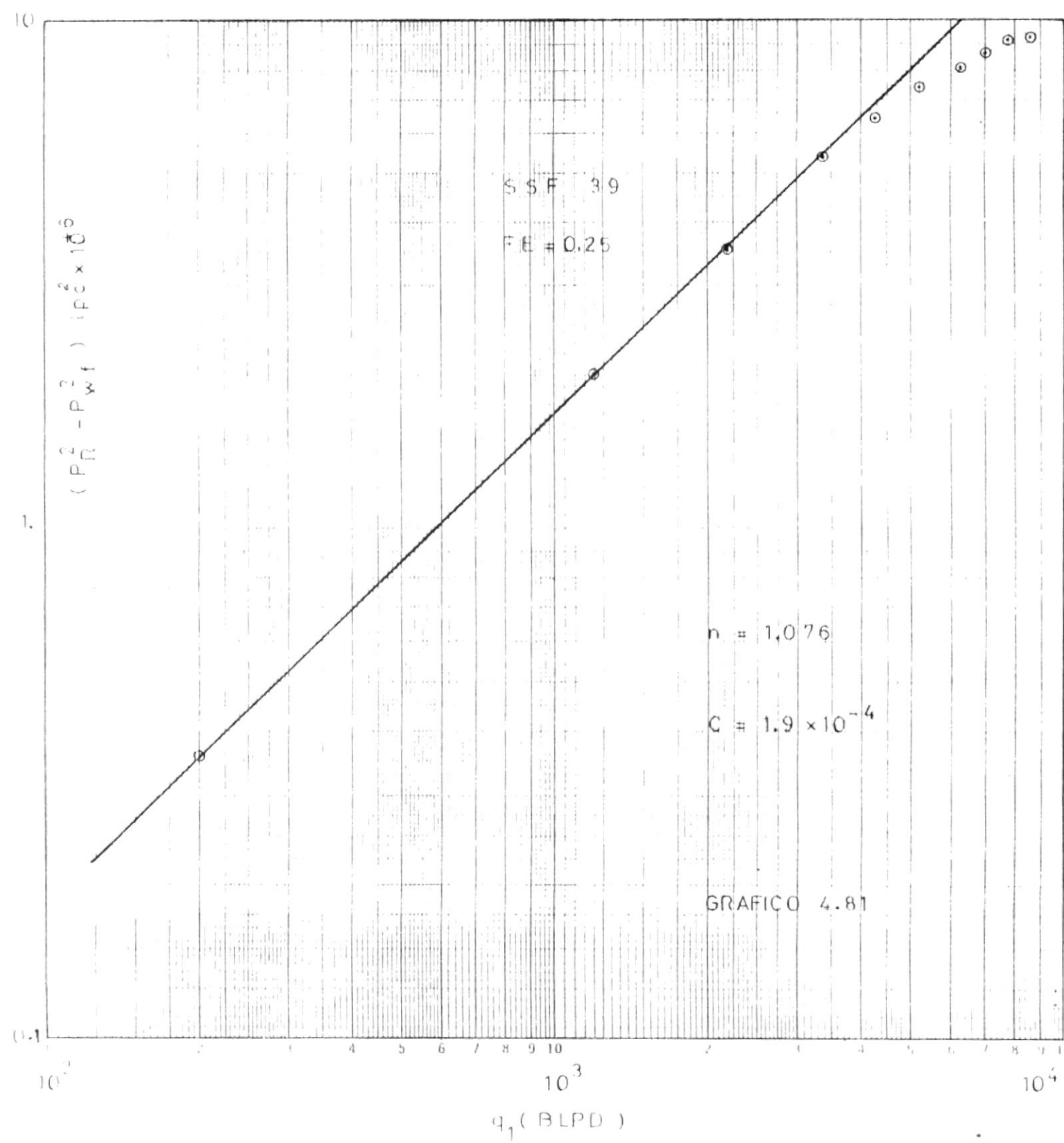
$$c = 1.9 \times 10^{-4}$$

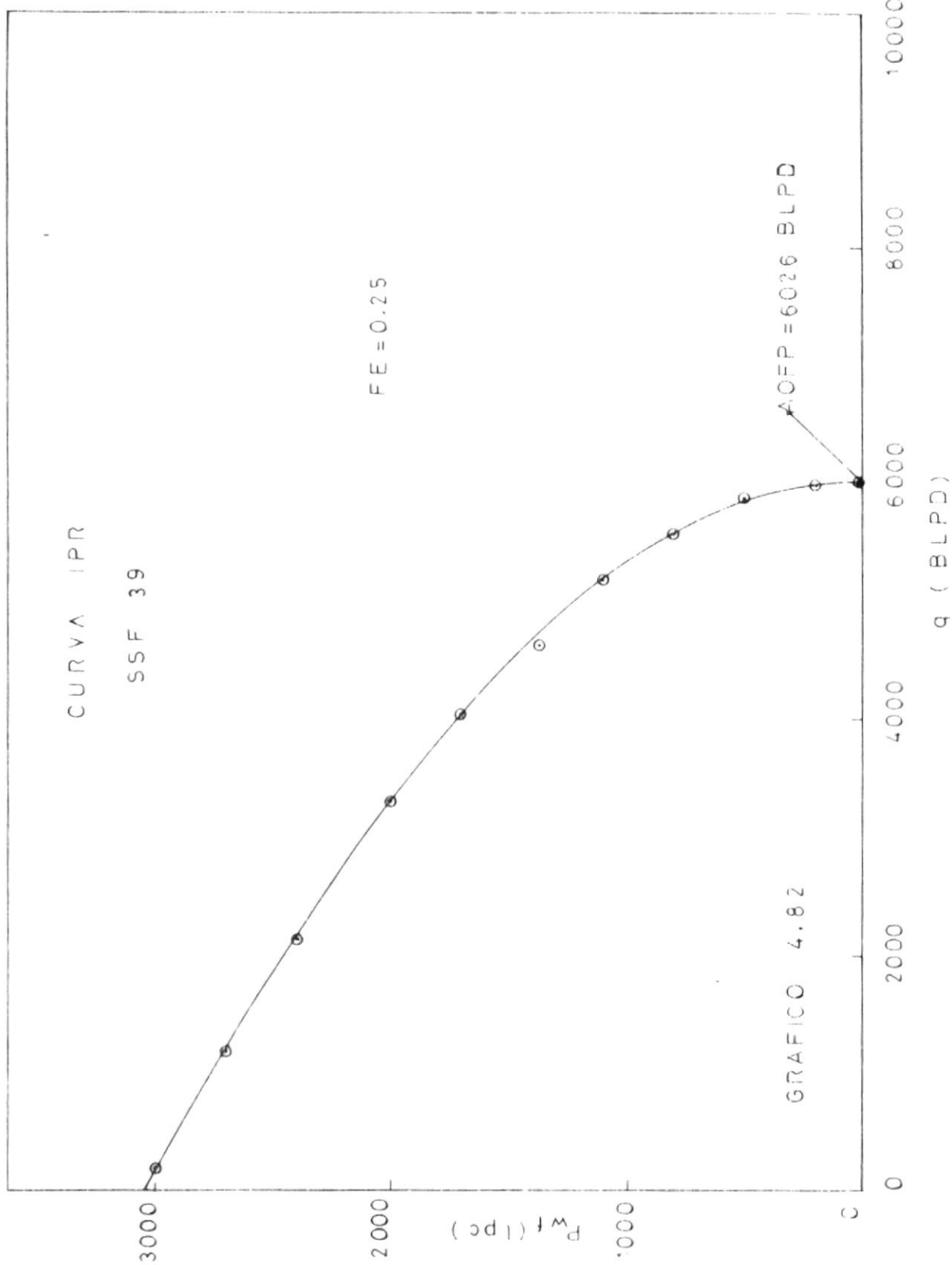
$$\Delta OFP = c \left[\bar{p}_R^2 + \sigma \right]^{1/2}$$

$$\Delta OFP = 6026 \text{ MPa} \quad (\text{En Gráfico} \quad 4.82)$$

TABLEAU DE CORRESPONDANCE ENTRE
LES VALEURS DE P_{W_2} ET P_{W_1}

P_{W_2}	P_{W_1}	P_{W_2}	P_{W_1}	P_{W_2}	P_{W_1}	P_{W_2}	P_{W_1}
3000	3045	203	0,3636	183			
2700	2970	1204	2,0736	1190			
2400	2895	2181	3,6036	2157			
2000	2795	3452	5,3636	3309			
1700	2720	4378	6,4736	4051			
1400	2645	5283	7,4036	4680			
1100	2570	6165	8,1536	5192			
800	2495	7026	8,7236	5584			
500	2420	7862	9,1136	5853			
200	2345	8679	9,3236	5998			





CAMPO	SAH	Nº POZO	SGF 43
FORMACION	NAPO	ANEXA	T
FECIA DE PRUEBA	27-XI-79		

RELACION DE COMPORTAMIENTO DEL EXPONIO

$$q = 3734 \text{ BLPD}$$

$$\bar{p}_R = 2190 \text{ Lpc}$$

$$Pwf = 1808 \text{ Lpc}$$

$$E = 0.48$$

$$q = c \left[\bar{p}_P^2 + Pwf^2 \right]^n$$

$$n = 1.1933 \quad (\text{Del Gráfico 4.83})$$

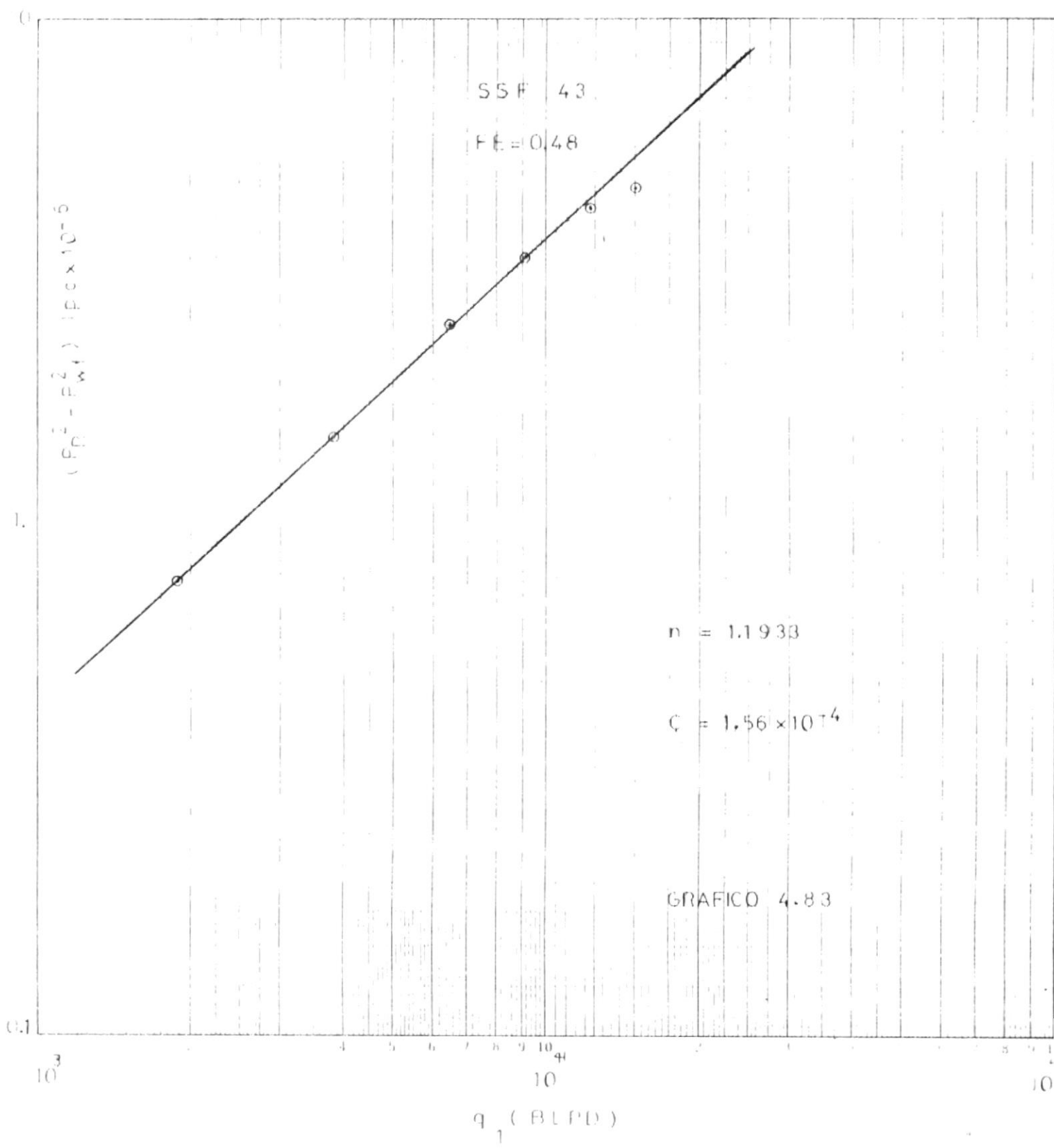
$$c = 1.56 \times 10^{-4}$$

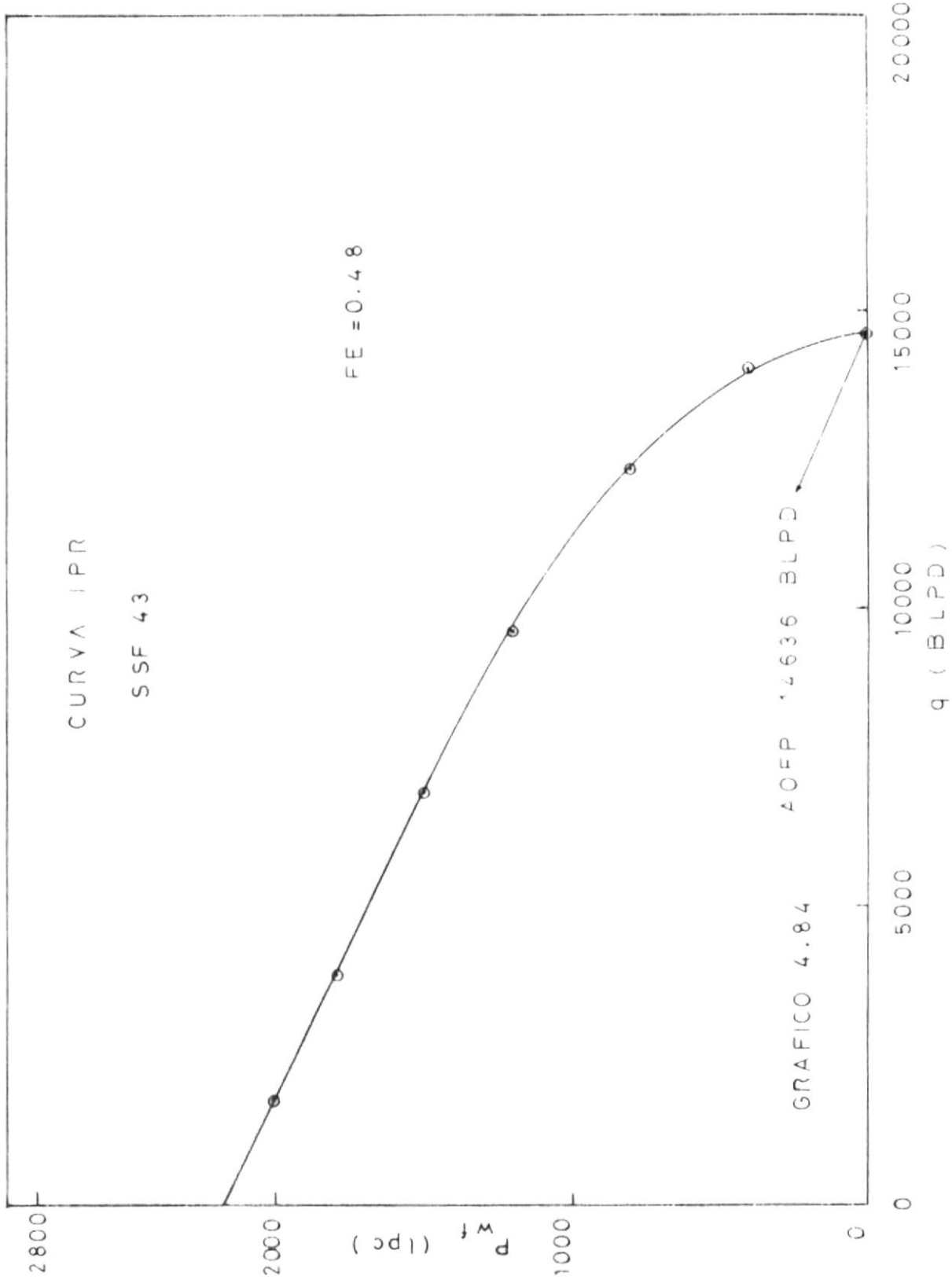
$$\Delta QBP = c \left[\bar{p}_P^2 - 0 \right]^n$$

$$QBP = \frac{14636}{\bar{p}_P} \text{ BLPD} \quad (\text{En Gráfico 4.84})$$

P_{WF}	LPC	LPC	$BLPD$	$(P_R^2 - P_{WF}^2)$	q_1	$LPC^2 \times 10^{-6}$	$BLPD$
2000	2099	1893	0.7961	1717			
1800	2003	3814	1.5561	3820			
1500	1859	6542	2.5461	6875			
1200	1715	9098	3.3561	9559			
800	1523	12223	4.1561	12337			
400	1331	15031	4.6361	14055			

VALORES UTILIZADOS EN CONSTRUIR CURVAS IPR





4.7. PROBLEMAS ENCONTRADOS DURANTE LAS CORRIDAS DE LA BOMBA EN LOS POZOS

Los problemas más comunes que suelen presentarse durante las pruebas de restauración de presión son los siguientes:

- Se paran los relojes (debido a algún golpe o por falta de cuerda).
- No se cerró el pozo a la hora indicada.
- No se realizó prueba de producción durante el período de flujo estabilizada.
- Los compresores no trabajan.
- Falta de producción.

CAPITULO V

DISCUSION DE LOS RESULTADOS

Se analizaron los métodos de restauración de presión de Horner, Miller-Dyes-Hutchinson (MDH), Ramey y Muskat en 14 pozos que producen con levantamiento artificial por gas de un campo del Oriente Ecuatoriano.

De los métodos de Horner, MDH y Ramey obtuvimos parámetros como permeabilidad de la formación y factor de daño, los cuales al ser comparados entre si muestra bastante similaridad como se indican en la tabla N° 1.

En la tabla N° 2 podemos observar que el porcentaje de error de la permeabilidad de los métodos de Horner y MDH con respecto a los de Ramey, en la mayoría de los pozos (9) es menor del 3% y en el resto de los pozos entre el 5% y 8%, y entre Horner y MDH encontramos 0% en 9 pozos y en el resto de pozos un error promedio del 4%.

En la tabla N° 3 podemos observar que los porcentajes de error para el cálculo del factor de daño entre Horner y MDH es de un promedio del 5%, entre Hor-

ner y Ramey de un promedio del 6% y MDH con Ramey en un promedio del 9%.

En la tabla N^o 4 podemos observar otros valores de permeabilidad obtenidos a partir de una nueva técnica de restauración de presión, que consiste en utilizar un procedimiento esencialmente analítico que calcula la permeabilidad independientemente de cualquier representación gráfica y la cual ha sido realizada como algo opcional a este trabajo con el fin de comparar sus resultados con los obtenidos por los métodos gráficos. (Apéndice II).

En la misma tabla N^o 4 se muestran los porcentajes de error entre la permeabilidad computarizada (K_c) y las permeabilidades obtenidas de los métodos gráficos y podemos observar que el porcentaje de error promedio con respecto a Horner es del 14%, con respecto a MDH del 14.7%, con respecto a Ramey en función de presión adimensional del 12.63% y a Ramey en función de tiempo adimensional del 14.70%.

En la mayoría de los pozos podemos observar que los valores de permeabilidad y factor de daño obtenidos -

por Ramey son más similares a los obtenidos por Horner que a los obtenidos por MDH.

Del método de Muskat obtuvimos la presión promedio del yacimiento \bar{P}_R , dandonos este método resultados satisfactorios.

Esta presión promedio del yacimiento junto con la presión de fondo fluyente obtenida de los datos de restauración de presión fueron utilizados para calcular los índices de productividad, eficiencia de flujo, tasa máxima de producción, constantes de turbulencia y el potencial absoluto del pozo, valores que se muestran en la tabla N° 5.

Finalmente se construyeron las curvas de IPR, que definen el comportamiento de la formación.

El método de Ramey permite determinar con bastante precisión el estado de la formación alrededor del pozo, razón por la cual los resultados obtenidos han sido bastante similares a los obtenidos por el método de Horner y MDR.

En resumen los cálculos obtenidos indican resultados satisfactorios para determinar las características del yacimiento, por cualquiera de los métodos utilizados.

CAPITULO VI
CONCLUSIONES Y RECOMENDACIONES



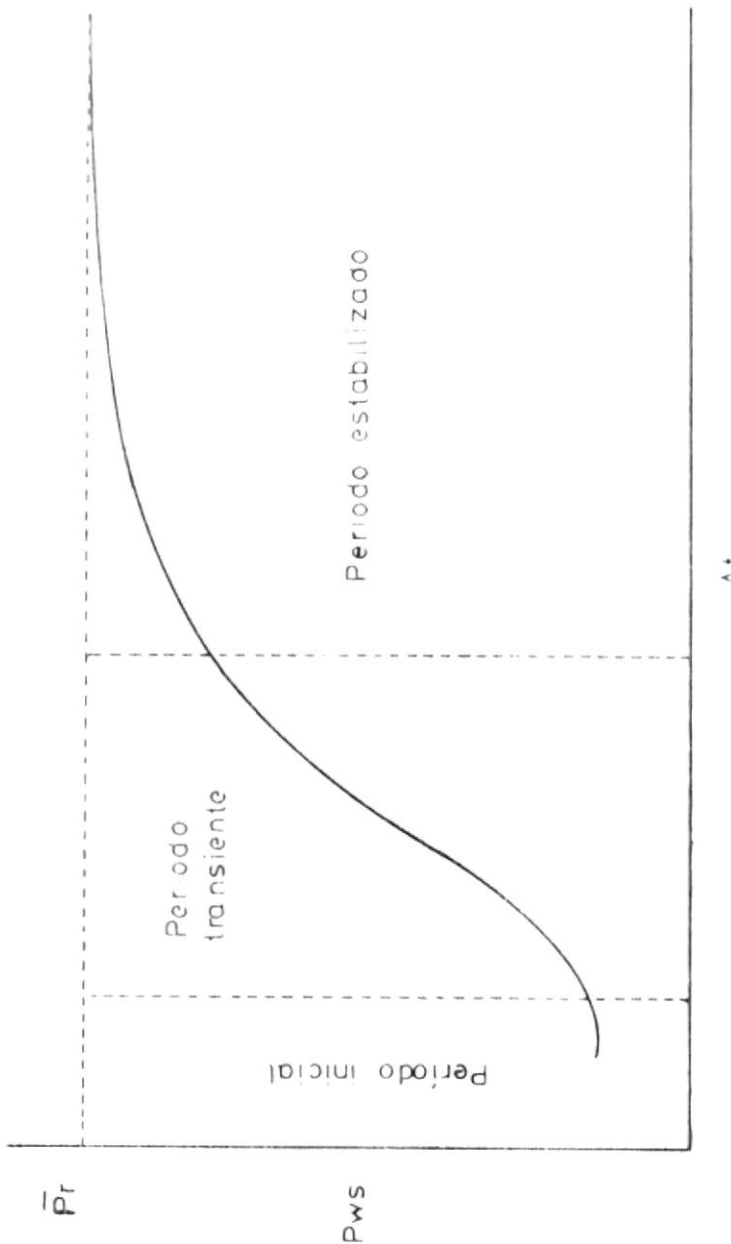
- La línea recta de los gráficos de restauración de presión de Horner y MDH deben ser seleccionados de la mejor manera para que los parámetros de allí obtenidos sean lo suficientemente confiables.
- Debido a que es posible determinar por medio del método de Ramey el punto donde comienza la línea recta en los métodos de restauración de presión de Horner y MDH para obtener parámetros de las características del yacimiento que sean confiables, es recomendable usar los métodos en conjunto, es decir: Método de Horner con método de Ramey ó método de MDH con método de Ramey.
- Al aplicar el método de Ramey estamos indicando que la prueba está controlada por el efecto de almacenaje.
- Ramey permite obtener mayor información sobre las propiedades del pozo y tiene bastante aplicabilidad en yacimientos de gas en solución.

- El método de MDH, tiene la ventaja con respecto al método de Horner, de que no requiere conocer el tiempo de vida del pozo para la construcción de la gráfica.
- Aplicando Ramey se obtiene una reducción en los costos de operación ya que este método puede aplicárselo utilizando pruebas cortas de restauración de presión.
- Aunque las gráficas de Muskat son gráficas de ensayo y error tienen bastante confiabilidad puesto que solo necesitan de los datos de las pruebas de restauración de presión para obtener la presión promedio del yacimiento \bar{P}_R , sin hacer uso de algún otro parámetro de la formación.
- Se debe tener cuidado al obtener la mejor recta de la curva $(\bar{P}_R - P_{wf}^2) \text{ Vs } q_1$, pues puede dar lugar a falsos valores de c , n y ΔQPP .
- Se recomienda efectuar este tipo de estudio cada año a fin de tener un control del comportamiento de los yacimientos.

- Debido a que estos métodos de restauración de presión - basan su comportamiento en datos obtenidos después del cierre, la precisión de los mismos es muy importante en la aplicación de los métodos estudiados, por lo cual es recomendable, chequear constantemente las herramientas que se utilizan para realizar las pruebas de restauración de presión.
- Aprovechando el método de Muskat debe chequearse continuamente las presiones de fondo fluyente y presión promedio del yacimiento.
- El estudio de los yacimientos por medio de los métodos analizados en este trabajo, permiten que el Ing. de Petróleo pueda recomendar la realización de tratamientos de estimulación en pozos que presentan un factor de daño apreciable.
- Se recomienda hacer este análisis cuando ha finalizado la perforación de un pozo, y antes de ponerlo en producción normal, con el fin de conocer todas las características del yacimiento productivo y lograr así un mejor control del mismo. Esto tiene mayor validez cuando se trata de pozos exploratorios.

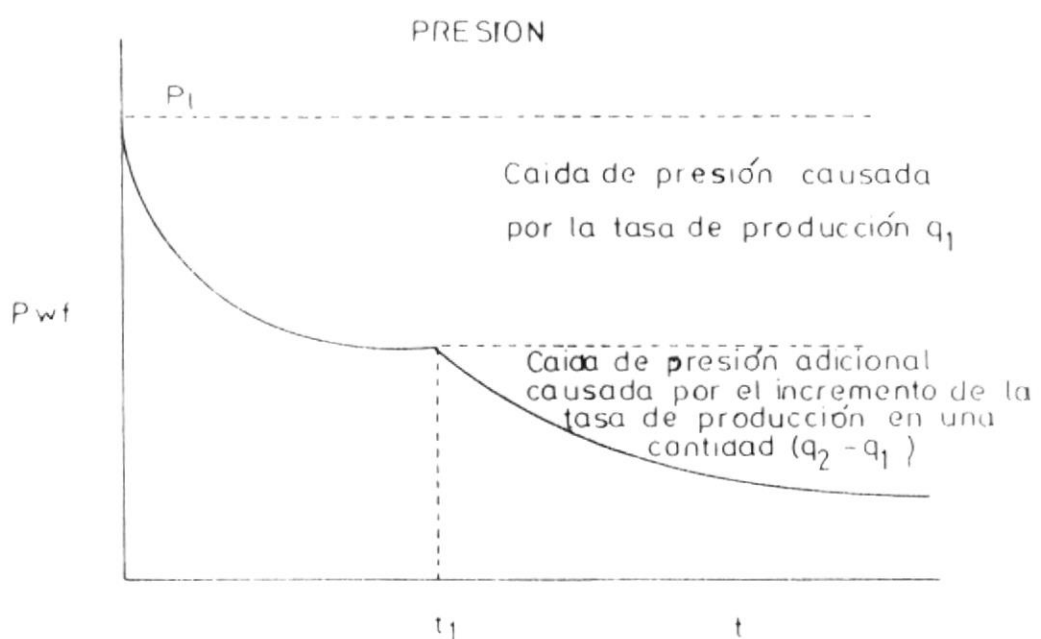
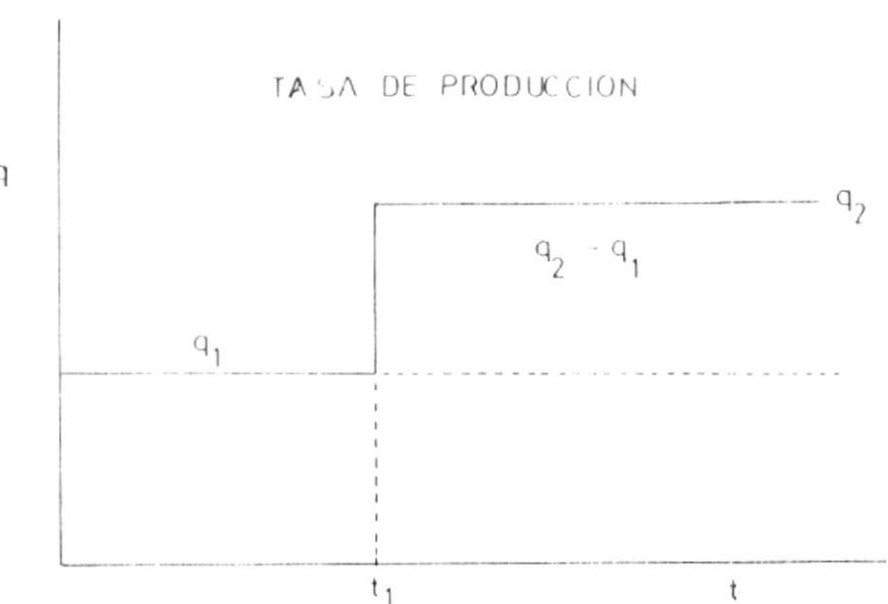
APÉNDICE I

FIGURAS



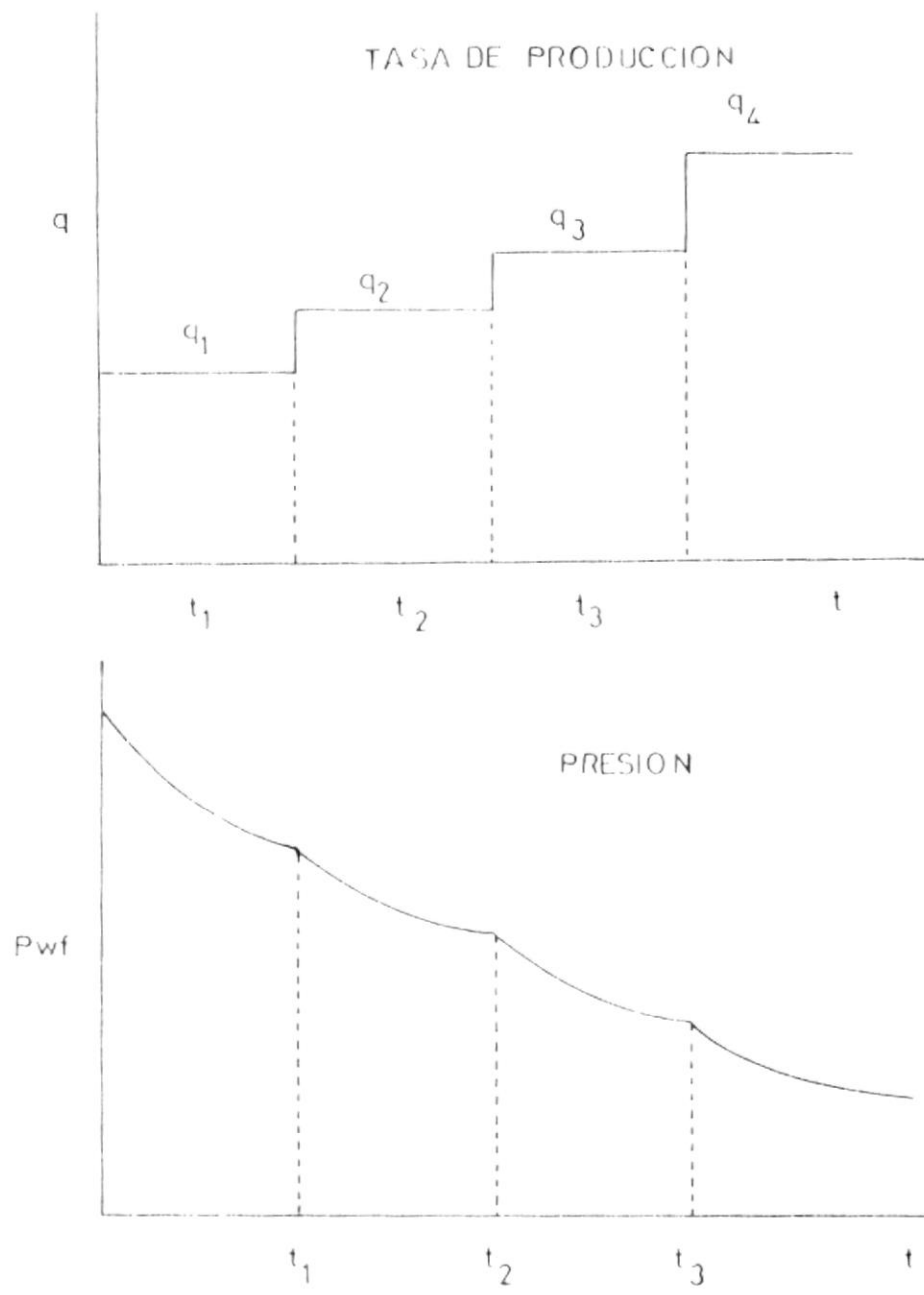
Comportamiento de presión vs tiempo para una prueba de restauración de presión

FIG 1



Histórica de presión y producción para un pozo
que produce a 2 tasas de flujo

FIG 2.1



Historia de presión y producción para un pozo que produce con tasa múltiple

FIG 2.2

DISTRIBUCION DE LA PRESION ALREDEDOR DEL POZO
TIENIENDO DANO EN LA FORMACION

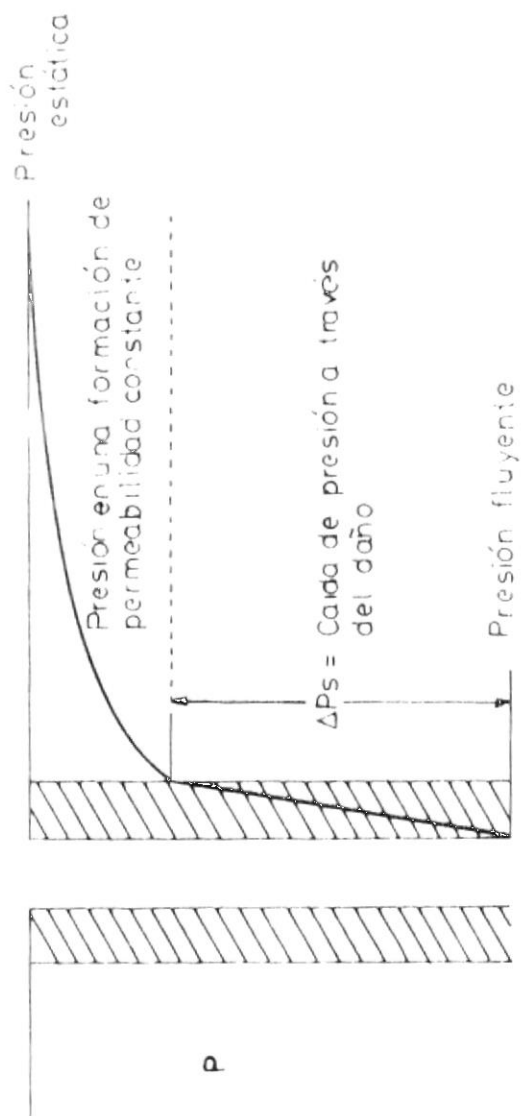
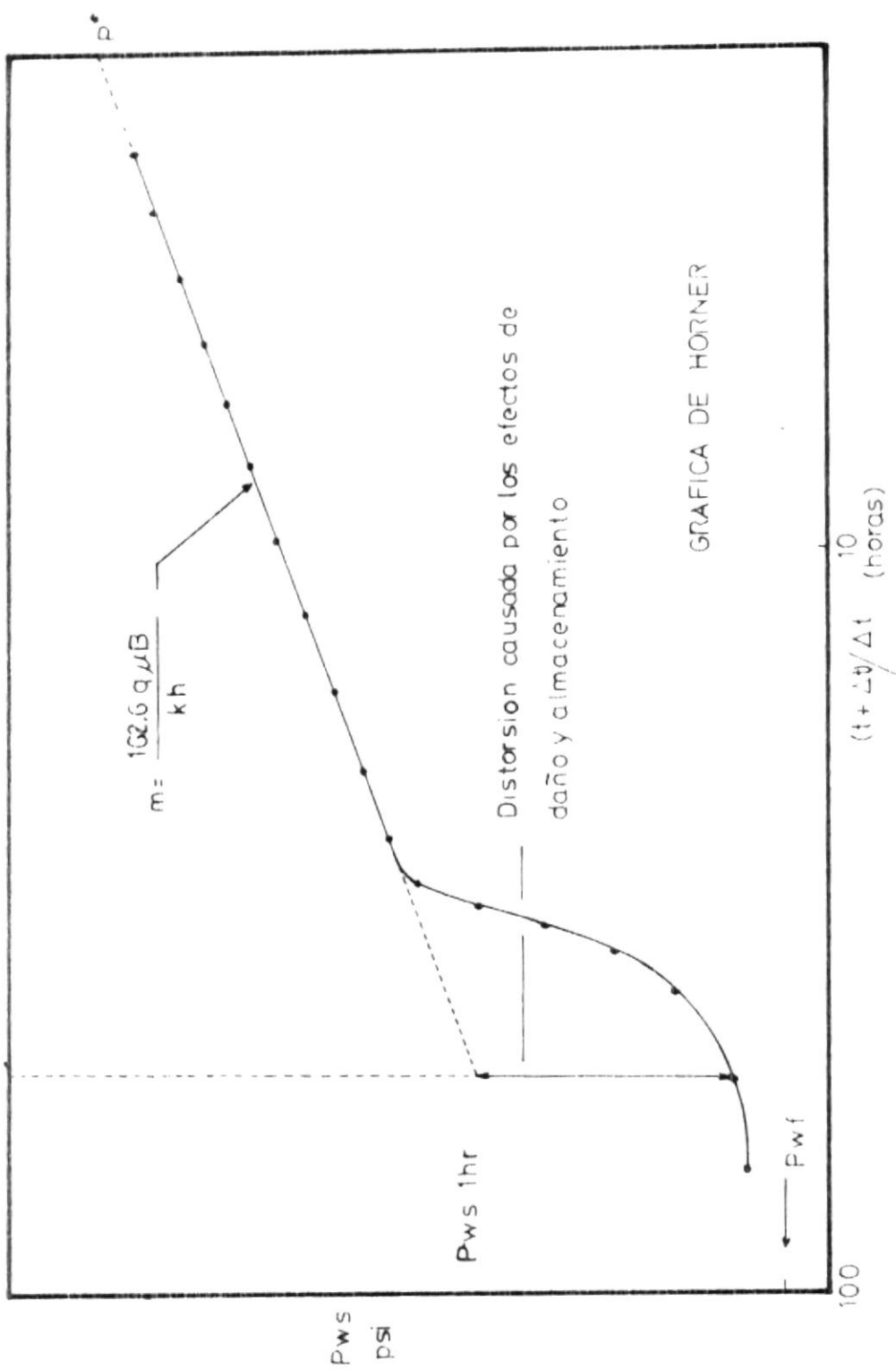


FIG 2.3



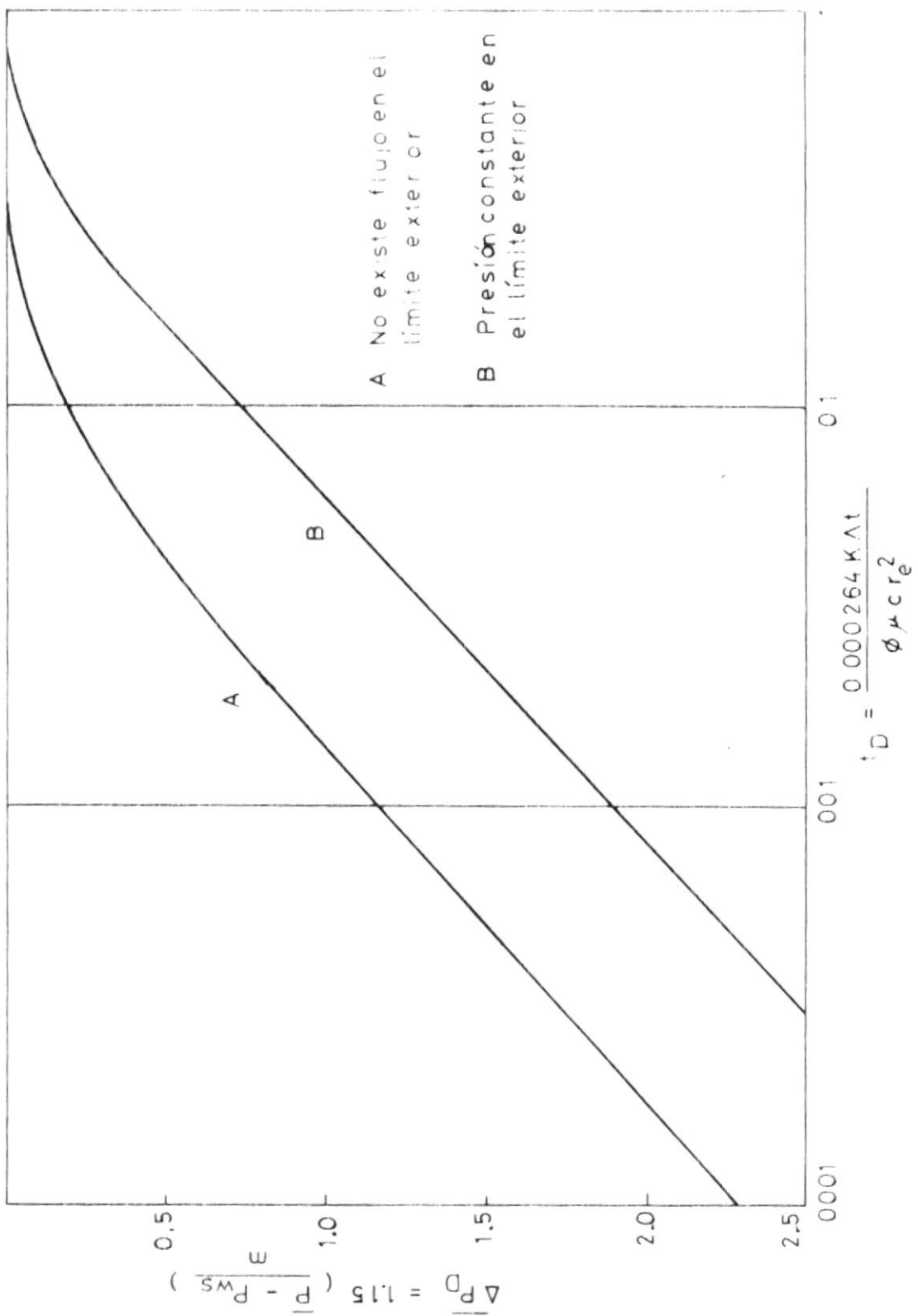


FIG. 2.5 Curvas teóricas de restauración de presión Miller, Dyes y Hutchinson [6]

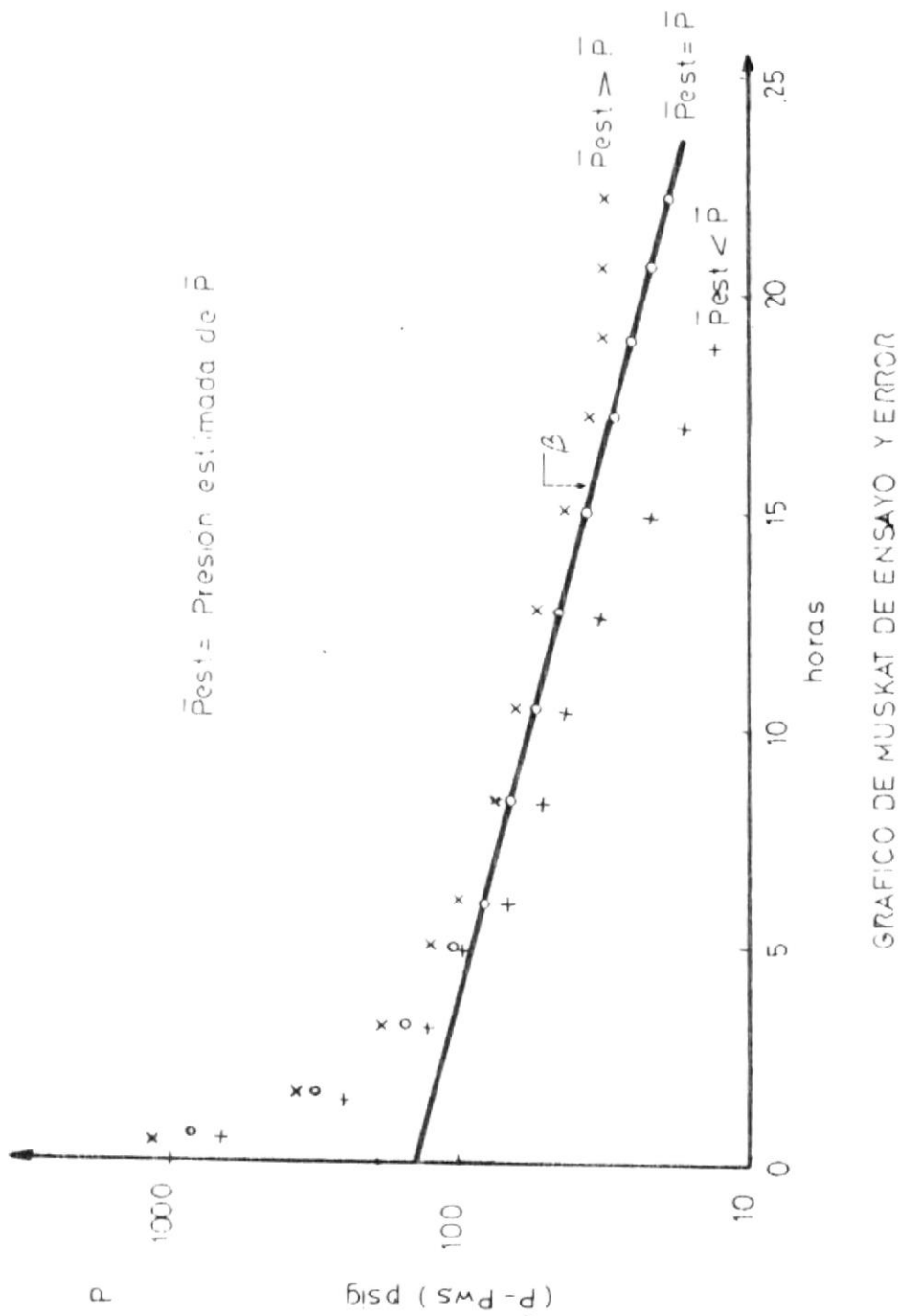


FIG 2.6

GRAFICO DE MUSKAT DE ENSAYO Y ERROR

P_D vs t_D Para pozo con efecto de daño y almacenamiento

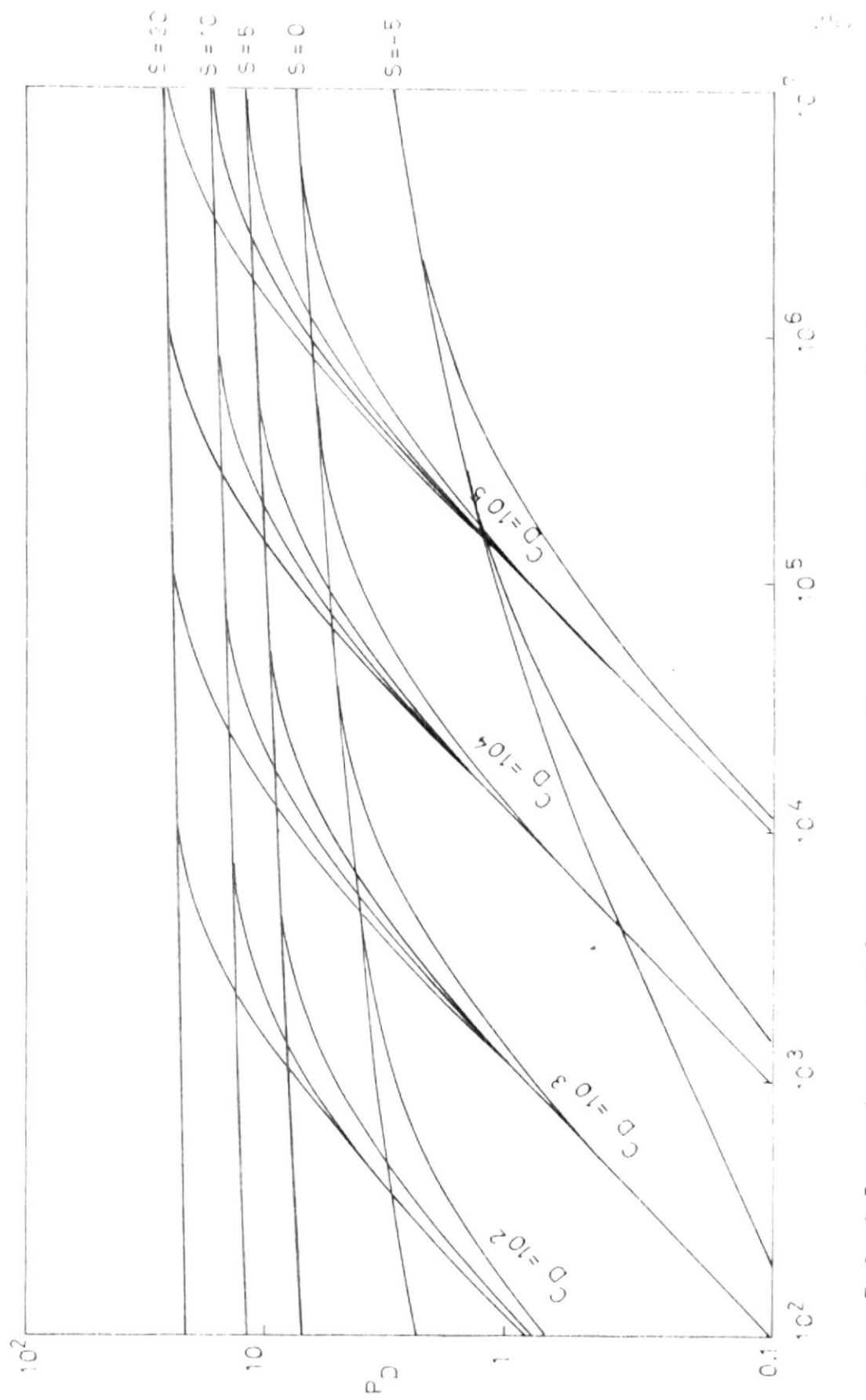
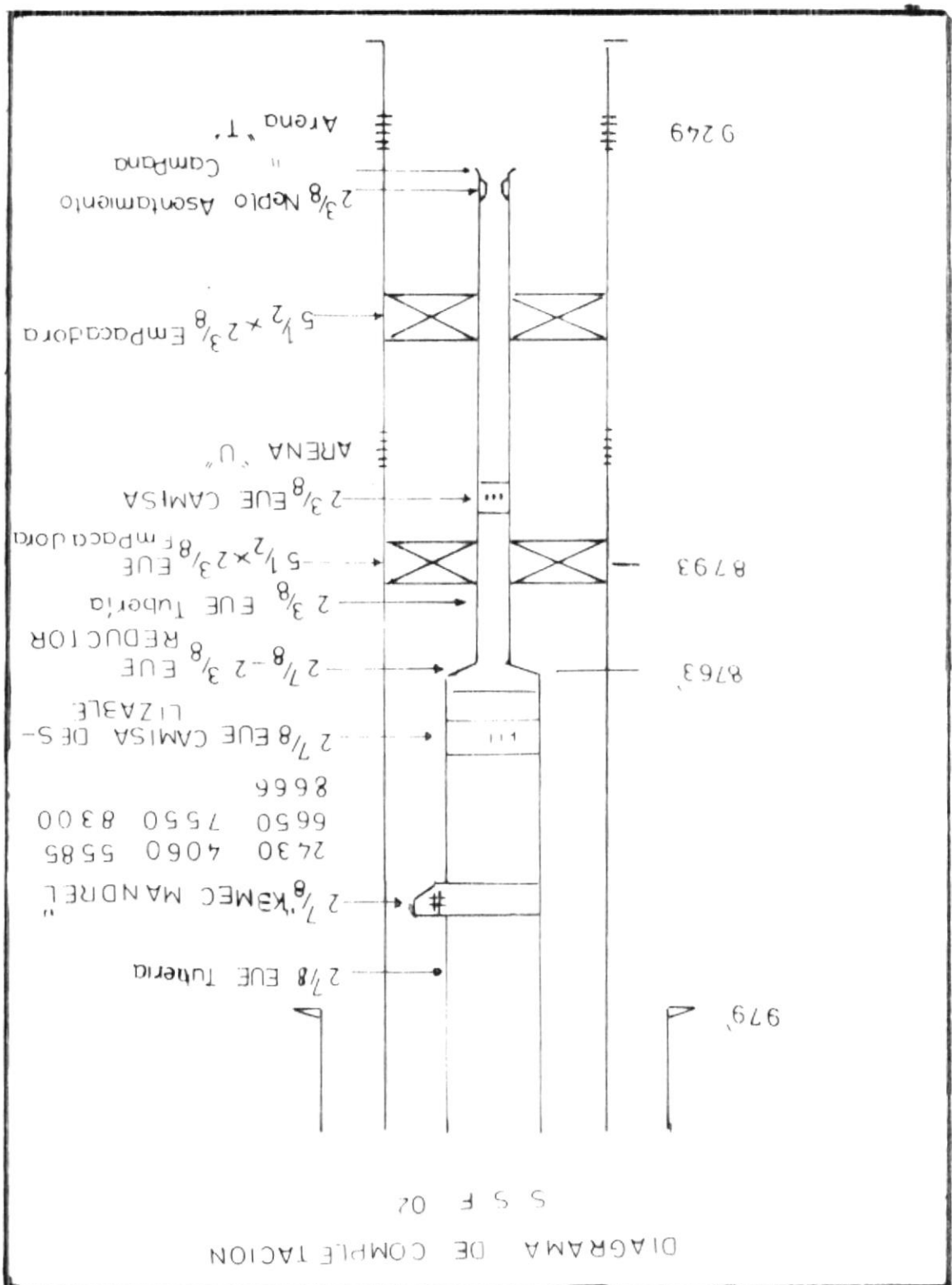


FIG. 2.7 Agarwal, R.G. Al-Hussany, R., and Ramey, R.J., Jr. [1]

F1 G 3.1



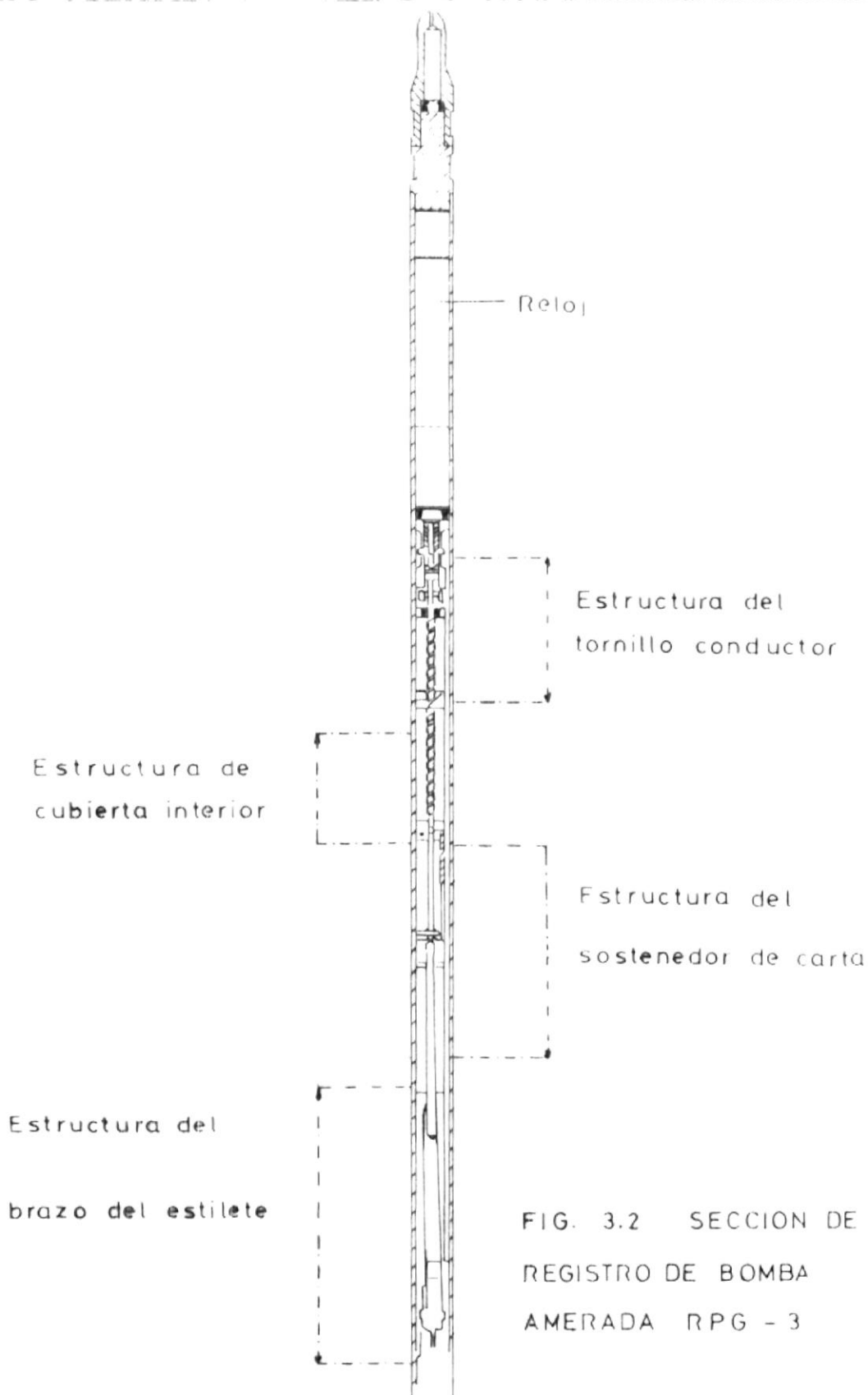


FIG. 3.2 SECCION DE
REGISTRO DE BOMBA
AMERADA RPG - 3

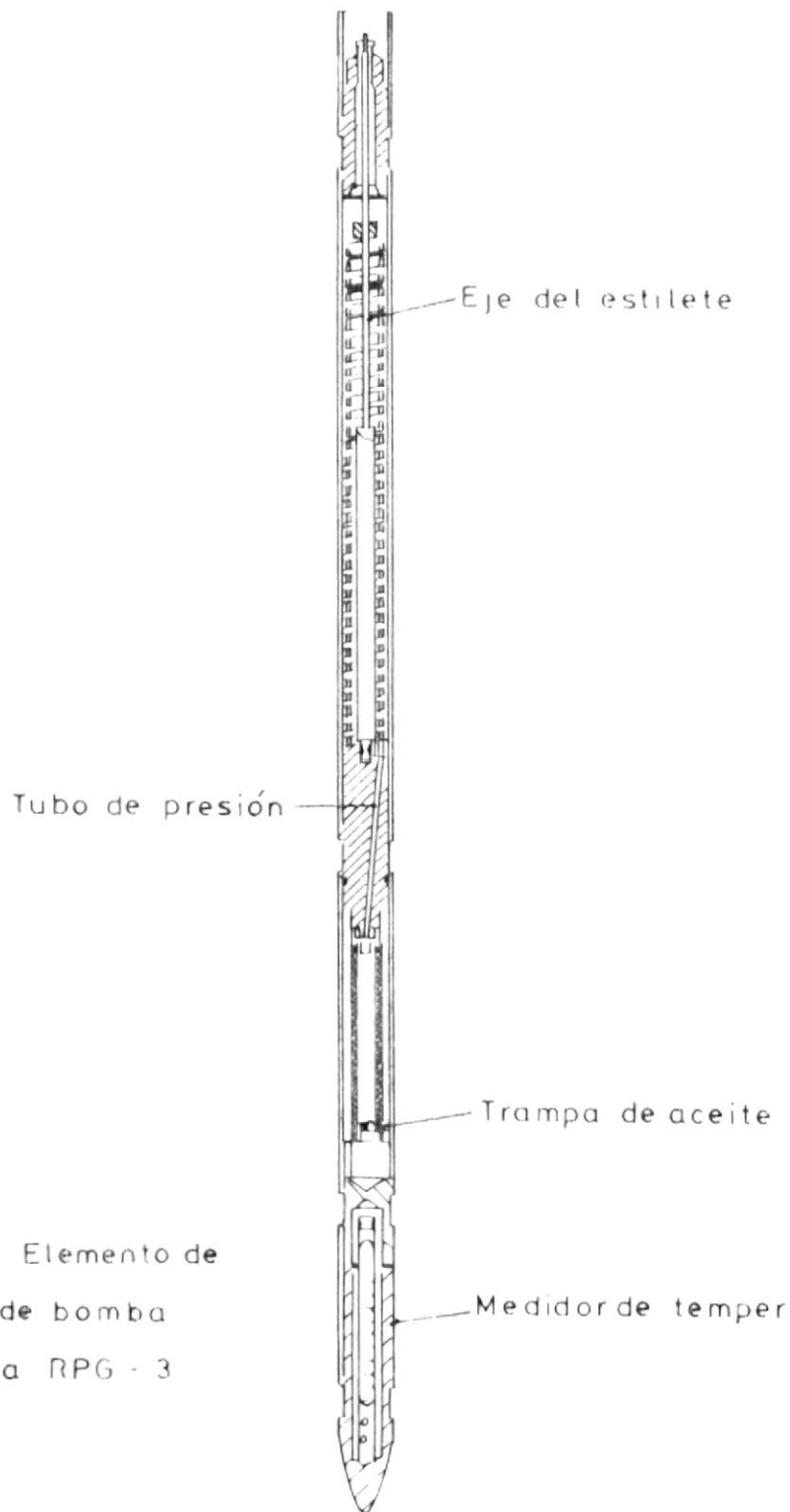


FIG. 3.3 Elemento de
presión de bomba
Amerada RPG - 3

EQUIPO DE LINEA DE ALAMBRE

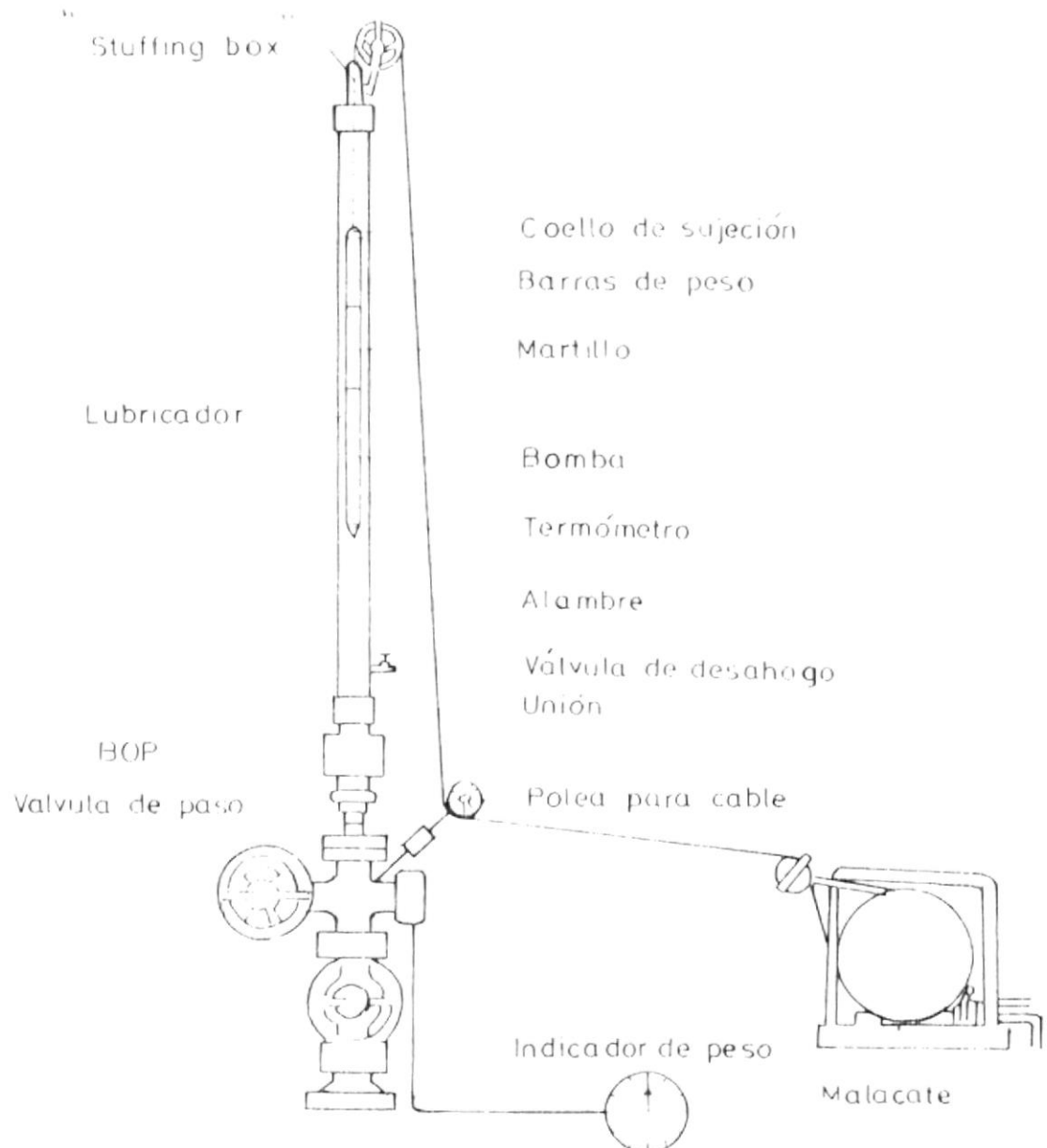


FIG. 3.4

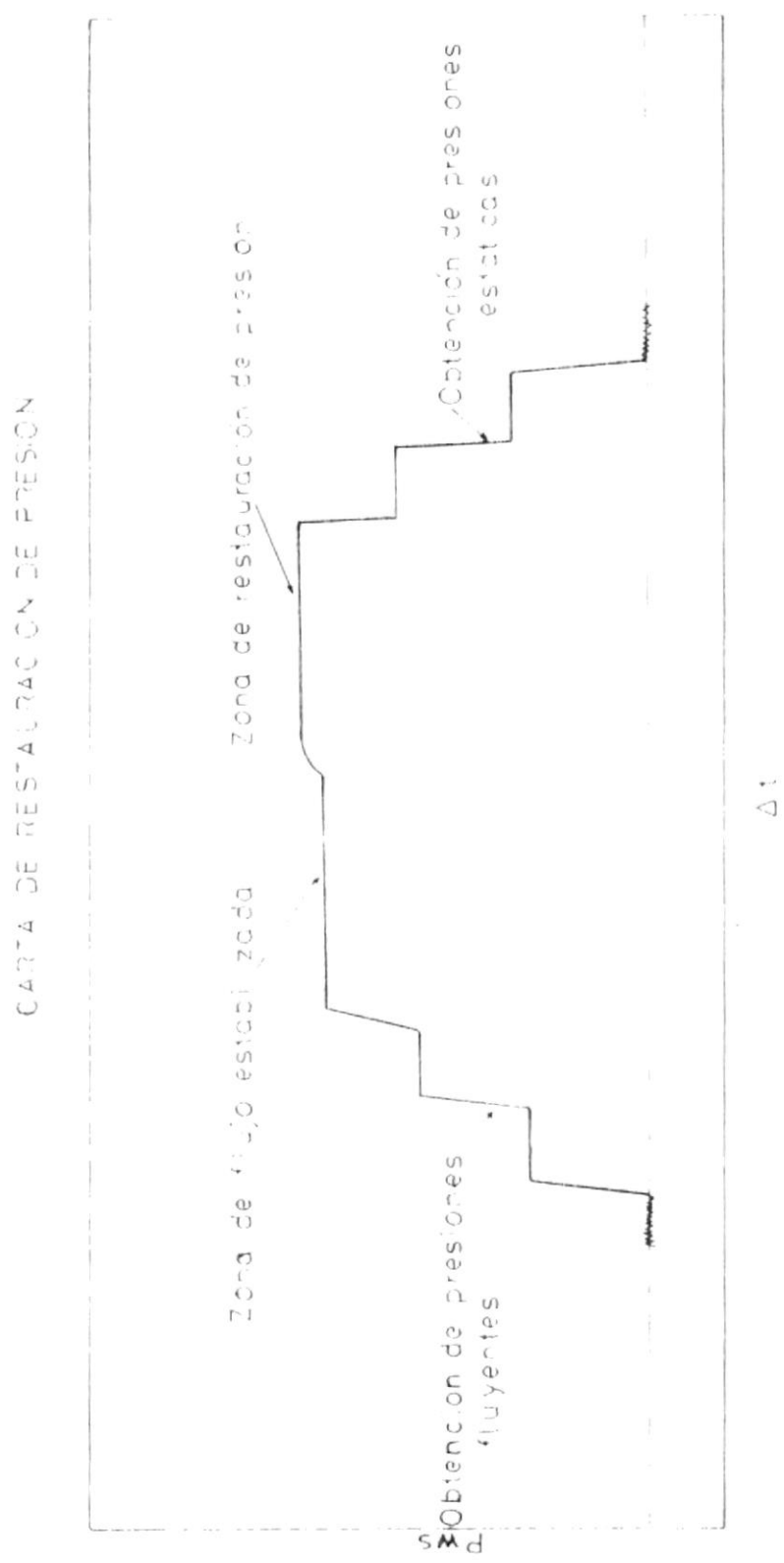


FIG. 3, 5

APPENDIX II

TABLES

TABLA N° 1
VALORES DE PERMEABILIDAD Y FACTOR DE
DANÓ

Nº POZO	K_H	K_{MDH}	KRAMER		S_H	S_{MDH}	S_D
			K_P	K_t			
01	633	634	614	633	6.91	7.29	7.0
02	270	292	268	285	16.58	18.73	17
05	211	206	211	224	1.69	1.46	2.0
07	314	314	300	316	10.95	10.95	10
14	438	458	432	460	-2.27	-2.27	-2.0
17	954	954	932	957	17.62	18.08	18
21	103	99	102	108	16.52	15.74	17
23	174	174	170	188	54.0	54.0	50
27	1429	1429	1415	1455	22.64	22.35	22
28	305	305	297	310	22.26	26.40	24
29	706	706	689	718	25.00	25.20	22
35	264	271	268	282	8.98	9.44	9.0
39	497	497	485	516	39.99	39.91	40
43	307	307	291	314	10.99	10.83	10
44							
45							
46							
47							
48							
49							
50							
51							
52							
53							
54							
55							
56							
57							
58							
59							
60							
61							
62							
63							
64							
65							
66							
67							
68							
69							
70							
71							
72							
73							
74							
75							
76							
77							
78							
79							
80							
81							
82							
83							
84							
85							
86							
87							
88							
89							
90							
91							
92							
93							
94							
95							
96							
97							
98							
99							
100							
101							
102							
103							
104							
105							
106							
107							
108							
109							
110							
111							
112							
113							
114							
115							
116							
117							
118							
119							
120							
121							
122							
123							
124							
125							
126							
127							
128							
129							
130							
131							
132							
133							
134							
135							
136							
137							
138							
139							
140							
141							
142							
143							
144							
145							
146							
147							
148							
149							
150							
151							
152							
153							
154							
155							
156							
157							
158							
159							
160							
161							
162							
163							
164							
165							
166							
167							
168							
169							
170							
171							
172							
173							
174							
175							
176							
177							
178							
179							
180							
181							
182							
183							
184							
185							
186							
187							
188							
189							
190							
191							
192							
193							
194							
195							
196							
197							
198							
199							
200							
201							
202							
203							
204							
205							
206							
207							
208							
209							
210							
211							
212							
213							
214							
215							
216							
217							
218							
219							
220							
221							
222							
223							
224							
225							
226							
227							
228							
229							
230							
231							
232							
233							
234							
235							
236							
237							
238							
239							
240							
241							
242							
243							
244							
245							
246							
247							
248							
249							
250							
251							
252							
253							
254							
255							
256							
257							
258							
259							
260							
261							
262							
263							
264							
265							
266							
267							
268							
269							
270							
271							
272							
273							
274							
275							
276							
277							
278							
279							
280							
281							
282							
283							
284							
285							
286							
287							
288							
289							
290							
291							
292							
293							
294							
295							

TABLA - N° 2
PORCENTAJE DE ERROR DE PERMEABILIDAD

Nº POZO	$K_H - K_{M(H)}$ K_H	$K_H - K_P$ K_H	$K_H - K_L$ K_H	$K_{MD(H)} - K_P$ $K_{MD(H)}$	$K_{MD(H)} - K_L$ $K_{MD(H)}$
01	3,21 %	3,0 %	0,0 %	6,11 %	3,21 %
02	7,53	0,74	5,56	8,22	2,40
05	2,42	0,0	6,16	2,43	8,74
07	0,0	4,46	0,95	4,46	0,95
14	0,0	5,68	0,44	5,68	0,44
17	0,0	2,31	0,31	2,31	0,31
21	4,04	0,97	4,85	3,03	9,09
23	0,0	2,30	8,05	2,30	8,05
27	0,0	0,98	1,82	0,98	1,82
28	0,0	2,62	1,64	2,62	1,64
29	0,0	2,41	1,70	2,41	1,70
35	2,58	1,52	6,82	1,10	4,05
39	0,0	2,41	3,82	2,41	3,82
43	0,0	5,21	2,78	5,21	2,78

TABLA N^o 3
PORCENTAJES DE ERRORES DEL FACTOR DE DAÑO

N ^o POZO	$\frac{S_{II} - S_{MDH}}{S_{II}}$	$\frac{S_H - S_R}{S_H}$	$\frac{S_{MDH} - S_R}{S_{MDH}}$
01	5.5%	1.0%	4.0%
02	13	2.53	9.24
05	13.6	18.34	37.0
07	0.0	8.68	8.68
14	0.0	11.89	11.89
17	2.61	2.60	0.44
21	4.84	2.66	8.00
23	0.0	7.41	7.41
27	1.28	2.83	1.57
28	0.53	8.60	9.00
29	0.80	12.0	12.70
35	5.12	0.22	4.66
39	0.20	0.025	0.23
43	1.46	9.00	7.66

TABLA N° 4
VALORES PERMEABILIDAD COMPUTARIZADA Y PORCENTAJES
DE ERROR

Nº POZO	K _C	$\frac{K_{H+} - K_C}{K_H}$	$\frac{K_{MDH+} - K_C}{K_{MDH}}$	$\frac{K_P - K_C}{K_P}$	$\frac{K_t - K_C}{K_t}$
01	511	19.3 %	21.86	16.78	19.3
02	271	0.37	7.19	1.11	4.91
05	194	8.06	5.83	8.06	13.39
07	276	12.10	12.10	8.00	12.65
14	427	6.77	6.77	1.16	7.17
17	709	25.68	25.68	23.92	25.91
21	110	6.80	11.11	7.84	1.85
23	165	5.17	5.17	2.94	12.23
27	1447	1.26	1.26	2.26	0.55
28	419	37.38	37.38	41.07	35.16
29	519	26.49	26.49	24.67	27.71
35	291	10.23	7.38	8.58	3.19
39	422	15.10	15.10	12.99	18.21
43	240	21.83	21.83	17.53	23.57

TABLE N° 5

N° POZO	IP ideal	IP real	PE	PR	σ_{\max}	C $\times 10^4$	n	ΔDP
01	9.55	17.50	0.55	2174	21959	8.2	1.0762	1.0432
02	3.49	8.89	0.36	27.00	13769	0.9	1.1348	1.1344
05	6.59	7.43	0.89	2740	12024	3.0	1.1083	1.1059
07	10.05	22.95	0.44	3164	40719	2.3	1.1542	1.1534
14	19.07	14.44	1.32	2150	16193	90.5	0.9518	1.0661
17	13.13	31.33	0.42	2400	42329	4.5	1.1374	1.1936
21	1.65	4.13	0.40	2620	6240	0.082	1.2541	3073
23	0.98	5.72	0.47	2730	2058	0.084	1.2451	1.2556
27	9.53	14.54	0.39	2480	38731	4.3	1.1628	1.18246
28	2.59	8.55	0.36	2650	14572	0.34	1.1845	5200
29	8.63	26.31	0.33	2140	32135	0.81	1.23075	1.2773
35	2.66	5.74	0.46	2669	8972	0.74	1.1363	4528
39	3.24	7.24	0.45	2050	22928	1.9	1.0760	6626
43	9.77	20.29	0.48	2190	25787	1.56	1.1933	14636

T015 MEMBER DATE 01/07/06 TIME 10:46

TYPE	NAME	DISK ADDR	TOTAL	NUM	TEXT/RECORD	ATTRIBUTES	LINK
S	SAH1	89521/0150B1	970009	96/60		00000000	
??	IBM SYSTEM/34 FORTRAN IV RELEASE 03				01/07/06 10:36		
??	000 TOTAL ERRORS FOR THIS COMPILATION						
??							
??							
??	7163 DECIMAL IS THE MAIN STORAGE SIZE OF THE LOAD MEMBER						
//	READ DEVICE-SYSIN						
//	PRINT DEVICE-PRTR						
#PROCESS	LINK(R,LIB(T015)) NOSOURCE NOHALT						
PROGRAM	SAH1						
C	*****						
C	SUSANA AIZAGA HINOSTROZA						
C	DEPARTAMENTO DE PETROLEOS						
C	CALCULO DE LA CAPACIDAD DE FLUJO Y PERMEABILIDAD DE LA FORMACION						
C	ESTE PROGRAMA CALCULA LA PERMEABILIDAD POR MEDIO DE UNA TECNICA						
C	ANALITICA, INDEPENDIENTEMENTE DE CUALQUIER GRAFICA						
C	CAMPO SAH -						
C	Q TASA DE FLUJO LIQUIDA EN BPD						
C	V VISCOSIDAD DEL FLUIDO EN CENTIPIOSES						
C	B FACTOR VOLUMETRICO DE LA FORMACION						
C	H ESPESOR DE LA ARENA						
C	T TIEMPO EN HORAS						
C	P PRESION EN LPC						
C	XKH ES LA CAPACIDAD DE FLUJO EN MD*PIE						
C	PERM ES LA PERMEABILIDAD DE LA FORMACION						
C	*****						
	DIMENSION T(50),P(50),DT(50),DP(50),TM(50),TITUL(25)						
	DATA IR/47,IW/3/						
DO	400 J=1,17						
10	READ(IR,1000,END=11)TITUL						
READ	(IR,1001) N,Q,V,B,H						
READ	(IR,1002) (T(I),P(I),I=1,N)						
C	IMPRIME ENCABEZADO Y DATOS						
WRITE	(IW,2000) (TITUL(I),I=1,25)						
C	CALCULO DE VALORES DE SUMATORIAS						
C	SUM1=0.0						
C	SUM2=0.0						
J=N-1							
DO	100 I=1,J						
K=I+1							
DT(I)=	T(K)-T(I)						
DP(I)=	P(K)-P(I)						
TM(I)=	T(I)*(T(K)-T(I))/2.0						
SUM1 =	SUM1 + DT(I)/DP(I)						
SUM2 =	SUM2+TM(I)						
100	CONTINUE						
C	CALCULO DE LA CAPACIDAD DE FLUJO KH						
XKH=	70.60*Q*V*B*SUM1/SUM2						
PERM=XXH/H							

1
2
3
4
5
6
7
8 C IMPRIME
9 WRITE(IW,2003)XKH,PERM
10 GO TO 10
11 STOP
12 400 CONTINUE
13 11 FORMAT(25A4)
14 1001 FORMAT(I10.4F10.3)
15 1002 FORMAT(F10.3,4X,F10.3)
16 2000 FORMAT(27X,16A4//)
17 2003 FORMAT(///46X,*CAPACIDAD DE FLUJO KH =*,F8.0,2X,*MD*PIE*//52X,
18 * *PERMEABILIDAD K =*,F8.0,4X,*MD*//27X,65(*-*)//)
19 END

20 ??SYS-3130 I SAH1 MODULE'S MAIN STORAGE SIZE IS

21 ?? 7163 DECIMAL

22 ??SYS-3131 I 0000 IS THE START CONTROL ADDRESS OF THIS MODULE

23 ??SYS-3134 I SAH1 MODULE IS CATALOGED AS A LOAD MEMBER

24 ?? T015 IS THE LIBRARY NAME

25 ?? 30 TOTAL NUMBER OF LIBRARY SECTORS

26
27
28
29
30
31
32
33
34
35
36
37
38
39
40
41
42
43
44
45
46
47
48
49
50
51
52
53
54
55
56
57
58
59
60
61
62
63

SHH 01 29/VI/80 SAND T

CAPACIDAD DE FLUJO KH = 20451. MD*PIE

PERMEABILIDAD K = 511. MD

SHH 02 10/IV/80 SAND T

CAPACIDAD DE FLUJO KH = 13563. MD*PIE

PERMEABILIDAD K = 271. MD

SHH 05 17/IX/80 SAND T

CAPACIDAD DE FLUJO KH = 13978. MD*PIE

PERMEABILIDAD K = 194. MD

SHH 07 5/IV/80 SAND T

CAPACIDAD DE FLUJO KH = 29860. MD*PIE

PERMEABILIDAD K = 276. MD

SHH 14 28/VIII/79 SAND T

CAPACIDAD DE FLUJO KH = 21777. MD*PIE

PERMEABILIDAD K = 427. MD

SHH 17 27/X/79 SAND T

272

CAPACIDAD DE FLUJO KH = 49653. MD*PIE

PERMEABILIDAD K = 709. MD

SHH 21 26/V/80 SAND T

CAPACIDAD DE FLUJO KH = 8352. MD*PIE

PERMEABILIDAD K = 110. MD

SHH 23 10/VII/78 SAND T

CAPACIDAD DE FLUJO KH = 10570. MD*PIE

PERMEABILIDAD K = 165. MD

SHH 27 1/V/80 SAND T

CAPACIDAD DE FLUJO KH = 60763. MD*PIE

PERMEABILIDAD K = 1447. MD

SSF 28 8/V/80 SAND T

CAPACIDAD DE FLUJO KH = 23471. MD*PIE

PERMEABILIDAD K = 419. MD

SHH 29 10/VIII/80 SAND T

273

CAPACIDAD DE FLUJO KH = 36355. MD*PIE

PERMEABILIDAD K = 519. MD

SHH 35 25/VIII/79 SAND T

CAPACIDAD DE FLUJO KH = 8735. MD*PIE

PERMEABILIDAD K = 291. MD

SHH 39 21/VIII/78 SAND T

CAPACIDAD DE FLUJO KH = 25305. MD*PIE

PERMEABILIDAD K = 422. MD

SHH 43 27/XI/79 SAND T

CAPACIDAD DE FLUJO KH = 27882. MD*PIE

PERMEABILIDAD K = 240. MD

NOMENCLATURA

SIMBOLO	DESCRIPCION	UNIDADES
ΔOPP	Potencial absoluto del pozo	BLPD
b	Intercepto de la recta con la ordenada en el gráfico de Muskat.	Hrs^{-1}
c_p	Compresibilidad total	lpc^{-1}
c	Constante de turbulencia	
\bar{c}	Constante de lleno del fluido en el pozo.	By/lpc
\bar{c}_p	Constante de lleno adimensional.	
FE	Eficiencia de flujo	
$\text{grad } \phi$	Gradiente de potencial	lnc/mc
$E_i(y)$	Función integral exponencial	
h	Espesor de la arena productora.	pies
IP_{ideal}	Indice de productividad sin daño.	BLPD/lpc
IP_{real}	Indice de productividad con daño.	BLPD/lpc
K	Permeabilidad absoluta	md
K_c	Permeabilidad computarizada	md

SÍMBOLO	DESCRIPCIÓN	UNIDADES
K_H	Permeabilidad de Horner	md
K_{MDH}	Permeabilidad de MDH	md
K_p, K_t	Permeabilidad de Ramey en función de P_D y t_p	md
M	Peso molecular	lbs
m_H	Pendiente del gráfico de Horner.	Lpc/ciclo
m_{MDH}	Pendiente del gráfico de MDH	Lpc/ciclo
n	Exponente debido a la turbulencia.	
P	Presión del yacimiento	Lpc
P_{wf}	Presión de fondo fluyente	Lpc
P_{ws}	Presión de restauración	Lpc
\bar{P}_R, \bar{P}	Presión promedio	Lpc
P_i, P_o	Presión inicial	Lpc
P_{1h}	Presión a $\Delta t = 1$ hr medida sobre la recta de restauración de presión.	Lpc
P_{w1hH}	Presión a $\Delta t = 1$ hr de Horner	Lpc
P_{w1hMDH}	Presión a $\Delta t = 1$ hr de MDH	Lpc

SÍMBOLO	DESCRIPCIÓN	UNIDADES
p_D	Presión adimensional	
p_D^*	Presión adimensional extra- polado a condiciones está- ticas.	
q, q_L, q_1	Tasa de flujo líquida	BLPD
R	Constante de los gases	$\frac{\text{lbs lpc}}{\text{mol pie}^3 \text{°F}}$
r	Distancia radial	pies
r_w	Radio del pozo	pies
r_e	Radio de drenaje	pies
r_{ed}	Radio de drenaje adimensi- onal	
r, θ, z	Ejes de coordenadas	
s	Factor de daño	
s_H	Factor de daño de Horner	
s_{MDH}	Factor de daño de MDH	
T	Temperatura	°F
t	Tiempo de producción	Hrs
t_D	Tiempo adimensional	

SIMBOLO	DESCRIPCION	UNIDADES
V	Tasa volumétrica de flujo	BLPD/pie ³
Z	Factor de compresibilidad	
ΔP	Diferencial entre las presiones de restauración y fluyente.	Lpc
$\Delta P_{daño}$, ΔP_S	Diferencial de presión en la zona afectada por el factor de daño.	Lpc
ΔP^*	Diferencial de presión extrapolada a condiciones estáticas.	Lpc
ΔP_D , $\bar{\Delta P}_D$	Caída de presión adimensional	
t_c	Tiempo de cierre	Hrs
v_f	Factor volumétrico de formación	By/STB
m	Pendiente del gráfico de Muskat	
k	Permeabilidad	
μ	Viscosidad	Cp
ρ	Densidad	lbm/pie ³
	Densidad a la presión initial	lbm/pie ³



REFERENCES

1. AGARWAL, P.G., AL-HUSSAINY, R. and RAMSY, H.J., Jr., "An Investigation of Wellbore storage and skin effect in unsteady liquid flow, I. Analytical treatment", Soc. Pet. Eng. J. (September 1970) Trans. AIME, Vol. 249 pag. 279-290.
2. CARSLAW, H.S. and JAEGER, J.C.: "Conduction of Heat in Solids", Oxford at the Clarendon Press (1959).
3. HORNER, D.R. "Pressure Build up in wells", Proceedings of third world petroleum Congress, E.J. BRILL, Leiden (1951) pag. 503.
4. HUBBERT, M. KING, "Darcy's Law and the field equations of the flow of underground fluids", Trans., AIME (1956) pag 207-222.
5. MUSKAT, M., "Use of data on the build-up of bottom hole pressures", trans., AIME (1937) pag. 44.
6. MILLER, C.C., Dyes, A.B. and Hutchinson, C.A.Jr., "The estimation of Permeability and reservoir pressure from bottom hole pressure build up characteristic", Trans., AIME (1950) pag 91.

7. MATTHEWS, C.B. and RUMBLE, D.G., "Pressure Build-up and flow test in wells", SPE Monograph N° 1 - 1967.
8. Manual Geophysical research Corporation RPG-3 Tulsa, Oklahoma.
9. POLUBARNOVA-ROCHINA, P.Ya.; Theory of ground water movement, translated from the Russian by J.M.R. de Weist, Princeton Univ. Press, Princeton, N.J. (1962) pag. 549.
10. PERRINE, R.L., Analysis of pressure build-up curves, drill and prod. prac., API (1956) pag. 482.
11. RAMEY, H.J. Jr., "Non-Darcy flow and wellbore storage effect in pressure build up and drawdown of gas wells" trans., AIME (1965) Vol. 234 pag. 223.
12. THETS, C.V. "The relationship between the lowering of piezometric surface and rate and duration of discharge of wells using ground water storage" Trans., AIME (1935) pag. 519.
13. VOGEL, J.V., "Inflow performance relationship for solution gas drive wells", J. Pet Tech (January 1968) 83-92.

14. VAN EVERDINGEN, A.F. and HURST, W., "The application of the Laplace transformation to flow problems in reservoirs, trans., AIME (1949) Vol. 186 pag. 305-324.
15. VAN EVERDINGEN, A.F., The Skin effect and its influence on the productive capacity of a well, trans., AIME (1953), pag. 171.
16. WYLLIE, C.R. Jr., "Advance engineering mathematics, 3rd Ed., Mc Graw Hill Book Co., Inc., New York (1966).



CIB-ESPOL